

223 - Чел в 16
рд
253 - б
160 - м
ч

ВОПРОСЫ ГЕОЛОГИИ СИБИРИ



Томск—1971

МВ и ССО СССР
ТОМСКИЙ ОРДЕНА ТРУДОВОГО КРАСНОГО ЗНАМЕНИ
ГОСУДАРСТВЕННЫЙ УНИВЕРСИТЕТ им. В. В. КУИБЫШЕВА

ВОПРОСЫ ГЕОЛОГИИ СИБИРИ

МАТЕРИАЛЫ К НАУЧНОЙ КОНФЕРЕНЦИИ,
ПОСВЯЩЕННОЙ 50-ЛЕТИЮ ГЕОЛОГИЧЕСКОГО
ОБРАЗОВАНИЯ В ТОМСКОМ УНИВЕРСИТЕТЕ

1—4 декабря 1971 г.

Томск — 1971

К ПЯТИДЕСЯТИЛЕТИЮ УНИВЕРСИТЕТСКОГО ГЕОЛОГИЧЕСКОГО
ОБРАЗОВАНИЯ В ТОМСКЕ

М.П.КОРТУСОВ, В.А.ХАХЛОВ

Томский государственный университет

Пятьдесят лет тому назад в Томском университете была начата подготовка высококвалифицированных специалистов геологов. На геолого-минералогическое (с 1924 года - геолого-географическое) отделение физико-математического факультета в 1921 году было принято небольшое число студентов.

Основой для начала подготовки геологов университетского профиля послужила кафедра минералогии и геологии, существовавшая на медицинском факультете университета с момента его открытия, то есть с 1888 года. Одновременно при этой кафедре был основан минералогический музей, который к 1917 году располагал обширными коллекциями минералов, руд, горных пород и ископаемых остатков растений и животных (более 35 тысяч экземпляров).

Преподавание минералогии с геологией для студентов-медиков в разное время осуществляли сотрудники кафедры минералогии и геологии и минералогического музея (профессор А.М.Зайцев, П.П.Пилипенко, А.Н.Державин). Наряду с преподаванием сотрудники кафедры и музея проводили значительную работу по изучению геологии, минералогии и полезных ископаемых Западной Сибири. За период с 1888 по 1917 год были обследованы обширные территории Кузнецкого Алатау (А.И.Зайцев), западного Алтая (П.П.Пилипенко), Кузнецкого каменноугольного бассейна (А.Н.Державин). В это же время было опубликовано по материалам экспедиций около 70 научных работ, среди которых можно отметить монографическое исследование П.П.Пилипенко "Минералогия Западного Алтая".

Таким образом, к 1921 году Томский университет располагал минимум необходимой базой для подготовки специалистов геологов. К этому следует добавить, что с 1921 по 1923 год в университете работал крупный знаток медных месторождений профессор С.М.Курбатов. Все же преподавание на вновь открытом геолого-минералогическом отделении осуществляли в основном профессора Томского технологического (ныне политехнического) института (М.А.Усов, М.К.Коровин, А.В.Лавровский). Только с конца 1922 года начинает формироваться коллектива преподавателей отделения

(С.К.Кузнецов, В.А.Хахлов).

Подготовка геологов в период с 1921 по 1930 год велась на широкой геолого-географической и естественной основе кафедрами, входившими в состав физико-математического факультета. На отделении в это время существовали кафедры минералогии (основана в 1888 году, заведующий А.В.Лавровский), палеонтологии (организована в 1924 году, заведующий доцент, а затем профессор В.А.Хахлов).

Первый выпуск геологов с университетским образованием состоялся в 1926 году, причем университет окончило всего пять человек, среди которых был и Ю.А.Кузнецов (ныне действительный член АН СССР, профессор, доктор геолого-минералогических наук). В 1927, 1928, 1929 и 1930 годах в университете было подготовлено значительное число геологов широкого профиля, многие из которых стали в дальнейшем видными исследователями геологии Сибири (П.С.Краснопеева, О.К.Полетаева, Л.Н.Краевская и многие другие).

Научно-исследовательская работа сотрудников отделения хотя и была ограниченной по масштабам, имела большое значение для познания минеральных ресурсов Сибири. Здесь необходимо отметить работы В.А.Хахлова по стратиграфии каменноугольных бассейнов Сибири (особенно Кузбасса), И.К.Баженова по геологии и полезным ископаемым Западного Саяна, А.М.Кузьмина по геологии и минеральным богатствам юга Западной Сибири и других.

В 1930 году на основании постановления ЦИК и СНК СССР была проведена реорганизация высших учебных заведений г. Томска по отраслевому принципу, в связи с чем на базе геолого-географического отделения университета и горного факультета Томского технологического института был создан Сибирский геолого-разведочный институт. Институт не располагал собственными помещениями и занятия продолжались в учебных корпусах университета и технического института. Просуществовав немногим более года, Сибирский геолого-разведочный институт был преобразован в геолого-разведочный факультет Томского технологического института в университете было вновь организовано теперь уже геолого-почвенно-географическое отделение, которое в 1933 году преобразуется в геолого-почвенно-географический факультет. В 1931 году был проведен первый крупный набор студентов (90 человек). В последующие за этим десять лет набор на геологические спе-

циальности факультета колебался от 50 до 100 человек. После реорганизации структуры университета первый выпуск геологов состоялся в 1936-1937 годах. Подготовка геологов университетского профиля в этот период проводилась на широкой естественно-научной основе, но одновременно предусматривала и сравнительно узкую специализацию. Кроме геологических и общественных дисциплин, студенты-геологи изучали цикл географических, химических (неорганическая, аналитическая, физическая и органическая химия) и биологических (зоология, ботаника, дарвинизм) наук. Физико-математическая подготовка на факультете была сравнительно слабой и выражалась в изучении небольших по объему курсов высшей математики и общей физики. Специализация, начинавшаяся уже на младших курсах, шла по четырем направлениям: минералогия, петрография, палеонтология, грунтovedение. Перед окончанием университета студенты защищали небольшую по объему курсовую работу и сдавали четыре государственных экзамена.

В характеризуемое десятилетие был открыт ряд новых кафедр: кафедра петрографии (организована в 1934 году, заведующий профессор И.Н.Горностаев, а с 1935 года - профессор А.Л.Буллыников), кафедра динамической геологии (1934 год, заведующий доцент А.А.Ларичев), кафедра исторической геологии (1936 год, заведующий доцент Л.А.Рагозин), кафедра гидрогеологии, инженерной геологии и грунтovedения (1936 год, заведующий профессор М.И.Кучин; кафедра просуществовала до 1949 года и была закрыта). Продолжали работу на факультете кафедры минералогии и кристаллографии (заведующий профессор И.К.Баженов) и кафедра палеонтологии (заведующий профессор В.А.Хахлов). В 1938 году из состава геолого-почвенно-географического факультета выделился самостоятельный географический факультет. В предвоенные годы продолжалось укрепление материальной базы факультета, повышалась квалификация преподавателей. В 1938-1941 годах были защищены первые диссертации на соискание учченых степеней доктора (А.Я.Буллыников, И.К.Баженов) и кандидата (В.К.Монич, Л.А.Рагозин, А.А.Ларичев) геолого-минералогических наук. Профессорам В.А.Хахлову и М.И.Кучину учченые степени докторов наук были присуждены по совокупности работ. Научно-исследовательская работа сотрудниками проводилась в тесном контакте с Западно-Сибирским геологическим управлением. Большую роль ученики и выпускники факуль-

тета сыграли в решении Урало-Кузнецкой проблемы, в изучении золоторудных, медных, железорудных, каменноугольных и других месторождений полезных ископаемых. Сотрудниками факультета был опубликован ряд монографий (В.А.Хахлов, И.К.Баженов, В.К.Монич). При активном участии факультета была организована первая конференция по изучению и освоению производительных сил Сибири (1939 год).

Вместе со всем Советским народом коллектив Томского университета и геолого-почвенного факультета мужественно перенес все тяготы Великой Отечественной войны. В первые месяцы после начала войны на факультете было проведено два выпуска специалистов. Высокую квалификацию геологов, кроме студентов пятого курса, получили также студенты, окончившие в 1941 году четвертый курс. Многие выпускники и студенты факультета ушли добровольцами в Советскую Армию и сражались на фронтах Великой Отечественной войны. В университете свято чтят память погибших студентов и сотрудников университета. На мемориальной плите у памятника погибшим золотом высечены имена и студентов геологов: И.Гурсова, В.Лысова, М.Штейна, В.Черна, А.Лялькина, К.Гришаева и других.

Оставшиеся в университете студенты совмещали учебу с работой на многочисленных воскесниках, с трудом на заводах и в госпиталях. Учебные занятия факультета проводились в неприспособленном здании (ныне дворец бракосочетания). Несмотря на большие трудности суровых военных лет факультет подготовил для народного хозяйства большой отряд специалистов. В 1942 году был произведен досрочный выпуск геологов четвертого курса (около 50 человек) и в 1944 году выпуск пятого курса (38 человек).

В эти годы научная работа коллектива геологов университета была направлена на удовлетворение сырьевыми ресурсами военной промышленности. Именно в годы войны были открыты месторождения вольфрамовых руд (А.Р.Ананьев), оgneупорных глин (Д.А.Васильев), разведаны новые запасы руд на старых месторождениях железа, золота, каменного угля.

После окончания Великой Отечественной войны начался быстрый рост и укрепление факультета, который в 1950 году был преобразован в геологический, а в 1952 году - в геолого-географический.

В 1950 году на факультете началась подготовка специалистов

геологов-геофизиков, которая продолжалась до 1954 года (за это время было проведено четыре выпуска геологов-геофизиков географического профиля). Одновременно с этим продолжалась подготовка по двум специальностям: геология и геохимия.

В 1954 году была утверждена новая номенклатура специальностей для высших учебных заведений и в соответствии с этим проведен пересмотр учебных планов. Для геологического отделения геолого-географического факультета Томского университета было утверждено три специальности: геология и разведка месторождений полезных ископаемых, геологическая съемка и поиски месторождений полезных ископаемых и геохимия. Первая из этих специальностей просуществовала на факультете всего два года (был сделан только один выпуск инженеров-геологов-разведчиков).

В новых учебных планах по специальностям геохимия и геологическая съемка и поиски месторождений полезных ископаемых было проведено значительное сокращение химического цикла дисциплин и одновременно значительно усиlena физико-математическая подготовка студентов. Несмотря на многочисленные изменения, внесенные в учебные планы в последующие годы, их принципиальная основа сохранилась и до настоящего времени. Жизненность этих учебных планов обусловлена значительной широтой подготовки специалистов-геологов университетского профиля, способных работать в геологических управлении и в научно-исследовательских институтах.

Существенной особенностью развития факультета в последние годы явилось открытие на факультете подготовки геологов-съемщиков на заочном отделении (1964 год). Опыт работы заочного отделения показывает жизненность этой формы обучения.

За послевоенные годы шло интенсивное и планомерное укрепление научно-педагогических кадров факультета и геологического отделения в особенности. На факультете продолжают успешно работать профессора старшего поколения (В.А.Хахлов, И.К.Баженов, А.Я.Булынников, А.Р.Ананьев, В.А.Ивания, Д.А.Васильев). В последние годы защитили диссертации на соискание ученой степени доктора геолого-минералогических наук преподаватели среднего поколения (И.А.Вылган, М.Н.Кортусов, А.И.Родыгин, Б.М.Тюлюп). Большинство сотрудников младшего поколения имеют учевые степени кандидата геолого-минералогических наук.

Научно-исследовательская работа ученых факультета в течение ряда лет развивается по ограниченному числу основных направлений, главными из которых являются: стратиграфия и палеонтология Западной Сибири (докембрийские и кембрийские, среднепалеозойские и верхнепалеозойские, кайнозойские отложения), магматические комплексы юга Западной Сибири (нижне- и среднепалеозойские интрузивные и вулканогенные комплексы), скарновые месторождения Алтая-Саянской складчатой области. Только за последние годы сотрудниками геологического отделения геолого-географического факультета опубликовано более 200 статей и несколько монографий (А.Р.Ананьев, В.А.Ивания, М.П.Кортусов, А.И.Родыгин). Под руководством профессоров факультета за последние пять лет подготовлено более 50 кандидатов наук.

За 50 лет в Томском университете было подготовлено около двух тысяч специалистов геологов, главная масса которых работает в геологических управлениях и научно-исследовательских институтах Сибири. Среди выпускников факультета десятки докторов и более 150 кандидатов геолого-минералогических наук. Многие выпускники факультета работают на руководящей советской и партийной работе, начальниками, главными геологами и главными инженерами геологических экспедиций и партий.

Учеными факультета открыто значительное число месторождений железа, вольфрамовых, молибденовых, нефелиновых руд, месторождений угля и других полезных ископаемых. Исследования сотрудников геолого-географического факультета внесли значительный вклад в развитие геологической науки, в познание геологического строения и полезных ископаемых Западной Сибири.

В настоящее время коллектив геологов университета успешно работает по совершенствованию подготовки специалистов, проводит большую и плодотворную научно-исследовательскую работу.

ГЕОЛОГО-ГЕОГРАФИЧЕСКИЙ ФАКУЛЬТЕТ СЕГОДНЯ

А.И.РОДЫГИН (декан факультета)

Геолого-географический факультет Томского университета в настоящее время включает два отделения - геологическое и географическое. На геологическом отделении имеется пять кафедр:

- 6 -

динамической геологии (заведующий - доцент, кандидат наук М.Г.Горбунов), исторической геологии (заведующий - профессор доктор А.Р.Ананьев), минералогии и кристаллографии (заведующий - профессор доктор И.К.Бажнов), палеонтологии (заведующий - профессор доктор В.А.Хахлов), петрографии (заведующий - профессор доктор И.П.Кортусов). Этими кафедрами осуществляется подготовка специалистов по двум специальностям: 1) геологическая съемка и поиски месторождений полезных ископаемых и 2) геохимия. По первой специальности, начиная с 1962 года, подготовка специалистов ведется также и на заочном отделении.

На географическом отделении имеется три кафедры, ведущих подготовку по трем специальностям: гидрологии суши (заведующий кафедрой - доцент, кандидат наук Д.А.Бураков), метеорологии и климатологии (заведующий - ст.преподаватель, кандидат наук В.И.Слуцкий) и общей географии (заведующий - доцент, кандидат наук А.А.Земцов). На кафедре географии кроме учителей-физгегографов ежегодно осуществляется выпуск геоморфологов, получающих солидную геологическую подготовку и направляемых в геологические организации.

Всего на факультете работает 58 преподавателей, в том числе 10 профессоров докторов (А.Р.Ананьев, И.К.Бажнов, А.Я.Буллинников, И.А.Вышнин, В.А.Ивания, И.П.Кортусов, А.И.Родыгин, заслуженный деятель науки РСФСР М.В.Тронов, Б.И.Тюлюп, заслуженный деятель науки РСФСР В.А.Хахлов), 23 кандидата наук (в 1971 г. успешно защитил докторскую диссертацию Д.А.Басильев) и 25 ассистентов и старших преподавателей.

По состоянию на 1 сентября 1971 г. числится 849 студентов (в том числе 391 - на геологическом отделении, из них 165 заочников). В конце 1970/71 учебного года выпущено 149 молодых специалистов: 89 по геологическим специальностям, 9 геоморфологов, 13 физгегографов, 15 гидрологов и 23 метеоролога. На первый курс в августе 1971 г. зачислено 150 человек.

На геологическом отделении имеется два музея - минералогический и палеонтологический - и ряд лабораторий: геохимическая, спектральная, рентгеноструктурная, микропалеонтологическая, экспериментальной минералогии и геохимии (открыта в 1970 г.), а также шлифовальная мастерская и фотолаборатория. Лаборатории выполняют как учебную, так и научно-исследовательскую работу.

- 7 -

На географическом отделении под научным руководством профессора М.В.Тронова, начиная с 1958 г., сначала по программе Международного геофизического года (МГГ), затем Международного геофизического десятилетия (МГД), работает кабинет гляциологии, осуществляющий совместно с кафедрами метеорологии и общей географии комплексные гляциогидроклиматические исследования Алтая. При кафедре метеорологии имеется учебное бюро погоды и метеостанция.

Ученые факультета проводят научные исследования по пяти проблемам: стратиграфия и палеонтология Сибири, геологическое строение отдельных восточных районов СССР и закономерности размещения в них полезных ископаемых, изучение природных богатств и природно-экономических условий нефтегазоносных районов Западно-Сибирской равнины и прилегающих площадей Западной Сибири, климат Западной Сибири, комплексное гляциогидроклиматическое изучение Алтая. Все исследования осуществляются в тесном сотрудничестве с производственными организациями. Значительная часть научных тем выполняется по хозяйственным договорам с Западно-Сибирским геологическим управлением, Томским территориальным геологическим управлением, Западно-Сибирским управлением гидрометслужбы и др.

При факультете функционирует Совет по присуждению ученых степеней, которому дано право принимать к защите кандидатские и докторские диссертации по ряду специальностей геолого-минералогического и географического профиля.

1. СТРАТИГРАФИЯ,
ПАЛЕОНТОЛОГИЯ,
ПАЛЕОГЕОГРАФИЯ

К ВОПРОСУ О КОРРЕЛЯЦИИ КОНТИНЕНТАЛЬНЫХ И МОРСКИХ
ОТЛОЖЕНИЙ ДЕВОНА В САЯНО-АЛТАЙСКОЙ ГОРНОЙ ОБЛАСТИ

А.Р.АНАНЬЕВ

Томский государственный университет

Отложения девонской системы пользуются широким распространением на территории Саяно-Алтайской горной области и представлены как морскими фаунами (Алтай, Салайр, Томь-Колыванская складчатая зона), так и континентальными, преимущественно красноцветными, фаунами (все мезогорные впадины в восточной части области).

Вопрос о корреляции этих фациальных групп имеет немаловажное значение не только для определения геологического возраста морских красноцветных толщ и содержащихся в них комплексов видов древних наземных растений, но и для прогнозирования некоторых полезных ископаемых. В этом направлении уже сделаны первые шаги многими исследователями (Мелешенко, Ржонсницкая, Е.И.Предтеченский, Краснов, Степанов, Грацианова, Надлер, Г.П.Радченко, Петросян, Андреева, Наумова и др.). Автор неоднократно обращал внимание на случаи захоронения наземных растений в морских отложениях на Алтае и видел в этом возможности для корреляции морских и континентальных отложений. Однако поспешный характер исследований предшественников не позволил до конца решить поставленный вопрос, особенно для сопоставления нижних частей геологических разрезов девонской системы. Даже не всегда и сам изучаемый палеонтологический материал давал в руки исследователей однозначные ответы. Немалую путаницу вносили и просто ошибочные определения видов, ошибочные заключения о возрасте и ошибочные стратиграфические построения.

На протяжении трех последних лет (1969-1971) автор занимался сравнительным изучением ископаемых растений из геологических разрезов Минусинских котловин и Салайрского кряжа по хоздоговору ТГУ и ЗСГУ и получил очень интересные новые данные.

На правом берегу р.Томь-Чумыша в 2,5 км ниже с.Томского (или в 0,4 км ниже устья рч. Тихобаевки) получен непосредственно из морских отложений с кораллами, брахиоподами, пелециподами, цефалоподами, трилобитами и гастроподами следующий псилофитовый комплекс растений: *Cooksonia peroni* L a n g, *C.hemisphaerica*

Dawsonites arcuatus Hall, Zosterophyllum myretonicum Penhalluw, cf. Chamaeophyton kraslovii Anan'ev, Psilotophyton princeps var. sphaerocarpum Dawson, P. Goldschmidtii Hall, Metzgeria intermedia Tschirkowa, Serrulicaulis nadleri Anan'ev, sp.nov., Tharsophyton sibiricum (Eryshtof.) Anan'ev.

Эти отложения раньше относились то к салайркинской свите (верхний эмс), то к малобачетской (в.эмс), то к красногорской (единственный энген). В настоящее время кажется наиболее обоснованным верхнедевонский возраст рассматриваемого флористического комплекса. Аналогичный комплекс растений неоднократно описывался ранее из континентальных отложений у Торчаново, из осадочно-шунконогорских отложений района Енисея в Хакасии (катаринская, пустынско-и надшуньетская свиты), из сагинской свиты Тузы, из красногорской свиты окраин Кузбасса и т.д., которые теперь можно соотносить с салайркским горизонтом и приписать им возраст не моложе верхнего эмса. Этот вывод подтверждается и находками типичной среднедевонской протоптеридидной фауны, залегающей в типичных среднедевонских отложениях Эйфельского возраста, перекрывающих салайркский горизонт.

Протоптеридидный комплекс растений, содержащий *Protopteridium thomsoni* (Dawson) Kr. et Weyl., *Protocephalopteris praeccox* (Нёбэг) Anan'ev, *Protocephalopteris (?) tschumischenensis* Anan'ev et Stepanov, *Selaginellites reverdatti* Anan'ev et Stepanov,

запечат на правом берегу р.Кара-Чумыш в обнажениях против д.Малиновая Гора и в 1 км выше по реке в отложениях нижней подсвиты шандинской свиты.

К Стратиграфии Нижнего Карбона Северо-Минусинской
Впадины

В.А.АНАНЬЕВ

Томский государственный университет

Согласная стратиграфическая схема нижней части разреза нижнего карбона Северо-Минусинской впадины выглядит следующим

образом: турнейский ярус (снизу) - быстрианская, алтайская, надалтайская, санохвальская, кривинская, соломенская свиты. Ниже речь пойдет о целесообразности объединения двух первых свит в одну свиту на основании палеонтологических и литолого-петрографических данных.

Алтайская свита впервые была выделена А.В. и О.В. Тытновыми и помещена в стратиграфическую схему 1943 года по различиям в цвете пород. Но, как выяснилось позднее, вследствие изменчивости окраски толщ в пределах впадины, сопоставление по цвету приводит к результатам, противоречащим палеонтологическим и литологическим данным. Это положение было хорошо обосновано в стратиграфической схеме М.И.Грайзера 1967 г.

Мы пришли к выводу о целесообразности объединения быстрианской и алтайской свит в одну свиту на основании следующих выводов:

1. По внешнему облику и литологическому составу отложения быстрианской и алтайской свит резко отличаются от красноцветной тубинской свиты и составляют единый литологический комплекс с вышеупомянутыми отложениями нижнего карбона. Слагаются они серыми, желтовато-серыми алевролитами, песчаниками, туффитами, аргиллитами, мергелями, известняками, доломитами (с.Увалы, г.Тумна, рч.Оськин-Ключ, с.Половинка, д.Подзаплот). Породы алтайской свиты в некоторых разрезах (с.Половинка, д.Подзаплот) окрашены в буровато-коричневый цвет. Мы имеем налицо совокупность отложений, образовавшихся в определенных физико-географических условиях и характеризующихся единством состава слагающих пород.

2. Вышеупомянутая надалтайская свита слабо отличается от быстрианской и алтайской свит своими фациально-литологическими особенностями, но зато чётко отличается палеонтологическими признаками - лепидодендропсисовой флорой.

3. Для вышеупомянутых отложений характерным является их внутреннее единство по флористической характеристики - присутствие в свитах характерной цикlostигмовой флоры, которая не встречается ни в подстилающих толщах тубинской свиты, ни в перекрывающих породах надалтайской свиты. Например, в быстрианской свите (с.Увалы, г.Тумна, д.Подзаплот) и алтайской (д.Подзаплот, рч.Оськин) содержатся следующие виды: *Cyclostigma kiltorkense Haughton*, *Pseudolepidodendropsis carneggianum* (Herr) Schweitzer.

И.И.Грейзер флористическое единство быстрицкой и алтайской свит обозначил в 1962 г. быстрицко-алтайским горизонтом, положив, таким образом, начало объединению двух свит.

Суммируя всё сказанное выше, мы считаем наиболее вероятным объединить быстрицкую и алтайскую свиты в одну южурскую свиту, которая слагается переслаиванием пород, не нарушающих внутреннего единства, характеризуется определённой циклостигмой флорой и внутренним единством по условиям образования; кроме того, внутри свиты нет стратиграфических перерывов и угловых несогласий. От тубинской свиты укурская свита чётко отличается как своими фаунисто-литологическими особенностями, так и палеонтологическими признаками, от надалтайской - в основном палеонтологическими признаками.

О БОТАНИКО-ГЕОГРАФИЧЕСКОМ РАЙОНИРОВАНИИ И ЕГО ИСПОЛЬЗОВАНИИ ПРИ СТРАТИГРАФИЧЕСКИХ ИССЛЕДОВАНИЯХ

В.С.БОЧКАРЕВ, Н.П.КИРДА

Западно-Сибирский научно-исследовательский
геологоразведочный нефтяной институт,
Тюмень

Зоогеографическое и ботанико-географическое районирование в последние годы проводится довольно широко. Такой подход позволяет значительно продвинуться в решении многих вопросов. При статическом положении биогеографических районов исследования в области стратиграфии несколько упрощаются, чего нельзя сказать в случае их значительной динамичности.

Мысль о выделении биогеографических районов и их динаминости появилась, вероятно, очень давно. Об этом говорится уже в работах А.Г.Вернера. Принцип полихронности флор, из которого следует, что однотипные флоры, когда они сформировались при расположении на различных широтах и в различных отношениях, например к горам или океану, неминуемо должны быть разновозрастны (Аксельрод, 1953), на практике используется редко, хотя он

диэлектически дополняет принцип синхронизации однотипных органических остатков.

При ботанико-географическом районировании и выяснении возраста палеосвойских отложений Тургая, края Западно-Сибирской низменности и Урала нами использовались личные наблюдения и литературные данные следующих двух типов: 1) по обнажениям и скважинам, по которым растительные остатки надежно датируются по фауне из прослоев известняков, а сами разрезы уверенно коррелируются; 2) по обнажениям и скважинам, где возраст толщ вмещающих растительных остатки, устанавливается по положению в разрезе, структурным условиям или по сопоставлению, то есть более или менее условно.

Основные выводы базируются на фактах первого типа.

Анализ фактических данных и сопоставление дают основание предполагать следующее: во-первых, выделяются две ботанико-географические провинции, одна из которых, вероятно, относится к ангарской области и характеризуется преобладанием кордитовых в составе растительных формаций конца раннекаменноугольной эпохи и всей среднекаменноугольной. В другой провинции, охватывающей территорию Тургайского прогиба, смежные районы Центрально-го Казахстана и Восточного Урала, доминируют растения, продукцирующие споры *Striatosaccites* и древние хвойные. Эта провинция опоясывается первой как бы полукольцом; во-вторых, обе провинции совпадают в общих чертах с типом разрезов или литогенеза, приурочиваясь соответственно к гумидному поясу с широким углеобразованием и к аридному, где распространены гипсы, антиклины и красноцветные отложения; в-третьих, в позднем карбоне и перми произошло расширение аридной зоны седиментогенеза и, соответственно, ботанико-географической провинции, в которой характер флоры на уровне крупных групп в общих чертах сохранился, хотя и стал более разнообразным, особенно в высоких таксономических единицах (роды, виды), некоторые из которых местами стали доминировать.

Еще большее расширение аридной зоны имело место в раннем триасе, засушливые условия которого почти повсеместно сменились гумидными во второй половине среднетриасовой эпохи.

Во многих случаях, как показывает анализ фактического материала, неучет динамики ботанико-географических районов приво-

дит к ошибочному заключению о возрасте и порождают ненужные дискуссии. Так, в Тургас и в других районах в заведомо каменноугольных аридных толщах (камер-верхний карбон) описываются многочисленные спорово-пыльцевые комплексы и остатки флоры в качестве пермских, типичных для соленосных отложений Предуралья. Отсюда ясно, что эталонные растительные комплексы, используемые для датировки отложений, должны происходить из однотипных разрезов.

О СТРУКТУРАХ РАННЕГО ЭТАПА РАЗВИТИЯ ПЛАТФОРМ И ИХ СВЯЗИ С ГЕОСИНКЛИНАЛЬНОЙ ПРЕДЫСТОРИЕЙ

В.С.БОЧКАРЕВ, А.А.ТИМОФЕЕВ

Западно-Сибирский научно-исследовательский геологоразведочный нефтяной институт, Тюмень

Тюменский индустриальный институт

Сравнительный анализ структурно-формационных комплексов триасового, юрского и мелового возрастов, широко распространенных в Западной Сибири, на Туранской плате и в ряде других районов, позволяет различать три их генетических типа, два из которых располагаются в областях палеозойской складчатости, в основании чехлов молодых платформ. Формирование этих комплексов и соответствующих типов структур имеет различное отношение к геосинклинальной предыстории регионов.

Первый комплекс представлен триасовыми и юрскими молассоидными угленосными или красноцветными отложениями, с которыми ассоциируют вулканогенные образования (преимущественно базальты и долериты). Накапливались они в глубоких грабенах, которые сопутствовали водовому поднятию областей палеозойской складчатости в начальный этап их платформенного развития (Западная Сибирь, Аппалачи).

Второй комплекс представлен песчано-глинистыми отложениями и выполняет обширные плоские прогибы, в краевых частях которых развиты грубосломочные угленосные (или бокситоносные) отложения. Прогибы формировались в связи с региональным опусканием палеозойского фундамента (Туранская плита, Западная Европа и др.) и имеют унаследованный характер.

Оба эти структурно-формационных комплекса территориально разобщены, и их формирование целиком или в значительной степени обусловлено геосинклинальной предысторией. В тех районах, где консолидация геосинклинальной области или системы происходит очень быстро и активно с четко выраженной вергентностью и сопровождается различными передовыми прогибами, в начальном этапе платформенного развития над эзгеосинклинальными зонами возникают мощные водовые поднятия и грабены на них. В грабенах формируется вулканогенно-осадочный комплекс первого типа.

Комплекс второго типа формируется над межгорными (орогенными) впадинами фундаментов в пределах складчатых областей (или их частей), для которых вергентность не характерна, но распространены межгорные прогибы. Сама складчатая область имеет мозаичное или четковидное строение (в противоположность линейному, в первом случае); заключительные фазы складчатости и синорогенный гранитоидный магматизм относительно слабо выражены, что предполагает пассивную консолидацию области. Последующие унаследованные поднятия и прогибания, более сильная дислокированность выполняющих отложений, по сравнению с комплексом первого типа, является результатом как бы продолжающихся, но постепенно затухающих фаз складчатости.

Третий структурно-формационный комплекс не удается связать с геосинклинальными структурами. Входящие в его состав юрские и меловые (части триасовые) вулканогенно-осадочные образования (Забайкалье, Монголия, юг Сибирской платформы, Китайская платформа и др.) нестыры по составу и выполняют грабенообразные впадины, которые возникают на участках самого различного возраста консолидации вплоть до глубокого докембра. В этих районах широко развит гранитоидный магматизм того же возраста.

Формирование структур третьего типа связано с общей активизацией земной коры, которая привела к дроблению не только областей палеозойской складчатости, но и участков древних платформ. Независимость этих структур от геосинклинальной предыстории подчеркнута значительными промежутками времени, прошедшими после окончания геосинклинального развития регионов. До активизации земной коры эти области пережили длительный этап платформенного развития.

В областях развития структур первых двух типов перерыв между временем окончания геосинклинального развития и началом платформенного режима был незначительным.

СИСТЕМА РЕГИОНАЛЬНО-СТРАТИГРАФИЧЕСКИХ ПОДРАЗДЕЛЕНИЙ УГЛЕНОСНОЙ ФОРМАЦИИ ВЕРХНЕГО ПАЛЕОЗОЯ СРЕДНЕЙ СИБИРИ

В.И.БУДНИКОВ

Сибирский научно-исследовательский
институт геологии, геофизики и ми-
нерального сырья, Новосибирск

На первых порах, когда создавались местные схемы стратиграфии верхнего палеозоя различных районов Сибири, исследователи стремились учесть при выделении свит как палеонтологический, так и литологический материал. В одних случаях, когда палеонтологическая изученность разрезов была недостаточной, схемы строились преимущественно на лиостратиграфической основе /схема 1934 г. В.И.Яворского по верхнему палеозою Кузбасса/, в других случаях, когда проводились серьезные палеонтологические исследования, система регионально-стратиграфических подразделений разрабатывалась главным образом на основании установленной этапности в развитии органического мира /схема 1940 г. Г.П.Радченко, Н.А.Шведова по верхнему палеозою Тунгусского бассейна/. Характерно, что эти схемы выдержали испытание временем и по существу явились основой для разработки новых схем стратиграфии верхнего палеозоя.

Однако в дальнейшем и особенно в наши дни, когда исследователи располагают обширным палеонтологическим и литологическим материалом по верхнепалеозойской угленосной формации Сибири, основные единицы региональной стратиграфии - свиты - стали зачастую выделяться на чисто биостратиграфической основе, без должного учета литолого-фациальных особенностей пород. В Тунгусском бассейне в различных структурно-фациальных зонах установлены одноименные свиты. Горловский разрез верхнего палеозоя состоит из тех же свит, что и Кузбасский, хотя многие из них не имеют ничего общего как по составу пород, так и по

условиям их образования. Эти свиты в большинстве своем не отвечают тому содержанию, которое вкладывается в понятие "свита" правилами нашего стратиграфического кодекса и должны рассматриваться, как биостратиграфические подразделения. Такой подход к выделению лиостратиграфических единиц местных схем объясняется в первую очередь спецификой объекта исследований. Угленосные формации и в первую очередь углесодержащие интервалы разреза, как правило, представлены многократным чередованием небольшого набора пород, что создает довольно однобразную картину ритмично построенных толщ. К тому же последние крайне неравномерно насыщены органическими остатками. Расчленить и тем более сопоставить такой "слоеный пирог" - задача достаточно трудная.

Исправить существующее положение можно путем введения в систему региональной стратиграфии подразделений, выделенных на циклостратиграфической основе. Установленные в разрезах циклы разных порядков, как это показал в последнее время А.В. Македонов, имеют не только повторяющиеся, но и неповторимые особенности, что и определяет возможность следить их в пространстве и рассматривать в качестве регионально-стратиграфических подразделений разных рангов. Выделение этой категории региональных единиц стратиграфии не подменяет выделения свит, а лишь способствует более верному выделению последних, так как циклы отражают определенные законченные этапы развития региона и нередко отвечают по объему свитам. Таким образом, в региональных схемах, разрабатываемых для угленосных толщ, наряду с лиостратиграфическими подразделениями /сериями, свитами, подсвитами и т.д./ и хроностратиграфическими /горизонты, подгоризонты/, должна быть также категория циклостратиграфических единиц /макропериоды, мегацикли и т.д./

ПАЛЕОБОТАНИЧЕСКАЯ ХАРАКТЕРИСТИКА КОРСКИХ ОТЛОЖЕНИЙ КУЗБАССА

Л.И.БЫСТРИЦКАЯ

Томский государственный университет

С целью детальной палеоботанической характеристики свит,

выделяемых по стратиграфической схеме 1954 г. в Кузбассе, наименование послойные сборы расщепительники остатков из основных опорных разрезов юрских отложений центральной и юго-восточной частей Кузбасса. Индексные характеристические растительные комплексы условно названы - А, Б, В, Г.

Самый древний из них (А) характеризуется присутствием, на фоне форм широкого вертикального развития, видов, встречающихся в рэтиасовых отложениях соседних районов; почти полным отсутствием представителей рода *Coniopterus*, при довольно разнообразных папоротниках рода *Cladophlebis*.

Вышеописанное и придается данному комплексу нижне-среднелейасовый облик. Для растительного комплекса (Б) характерно видовое разнообразие (около 70 видов). Наибольшее количество их принадлежит роду *Cladophlebis* (12 видов), меньше *Coniopterus* (5 видов), появляются *Coniopterus hymenophylloides*, разнообразны членистостебельные и гинкговые. Почти во всех местонахождениях встречаются отпечатки *Clathropteris*, *Raphaelia* (части скопления их), много видов папоротников, характерных для южных палеофлористических провинций. Однако развитие характерных средневюрских форм во флоре - *Equisetites ferganensis*, *Coniopterus hymenophylloides*, *Coniopterus maakiana* - еще не позволяет говорить о средневюрском возрасте её, т.к. находки *Neocalamites pinitoides*, *Adeluriopsis cf. inopinata*, *Clathropteris obovata*, *Phleopteris polypodioides* придают ей более древний облик. Комплекс, подобный комплексу (В) Кузбасса, известен в тюменской свите Западно-Сибирской низменности, где он охарактеризован морской фауной средней юры. Из него исчезают древние виды и виды южных палеофлористических провинций, обедняется видовой состав рода *Cladophlebis*, изменяется видовой состав рода *Coniopterus*. Вместо видов, характерных для южных областей, появляются *Coniopterus hymenophylloides*, сибирские виды *Coniopterus maakiana*, *Coniopterus cf. burejensis* и др. И четвертый, самый молодой растительный комплекс (Г) из карна скв. 26 (район д. Пермяково) характеризуется многочисленными по количеству остатками *Coniopterus hymenophylloides*, *Coniopterus burejensis*, что и придает комплексу более молодой средневюрский облик по

сравнению с предыдущим.

Границы распространения выделенных комплексов при корреляции основных геоморфологических разрезов не всегда совпадают с границами свит, обоснованными по другим признакам решения исследователями. Так, по нашим представлениям наиболее молодой (Г), по сравнению с предыдущим, средневюрский комплекс характеризует или самые верхние горизонты осинской свиты или нижние горизонты терюкской (?). А стратиграфический разрез отложений терюкской свиты выше д. Черный. Этап оказывается охарактеризованным разновозрастными комплексами. Нижняя часть разреза характеризуется флорой верхнелейасового возраста (Б), а наиболее верхние горизонты - флорой средневюрского возраста (В).

СТРАТИГРАФИЯ ДЕВОНСКИХ ОТЛОЖЕНИЙ РЫБИНСКОЙ ВПАДИНЫ (ВОСТОЧНАЯ СИБИРЬ)

Л.И. БЫСТРИЦКИЙ

Томский государственный университет

Рыбинская впадина с юго-востока и юго-запада ограничена предгориями Восточного Саяна и с северо-запада - Енисейским кряжем. В структурном плане она занимает особое положение среди палеоводных впадин Алтай-Саянской области, которое отразилось на формировании этой структурно-фаунистической зоны особенно в её палеозойской истории.

Впервые все три отдела девонской системы в Рыбинской впадине были выделены А.В. Лестгафтом. Последующие исследователи изменяли, уточняли, дополняли или полностью игнорировали (Э.Н. Янов) разработанную А.В. Лестгафтом стратиграфическую схему.

Вся трудность в стратификации континентальных осадков девона Рыбинской впадины заключается в следующих основных причинах: 1 - плохая обнаженность и значительная разобщенность отдельных обнажений; 2 - отсутствие ярких отложений с фауной; 3 - игнорирование и произвольное толкование данных палеоботаники, основанное на разногласиях палеоботаников в трактовке воз-

рата комплексов растений из нижне - и среднедевонских отложений; 4- отсутствие выдерганных горизонтов осадочных пород в нижней части разреза девона, прослеживающихся во сколько-нибудь значительные расстояния и, наконец, 5-относичная корреляция.

Проведенные в 1963 г. в Томском университете и в 1964 г. во ВСЕГЕИ специальные палеоботанические коллекции по растениям девона Алтас-Саянской области с участием палеоботаников: А.Р. Ананьевы, Л.И. Быстрицкого, С.А. Степанова, Н.М. Петросян и Г.П. Радченко показали, что в понимании объема отдельных видов растений, руководящих комплексов флоры и их стратиграфическом распространении в девонской системе Алтас-Саянской области у участников коллекционирований нет значительных разногласий. Таким образом, было подтверждено представление о присутствии в девонских отложениях Алтас-Саянской области трех разновозрастных флор: ранне-, средне-, позднедевонской, аналогичных и нововозрастных комплексам девонских растений, установленных в отложениях девона Западной Европы и Северной Америки среди морских отложений с фауной.

Нашими работами на территории распространения девонских отложений Рыбинской впадины установлены две разновозрастные флоры: раннедевонская и позднедевонская. Среднедевонская флора, значительно обедненная в видовом составе по сравнению с Западно-Европейской и встречающейся в других впадинах Алтас-Саянской области, на территории Рыбинской впадины не обнаружена. Среднедевонская флора встречена нами на левом берегу р. Енисея, недалеко от г. Красноярска в Кенчурской впадине. Для изучения флор девона Рыбинской впадины обосновываются такие характерные черты:
1 - широкое распространение нижнедевонских растений (Быстрицкий, 1964); 2 - отсутствие растений среднедевонского возраста;
3 - значительное распространение остатков растений верхнедевонского возраста.

Полученные нами данные о составе и распространении девонских флор, особенности их развития и захоронения, характер залегания и состава перол имевших растения, выводят на следующие выводы: 1. Нижнедевонский комплекс растений залегает в Рыбинской впадине на различных уровнях разреза нижнедевонских осадков - непосредственно у основания фундамента (Торгашинское

местонахождение), в нижних частях разреза (местонахождение Б.Пена и р. Кану) и в верхних частях разреза (местонахождение Сорокино II).

2. Отсутствие растений среднедевонского возраста может быть объяснено неблагоприятными условиями для их произрастания или перерывом в осадконакоплении.

3. Верхнедевонский комплекс растений залегает в Рыбинской впадине на достаточно четко выраженным стратиграфическом уровне.

4. Существующие в настоящее время для отложений девона Рыбинской впадины подразделения на свиты, особенно содержащие нижнедевонский комплекс флоры, не соответствуют современному уровню представлений о стратиграфических подразделениях и требуют пересмотра.

ВЕНДСКИЕ ОТЛОЖЕНИЯ В ЗАПАДНОЙ ЧАСТИ АЛТАЕ-САЯНСКОЙ СКЛАДЧАТОЙ ОБЛАСТИ

М.К. БИНКМАН

Сибирский научно-исследовательский институт геологии, геофизики и минерального сырья, Новосибирск

Выделение вендинских отложений на указанной территории затрудняется недостаточностью стратиграфической, палеонтологической и литолого-фаунистической изученности отложений, залегающих ниже фаунистически охарактеризованных нижнекембрийских отложений уровня баградского горизонта. Тем не менее, в последние годы, когда под баградским горизонтом был выявлен и палеонтологически обоснован самый древний в нижнем кембрии Алтас-Саянской области, устькундский горизонт и более или менее палеонтологически намечается верхнеридейский комплекс отложений, нами в карбонатном разрезе Батеневского кряжа между с. Баград и д. Верхней Ербай были выделены промежуточные отложения мощностью до 900 м. Эти отложения были названы нами бродовской свитой /по хр. Бродовому/. Органические остатки в бродовской свите, первоначально обозначены нами, а затем М.В. Степановой, и изучены последней /по нашим сборам А.Г. Постоловым/, указывают на присутствие здесь как кембрийских водорослей, так и

рифейских онкоконтов, кальцитовых, сернокальцитовых и кристаллических. Бродовская свита залегает в северном крыле кругой антиклинальной складки, разбитой поперечными, а местами и продольными нарушениями. С конгломератами излой мощности в основании она лежит на известняках с силицинатами соринской свиты верхнего рифея. Ниже соринской свиты залегают dolomиты мартюхинской свиты средне-верхнерифейского возраста. Перекрывается бродовская свита черными плитчатыми известняками с флюсом устькундского горизонта. Состав бродовской свиты: преобладают светлые серые, розоватые и белые известняки, редко - черные и темносерые известняки, местами встречаются кремовые и розоватые доломиты.

Сопоставление отложений бродовской свиты, которые по органическим остаткам и стратиграфическому положению следует относить к венду, с синхронными отложениями других частей рассматриваемой складчатой области сопряжено с рядом трудностей. Главными из них являются: фациальная изменчивость отложений, метаморфизм толщ, благодаря чему не легко обнаружить остатки ископаемых организмов, прерывистость рифейско-кембрийских разрезов не только из-за тектонической их нарушенности, но и вследствие наличия региональных стратиграфических несогласий, стратиграфических и литологических перерывов и, наконец, насыщенность вулканогенными образованиями, свойственным раннему этапу развития Алтая-Саянской геосинклиналии.

На северо-востоке Горного Алтая, в Казунском горст-антиклинальном выступе бродовской свите отвечает салахская свита, выделенная нами в 1969 г. из состава каянчинской и каймской свит. Состоит она преимущественно из светлых и темных известняков, частично доломитов, с сохранившимися в них органическими остатками, аналогичными обнаруженным в бродовской свите, терригенных и вулканогенных пород. Залегает салахская свита несогласно на доломитовой западно-сибирской /средняя часть каянчинской/ свите по органическим остаткам средне-верхнерифейского возраста. Выше ее должна лежать /непосредственный контакт не наблюдался/ машкунарская свита, содержащая в средней части археоцисты и трилобиты алданского яруса.

В районах Кузнецкого Алтая и Горной Шории уровень венда соответствует устьязасская свита порфиритов и пирокластов баз-

зальтового и андезито-базальтового состава с яммоидами и местами пачками и прослоями песчаников, сланцев, известняков; в Батеновском кряже-тунгужульская свита /нижняя часть/ доломитовых брекций и песчаников, светло-серых известняков и доломитов, а также - светлановская свита, представленная темносерыми известняками, тонко переслоенными глинистыми сланцами, и светло-серыми массивными известняками, с нижнекембрийскими водорослями.

НОВЫЕ МАТЕРИАЛЫ К ПОНИМАНИЮ ОБЪЕМА, СТРОЕНИЯ И СОСТАВА МАНЖЕРОКСКОЙ СВИТЫ В СЕВЕРНОМ АЛТАЕ

И.А.ВЫЛЦАН

Томский государственный университет

Вулканогенно-осадочный комплекс пород, получивший в 30-е годы название "древней порфиритовой формации" (Стратиграф. словарь СССР, 1956), а в середине 50-х годов - манжерокской свиты, представляет собой стратиграфическое подразделение, в отношении возраста, состава и объема которого все еще существует разноречивое толкование. Последнее связано с недостаточной обнаженностью, сложной блоковой тектоникой и монотонным строением свиты вообще на Алтае и в окрестностях пос. Манжерок, где был определен стратотипический разрез, в частности.

Согласно имеющимся в литературе данным, ясные стратиграфические взаимоотношения свиты с подстилающими и перекрывающими подразделениями наблюдаются в Чепошском разрезе. Здесь породы свиты через туфоконгломераты несогласно лежат на мраморизованных известняках баратальской серии рифея и несогласно перекрываются породами каянчинской серии нижнего кембра (Винкман, 1948, 1959; Винкман и др., 1964). Сложена свита в этом неполном разрезе измельченными автитовыми и диабазовыми порфиритами и их пирокластами, превращенными в сланцы, с редкими линзами мраморизованных известняков, сменяющихся вверх по разрезу хлоритизированными глинистыми сланцами. Несколько иной облик свита имеет в разрезе нижнего течения р. Устюбы и ниже пос. Манжерок. В этом районе взаимоотношения свиты с подстилающими породами баратальской серии тектонические, отсутствуют

самые нижние горизонты. В разрезе наблюдается преобладание зеленокаменистых измененных порфиритов и их туфов над сероизмененными породами, которые появляются в верхах вместе с пачкой светло-серых мраморизованных известняков. По левому борту долины р.Устьиба отмечается, кроме того, несогласное залегание из глинистых породах свиты базальных слоев каянчинской серии.

С целью проверки и уточнения строения манжерокской свиты в 1970-1971 гг. автором был изучен разрез в нижнем течении р.Муны и ниже устья последней по правому борту долины р.Катуны. На этом участке при удовлетворительной обнаженности вскрывается практически полный разрез свиты. Ее основание (подошва) расположена в 1,4 км выше устья р.Муны. Здесь на породах бардательской серии, сложенных в контактовой зоне сорами углеродистыми мраморизованными известняками и известковистыми сланцами, чередующимися с пачками и линзами черных силицитов, лежит базальный горизонт манжерокской свиты, представленный конгломератами и гравелито-песчаниками с известняковой и кремнистой галькой. Его мощность 40 - 45 м. При движении в сторону устья р.Муны и далее, ниже, по течению р.Катуны выявлена следующая стратиграфическая последовательность пачек пород свиты: зеленовато-серые, зеленые и зелено-фиолетовые пироксен-плагиоклазовые порфириты, переслаивающиеся ритмично с туфами того же состава, мощность 575 м; серо-лиловые филлитизированные глинистые сланцы - 170 м; серо-зеленые, реже слабо-лиловатые сланцы по пироксен-плагиоклазовым туфам, чередующиеся с глинистыми сланцами такой же окраски и преобладающими в верхах пачки - 950 м; сахаровидные и желтоватые мраморизованные известняки с редкими и маломощными линзами порфиритов - 80 м; зеленовато-серые и темно-серые, редко фиолетовые филлитовидные глинистые сланцы - 750 м. Суммарная мощность свиты в данном разрезе около 2500 м. Перекрываются породы свиты ясно слоистыми известниками шамкунарской свиты нижнего кембрия.

Выраженный состав и строение, вытекающее из соотношения и последовательности пачек пород, характеризуют манжерокскую свиту как крупный цикл седиментации, соответствующий ритмической единице VII порядка. Описанный разрез практически может рассматриваться как полный типовой разрез этой свиты в северной части Горного Алтая. Стратиграфическое положение свиты

и органические остатки, обнаружение в ней, свидетельствует в пользу позднерифейского возраста ее отложений.

ОСНОВНЫЕ ТИПЫ РАЗРЕЗОВ И СТРУКТУРНО-ФАЦИАЛЬНАЯ ЗОНАЛЬНОСТЬ ОТЛОЖЕНИЙ НИЖНЕГО КЕМБРИЯ НА ЗАПАДЕ АЛТАЕ-САЙАНСКОЙ ГЕОСИНКЛИНАЛИ

А.Б.ГИНЦИНГЕР

Сибирский научно-исследовательский институт
геологии, геофизики и минерального сырья,
Новосибирск

Исследования последних лет позволили автору провести ли-
тофациальную типизацию фаунистически окартизованных отло-
жений нижнего кембрия для ряда регионов - Кузнецкого Алатау,
Горной Шории, Батеневского и Азыр-Тильского кряжей, Горного
Алтая, Салэира. Проведение этой типизации осложнялось тем, что
до сих пор не удавалось решить вопрос о возрасте осадочно-вул-
каногенных или вулканогенных образований, залегающих с размывом
из породах рифейского комплекса и отделенных размывом от выше-
лежащих заведомо нижнекембрийских отложений.

Собранный нами материал позволил часть этих вулканоген-
ных образований относить к среднему рифею, часть к венду и да-
же самым нижним кембрию.

Различное стратиграфическое положение /диахронность/ ниж-
ней границы фаунистически доказанных отложений в разных райо-
нах салэира указывает на исходновременность начала осадкона-
копления в раннем кембriи.

В большинстве разрезов нижнего кембрия нижнюю часть отло-
жений скагают терригенные породы. В составе последних содер-
жится много известняков, главным образом органогенных. На от-
дельных участках известники полностью обрезают разрез или рез-
ко преобладают над другими породами. Вместе с терригенными по-
родами и известниками в отложениях нижнего кембрия довольно
часто встречаются кремнистые и кремнисто-глинистые сланцы.
Наконец есть разрезы, в которых значительное место принадлежит
вулканогенным образованиям.

Анализ данных по распределению в разрезе и на площах основных литологических компонентов, характеризующих глянцево-фациальные черты нижнекембрийских отложений в том или ином районе, позволяет выделить пять типов разреза: I - терригенно-известняковый; 2-известняковый; 3-терригенный; 4 - терригенно-вулканогенный; 5- терригенно-вулканогенно-известняковый. В целом они указывают на глянцево-фациальные условия осадконакопления в раннекембрийском геосинклинальном бассейне, обусловленные различием тектонно-структурных позиций отдельных частей геосинклиналии.

Терригенно-известняковый тип известен в Горном Алтае в пределах Чумышско-Бийско-Катунского антиклиниория в его Катунской части, а также в зоне смыкания Уйменско-Лебедского синклиниория и низкого антиклиниория.

Отложения известнякового типа разреза установлены только на территории Кузнецко-Малатусского мегантиклиниория /рр.Кизас, Кия, Батеневский кряж/.

Терригенный тип разреза известен: на юго-востоке Алтая /р.Чуя/ в пределах Кадринского горста, на восточной окраине Уйменско-Лебедского синклиниория /к западу от Телецкого озера/, в северной части Кузнецкого Алатау /рр.Золотой Китят, Чумай, Кокух/.

Терригенно-вулканогенный тип разреза на северной окраине Кузнецкого Алатау тесно связан с терригенным и пространственно примыкает к Кузнецко-Малатусскому глубинному разлому.

Терригенно-вулканогенно-известняковый тип разреза развит в основном в позднекаледонских складчатых сооружениях Салаира.

СТРУКТУРНО-ТЕКТОНИЧЕСКАЯ ПОЗИЦИЯ ОТЛОЖЕНИЙ НИЖНЕГО КЕМБРИЯ В ЗАПАДНОЙ ПОЛОВИНЕ АЛТАЕ- САЛЯНСКОЙ СКЛАДЧАТОЙ ОБЛАСТИ

А.Б.ГИНЦИНГЕР

Сибирский научно-исследовательский институт
геологии, геофизики и минерального сырья,
Новосибирск

Отложения нижнего кембрия, так же как и рифоя, распространены

в пределах салаирской территории, представляющей собой образование ранней /воорогинской/ смарагдовой рифейско-салайской геосинклинальной системы. Всемирного геологического масштаба зону или складчатое сооружение-тектоническую единицу этой территории считают лепроривность в последовательности отложений рифея и нижнего кембрия и указывают на единство их структурного плана. Это является основанием для обозначения скользко-нибудь значительных проявлений байкальских тектонических движений в конце рифея в западных районах Алтая-Салынской области. Проведенные в последние годы автором исследования позволяют утверждать, что подобная точка зрения неправильна. Почти из всей рассматриваемой территории салаирид отложения позднего докембра отделены от нижнекембринских поверхностью несогласия и размыва.

Некоторые исследователи, недостаточно тщательно картируя, не улавливают их. Унаследованность структур маскирует соотношения зон. На раннем этапе развития склад-этих зон эта унаследованность, создает морфологическое подобие структур, вполне закономерна. Полностью оценить масштаб трансформаций структурного плана пока трудно. Но интерпретация данных о размещении литофаций нижнего кембрия и рифея с учетом изменения их мощностей и хроно-стратиграфических объемов позволяет со всей определенностью говорить о значительной перестройке структурного плана, которая произошла к началу кембрия в Салаирско-Алтайской эзгеосинклиниали. В ее центральной части, соответствующей на современном денудационном срезе Чумышско-Бийско-Катунскому антиклиниорию, в результате складчатости и инверсий тектонического режима появилась инкрагеосинклинальная зона, расчлененная Салэиро-Алтайским прогибом на два Ануиско-Чуйский и Уйменско-Лебедской.

Что касается Кузнецкого мегантиклиниория, то, хотя данных еще недостаточно, чтобы обоснованно охарактеризовать преобразования ее структурного плана, которые были вызваны байкальскими тектоническими движениями в конце рифея, однако ясно, что существовавшая здесь в раннем кембрии зона осадконакопления, по сравнению с рифейской, имела более сложный тектонический режим. Материалы автора и других исследователей со всей определенностью свидетельствуют, что в ее пределах существовал ряд поднятий, обусловленных неодновременность начала седиментации и

разницу в мощностях и литофациях нижнекембрийских отложений.

НОВЫЕ ДАННЫЕ ПО ГЕОЛОГИИ СУХАРИНСКОГО
МЕСТОРОЖДЕНИЯ МАГНЕТИТОВЫХ РУД /ГОРНАЯ МОРЯ/

Г.Ф.ГОРЕЛОВ, В.Д.ЯШИН

Сибирский научно-исследовательский институт геологии,
геофизики и минерального сырья, Новосибирск

Западно-Сибирское геологическое управление,
Новокузнецк

Выделяется следующая последовательность формирования стратифицированных толщ, интрузивных образований, магнетитовых руд в пределах Сухаринского месторождения.

Докембрий. В основании разреза залегает саморская метаморфическая толща, участковая в строении горячо-антклинального выступа. Она сложена кварц-серпентитами, кварц-хлорит-амфиболовыми и др.метаморфическими сланцами, образовавшимися по терригенным породам. Редко среди них встречаются бластокварциты и прослои черных мраморов. Мощность толщи определяется в 1500 м.

Перекрывает метаморфическую толщу терригенно-карбонатная толща, хорошо вскрыта рекой Мундыбаш и буровыми скважинами выше пос. Саморский Лог. Здесь непосредственно на метаморфическую толщу налегают черные обуглененные мраморизованные известняки с *Colonella cf. lineata* Конак , известными в среднем рифе. Мощность толщи 250 м.

Стратиграфически выше эта толща сменяется темно-серыми известняками и сильно известковистыми фосфор-содержащими песчаниками с *Oscadia cf. bothrydionformis* и *Vermiculites cf. tertiatus*. Возраст этой толщи определяется в пределах верхнего рифея-венда. Мощность ее превышает 350 м.

Рядом скважин на участках Кедровка II и Кедровка III вскрыта доломитовая толща мощностью не менее 350 м. Взаимоотношение ее с подстилающей толщей не установлено. За пределами рудного поля по р. Кондоме среди доломитовой толщи обнаружены *Nubecularites cf. algonkienensis* , широко распространенные, по А.Г.Пос-

олову, в докембрии.

Докембрий-нижний кембрий. Стратиграфически выше доломитовой толщи, видимо со скрытым несогласием, залегает Сухаринская кремнисто-карбонатно-вулканогенная толща, сложная по составу и фационально сильно изменчивая. Содержит органические остатки *Protospiongia* . Мощность ее более 550 м. Выше находится черносланцевая толща, сложенная алевролитами, песчаниками, содержащими микрофоссилии, брекчиями и эфузивами среднего состава. Мощность толщи 750 м.

Кембрий нижний. На черносланцевой толще без видимого несогласия залегает археоспонгиевая толща темно-серых сероводородистых известняков и алевролитов с трилобитами. Мощность пачки 115-200 м. Ее сменяет с параллельным несогласием пепельно-серые мраморизованные известняки усинской свиты с археоциатами обручевского комплекса. Мощность свиты 320 м.

На нижнем кембрии с несогласием лежит мундыбашская вулканогенная свита среднего кембра. Завершается разрез палеогойскими породами эфузивами тельбесской серии нижнего-среднего девона.

Из интрузивных пород в пределах Сухаринского рудного поля широко развиты диорит-порфиры докембрий-нижнекембрийского возраста и диориты тельбесского комплекса ордовик-силурийского возраста.

Магнетитовые рудные тела и тесно с ними связанные колчеданные залежи Сухаринского месторождения локализуются в основном среди сухаринской толщи. Они образуют послойные линзообразные и неправильные тела среди вулканогенных, терригенных и карбонатных пород. Подтверждена тесная пространственная связь рудных залежей с вулканитами и малыми интрузиями диорит-порфиритов. Тельбесские диориты прорывают рудные залежи, метаморфизуют их с образованием широкой оторочки скарнов издр.метасоматитов.

О СИММЕТРИИ ГЕОЛОГИЧЕСКИХ СТРУКТУР ДОКЕМБРИЯ
ВОСТОЧНОЙ ЧАСТИ БАЛТИЙСКОГО ЩИТА

Л.А.ЕРМОДАЕВА

Северо-Западное геологическое управление,
Ленинград

В строении восточной части Балтийского щита различаются три крупных структурных элемента - Кольская и Карельская протерозойские складчатые области и разделяющий их Беломорский блок архея /Полканов, 1937; Харитонов, 1966; Шуркин, 1962; Перевозчикова, 1957, 1966, 1968 и др./ Таким образом, намечается первый порядок симметрии в докембрии Кольско-Карельского региона, на что впервые было указано И.А.Гиляровой /1969/. Однако эта симметрия на геологических картах маскируется тем, что значительная часть Беломорского блока находится под экваторией Белого моря, имеющей сложную конфигурацию берегов. Геофизические работы /Шлассенберг и др., 1969/ установили сложное строение экватории Белого моря и, в частности, ее внутреннюю симметрию, обусловленную существованием двух синклиниорных зон - Соловецкой и Керецкой - и разделяющего их Архангельского мегавала.

В строении карелий Балтийского щита также наблюдается симметрия, выражаясь в том, что к Беломорскому блоку с обеих сторон симметрично примыкают две одновозрастные протерозойские синклиниорные зоны: Имандра-Варзугская и Золотицкая /с северо-востока/ и Восточно-Карельская и Ветреного пояса /с юго-запада/. Указанные структуры охватывают Беломорский блок полумесяцем, разорванным глубинным разломом /проходящим параллельно Главному "габбровому" хребту/, который обуславливает значительное смещение Печорской структуры относительно общего простирания Имандра-Варзугской зоны. Не исключено, что Восточно-Карельская и Имандра-Варзугская зоны на северо-западе смыкаются в районе гавани Финского озера Иматри.

Следующей симметричной структурной степенью являются Мурманский блок гранитоидов /на северо-западе/ и совокупность Восточно-Санкт-Петербургского /Водлозерского/, и Центрально-Карельского

массивов гранитоидов. Эти структуры сложены однотипным комплексом "гранитовых щитов", природе которых спорна: они могут представлять собой либо фундамент беломорид, либо реоморфизованные и ультраметаморфизованные беломориды.

По мнению М.А.Гиляровой /1969/, симметричное расположение Кейской и Ладожской структур, для которых характерны существенно глинизистые породы, является доказательством их синхронности, но автор считает этот признак сугубо косвенным.

Ятульские структуры, известные только в пределах Карельской складчатой области, не имеют своих аналогов на Кольском полуострове.

Установление крупных элементов симметрии в докембрии восточной части Балтийского щита позволяет сделать интересные стратиграфические выводы, в частности, о необходимости сопоставления эффузивных комплексов Ветреного пояса с таковыми Имандра-Варзугской зоны, а не о-ва Суйсаи, как было принято ранее.

ЗАКОНОМЕРНОСТИ ИЗМЕНЕНИЯ УГЛЕНОСНОСТИ
ПРОКОПЬЕВСКО-КИСЕЛЕВСКОГО РАЙОНА КУЗБАССА

И.П.ЖИНГЕЛЬ

Сибирский филиал ВНИМИ, Прокопьевск

Угленосные отложения Прокопьевско-Киселевского района представлены балахонской серией с входящими в нее острогской свитой, нижнебалахонской и верхнебалахонской подсериями, из которых последняя является наиболее продуктивной и содержит от 24 до 30 пластов рабочей мощности высококачественного коксующегося и энергетического угля.

С целью более детальной характеристики угленосности района автором был проведен сбор фактического материала по шахтным полям, отрабатывающим угольные пласти усятской и кемеровской свит. Всего на 18 шахтах района были собраны данные по мощностям и строению угольных пластов по 13500 подсечениям, главным образом, в горных выработках.

Площадь района, охваченная 18 шахтными полями, была раз-

делена на 35 площадных единиц, представляющих отдельные тектонические структуры (синклиналь, антиклиналь, моноклиналь), в пределах которых для каждого угольного пласта подсчитывались следующие показатели: средние мощности угольных пластов, коэффициенты вариации мощности, засоренность пластов породными прослойками.

На основании полученных данных для пластов устьской и кемеровской свит построены карты изолиний коэффициентов вариации мощности. Из карт следует, что коэффициент вариации мощности угольных пластов закономерно уменьшается по направлению с юго-запада на северо-восток, т.е. вкрест простирации тектонической структуры района. Так, например, коэффициент вариации пласта Горелого в этом направлении изменяется от 50 до 10%, пласта Мощного - от 25 до 5%, II и III Внутренних - от 40 до 10% и т.д.

Такая же закономерность наблюдается и в изменении засоренности угольных пластов породными прослойками: уменьшение засоренности происходит также в направлении с юго-запада на северо-восток от 5,5 до 1,0%. В этом же направлении происходит и уменьшение суммарной мощности угольных пластов.

Изменение этих показателей имеет генетическую, фациальную и палеогеографическую основу и связано с той или иной удаленностью древних торфяных болот от береговой линии. Наибольшая изменчивость мощности угольных пластов, а также их засоренность наблюдается вдоль юго-западной окраины месторождения, где, по-видимому, проходила граница между питательной провинцией и зоной торфонакопления.

Полученный материал позволил также оценить некоторые количественные характеристики шахтных пластов и, в частности, вероятности различных значений коэффициента вариации мощности и засоренности угольных пластов. Наибольшее количество шахтных пластов имеет коэффициент вариации мощности от 10 до 30% и процент засоренности от 0 до 4.

- 32 -

НАРУШЕННОСТЬ ШАХТНЫХ ПОЛЕЙ В ПРОКОПЬЕВСКО-КИСЕЛЕВСКОМ РАЙОНЕ КУЗБАССА

И.П.ЖИНГЕЛЬ

Сибирский филиал ВНИИИ, Прокопьевск

Одной из трудностей, препятствующей внедрению широкой механизации и автоматизации очистных работ в Прокопьевско-Киселевском районе, помимо крутого падения и наличия мощных пластов угля, является сложность тектонического строения и, в частности, наличие большого количества мелких тектонических нарушений, не выявляемых геологоразведочными работами. С целью выявления закономерностей ориентировки разрывных нарушений и их распространения автором собраны и обобщены замеры мелкозамплидудных разрывов почти по всей площади района, составлено более 50 структурных диаграмм по наиболее хорошо выраженным крыльям складок, а по наиболее типичным тектоническим структурам статистически обработано около 500 нарушений.

Довольно значительная часть разрывов имеет элементы залегания, близкие к элементам залегания напластования, что свидетельствует о приспособляемости разрывов в процессе их формирования к наиболее ослабленным поверхностям. Подобные разрывы образуют нарушения типа послойных смещений, широко развитых в Прокопьевско-Киселевском районе. Детальный анализ ориентировки разрывов показывает, что существовало, по меньшей мере, два направления оси максимального сжатия: вкрест преобладающего простирания пород и под острым углом к нему.

Количественная оценка нарушенности угольных пластов производится коэффициентом нарушенности, под которым понимается количество нарушений, приходящееся на 100 м линейного расстояния.

Установлено, что коэффициент нарушенности увеличивается по мере приближения к осям складок или крупным нарушениям. В количественном выражении изменение коэффициента нарушенности составляет от 0,5-1,0 (для нормального поля пласта) до 3,5-5,0 и более (для сильно нарушенных зон).

Сравнение нарушенности на крыльях с разными углами падения, показывает, что коэффициент нарушенности выше у тех

крыльев, которые имеют более крутой угол падения. При изменении угла падения крыла от 60 до 80° коэффициент нарушенности повышается в среднем в 3-4 раза.

Наблюдается также увеличение нарушенности с глубиной. На шахте № 5-6 на горизонте + 220 м коэффициент нарушенности составляет в среднем 0,65, а на горизонте + 60 м - 0,95.

Частота встречаемости ненарушенных участков подчиняется определенной математической зависимости, выражаемой уравнением $R = e^{-\frac{b}{l}}$, где R - частота встречаемости ненарушенных участков длиной l; e - основание натуральных логарифмов; b - параметр, равный 0,015. Аналогичная зависимость наблюдается и в распределении нарушений по величине их амплитуд. Используя эти зависимости и применяя методы теории вероятности, представляется возможным заранее предсказать вероятность наличия на шахтном поле ненарушенных участков заданной длины, что особенно важно при определении объема внедрения различных типов механизации.

ЗОНАЛЬНОСТЬ В СТРОЕНИИ ВЕРХНЕМЕЛОВЫХ И НИЖНЕСРЕДНЕ-ПАЛЕОГЕНОВЫХ ОТЛОЖЕНИЙ КУЛУНДИНСКОЙ СТЕПИ

И.Г. ЗАЛЬЦМАН, А.М. КАЗАКОВ

Сибирский научно-исследовательский институт геологии, геофизики и минерального сырья, Новосибирск

В Кулундинской степи, по данным бурения, широко развиты морские, прибрежно-морские и континентальные отложения верхнего мела (турон-мастрихт) и нижнего-среднего палеогена (палеоцен-нижний олигоцен). В западной части (Прииртышье), северных районах и на большей части центральной Кулунды установлены типичные нормально-морские верхнемеловые осадки. Морской верхний мел включает туронский ярус (кузнецковская свита глин), верхнетуронский подъярус, коньянский, сантонский ярус (ипатовская свита глауконитово-кварцевых песков и песчаников), кампанский ярус (смесь родовых свит глин) и камптонский - маастрихтский ярус (галькинская свита из известковистых глин). Возраст определен по фораминиферам, радиоизотопам, острокодам и т.д. Восточнее, в районе озер Кулундинского - Кучукского

(Центральная Кулунда) и на западе Восточной Кулунды верхний мел выражен в прибрежно-морских и континентальных фациях. Кузнецковская свита здесь замещается верхами ленъковской свиты континентальных построцветных отложений. Ипатовскую свиту и нижнюю часть славгородской свиты сменяет нижнесымская подсвита кварцевых каолинизированных песков континентального генезиса. Ганькинская свита представлена здесь прибрежно-морскими осадками - железорудным горизонтом в нижней части и песчаными "мусорными" глинами в верхней части. В районе озера Кучукского верхи этой свиты сложены континентальными песчаными осадками. Восточнее и южнее, на Приобском плато (Восточная Кулунда) весь разрез мела представлен континентальными глинисто-песчаными осадками. Это породы верхов ленъковской свиты и сенонские, преимущественно песчаные отложения сымской свиты (верхней и нижней подсвит). Возраст континентальных отложений установлен по спорам и пыльце.

Нижний-средний палеоген в полном объеме в типичных морских фациях, как и верхний мел, развит в северных, западных и центральных районах Кулунды. Он включает палеоцен (отдельные локальные участки, талицкая свита глин), эоцен (люлинворская свита существенно кремнистых осадков), верхний эоцен - нижний олигоцен (чеганская свита зеленых глин, прослои сероцветных пород континентального типа). В переходной зоне (район озер Кулундинского и Кучукского, западная часть Приобского плато) палеоцен в прибрежно-морской фации условно выделен в одном пункте (глауконитово-кварцевые пески). Кремнистые эоценовые осадки нижней части люлинворской свиты отсутствуют, а верхняя часть ее сложена мелководными и прибрежно-морскими слоями глин. Чеганская свита в этой зоне представлена чередующимися прибрежно-морскими и континентальными сероцветными песчано-глинистыми осадками. Восточнее и южнее - на Приобском плато весь разрез палеоцена, эоцена, нижнего олигоцена сложен островновской свитой песчано-глеевитово-глинистых пород с бурыми углями.

Итак, в Кулунде установлены три фациональные зоны верхнего мела и нижнего - среднего палеогена: западная, представленная нормально-морскими, в основном мелководными осадками, переходная, сложенная прибрежно-морскими и континентальными осадками, и восточная в составе только континентальных отложе-

ний.

РУКОВОДЯЩИЕ ВАЛУНЫ ИЗ ОТЛОЖЕНИЙ ПЛЕЙСТОЦЕНА СЕВЕРА ЗАПАДНОЙ СИБИРИ

А.А.Земцов

Томский государственный университет

На севере Западной Сибири широко распространены плейстоценовые отложения с валунами и галькой. Генезис этих пород, а также пути и способы переноса валунов в пределы равнины представляют одну из сложнейших палеогеографических загадок, которая интересует многих исследователей. Однако до сих пор не получено однозначного ответа. Одним из методов ее разгадки является изучение петрографического состава валунов, выделение среди них руководящих комплексов. Это позволит установить питающие провинции и оконтуриТЬ площади распространения валунов.

Первые исследования петрографического состава валунов из четвертичных отложений равнины выполнены профессорами томских ВУЗов В.А.Обручевым, М.А.Усовым и П.Л.Гудковым. Позднее, в конце сороковых и начале пятидесятых годов экспедициями Томского университета собрано и определено микроскопически несколько сот образцов из валунов севера равнины. К настоящему времени нами обобщены результаты микроскопических исследований многих тысяч валунов. Составлен список петрографического состава валунов, в котором насчитывается около 150 наименований горных пород. Установлены области сноса и выделены руководящие комплексы. 1 Для уральского ледникового покрова - валуны из ультраосновных пород перидотитов, габбр-пироксенитов и дунитов, а также серпентинитов (змеевиков). Чаще встречаются валуны из пород кварцево-филиловой формации, среди которых преобладают филлиты. Характерны валуны зеленых гнейсовых сланцев, гранитогнейсов, слюдяных и роговообманковых гнейсов, плагиогранита, порфироида и аплита. 2 Для таймырских ледников - валуны белого двуслюдянного гранита, биотитового гранита, лейкогранита, гранит-порфира, граносиенита, эгиринового сиенита, ламп-

- 36 -

родида, рогового кварца, некоторых субшелочных пород и по-
мимо них исключительно с отпечатками *Noeograthopsis*
и др.

3) Для среднесибирских ледников - валуны преимущественно из землистых основных пород трапповой формации Средне-Сибирской платформы, среди которых чаще встречаются сливиновые долериты ойттовой структуры и базальты диабазовой структуры. Валуны из этих пород в бассейне Таза составляют около 30% от всего количества, из них только на долю долеритов приходится около 20%. Редки валуны из туфов и туфолав, вулканического стекла, трахита, андезита, а также валуны из серицитовых, эпидотовых, синдот-хлоритовых и эпидот-амфиболитовых сланцев, галька беконта.

Валуны пород уральского комплекса распространены в ни-
зовьях Оби, в бассейнах рр.Казыма, Полуя, Назыма, верхнего
Яломы, низовьев Надымы. Среднесибирские валуны приурочены
к бассейнам рр.Ваха, Таза и Турухана. В бассейнах рр.Б.Юганы,
Агача, Пина, Пура, верхнего Надымы, встречаются валуны сред-
несибирские и таймырские.

СТРАТИГРАФИЯ ЧЕТВЕРТИЧНЫХ ОТЛОЖЕНИЙ ПО ИХ МИНЕРАЛОГИЧЕСКОМУ СОСТАВУ

А.А.ЗЕМЦОВ

Томский государственный университет

Мощная толща четвертичных отложений севера Западной Сибири очень бедна палеонтологическими остатками. Далеко не всегда она включает ископаемую флору, являясь, по существу, немой. Поэтому при ее стратиграфическом расчленении используется минералогический состав. К настоящему времени накопилось большое количество материалов по минералогии четвертичной толщи. Анализированы образцы по единой методике, что позволяет обобщить полученные результаты и привлечь их к решению ряда стратиграфических и палеогеографических вопросов.

Отложения четвертичной системы резко отличаются по минералогическому составу от более древних пород, на которых они залегают. Для их минералогического состава характерны ассоциа-

ции со значительным преобладанием неустойчивых минералов: пироксенов, амфиболов, группы эпидота-циозита. Такие же минералогические ассоциации свойственны не только отложениям плейстоцена севера Западной Сибири, но и Русской равнины, Западной Европы и Северной Америки.

Наличие массового количества неустойчивых минералов в ассоциациях следует рассматривать как характерное вообще для отложений плейстоцена полярных и умеренных широт Евразии и Северной Америки и связывать с интенсивным проявлением новых тектонических движений в неоген-четвертичное время, а также похолоданиями климата, сопровождавшимися оледенениями.

По минералогическому составу возможно подразделение четвертичных отложений на стратиграфические горизонты и генетические типы, которым присущи соответствующие ассоциации минералов. Например, ледниковые и водно-ледниковые отложения самарийского горизонта отличаются от аллювиальных и озерно-аллювиальных отложений тобольского межледникового более высоким процентом неустойчивых минералов. Минералогический состав заланных суглинков зырянского горизонта на северо-востоке равнины представлен преимущественно (до 90%) наименее устойчивыми пироксенами. Ледниково-морские осадки салехардской свиты содержат минералы, образовавшиеся в морских условиях. Минералогический состав свидетельствует о ритмичности осадконакопления в плейстоцене на севере Западной Сибири, что связано с колебаниями климата.

Поскольку толща четвертичных отложений практически не подверглась глубокому химическому выветриванию и сохранила признаки минералогического состава пород областей сноса, представилась возможность реконструировать условия осадконакопления и установить области питания: Урал, Средне-Сибирское плоскогорье, горы Бирюзовая и, частично, Енисейский кряж. Выделяются три крупных терригенно-минералогических провинции: а) приенисейская со значительным преобладанием в тяжелой фракции пироксенов, б) приуральская с преобладанием амфиболов и в) центральная, для которой характерна группа эпидота-циозита. Формирование последней происходило за счет поступления материала, частично с Таймыра, и размыва неглубоко залегающих здесь дочетвертичных пород.

К ИТОГАМ РАБОТЫ ПАЛЕОНТОЛОГОВ-НАУЧНЫХ РАБОТНИКОВ И ВЫПУСКНИКОВ ГЕОЛОГО-ГЕОГРАФИЧЕСКОГО ФАКУЛЬТЕТА ЗА 50 ЛЕТ

В.А.ИВАНИЯ

Томский государственный университет

Первая палеонтологическая работа в Томске, посвященная изучению скелета мамонта, найденного на р.Томи, была опубликована профессором зоологии университета Н.Ф.Кашенко в 1901 году. Позднее, после Великой Октябрьской социалистической революции, с развитием геологической службы и геологического образования в Сибири, начиная с двадцатых годов, в изучение ископаемого органического мира Сибири включились многие палеонтологи - научные работники факультета и выпускники Томского университета.

Основателем палеонтологической специальности в университете и главой томской школы палеоботаников явился профессор В.А.Хахлов. Одним из первых он начал изучение девонских, пермокарбоновых, мезозойских и третичных растений Западной Сибири и разработку стратиграфии каменноугольных бассейнов Западной и Средней Сибири.

Многое для детального расчленения угленосных отложений Сибири сделал Л.А.Рагозин (ныне профессор Московского университета), один из лучших энтомологов ископаемых пелеципод.

Доктор геолого-минералогических наук А.А.Ларищев убедительно показал, что в образовании юрских углей Сибирской флористической провинции главную роль играет не кора, а корка гимкотовых, хвойных растений и папоротников. Известны его работы и по изучению древесины мезозойских и третичных растений.

Пионерами в изучении фауны и флоры докембрия, кембрия и ордовика Западной Сибири явились старейшие выпускники факультета П.С.Краснопесев, О.К.Полетаева и А.Г.Сивов, впервые расчленивший кембрий Саяно-Алтайской области на ярусы. Эти работы успешно продолжают Н.К.Иванин, Л.И.Егорова, В.Д.Томашпольская и многие другие.

В основном выпускниками факультета разработана ярусная шкала ордовика и начато детальное изучение стратиграфии и фау-

ни силура Западной Сибири (Е.С.Федянина, А.И.Науменко, А.М.Яро-
гина, И.И.Кузьков, Е.А.Холстоногова и другие).

Органический мир и стратиграфия девона Западной и Средней
Сибири успешно изучают Л.Н.Краевская, А.Р.Аланьев, В.Л.Иванов,
С.К.Черепинкин и другие.

Многое для познания пермо-карбоновой фауны и флоры и стра-
тиграфии угленосных бассейнов Сибири сделали И.В.Лебедев,
С.В.Сухоя, С.Г.Горелова, Р.Ф.Бенедиктова и другие.

Органический мир мезозоя и третичного периода Западной
Сибири изучался выпускниками университета И.В.Лебедевым,
Т.Ф.Голосой, А.А.Аланьевым, И.Г.Горбуновым, В.П.Никитиным,
А.Г.Балуской и другими.

В итоге многолетней работы палеонтологов-научных работ-
ников и выпускников факультета написан целый ряд монографий,
посвященных глубокому изучению ископаемой фауны и флоры Сиби-
ри, и не одна сотня статей.

В содружестве с палеонтологами Томского политехнического
института опубликована в 1955 году первая обобщающая двухтом-
ная сводка "Атлас руководящих форм ископаемых фауны и флоры За-
падной Сибири" (редактор-профессор Л.Л.Халфин).

Многие сотрудники факультета явились соавторами трехтом-
ной монографии "Биостратиграфия палеозоя Саяно-Алтайской об-
ласти" (изд. 1960-1962 гг., редактор Л.Л.Халфин) и двухтомной
"Биостратиграфии мезозойских и третичных отложений Западной
Сибири" (редактор И.В.Лебедев). Таковы некоторые итоги работы
пяти палеонтологов.

СТРАТИГРАФИЯ И ЛИТОЛОГИЯ ЮРСКИХ ОТЛОЖЕНИЙ КУЗБАССА /НА ПРИМЕРЕ ЦЕНТРАЛЬНОЙ МУЛЬДЫ/

К.Е.ИВАНОВ

Томский государственный университет

В пределах Центральной мульды детально изучен район
Бунгаренской синклиниали, где юрские отложения хорошо обнажены
по обоим берегам р.Томи и вскрыты многочисленными канавами,
а также районы р.Уроп и деревень Нермаково и Чусовитино, где
отложения при вскрытии буровыми скважинами.

Бунгаренская синклиниаль является крупной структурой, ось

которой проходит в северо-западном направлении так, что юго-
западное ее крыло, с более низким падением пород, обнажено
на правом берегу р.Томи, а северо-восточное - на левом. По
обоим берегам р.Томи отложения распадской, абашевской, оси-
новской и терсюкской свит, в геологическом и литологическом
отношении детально изученные нами, во флористическом - С.К.Га-
ттарой, а в спорово-пыльцевом - А.В.Михеевой. Установлена раз-
ная фаунистическая изменчивость отложений, выражаясь в сильном
колебании состава и мощностей отдельных свит, а также в зна-
чительных колебаниях угленосности абашевской и осиновской свит.
Разрез юры по правому берегу р.Томи, по данным П.А.Васильевой
и И.М.Репина, имеет мощность около 930 м, а по левому берегу
р.Томи, согласно нашим данным, - немногим более 600 м.

Провинцией питания Бунгаренской синклиниали являлись, веро-
ятно, отложения палеозоя и докембрия Тайдоно-Терминского райо-
на, о чем говорит состав гальки конгломератов, минералогический
состав песчаников и другие признаки. Присутствие в гравелито-
конгломератах осиновской свиты правого берега р.Томи гальки
базальтовых пород, частое присутствие зерен основных плагиок-
лазов, повышенное содержание акцессорных минералов /а также
содержание в их комплексе пироксенов и роговой обманки/ и при-
сутствие цеолитового цемента в песчаниках терсюкской свиты
правого берега р.Томи дает основание полагать, что размытый
подвергалась толща триасовых отложений, содержащих силлы ба-
зальта и обогащенных цеолитовым материалом.

В районе р.Уроп отложения юры слагают две брахисинклинали -
Дунасовскую и Каракансую. Мощность отложений составляет 400-
500 м. По нашим данным, здесь выходят отложения гаспадской и
абашевской свит. В районе д.Пермаково юра представлена распад-
ской, абашевской и осиновской свитами, причем абашевская и оси-
новская свиты здесь угленосны. Мощность юры около 520 м. В сос-
таве юрских отложений, обнажающихся у д.Чусовитино нами выделяется
три свиты - абашевская, осиновская и терсюкская. Отложения этих
свит хорошо различаются по окраске пород, а осиновская свита уг-
леносна. Мощность юры здесь достигает 500 м.

В районе р.Уроп, а также в районе д.Пермаково и особенно
в районе д.Чусовитино состав юрской толщи несколько меняется
за счет сокращения роли конгломератов и гравелитов, а также
значительного увеличения мощности осадков и коэффициента угле-

носности. Предполагается, что в этой части Кузбасса основная масса материала сносилась с запада или с северо-запада, а провинцией питания, по всей вероятности, являлся Саланский кряж.

**ЗАПАДНЫЙ СЛАНЬ В ПОЗДНЕМ РИФЕ - РАННЕМ КЕМБРИИ
(ОБСТАНОВКА НАКОПЛЕНИЯ ОТЛОЖЕНИЙ ЧИНГИНСКОЙ СВИТЫ)**

В.М.ИСАКОВ

Сибирский научно-исследовательский институт
геологии, геофизики и минерального сырья,
Новосибирск

Накопление отложений чингинской свиты Западного Саяна относится к позднему рифу - раннему кембрию, что подтверждается находками окаменелостей в трёх зонах распространения свиты - Северо-саянской, Борусской и Куртушибинской. В стратотипическом районе Куртушибинской зоны свита расчленяется на три подсвиты: нижнюю - сланцево-вулканогенную, среднюю - эфузивно-кремнистую, и верхнюю - терригенно-вулканогенную. Аналогичным образом отложения свиты стратифицируются в Борусской и Северо-саянской зонах.

Чингинские геосинклинальные прогибы в Западном Саяне являются древними эвалстами глубоководных океанических желобов, окаймляющих островные дуги юго-фронтальной их части. Тектонотипом формаций, выполняющих глубоководные желoba - талассогеосинклинали, - по Н.А.Богданову, - является францисанская серия Калифорний, имеющая исключительное сходство по структурному положению и составу с чингинской свитой Западного Саяна. Палеогеографический анализ условий накопления пород францисанской серии, проведенный Н.А.Богдановым, Э.Бейли и др., с учетом обстановок районов современных островных дуг помогает в общих чертах установить условия накопления пород чингинской свиты.

Чингинская свита соответствует граувакково-кремнистодиабазовой формации Западного Саяна, которая повсеместно расчленяется на граувакково-кремнистую и диабазово-кремнистую подформации.

Обстановка накопления отложений чингинской свиты подчинена законам вулканогенно-осадочного литогенеза. В раннечингинское время в глубоководных желобах Западного Саяна относительно мало-

эксплозивные извержения происходили по ареалу традиционно-конической и габбровому (?), а возможно, также габброво-стромболианскому типам. Накопление чистого кремнезема происходит вблизи выхода моря. Большие массы кремнезема осаждались конгенично вместе с тонкообломочным терригенным и гемеродистым веществом.

В среднечингинское время вулканическая деятельность достигает максимальной интенсивности. Вулканические проявления начала среднечингинского времени явились прямым продолжением раннечингинского вулканализма. В дальнейшем в трёх глубоководных желобах вулканические извержения происходят по стромболианскому типу. Воздымания подводных вулканических возвышенностей, иногда образующих острова, резко усложнили рельеф дна глубоководных желобов.

В позднечингинское время вулканы центрального типа действуют в западной части Куртушибинской зоны. В Северо-саянской и Борусской зонах происходят эксцентрические высокопрессивные извержения меланократовых базальтов, приуроченных к линейным зонам разломов. Скорее всего, они близки по форме ареальным эксплозивным извержениям шлаковых конусов в областях современного вулканизма. Накопление громадных масс кремнезема в составе граувакково-кремнистой подформации позднечингинского возраста связано с поствулканической гидротермальной деятельностью в районах, заканчивающихся извержениями центрального типа. Источником граувакковых накоплений является терригенный материал, сносимый с возвращающейся островной суммы, автохтонный материал, сносимый с вулканических возвышенностей и туфовые выбросы вулканов.

Чингинские желоба на протяжении всего времени их существования играли роль впадин-барьеров. Внутри Западно-саянского бассейна островная суши образует два пояса, огибаящих Центрально-саянскую зону. Эти острова явились основным источником сноса для терригенных накоплений, синхроничных чингинской свите в пределах Амильского выступа и в Центрально-саянской зоне.

ГЕОХИМИЧЕСКИЕ АСПЕКТЫ ОЦЕНКИ НЕФТЕГАЗОНОСНОСТИ ВИЛЮЙСКОЙ СИНКЛИЗЫ

В.В.Казаринов

Сибирский научно-исследовательский институт
геологии, геофизики и минерального сырья,
Новосибирск

Лено-Вилюйский бассейн является перспективнейшим нефтегазоносным регионом на востоке страны. При оценке потенциальных возможностей, слагающих его мезозойских и палеозойских отложений, важная роль принадлежит геохимическим исследованиям.

В пределах бассейна фациальные условия, определенные по геохимическим показателям (пир) были благоприятны для накопления, захоронения и преобразования органического вещества (ОВ). Тектонические и палеогеографические особенности района предопределили основные черты геохимии пород. Максимальные значения коэффициента упорядоченности и отношений аутигенного и обломочного железа соответствуют отложениям верхней юры, верхам нижне юры, верхнего-среднего триаса и индскому ярусу нижнего триаса.

Реконструкция первоначальных количеств ОВ показала, что его повышенное количество, за исключением нижнего триаса, приурочено к тем же уровням. Распределение остаточного органического углерода на площади синеклизы равномерно. Лишь для ряда толщ (верхняя пермь, верхне-средний триас, верхняя юра) фиксируется увеличение его концентраций по направлению к Предверхоянскому прогибу. Метаморфизм ОВ возрастает с увеличением мощности перекрывающих отложений от окраин синеклизы к прогибу от буровогольной до газовой степени углефикации. Достаточные масштабы нефтегазообразования появляются в отложениях, достигших высших подстадий длинопламенной стадии углефикации и их абсолютные значения растут по мере дальнейшего нарастания степени метаморфизма.

В терригенной верхнепалеозойско-мезозойской толще выделено семь комплексов - верхняя пермь, нижний триас, верхний-средний триас, нижняя и средняя юра, верхняя юра и нижний мел, отличающихся по условиям и характеру возможной газонефтеносности. Комплекс геолого-геохимических показателей позволил выделить и установить пространственное изменение нефтегазопроизводящих толщ, подсчитать их запасы объемно-генетическим методом.

Анализ данных по каротажу рассеянного ОВ, углепетрографические исследования, а также материалы химического анализа углей позволяют считать, что сапропелевое ОВ находилось в отложениях верхнего лейаса. В триасе, раннем-среднем лейасе и средней юре место смешанное сапропелевое и гумусовое ОВ. В пермских, верхнеюрских и нижнемеловых отложениях преобладает гумусовое ОВ. Состав исходного ОВ, а также степень его катагенетических изменений предопределили свойства жидких углеводородов крекинга и триасовых нефтепроявлений, преимущественную газоносность наиболее изученной части бассейна - Хапчагайского поднятия. Дальнейшие поиски нефти рекомендуется проводить в прилегающих к нему Линденской и Лунгхинской впадинах и в зонах выклинивания мезозойских отложений.

В свете полученных данных, объектом поисковых работ на газ и нефть в Вилюйской синеклизе должны быть верхнепермские, триасовые и верхнеюрские осадки.

К СТРАТИГРАФИИ ДЕРБИНСКОЙ СЕРИИ ПРОТЕРОЗОЯ ВОСТОЧНОГО САЯНА

А.З.КОНИКОВ, А.И.СЕЗЬКО

Всесоюзный научно-исследовательский геологический институт, Ленинград

Дербинская серия объединяет мощный (около 70 тыс.метров) комплекс кварцито-гнейсово-карбонатных отложений, соответствующих раннепротерозойскому этапу развития западной части Восточного Саяна.

Изучение дербинской серии (в частности, её стратиграфии) может иметь важное значение для познания основных закономерностей геологического развития структур южного обрамления Сибирской платформы в раннем протерозое, а также для корреляции разрезов разных частей Восточного Саяна.

В настоящее время по принятой большинством геологов схеме в составе дербинской серии выделяются три свиты (снизу вверх):

алыгджерская, дербинская и хайминская. Некоторые исследователи считают первую и третью свиты стратиграфическими аналогами, полагая, что алыгджерские гнейсы залегают выше мраморов дербинской свиты.

Полученные авторами материалы указывают на более сложное строение дербинской серии, чем это принято в современных унифицированных стратиграфических схемах. В составе серии можно выделить пять свит (снизу вверх): 1) алыгджерскую свиту амфибол-биотитовых и пироксеновых кристаллических сланцев; 2) ханскую свиту графитистых скаполит-диопсидовых мраморов с прослоями кварцитов; 3) сигачскую свиту часто переслаивающихся сланцев и гнейсов (нередко кальцитсодержащих), мраморов, кальцифиров, кварцитов; 4) сарлыкскую свиту мраморов с прослоями слюдистых сланцев и кварцитов; 5) тайминскую свиту темных плитистых мраморизованных известняков.

Приведенная схема подтверждается анализом геологического строения участков бассейна р.Кара-Бурен, верховьев р.Гутары, верховьев р.Маны и др. В первом из этих участков выявлены две сопряженные антиклинальные зонки нутры на север складки, ядра которых сложены породами алыгджерской свиты, а крылья - более молодыми свитами. В верховьях р.Маны (на водоразделе рр.Сисима и Маны) ядерная часть антиклиниория сложена не алыгджерской свитой (как это принимается в настоящее время), а более молодой сигачской.

Особенно наглядно строение нижних частей разреза дербинской серии представлено в верховьях р.Гутары, где установлено периклинальное замыкание круто запрокинутой на юг антиклинальной структуры. Выяснено, что ядро структуры сложено алыгджерской свитой, а крылья - мраморами ханской свиты. Последние в пределах периклинального замыкания в горизонтальном залегании перекрывают сланцы алыгджерской свиты.

Полученные данные позволили решить дискутирующийся много лет вопрос о соотношении алыгджерской свиты с толщей мраморов, относимых нами к ханской свите, и предложить приведенную выше новую (пятичленную) стратиграфическую схему дербинской серии протерозоя западной части Восточного Сиба.

О ПРИЧИНАХ АСИММЕТРИИ РЕЧНЫХ ДОЛИН В ГОРАХ

И.В.КОРЕШКОВ

Восточный научно-исследовательский горно-рудный институт, Новокузнецк.

Как известно, согласно закону Бэра, под действием ускорения Карнолиса у рек северного полушария правый берег должен быть круче левого. Силы этого ускорения малы и если могут проявляться, то лишь у крупных равнинных рек. Впрочем, и у ряда равнинных рек правый берег не круче левого (Печора, Северная Двина и др.).

В горах, где за счет крутых уклонов русел течение рек бурное, ускорение Карнолиса, несомненно, подавляется и не может влиять на форму речных долин. Но последние от этого не становятся симметричными.

Для Юго-Западного Тянь-Шаня мы показали (Корешков, 1960), что в тектонических впадинах проседания, расположенных на водо- вых поднятиях, русла рек смещаются в направлении наклона крыла свода, на котором располагается данная тектоническая впадина. А как будет вести себя река в том случае, когда течет не по тектонической впадине, а пересекает, например, под тем или иным углом горный хребет (сводогорст)? Такие случаи особенно часты на Алтае, с его сложным рисунком горных сооружений.

В такой обстановке одна и та же река, например Катунь, текущая, в общем, в одном и том же направлении, то имеет симметричную долину и течет по ее середине, то на отрезке нескольких километров прижимается вплотную к одному берегу, подмывает его. При этом на противоположном берегу наблюдается целая серия террас. На другом участке столь же значительной протяженности мы видим крутой, подобный только что описанному, берег с одной стороны и террасу реки под ним, но сама река далеко сместилась к другому берегу и энергично подмывает его. Между тем выше обрыва коренных пород этот берег несет высокие древние террасы.

Мы видим причину такого поведения рек в различной скорости поднятия блоков или частей блока, образующих берега реки. В условиях равномерного поднятия или опускания берегов формируется симметричная долина. Быстрее поднимающейся берег оттесняет реку к берегу, поднимающемуся медленнее или опускающемуся. Река чутко реагирует на высотные изменения в поперечном профиле до-

лини и течет по линии наименьшего сопротивления.

Если это изменение имеет постоянно один характер, то оказывается постоянный перекос долины в одну сторону и река последовательно смешается в одном направлении. В этом случае по террасам противоположного берега можно судить о величине этого перекоса.

В том случае, когда большая скорость поднятия одного берега с течением времени перешла к другому, река соответственно этому, вначале оттеснялась в одну сторону, а затем - в другую.

Конечно, на этот процесс влияют и другие причины, например крепость слагающих берега пород, сила инерции потока и пр. Но ведущей силой здесь является сила тяжести. Другие же причины способны лишь вносить местные небольшие корректировки.

Исходя изложенного, становится ясной необходимостью внимательного изучения поведения речной сети при изучении неотектонических движений горного, и не только горного района.

ОБ АНДЗЕИТОВОЙ ФОРМАЦИИ В НИЖНЕМ КЕМБРИИ СЕВЕРО-ВОСТОЧНОЙ ЧАСТИ ГОРНОГО АЛТАЯ

Б.Г.КРАЕВСКИЙ

Сибирский научно-исследовательский институт
геологии, геофизики и минерального сырья,
Новосибирск

В составе нижнекембрийских отложений Горного Алтая выделена ашпанакская свита вулканогенно-осадочного профиля. Она распространена в центральной части Уйменско-Лебедского синклиниория. Вулканогенная составляющая свиты представлена субаэральными красноцветными накоплениями-пирокластами и разнообразными продуктами их перемеще, в меньшей степени лавами. По химическому составу вулканиты соответствуют андезито-базальтам. Характерным элементом свиты являются рифогенные фаунистические охарактеризованные известняки.

Отложения ашпанакской свиты в разрезе занимают положение выше образований спилито-кератофировой формации (манжеронская, сарысазская свиты) и по особенностям своего состава близки андезитовой формации в трактовке В.Е.Хайна (1964), которая, согласно этому автору, свойственна 2-й стадии геосинклинального цикла.

Палеогеографические реконструкции по северо-востоку Горного Алтая показывают, что накопление нижнекембрийской андзейитовой формации приурочено ко времени появления в этом районе первых местных источников питания, т.е. связано с расчленением геосинклинального бассейна. О том же свидетельствует фациальное разнообразие осадков этого времени.

Все вышесказанное позволяет считать, что после формирования вулканогенных образований спилито-кератофирового ряда (манжеронская, сарысазская свиты), знаменующих начальную стадию геосинклинального цикла, геосинклинальный бассейн, занимавший северо-восток Горного Алтая, вступил в новый этап развития. По своей значимости и характерным особенностям он вполне соответствует 2-й стадии геосинклинального цикла по В.Е.Хайну (1964). Переход от первой стадии ко второй сопровождался значительным перерывом в осадконакоплении, складчатостью и внедрением габбро-плагиогранитных интрузий.

Существование зрелых геосинклинальных образований в нижнем кембрии Горного Алтая находит объяснение лишь с позиции признания самостоятельности и завершенности салазирского цикла тектогенеза, а с другой стороны, само является определением подтверждением его самостоятельности.

КОРРЕЛЯЦИОННАЯ СТРАТИГРАФИЧЕСКАЯ СХЕМА ДЕВОНИСКИХ ОТЛОЖЕНИЙ АЛТАЕ-САЯНСКОЙ ОБЛАСТИ

В.И.КРАСНОВ

Сибирский научно-исследовательский институт
геологии, геофизики и минерального сырья,
Новосибирск

Корреляционная стратиграфическая схема составлена для таких районов Алтай-Саянской области, в которых девонские образования представлены наиболее полно всеми тремя отделами и фациально различными комплексами осадков - от морских карбонатных на Салазире до речных, лагунных и озерных терригенных и терригенно-эфузивных в Минусинском и Тувинском прогибах, Кузнецком Алатау, Западном и Восточном Саянах. Корреляция проводилась на основе всего комплекса детальных исследований по отдельным наиболее важным для стратиграфического расчленения и корреляции разрезам

и участкам, освещение материалов по которым уже дано нами в опубликованных работах, а также с учётом исследований по девонской системе А.Р.Ананьева, А.И.Анатольевой, В.А.Иванич, В.И.Краснова, В.С.Мелещенко, Н.В.Мироновой, Н.И.Предтеченского, М.А.Рыбникова, Л.Л.Халбина, Г.С.Харкина и др. Главное внимание уделено детальности стратиграфического расчленения и всестороннему учёту фациальных различий в наиболее трудной для расчленения и корреляции осадочно-вулканогенной серии.

Основные выводы по корреляции стратиграфических подразделений сводятся к следующему:

1. Красноцветные терригенные и эфузивные образования в восточных районах Алтас-Саянской области подразделяются на 8 горизонтов снизу вверх: быскарский (нижний девон и целом), толтаковский (эйфель-живет), илеморовский (живетский ярус), байсийский (живетский ярус), ойдановский (франский ярус), кохайский (франский ярус) и тубинский (франский и фаменский ярусы).

2. Такие горизонты как самагалтайский, имекский, саглинский и таштыпский упраздняют в силу линзообразного залегания их внутри осадочно-эфузивной быскарской серии и быстрого замещения их по простирию эфузивными породами.

3. Быскарский горизонт соответствует томско- заводскому, крековскому, малобачатскому и салайкинскому горизонтам Салаира.

4. Стратотипы таких подразделений, как чиланская, имекская, толочковская, таштыпская, шунетская и матаракская свиты, являются эталонными лишь для отдельных разрезов осадочно-эфузивной серии; они отражают лишь конкретную последовательность отложений в конкретных районах и не могут быть распространены на другие разрезы и районы восточной части Алтас-Саянской области.

5. Границы международных стратиграфических подразделений, как правило, не совпадают с границами свит и подсвит.

6. Осадочно-эфузивная быскарская серия (горизонт) и её аналоги не могут быть подразделены на стратифицированные свиты с изохронными границами, имеющими широкое площадное развитие даже в пределах одного крупного региона или одной структурно-формационной зоны.

7. Известняки крековского, малобачатского, салайкинского и шандинского горизонтов в значительной степени содержат рифовые тела типа известняков горы Белый Камень на р.Чумыш, что ста-

вит под сомнение самостоятельность некоторых установленных горизонтов на Салаира. Такие горизонты как малобачатский, а также подшандинские известняки и другие могут оказаться рифовыми формациями других горизонтов, в том числе крековского и салайкинского.

НИКОТРОЕ ДАННЫЕ О ПАЛЕОГЕОГРАФИИ АЛТАЕ-САЯНСКОЙ ОБЛАСТИ В ДЕВОНЕ

В.И.КРАСНОВ

Сибирский научно-исследовательский институт геологии, геофизики и минерального сырья, Новосибирск

Исследования по палеогеографии и истории геологического развития Алтас-Саянской области в девонский период позволяют сделать следующие основные выводы:

Эфузивная деятельность наиболее активна в раннем девоне в центральных и восточных районах. В Горном Алтасе она развивалась лишь в начале среднего девона, когда в центральных и восточных районах практически закончилась. В среднедевонскую (живетский век) и позднедевонскую эпохи вулканизм проявился в очень незначительных масштабах лишь в некоторых районах (с.Верхний Аскиз в Южно-Минусинской впадине и, по-видимому, в Уйменско-Лебедском прогибе).

Значительным событием в девонской истории были две крупные морские трансгрессии - таштыпская и байская, первая из которых распространялась до юго-западных районов Южно-Минусинской впадины, Западного Саяна и Тувинского прогиба, а вторая - на всю территорию современных Минусинских и Нагаровской впадин, Западный Саян и прилегающие к нему Кузнецкий Алатау и Восточный Саян. Таштыпская морская трансгрессия шла в Тувинский прогиб и Южно-Минусинскую впадину из Монголии и Горного Алтая. Байская трансгрессия была более широкой: она хлынула в пределы Минусинского района с севера (Западно-Сибирская плита) и с юга - из Монголии и Китая. Байское море представляло собой широкий морской пролив, соединявший южный морской бассейн с северным. До этого такая связь осуществлялась только через Горный Алтай и Салаир.

Все отрезки девонского периода более широко были развиты пепеленлизированные возвышенности. Значительную роль в процессе формирования красноцветных терригенных образований играли

не столько эти области, сколько огромные поля вулканических пород, с которых происходил снос в область аккумуляции.

Нет данных, позволяющих утверждать, что Минусинский и Тувинской прогибы в очертаниях близких к современным замохились по ограничивающим сейчас их крупным региональным разломам в самом начале раннедевонской эпохи. Фактический материал и его анализ показывают отсутствие каких-либо чётких прогибов в раннедевонскую эпоху, напоминающих современные. Существовали более широкие области прогибания, в которых шло накопление, как правило, терригенных осадков, изредка прерываемое карбонатным и терригенно-карбонатным осадконакоплением (сходство до деталей пород разных прогибов и впадин, их мощностей, отсутствие предгорных фаций, позволяющих ограничить площади осадконакопления лишь пределами современных овражательных структур, сходство фауны и т.д.).

Минусинская и Тувинская зоны осадконакопления были едины. В течение девонского периода не было времени, когда они могли бы быть разграниченными. Прежние представления (в том числе и наши) о заложении Минусинских впадин и Тувинского прогиба в раннем девоне, (если признавалось существование осадков раннего девона) и в среднем девоне, (когда отрицалось существование осадков раннего девона), не правильны. Они основаны на традициях, сложившихся в борьбе мнений о возрасте осадочно-эфузивных пород, слагающих нижнюю значительную часть девонского разреза.

Сейчас твердо установлено наличие раннедевонских пород во всех межгорных впадинах и прогибах. Анализ фаций и палеогеографических обстановок с несомненностью указывает на более широкие площади осадконакопления в течение всего девонского периода. Значительная и даже большая часть этих осадков не сохранилась в результате более поздних сильных тектонических подвижек в Кузнецком Алатау, Западном Саяне и Восточном Саяне, сформировавших поднятия и горные массивы в постдевонский и, скорее всего, в пермо-триасовый период, вызвавших разрушение прежде накопившихся осадков и эфузий. Представляется, что Минусинский и Тувинский прогибы сформировались в очертаниях, близких к современным, не раньше фаменского века, а окончательное оформление получили в более позднее время.

Формирование такой структуры, как Кузнецкий прогиб, в общих очертаниях началось в начале фаменского века, а окончательное

оформление - много позднее. Большую роль в этом процессе, по-видимому, играли орогенические движения, имевшие место, скорее всего, в пермо-триасовый период, когда на Сибирской платформе и Зауральско-Сибирской платформе формировались траппы.

НОВЫЕ ДАННЫЕ О СТРОЕНИИ ОСАДОЧНО-ВУЛКАНОГЕННОЙ СЕРИИ В МИНУСИНСКОМ ПРОГИБЕ

В.И.КРАСНОВ, Л.С.РАТАНОВ

Сибирский научно-исследовательский институт геологии, геофизики и минерального сырья,
Новосибирск

Известно, что в Минусинском межгорном прогибе широко распространены эфузивные образования, приуроченные к нижней части девонского разреза. По вертикали они занимают интервал от основания девонской системы до толтаковской свиты среднего девона. При геологической съемке среднего и крупного масштабов делались неоднократные попытки расчленить эти эфузивы на свиты широкого регионального развития. Однако, в вопросах стратиграфического расчленения и корреляции до сих пор имеется много неясностей, вызванных, как нам представляется, стремлением расчленить сложную по составу осадочно-эфузивную серию на свиты в привычном для нас понимании, т.е. на комплексы осадков примерно с одинаковой литологией и изохронными границами. Эта задача, по существу, была невыполнима. Отсюда масса различных представлений, споров, невыясненных принципиальных вопросов, широко изложенных в геологической литературе.

Основные выводы, полученные нами в процессе геолого-съемочных и тематических исследований по расчленению и корреляции осадочно-вулканогенной серии сводятся к следующему:

1. Осадочно-вулканогенная серия Минусинского прогиба и прилегающих горных образований представляет собой сложно построенный комплекс, для которого характерны быстрые фациальные замещения по простиранию, наличие таких геологических тел, как линзы, клинья, языки, конусы, возможно, рифы.

2. Расчленение осадочно-вулканогенной серии на стратифицированные региональные подразделения в ранге свит и подсвит невозможно. Стремление к членку расчленению только приводило к бесконечным спорам и появлению свит различных объемов. При мел-

ко- и частично среднесштабном геологическом картировании допустимо лишь изображение на картах всей серии независимо от её мощности. При средне- и особенно крупномасштабной съёмке необходимо картировать естественные литостратиграфические подразделения типа линз, языков, конусов, клиньев, рифов и т.д. В каждом конкретном районе устанавливаются свои геологические тела, которые в разрезе первоначально могут быть описаны в качестве пачек с собственным названием, независимо от их мощности, например: шунетская и матаракская пачки в разрезе района оз. Шунет и Матарак; изыхская пачка в районе г. Изых; сагархананская - на хребте Сагар-Хая; коксинская - по речке Кокса; белозёрская, сухокаскырская по р. Сухой Каскыр; ширская - близ ст. Шира и т.д.

Эти пачки располагаются на различных стратиграфических уровнях внутри осадочно-эфузивной серии, обладают различным литологическим составом и поэтому не могут выделяться под названием шунетской свиты, как это делалось прежде.

3. Возраст осадочно-эфузивной серии устанавливается только раннедевонский. Причем по характеру складчатости, тесной взаимосвязи с вмещающими образованиями, в неё включаются линзы известняков таштыпской свиты.

4. Все вулканиты серии принадлежат единому базальт-андезито-базальт-трахиандезит-трахит-трахилапитовому комплексу. В составе девонских вулканитов прогиба отсутствуют производные коровых магм.

5. Комплекс осадочно-эфузивных пород отражает орогенный этап развития Алтас-Саянской области в раннедевонскую эпоху; комплекс вышележащих осадочных пород среднего и верхнего девона свидетельствует о полуплатформенном режиме осадконакопления.

ПРИНЦИПЫ СИСТЕМАТИКИ АРХЕОЦИАТ С ТРУБКАМИ

Н.С. КРАСНОПЕЕВА

Основные положения, существующие при создании естественной классификации в палеонтологии, диктуются требованиями эволюционной палеонтологии. Эти основные положения, которыми руководствовался автор при изучении археоциат, таковы: 1) установление генетических принципов; 2) выяснение роли и функций каждого элемента скелета ископаемого организма; 3) особенности онтогенетического

развития организма; 4) зависимость ископаемого организма от физико-химических условий вмещающей среды, а также изменяемость археоциат с геологическим возрастом.

В основу систематики трубчатых археоциат положены следующие признаки: 1) особенности строения интерваллуума двустенного пористого кубка; 2) характерные особенности поровой системы и наличие или отсутствие пузырчатой ткани и днищ.

ПРИРОДА ИСХОДНОГО МАТЕРИАЛА ИСКОПАЕМЫХ УГЛЕЙ КУЗНЕЦКОГО КАМЕННОУГОЛЬНОГО БАССЕЙНА (ЮРА, ВЕРХНЯЯ ПЕРМЬ, НИЖНЯЯ ПЕРМЬ-КАРБОН И ДЕВОН)

А.А. ЛАРИЦЕВ

Многолетние исследования данного вопроса с помощью углепетрографических методов и метода объемного мацерирования вещества угля позволяют сделать некоторые заключения об основных источниках исходного растительного материала главнейших эпох углеобразования в Кузбассе.

1. Юрские угли не только Тарбаганской серии осадков Кузбасса, но и всей Сибирской палеофлористической области (по Вахрамееву, 1964) в основном образовались за счет остатков коры и древесины гинкговых, хвойных, древовидных папоротников и саговниковых. Корковые элементы коры (феллама или пробка) во многих типах угля принимали доминирующее участие. Эти ткани, как наиболее стойкие в сравнении с корой древесины и тем более с паренхимой, накапливались в торфяниках в обильных количествах. Эта концепция доказывается фактическим материалом. Она хорошо объясняет необычные химико-технологические свойства юрских углей Сибири, в частности их высокую битуминозность, теплотворную способность, мирность, а при соответствующей углефикации - их спекаемость. В фациально-генетическом отношении торфяные болота характеризовались неустойчивостью среди от сильно раскидистой (по Бесселовскому, 1955) или восстановительной до ^{оль}мнее раскидистой, при pH ок. 6-5,5. Иногда поверхность торфяников подвергалась окислению на воздухе или при частичном высыпании, или при переходе к трясинному типу болот в процессе естественной эволюции.

Таким образом, все прежние представления, например о тро-

вяно-кутикуловой природе этих углей (Ергольская, 1933, 1940) или о паренхитовой (Вальд, 1956)-не поддаются.

2. Угли кольчугинской стратиграфической серии образовались преимущественно из остатков древесины, листвьев и коры хвойных типов араукарниковых и протососновых, а также папоротников и кордайтов. Последние росли на возвышенных берегах обширных топиевых болот и образовывали там непроходимые леса типа "кордайтовой тайги". Фациально-генетические условия топиевых торфяников были, в основном, устойчивыми, обеспечивая тем самым длительность процессов глубокого остудления ^{растительных} остатков торфа, накопление их и превращение ^{растительных} в гелифицированные мацерали и отчасти фитералы (по Кэди, 1942).

3. Угли балахонской серии образовались преимущественно за счет остатков древесины деревьев и кустарников и в меньшей степени остатков коры и листвьев примитивных кордайтовых, семенных папоротников и плауновых, обильно произраставших в обстановке относительно сухих и отчасти трисинных торфяных болот. В условиях образования углей наблюдались значительные колебания и чередование большей и меньшей заболоченности. В результате такого чередования и фациальной изменчивости в балахонских углях наблюдается, как правило, широкая полосчатость и переслаивание различных типов угля в пластах. Этими особенностями балахонские древесные угли отличаются от кляренновых кольчугинских. Последние формировались в условиях сильно увлажненных торфяников под влиянием интенсивных бактериальных процессов преимущественно в анаэробной среде.

4. В образовании углей девона участвовали главным образом остатки псилофитов и предки современных бурых водорослей. Псилофиты в виде значительных послойных скоплений кутикуловых чешуек давно известны в этих углях и достаточно хорошо изучены. Реже обнаруживаются в них остатки и скопления лентовидных листчатых покрытий талломов прафукоидных водорослей, литоральных обитателей девонских морей.

В этом представлении на природу углей сливается воедино прежние концепции И.Д.Залесского (1915) и З.В.Ергольской (1937). В этих углях недавно были обнаружены поперечные срезы стеблей папоротникодобных растений с центральной протостомой листистого строения и выступами пророковидными, а кроме того, остатки вторичной древесины, протоноклади и сердцевин, построенных по типу

Бадонулем Бальхер, 1847.

- 56 -

Все это убеждает доводы в пользу точки зрения о многообразии исходного растительного материала девонских углей Сибири.

О КЛИМАТИЧЕСКОЙ ОБУСЛОВЛЕННОСТИ МИГРАЦИИ ЗОН БОКСИТОНАКОПЛЕНИЯ В МЕЗОЗОЕ И КАЙНОЗОЕ (НА ПРИМЕРЕ СЕВЕРНОЙ АЗИИ)

А.М.Малолетко

Томский государственный университет

Размещение современных латеритов и палеогеографические реконструкции прошлых геологических эпох указывают, что наиболее благоприятствует бокситонакоплению перемежево-влажный субтропический климат. Субширотное положение климатических поясов, контролирующих бокситонакопление, обусловило и соответствующее расположение зон бокситонакопления. Отклонения от этого правила вызваны особенностями конфигурации морей и материков, расположением горных цепей.

Континентальное бокситонакопление в северном полушарии всегда проявлялось несколько южнее границы, разделяющей умеренную климатическую зону и субтропическую, что в общем приближении соответствует положению современного Средиземноморья. Второй зоной бокситонакопления являлись саваны типа современных саван Мали и Гвинеи. Обе зоны были разделены аридным поясом (типа современной Сахары), где бокситонакопление не проявлялось.

В мезозое и из эос в Северной Азии происходило неоднократное и значительное смещение климатических поясов, что нашло отражение и в миграции зон бокситонакопления.

Верхнетриасовые бокситы известны на Среднем Урале (Волчанско и др. месторождения) и у северного подножья Салайра (обломки в раннеюрских отложениях). В нижнеюрское время Западная Сибирь имела умеренный климат, субтропики сместились значительно к югу, где в верховых Аму-Дарьи и Сырдарьи известны платформенные бокситы этого возраста (Майлисуйское и др.месторождения). В позднеюрское время субтропики вновь сместились к северу, достигнув в неокоме широты Турухана. Переотложенные бокситы в антильских (по В.П. Кезаринову, 1958) отложениях низовий Енисея служат доказательством доантского (неоком?) бокситонакоп-

левия. Южес (Чуымо-Енисейская впадина, Предалтай, Казахстан) были развиты еридные условия. Нижнегелевые платформенные бокситы известны только в Средней Азии (Кавакский район) и могут быть сопоставлены с аналогичными образованием зоны саванн.

С неокома природные зоны испытали смещение к югу, вследствие чего мигрировали к югу, примерно до 50 параллели, и зоны бокситонакопления. Эоценовые бокситы известны у Барнаула, эоцен-палеоценовые - в Северном Казахстане. Имея общую тенденцию к смещению на юг, природные зоны в течение верхнего мела, палеоцен и эоцена испытывали неоднократные (двукратные?) колебания (осцилляции), что нашло отражение в формировании на одних и тех же площадях разновозрастных бокситонакопленных горизонтов. Так, в правобережье Ангара известны сеномантуронские и эоценовые бокситы. С удалением на юг интервал бокситонакопления сужается от позднего мела до эоцена включительно.

В олигоцене бокситонакопление в Северной Азии прекращается, вследствие резкого изменения на обширной площади климатических условий в сторону большей континентальности.

Миграцию зон бокситонакопления во времени и пространстве необходимо учитывать при оценке тех или иных стратиграфических горизонтов на этот вид полезных ископаемых.

ПЕРВЫЕ АБСОЛЮТНЫЕ ДАТИРОВКИ РАКОВИН ПЕРЛОВИЦ И КОРБИКУЛ ИЗ ЧЕТВЕРТИЧНЫХ ОТЛОЖЕНИЙ ЮГА ЗА- ПАДНОЙ СИБИРИ

А.М.МАЛОЛЕТКО

Томский государственный университет

Раковины перловиц (унио) и корбикул долгое время считались руководящими формами для неогеновых и нижнечетвертичных отложений юга Западной Сибири. Предполагалось, что первые вымерли в нижнечетвертичное время, а вторые не пережили эпоху максимального оледенения.

В 1960 г. нами было высказано предположение о сквозном распространении этих форм моллюсков в четвертичное время. Это предположение базировалось на геоморфологических, палеогеографических и палеонтологических данных и не нашло поддержки у большинства специалистов как малакологов, так и геологов.

В 1971 г. получены первые прямые определения абсолютного возраста перловиц и корбикул радиоуглеродным методом: материал для определения послужили сами раковины моллюсков.

Крупные створки перловиц были собраны из базального слоя третьей (30-40 м) террасы, общей для Осы, Ануя и Песчаной и геккской раккой Камышникой у односмысного селения совхоза "Алтой". Возраст раковин был определен в 40000 ± 500 лет (ГИН-419). Паралл. проба дровяники из этого же слоя дала возраст, близкий к 40000 лет. Костные остатки крупных млекопитающих, собранных отсюда же, не противоречат определению: все они принадлежат представителям верхнепалеолитического фаунистического комплекса.

Раковины корбикул были собраны из базального слоя третьей террасы Чарыма (обнажение у старицы против южной окраины с. Усть-Катавинка). Раковины корбикул здесь залегают совместно с многочисленными же створками перловиц, многие из которых, как и створки корбикул, находятся в приживленном положении (парами). Возраст раковин корбикул определен в 33400 ± 930 лет (СОАН-373).

Обе датировки отвечают середине верхнечетвертичной эпохи (середина "имра" или коргиевский век).

Полученные материалы должны быть использованы как стратиграфами-четвертичниками, так и зоологами, изучающими развитие органического мира Сибири.

Пользуюсь случаем, чтобы выразить свою искреннюю признательность Н.В.Кинд (ГИН) и Л.В.Фирсову (СОАН) за содействие в выполнении определительских работ.

ОСНОВНЫЕ ЭТАПЫ ТИАТОНИЧЕСКОГО РАЗВИТИЯ КУЗНЕЦКОГО БАССЕЙНА

В.С.Муромцев

Всесоюзный научно-исследовательский геологический
институт, Ленинград

Кузнецкий каменноугольный бассейн представляет собой крупную, замкнутую со всех сторон депрессионную структуру, выполненную осадками девонской, каменноугольной и пермской систем. В его центральной части имеют локальное развитие трапеевые и юрские образования.

В структурном отношении он представляет собой довольно

крупный, вытянутый по длиной оси и сложно построенный прогиб, образовавшийся на стыке трех разновозрастных и в разной степени консолидированных складчатых сооружений, каждое из которых имеет свои характерные особенности геологического развития. Этим обстоятельством объясняется, по нашему мнению, различие в составе пород, резкое изменение фаций и мощностей, характер дислокации осадочного комплекса.

Несмотря на то, что отдельные районы Кузнецкого бассейна достаточно хорошо изучены в связи с проведением работ по разведке угольных месторождений, основные этапы тектонического развития этого сложно построенного региона до настоящего времени остаются невыясненными.

Располагая значительным фактическим материалом, полученным в результате многолетних полевых исследований и обработки материалов бурения глубоких и опорных скважин, автор пытается установить природу рассматриваемого региона путем прослеживания основных этапов его тектонической эволюции на протяжении геологической истории.

Первый этап охватывает нижний и средний девон. В это время на месте Кузнецкого бассейна существовал продольный краевой прогиб Алтайской геосинклинальной зоны, которая располагалась к западу и юго-западу от современного Кузнецкого бассейна.

Второй этап развития этой структуры начался с верхнего девона и продолжался вплоть до середины верхней перми включительно. В этот период на месте современного Кузнецкого бассейна развивался попечный краевой прогиб Обь-Зайсанской геосинклинальной зоны, располагавшейся к северу от современного Кузнецкого бассейна.

Третий этап развития начался после инверсии Обь-Зайсанской геосинклинальной зоны, когда на месте Кузнецкого бассейна образовалась замкнутая унаследованная впадина, существовавшая в период верхней перми и триаса.

Четвертый и заключительный этап связан с распадом замкнутой впадины на ряд наложенных мульд, существовавших на территории современного Кузнецкого бассейна в юрский и меловой периоды.

Последние закладывались, когда весь рассматриваемый участок земной коры и прилегающие к нему районы представляли собой субплатформенную область.

Таким образом, из анализа тектонического развития Кузнецкого бассейна видно, что в его эволюции может быть выделен ряд сменявших друг друга этапов.

На примере Кузнецкого бассейна можно сделать ряд выводов об условиях возникновения, развития и ограничения краевых структур этого типа, промежуточный и сложный путь тектонического развития.

ФИЛОГЕНЕТИЧЕСКОЕ ДРЕВО КОНЦИННЕЛЛ В ВЕРХНЕПЕРМСКОМ РАЗРЕЗЕ КУВБАССА

Ю.С.ПАЛИН

Тюменский индустриальный институт

Изучение возрастных изменений раковин, наряду с морфологическим и другими методами исследований, позволяет установить онтогенез отдельных особей. Составляя выявленные онтогенезы в стратиграфической последовательности от более древних форм к более молодым, можно определить степень их генетического родства и тем самым восстановить филогенетическую схему той или иной группы.

Благодатным материалом в этом отношении явилась морфологически разнообразная группа конциннелл из угленосных верхнепермских отложений Кузнецкого бассейна. Конциннеллы, рассматриваемые одними исследователями как родовая, а другими - как подродовая таксономическая единица, появляются в нижней части канзиково-маркинской свиты и прослеживаются до самых верхов тайшуганской, т.е. до границы с нижним триасом. В этом направлении количественное значение конциннелл все возрастает и в тайшуганской свите они являются, наряду с антраконицами, ведущей группой среди двустворок. Размеры раковин колеблются от 1-2 до 25 мм.

Полное фотографирование коллекций с получением снимков размером до 105x140мм, последующее поднятие тушью 8-10 концентрических линий нарастания из каждой особи позволяют четко следить и сравнительно анализировать возрастные изменения раковин. Существенно дополняет такие наблюдения изучение серий от самых мелких до самых крупных форм, собранных в один слой (на одной

плоскости наслонения). В результате определяются онтогенезы особей.

В онтогенетическом развитии конциннелл на определенных стадиях происходят в очертаниях раковин довольно быстрые и заметные перестойки роста, которые можно назвать скачками. Улавливаются скачки как по изменению подобия в очертаниях раковин, так и по разным перегибам задней и передней диагоналей, определяющих основные направления роста особи. Причес способами скачки фиксируются на одинаковом уровне. Количество устанавливаемых таким образом скачков колеблется на отдельных особях от 1 до 3. При сопоставлении различных форм одной линии развития оказывается, что особи с 2-3 скачками стратиграфически приурочены к более молодым отложениям, тогда как экземпляры с одним скачком встречаются в более низких горизонтах.

Сопоставляя онтогенезы раковин, удается определить и их видовую принадлежность и степень генетического родства различных видов. В историческом развитии конциннелл на протяжении трехкилометрового разреза верхнепермских отложений Кузбасса отчетливо намечаются три основных направления, каждое из которых представлено несколькими филогенетическими ветвями. Первое направление объединяет виды с низкими начальными раковинами и существенно преобладающим ростом особей по задней диагонали, второе - виды с более высокими начальными раковинами, и т.д., примерно, одинаковым развитием форм по задней и передней диагоналям; наконец, у видов третьего направления отчетливо выражена тенденция к преобладающему развитию раковин по передней диагонали.

БИОСТРАТИГРАФИЯ ТУРОНСКИХ ОТЛОЖЕНИЙ ЦЕНТРАЛЬНЫХ И ВОСТОЧНЫХ РАЙОНОВ ЗАПАДНО-СИБИРСКОЙ НИЗМЕННОСТИ

В.М. ПОДОБИНА

Томский государственный университет

Туровские отложения низменности представлены фаунами открытого эндо континентального бассейна, тесно связанного с арктическими морями. Об этом свидетельствует присутствие агломерированных фораминифер, радиолярий и других организмов, их сходство с одновозрастными комплексами Сев. Аляски и Канады. На

протяжении туровского времени экологические условия для жизни организмов, в частности фораминифер, и темпы осадконакопления в пространстве и во времени были неодинаковы. В центральных районах /г. Омск, Тара, пос. Новый Васюган, г. Сургут/ в нижней части кузнецковской свиты наиболее многочисленны гаудрини - комплексы с *Gaudryina filiformis*. В более верхних слоях свиты количество гаудрин разско сокращается, что сочетается с увеличением особей другого характерного вида - *Clavulina hastata* /Cushman/. Одновременно меняется видовой состав всего комплекса; появляются новые и исчезают некоторые из ранее существовавших видов; в количественном отношении превалируют реофаксы, псаммофильи и клавулины. Изменяется и облик комплекса: раковины более крупные, грубовернистые, светлее по цвету. Однако, клавулиновый комплекс также представлен исключительно агломерированными формами. Клавулиновым слоям, по-видимому, соответствует в Узете верхнетуровский *Baculites romanowski Arkh.* Возраст отложений с гаудриновым комплексом датируется нижним туруном на основании находок совместно с ним /Тазовская площадь, Березово/ *Inoceramus labiatus Schlothe* Мелкозернистость раковин гаудринового комплекса, их заполнение пиритом и относительно хорошая сохранность по сравнению с вышележащим клавулиновым, свидетельствует об относительно глубоководном, с восстановительными условиями бассейне, чем во вторую половину туруна. В литологическом отношении породы кузнецковской свиты почти однообразны и представлены здесь серыми, местами с буроватым оттенком глинями, мощностью до 40 м. В этих районах к концу верхнего туруна в морском бассейне начинает увеличиваться содержание кремнезема, что обусловило образование опоковидной нижнеберезовской подсвиты, нижние слои которой с редкими находками туровских фораминифер, по-видимому, еще относятся к верхнему туруну. Восточнее Нового Васюгана и Пудино, вплоть до Напаса и Нармы в кузнецковской свите повышается содержание алевритового и песчаного материала, увеличивается мощность свиты до 65 м, а также меняется облик и состав фораминифер. Гаудриновый комплекс здесь обедненное количественно, хуже по сохранности и приурочен к самым нижним слоям свиты. Вышележащие слои свиты с комплексом *Necbulimina albertensis* также относятся к нижнему туруну, так как в с. Ермаково в карне совместно с ним встречены те же иноцерами. В районе с. Александрово, на-

зино, в пределах Лугинецкой площади к верхнему турону относятся самые верхи кузнецковской свиты с комплексом *Clavellina hastata*, *Tibicides westsibiricus*. Оба вида появляются единично с раннего турона, но в позднем туроне количественно преобладают и сопровождаются иной видовой ассоциацией. По-видимому, к верхнему турону относятся и нижние слои илотовской свиты с редкими находками туронских фораминифер. Видовой состав и облик комплексов фораминифер восточных районов указывает на то, что они обитали в области значительного мелководья с активной тектоникой. Последние два фактора усилились в период накопления илотовской свиты, что способствовало образованию мощной толщи серых песков /в Напасе до 270м/, почти лишенной микрофаунистических остатков.

К ВОПРОСУ О НИЖНЕЙ ГРАНИЦЕ СРЕДНЕГО КЕМБРИЯ В АЛТАЕ-САЯНСКОЙ СКЛАДЧАТОЙ ОБЛАСТИ

А.К.СЕМАШКО

Томский политехнический институт

Вопрос о границе нижнего и среднего кембрия является в настоящее время дискуссионным.

Ряд исследователей проводят эту границу по кровле обрученского горизонта, что нашло отражение в официально принятой точке зрения. Многочисленная группа геологов не без основания считает, что границу следует проводить по подошве обрученского горизонта. Эту точку зрения поддерживает и автор.

При анализе родового состава трилобитов обрученского горизонта его можно разделить на три группы: 1- трилобиты, появившиеся ниже обрученского горизонта, существующие в нем и поднимающиеся в более молодые горизонты; 2- трилобиты, появившиеся в обрученском горизонте и переходящие в более молодые отложения; 3- трилобиты, встречающиеся только в обрученском горизонте.

К первой группе относятся: *Edelsteinaspis* sp., *Proerbia* sp., *Eribia* sp., *Granularia* sp., *Bonnia* sp., *Koetenia* sp.

Вторая группа представлена трилобитами родов *Kootenicella*, *Chondragraulus*, *Onchocephalina*, *Lemmarus*, *Solontzella*.

И, наконец, к третьей группе относится род *Batmoides*,

достоверные представители которого известны нам только из обрученского горизонта. В свою очередь трилобитов первой группы можно подразделить на: а) формы, тяготеющие к нижнему кембрию - *Bonnia* sp., *Proerbia* sp., причем, несмотря на то, что отдельные представители этих родов встречены в отложениях более молодых, чем обрученский горизонт, основная масса упомянутых форм характеризует нижнекембрийские отложения; б/ формы "транзитные", имеющие примерно равное представительство как в нижнем, так и в среднем кембрии - *Granularia* sp., Несколько особняком стоит род *Edelsteinaspis*, первые единичные представители которого известны из низов ленского яруса; наибольшее распространение *Edelsteinaspis* получает в обрученское и хакасское время и выше хакасского горизонта не встречается.

Из всего сказанного следует, что комплекс трилобитов обрученского горизонта имеет более тесные связи суперскрывающих ^{трилобитами} среднекембрийских отложений, чем ^{таковыми} суподстилающих нижнекембрийских.

По данным И.Т.Хуравлевой, Л.Н.Репиной и др., на границе санитигольского и обрученского горизонтов "...вымирает более 90 родов трилобитов и археозиат, наблюдается резкое уменьшение количества органических остатков и появляются новые, неизвестные ранее формы".

Таким образом, наиболее четкая фаунистическая граница проходит по подошве обрученского горизонта; ее и следует считать границей между нижним и средним кембriем.

Смешанный облик фауны, которая характеризует обрученский горизонт - явление вполне закономерное для горизонтов, являющихся пограничными между крупными подразделениями МСШ. Согласно правилу Фреха, такие переходные горизонты по появлению новых, прогрессивных форм причисляются к более молодым подразделениям.

В разрезах Западной Европы и Африки /Марокко/, где имеются отложения содержащие смешанный нижне-среднекембрйский облик фауны, они отнесены к среднему кембрию.

О СТРОЕНИИ НЕЗОВОЙСКИХ СЛОЖНЫХ
БАЛЛОЧНОГО ВОРТА ЕМСЕЙСКОГО ПЛАТФОРМА

А.И.СИДОРЕНКОВ, А.Л.МУДАНОВ

Томский индустриальный институт

Предлагается схема формационного деления незовайского осадочного чехла Западно-Сибирской плиты в зоне сочленения этой региональной структуры с Уральской глыбовой областью. Своеобразие такого пространственного положения подсмоно отмечено на особенности тектонического развития региона и предопределило специфику строения осадочного чехла, выраженную в проявлении определенных закономерностей размещения продуктивных образований.

Анализ взаимоотношения формаций и подформаций позволяет прогнозировать несторождения полезных ископаемых /уголь, бокситы, самородная медь, золото/ и ограничивать области выделения перспективных площадей.

О СТРОЕНИИ БОКСИТОНОСНЫХ ОТЛОЖЕНИЙ
ПРИАНГАРЬЯ

В.И.СТРЕЛЕЦ

Томский государственный университет

В различные временные интервалы позднего мела и палеогена территории, охватываемая Приангарье, испытывала тектонические движения различных знаков и амплитуд. На Енисейском кряже в большинстве случаев преобладали движения понижательного знака, а в зоне сочленения с платформой и на Сибирской платформе-отрицательного (Ботех, 1968; Силиаров, 1968; Шибистов, 1969). Это прямо сказалось на сохранности конкоти разрезов продуктивных образований: наиболее полно разрезы (J20-150м) отмечаются на платформенных и приплатформенных площадях (Чадобецкий и Ирикеский выступы).

Разлитие карстующихся массивов в юрко-меловое время в пределах всей описанной площади в настоящее время достигло конической (пойменной) стадии. Последняя, согласно Д.В.Рыжикову

(1948, 1954), характеризуется совместным формированием крупных пойм (котловин), когда вертикальная циркуляция подземных вод в карстующемся массиве была ничтожной. Крупные котловины, поймы отмечаются в пределах юго-западной части Сибирской платформы и на Енисейском кряже. Отсюда, основные местоположения бокситоносных отложений в ископаемом домовом фундаменте повсеместно заложились и развивались одновременно.

Стратиграфические и литологические исследования продуктивных образований позволили выделить как верхнешелевые, так и палеогеновые отложения, которые содержат 4 споро-пыльцевых комплекса (сенонский, датский, палеоцен-эоценовый и олигоценовый) и, кроме того, 2 комплекса пород: мурожинский и бельский.

Наибольшим по объему является мурожинский комплекс, формирование которого охватывает временной интервал от сенона до олигоцена. В составе верхнешелевых образований выделено две толщи: прилунская (сенонская) и ямнинская (датская). Палеогеновые отложения также имеют двучленное строение: в основании залегают породы сухореченской толщи (по возрасту палеоцен-эоценовая), в верхней части централь-яннская толща (олигоценовая). Бокситоносными являются прилунская, ямнинская сухореченская и центральненская толщи. Последняя содержит в основном обломочные бокситы. Центральненская толща по флористическим остаткам отнесена к бельскому комплексу. Сухореченская и центральненская толщи в пределах Енисейского кряжа распространены локально (руч. Сухой, Порожинский и др. в пределах восточной части кряжа). Все толщи отделяются друг от друга резкими поверхностями размыза и несогласия.

Континентальные меловые и палеогеновые отложения полицикличны. Это ярко отражается в чередовании рудоносных и глинистых (лигнитоносных) горизонтов. Самая древняя прилунская толща имеет следующее строение (снизу вверх): нижний (рудоносный) горизонт, средний (лигнитоносный) и верхний (рудоносный). Ямнинская толща также состоит из 3 горизонтов: нижнего (лигнитоносного), среднего (рудоносного) и верхнего (лигнитоносного).

Строение сухореченской толщи аналогично прилунской. Центральненская толща бельского комплекса (олигоцен) имеет двучленное строение: выделяются нижний (лигнитоносный) и верхний (глинистый) горизонты. Горизонты различных стратиграфических уровней содержат отличающиеся друг от друга споро-пыльцевые комплексы и

имеют мощности, колеблющиеся от 5 до 12 м. Литолого-минералогический анализ выделенных стратиграфических подразделений и увязка с данными геохимических исследований подтверждают достоверность границ и наличие заметных перерывов между основным и датом и крупных между верхним мелом и палеогеном. Наибольший практический интерес представляют отложения сухоречанской толщи.

О САЛАИРСКОМ ТЕКТОГЕНЕЗЕ В АЛТАЕ-СЯНСКОЙ СКЛАДЧАТОЙ ОБЛАСТИ

В.С.СУРКОВ, О.Г.ЖЕРО, Л.В.СМИРНОВ

Сибирский научно-исследовательский институт геологии, геофизики и минерального сырья,
Новосибирск

Гетерогенность строения и многоэтапность развития Алтас-Саянской складчатой области признаются большинством исследователей. Однако некоторые вопросы тектонического строения и истории развития все еще остаются нерешенными. Значительные разногласия, в частности среди исследователей, имеются по вопросу выделения салаирской складчатости: является ли она самостоятельным циклом тектогенеза или ранней фазой каледонского цикла?

Проведенный авторами анализ геолого-геофизических материалов с целью выяснения регионального тектонического строения области и установления связи поверхностных структур со строением глубинных границ земной коры позволяет привести новые аргументы, подтверждающие правомерность выделения складчатости позднего докембрая начала раннего палеозоя в самостоятельный салаирский тектонический цикл, поддерживая тем самым представления И.А. Усова, К.В. Радугина, А.М. Кузьмина и др.

В результате исследований было установлено, что Салаирский крям, Кузнецкий Алатау, частично Горный Алтай, а также фундаменты крупнейших межгорных впадин: Кузнецкой, Минусинских и Уланчено-Леседской образованы структурно-формационными зонами /антеклиниориями, синеклиниориями, срединными массивами/ унаследованного типа развития. Основная дифференциация вещественного состава верхней части земной коры, связанныя с формированием

указанных структурно-формационных зон ограничена поздним докембriем и ранним и средним каледонидом, но есть обширная промежуточная геосинклинально-магматическая зона. Ещё одна часть Горного Алтая Северный Саян и Восточный Саян образованы принципиально иначе - типом структурно-формационных зон геосинклинального типа. Эти зоны являются структурами инверсионного типа развития. Основная дифференциация вещественного состава и магматизм этих зон в указанных районах охватывает весь ранний палеозой, то есть не только каледонский цикл тектогенеза, но захватывает по времени и конец салаирского тектогенеза, проявившегося в районах, расположенных севернее.

Анализ строения глубинных границ земной коры показал, что в пределах салаирид изобилует резкая изменчивость мощности ее верхней части. Мощность гранитно-метаморфического слоя изменяется от 15 до 25 км. В пределах байкалид и каледонид этот слой всегда имеет мощность более 20 км. Кроме того, выясняется, что геосинклинальные системы салаирид в противоположность байкалидам Восточного Саяна и каледонидам Западного Саяна и Кемзунско-Чуйской зоны заложились на синтаксическом основании, а не в неких частных геосинклинальных прогибах, по-видимому, служила кора оксанического типа.

Структурно-формационные зоны салаирид под действием интенсивных блоковых движений в последнее время были существенно переработаны и в современной структуре горных сооружений не находят четкого отображения. Особое место в постгосинклинальных движениях занимают крупные сдвиги, в результате которых в ряде случаев были приведены в соприкосновение совершенно разнородные структурно-формационные зоны.

Таким образом, структурно-формационные зоны салаирского цикла тектогенеза принципиально отличны от каледонских: возрастом и составом формаций, типом тектонического развития структур, составом и строением земной коры и территорией распространения. Все это дает нам основание рассматривать Салаирскую складчатость как самостоятельный цикл тектогенеза, а не как начальную фазу каледонского цикла тектогенеза.

О ТИПАХ СТРУКТУР АКТИВИЗАЦИИ ЗЕМНОЙ КОРЫ

А.А.ТИМОФЕЕВ

Тюменский индустриальный институт

Развитие земной коры представляет собой чередование процессов активизации и стабилизации. В периоды активизации земная кора становится наиболее раздробленной и проницаемой для магматических расплавов.

Среди структур, образующихся во время активизации земной коры, можно выделить 6 типов.

1. Структуры, приуроченные к планетарным разломам - океанические рифты. Это наиболее автономные структуры, которые регулируют процесс образования океанов и оказывают воздействие на материки.

2. Материковые рифты, рассекающие материки на значительном их пространстве. Структуры являются менее автономными и геосинклинальные тенденции развития в них угнетены консолидированными блоками.

3. Геосинклинальные системы, образованные в пределах консолидированных областей сквозными разломами. Структуры автономные, и влияние жестких блоков на них сказывается в появлении многосекущих зон.

4. Авлакогены - структуры взаимодействия геосинклиналей и платформ. Свое начало эти структуры берут в пределах геосинклиналей и затухают внутри платформ.

5. Вулканические пояса - структуры, пограничные между областями с океанической корой и областями с материковой корой.

6. Тафрогены - внутриплатформенные грабенообразные прогибы. Это наименее автономные структуры. Геосинклинальные тенденции развития в них почти полностью угнетены жесткими блоками платформ.

Общими чертами всех типов структур является их ограничение разломами, основной магматизм в начальный этап развития, высокая контрастность движений и большая мощность вулканогенно-осадочных образований.

Характеристика структур приводится в таблице.

Характеристика структур активизации земной коры

Типы структур	Магматизм в начальный этап развития этап разрез.	Основной ультраосновной, основной	Минималь- ная	Интенсив- ная	Пример структур
Планетарные океанические разломы	Сквозные разломы	Основной	Интенсив- ная	Среднеизо- лантический	
Материковые рифты	Прогибы, впадины	Основной	Значитель- ная	Незначи- тельный	Система Амри- канских рифтов
Геосинкли- нальные системы	Складчатые системы	Средний, кислый	Преобра- зован	Слабый, интенсив- ная	Система в Большой Дон- бассе,
Авлакоген	в приго- синклиналь- ной части складчатые зоны, в плотояден- ный-протоком, синеклизы	Основной	Средний, кислый или отсутству- ет	В приго- синклиналь- ной части интенсив- ная	Синклиналь- ной части нельной части-
Вулканиче- ские пояса	Складчатые зоны, сис- темы про- гисов	Основной, средний, кислый	Незначи- тельный	Переменная от интенсив- ной до слабой	Охотский
Тафрогены	Прогибы, редко складчатые зоны	Основной, средний, кислый	Преобра- зован	Слабый, в предразлом- ной части может быть значительной	Интурированные складчатые системы (Челя- бинская в Зап.- Сибири, Вятский взгляд на Русской плате

СТРАТИГРАФИЯ ДОКЕМБРИЯ ЕНИСЕЙСКОГО МЕГАНТИКЛИНОРИЯ И ИРКИНЕЕВО-ЧАДОБЕЦКОГО АВЛАКОГЕНА

А.Я.ХЛЕБНИКОВ

Сибирский научно-исследовательский институт
геологии, геофизики и минерального сырья,
Новосибирск

На Объединенном пленуме трех постоянных комиссий МСК СССР было рекомендовано трехчленное подразделение протерозоя: нижний, средний и верхний (Советская геология, №5, 1964). Верхняя часть верхнего протерозоя возрастом от 750 млн. лет до 550-600 млн. лет Б.М. Келлером и Б.С. Соколовым выделена как венг.

Докембрийские отложения Енисейского мегантиклиория и Иркинеево-Чадобецкого авлакогена в соответствии с этой рекомендацией можно расчленить на те же стратиграфические единицы. Автором предлагается стратиграфическая схема докембрия, составленная в результате 9-летних геологосъемочных работ в указанном регионе.

Структурное несогласие между протерозойскими отложениями Енисейского кряжа с одной стороны и протерозойскими отложениями Иркинеево-Чадобецкой зоны с другой, их разновозрастность, а также несопоставимость разрезов докембрия Енисейского мегантиклиория и Иркинеевского поднятия, примыкающих к разделяющему их региональному разлому, позволили автору отказаться от традиционного порядка свит, применявшегося предыдущими исследователями. В частности, свиты карточки, джурская, манжинская, шунтарская и ваничковская, стратотипы которых находятся в пределах Иркинеевского поднятия, не могут быть применены к отложениям Енисейского мегантиклиория, а свиты потоскайская, аладьинская, погорийская, удерейская, горбилокская и кординская, стратотипы которых находятся в пределах Енисейского кряжа, - к отложениям Иркинеево-Чадобецкого авлакогена.

НЕКОТОРЫЕ ОСОБЕННОСТИ СТРОЕНИЯ И ПРОЦЕССЫ
ФОРМИРОВАНИЯ НЕФТЯНЫХ МЕСТОРОЖДЕНИЙ НИЖНЕ-
ВАРТОВСКОГО СВОДА ЗАПАДНО-СИБИРСКОЙ
РАВНИНЫ

Ю.В.ЩЕПЕТКИН

Западно-Сибирский научно-исследовательский
геологоразведочный нефтяной институт,
Тюмень

Характерной особенностью геологического строения нефтяных месторождений Нижне-Вартовского свода и ряда других районов Западно-Сибирской равнины является наличие в продуктивных пластах прослоев карбонатных (известковистых) песчаников.

Последние отличаются от нефтенасыщенных пород только высоким содержанием (40-60%) цемента преимущественно кальцитового состава. Мощность таких зон карбонатной цементации обычно равна 2-3 м, отмечаются они очень часто на границе нефтенасыщенных и водоносных коллекторов, встречаются и в пределах нефтяных залежей.

В процессе изучения зон карбонатной цементации с помощью люминесцентного микроскопа было установлено, что эпигенетический (вторичный) кальцит, слагающий цемент или выполняющий трещины в породах, четко подразделяется на две группы по характеру люминесценции.

Одна группа имеет зеленовато-серые, серые тона люминесценции, а другая светится в желтых тонах, которые чрезвычайно близки к люминесценции нефти изученных месторождений.

Специальные исследования, направленные на установление природы этого явления, включали:

- а) сравнительное изучение люминесценции карбонатов из разрезов нефтяных месторождений и карбонатов, отобранных за пределами Западно-Сибирской равнины;
- б) сопоставление типа свечения с повышенными содержаниями микроэлементов;
- в) эксперименты с нагреванием образцов на установке "Пирит";
- г) реакции с растворителями.

Сделан вывод, что залежи альбиносово-серые, серые тоже лиминесценции являются "фоновыми" признаком, присущим и для минералов других регионов, тогда как наличие свечения является аномальными, видимо, обусловленным захватом карбонатами в процессе кристаллизации каких-то фракций нефтяного флюида, поступавшего в ловушки или интегрировавшего в продуктивных отложениях.

По электрокаротажным диаграммам и керну было прослежено распределение карбонатных прослоев, в плане и по разрезу локальных поднятий установлены зоны максимумов в содержании цементов с желтой лиминесценцией, которые интерпретируются как палеоконтакты нефтяных залежей.

Карты палеоконтактов в сочетании с палеоструктурным анализом и геохимическими материалами позволили сделать ряд выводов относительно процессов формирования залежей:

1. Нефти, первоначально поступающие в ловушки, находятся в газообразном, или близком ему, состоянии (первичные залежи). В последующие отрезки времени они претерпевают значительные изменения, ведущие к уменьшению объема (вторичные залежи).

2. Процесс формирования залежей распадается на два этапа (цикла), каждый из которых фиксируется "первоичным" и "вторичным" палеоконтактами.

3. Периоды поступления углеводородов в ловушки совпадают с моментами активного роста структуры по продуктивным горизонтам и в значительной степени их приток ослабевает, если не прекращается вообще, при снижении интенсивности тектонических процессов.

4. Залежи пластов БВ₈ (жаланхин) формировались за счет латеральной миграции флюидов по пластовым резервуарам, а в пластах АВ₁-АВ₅ (барсык-алт), в основном, за счет вертикальных перегонов из нижележащих отложений (БВ₈).

5. Полученные результаты имеют практический интерес с позиций разработки залежей.

ГЕОХИМИЯ,
МИНЕРАЛОГИЯ,
ПОЛЕЗНЫЕ ИСКОПАЕМЫЕ

ОКОМОРУДНЫЕ ИЗМЕНЕНИЯ КИЗИЛСКИХ ПОРОД БАКЫРЧИКСКОГО
ЗОЛОТОРУДНОГО МЕСТОРОЖДЕНИЯ (ВОСТОЧНЫЙ КАЗАХСТАН)

В.А.АЛИФЕРЕНКО, И.И.СТАРОВА

Восточно-Казахстанское геологическое управление,
Усть-Каменогорск

Месторождение приурочено к субширотной Кызылмакской зоне смятия, которая является опоряющей по отношению к Западно-Калбинскому глубинному разлому, прослеживается по простиранию на 20-30 км, имеет мощность от 50 до 100 м и падает на юг под углом 45°.

Беседающие рудные тела породы представлены нижнекарбоновыми отложениями: углисто-глинистыми алевролитами, алевро-пелитами и сланцами, полимиктовыми песчаниками, гравелитами и конгломератами, известковистыми породами. Осадочные образования прорваны мелкими интрузиями и дайками разнообразного состава кунутского комплекса.

Рудные тела представлены пирит-арсенопиритовой минерализацией прожилково-вкрапленного характера, с которой связано оруденение золота и серебра. Содержание золота в арсенопирите вдвое выше, чем в пирите, но количество пирита в рудных телах в несколько раз превышает количество арсенопирита. Отношение содержаний золота и серебра в рудных телах равно 2:0,52.

Гидротермально-метасоматические образования относятся не-
ми к формации оксесталитов, выделенной для среднетемпературных
месторождений Ю.В.Казициным (1970). Эта формация возникает в
условиях средних и малых глубин при воздействии на высокие
породы кислого, среднего и основного состава гидротермальных
растворов ранней кислотной или средней щелочной стадии пост-
магматического процесса. Комплекс преобразований пород, в за-
висимости от их состава, выражается в развитии серпинита, квер-
ца, карбоната, альбита, хлорита, актинолита, треполита, пи-
рита, арсенопирита, а в химическом отношении сводится к по-
ступлению углекислых и сернокислых растворов K_2O , SiO_2 и Na_2O .
Подобный процесс изменения пород, по И.И.Бородавскому (1960)
и И.И.Боку (1956), отвечает яшменизации - березитизации, а
Нер С.Д. (1966) называет его углисто-сернистым метасоматозом.

На месторождении Гэнричик выделяются следующие фации, вхо-

дящие в оксесталитовую формацию: карбонат-хлоритовая, яшмени-
товая, березитовая, альбитовая. Карбонат-хлоритовая фация из-
меняет самой внешней, и, следовательно, самой изоконтактурной.
Эта фация формируется в условиях подвижности воды и
углекислоты, в результате чего кальций содержащие минералы
подвергаются карбонатизации и гидратации. Фация отчетливо
проявляется в полимиктовых песчаниках, углисто-глинистых алев-
ролитах и сланцах, в основных и средних изверженных породах.
Листенитовая фация (железисто-магнезиальный карбонат-тремо-
лит-серпинит-карбонат-пирит-арсенопирит) развивается по породам
основного состава, в березитовая (карбонат-серпинит-карбонат-
пирит-арсенопирит) - по средним и умеренно кислым. Для кис-
лых и средних изверженных пород характерна альбитовая фация
(альбит-серпинит-карбонат-пирит-арсенопиритовая ассоциация
для средних пород и альбит-карбонат-серпинит-пирит-арсенопирите-
вая ассоциация - для кислых).

ЗАКОНОМЕРНОСТИ РАЗМЕЩЕНИЯ ПОЛИМЕТАЛЛИЧЕСКОГО
ОРУДЕНЕНИЯ В ЗОЛОТУШИНСКОМ РУДНОМ РАЙОНЕ
(РУДНЫЙ АЛТАЙ)

А.М.АСТАФЬЕВ

Западно-Сибирское геологическое управление,
Новокузнецк

Золотушинский рудный район расположен в СЗ части Рудно-
го Алтая на юго-западном крыле Алейского антиклиниория и об-
разует полосу протяженностью 70 км при ширине 10-15 км, вы-
тянутую в северо-западном направлении и согласную с прости-
ранием основных структур. Район известен как крупный постав-
щик колчеданно-полиметаллических и медно-колчеданных руд,
разработка которых производится с XIX столетия.

Изучение геологического строения Золотушинского рудного
района, отрабатываемых и детально разведанных месторождений
и многочисленных рудопроницаемостей позволило установить следую-
щие закономерности размещения полиметаллического оруденения:

I. Рудоносящая толща полиметаллического оруденения
представлена отложениями среднего девона. Промышленные место-
рождения (Золотушинское, Ново-Золотушинское, Орлогское) приу-

рочены к контексту галечной и бересовской слит.

2. Наиболее благоприятной средой для рудоокализации являются переслаивающиеся вулканогенно-осадочные отложения, а также участки чередования известковистых алевропелитов, алевролитов и известняков.

3. Рудные тела месторождений и рудопроявления приурочены к зонам гидротермально измененных пород или эксплозивных скричий.

4. Золотушинское, Ново-Золотушинское и Орловское месторождения располагаются в тектонических блоках, ограниченных разломами северо-западного и субширотного простирания.

5. Наибольшая концентрация оруденения отмечается в участках развития локальных структур, флексураобразных перегибов, прогибов, карманов, куполов.

6. Рудные тела имеют пластово-лизаообразную форму и сопровождаются зонами гидротермально-измененных пород, а в лежачем боку ореолами прожилкового оруденения.

7. Пространственно рудные тела Золотушинского месторождения расположаются на продолжении выклинивающегося тела субвуликанических кварцевых порфиров; на Ново-Золотушинском месторождении рудные тела тяготеют к апикальной части субвулика на кварцевых порфирах.

8. Рудные залежи сопровождаются первичными ореолами рассеяния элементов. Мощность ореолов рассеяния прямо пропорциональна мощности рудных тел или зоне гидротермальной проработки.

9. Осветление пород характерно при выходе рудной зоны на дневную поверхность или под четвертичные отложения.

10. Все месторождения Золотушинского рудного района (Золотушинское, Ново-Золотушинское, Орловское, Локтевское, Гериховское, Сыргутановское и др.) и большая часть рудопроявлений (Ишакское, Толедьевское, Самарское, "Шаг вперед", "Первениц", Некрохское и др.) фиксируются на дневной поверхности, или под наносами, пологими формами рельефа.

Установленные закономерности в размещении полиметаллического оруденения позволяют более целенаправленно вести поиск полиметаллических месторождений в Золотушинском рудном районе.

МАГМАТОГЕННЫЕ БРЕКЧИИ СТЕПНОГО ПОЛЯМЕТАЛЛИЧЕСКОГО МЕСТОРОЖДЕНИЯ НА РУДНОМ АЛТАЕ

Б.Л. ГАНТЕР

Западно-Сибирское геологическое управление,
Новокузнецк

Магматогенные брекчики установлены на ряде месторождений Рудного и Южного Алтая, на Урале, в Закарпатье и других районах СССР и за рубежом. Собирательный термин магматогенные- "магматические брекчики" был предложен Е.Б. Яковлевой по сходству к своеобразным магматическим породам породовой структуры. В Рудном Алтае эти образования описаны многими исследователями в пределах ряда рудных полей полиметаллических месторождений.

Магматогенные брекчики Степного полиметаллического месторождения развиты в южной части месторождения. Породы имеют неоднородное строение. По характеру связующего материала и составу порфировых выделений среди них выделяются: автомагматические брекчики с лавовыми цементом кварц-плагиоклазовых, кварцевых, плагиоклавозных базокварцевых порфиров и эксплозивные брекчики с гидротермальными цементом. В составе пород отличаются минералы: кварц, плагиоклаз, биотит; второстепенные - пльюнит, амазез, анатаз; вторичные - сернистый, хлорит, кальцит. Структура породы порфировые с фельзитовой, микротекстурной сенсовой массой. Эксплозивные брекчики состоят в основном из обломков кислых эффузивов, кремнистых туфов и алевропелитов, спонгиомиллов, фенокристаллов кварца, плагиоклаза. Цемент-контактовый гидротермальный.

По petroграфическим особенностям породы относятся к кислому, пересыпанному кремникошлойкой, и к ряду, пересыпанному сенсом. Характерно преобразование калия над натрием, повышенное количество и настолько ионное отсутствие кальциево-ионной известки.

Магматогенные брекчики отличаются процессами регионального и гидротермального пересыпания, продукты которых часто уже обработаны с гидротермально-измененными породами. Редкая для них полигорная изфа встречается в образовании минераль-

ного парагенезиса, представленного кварцем, альбитом, серицитом, кальцитом. Гидротермальный метасосматоз характеризуется отсутствием альбита и развитием кварца, серицита, магнезиально-хлорита. Общность метаморфизма алюминиево-алюминиевого брекчий и окторудноизмененных пород указывает на общий источник гидротерм, а так как изменение пород взаимосвязано с оруднением, то и на связь последних с полиметаллическим оруднением.

О НЕКОТОРЫХ СТРУКТУРНЫХ ОСОБЕННОСТИХ
ЖИЛЬНЫХ МЕСТОРОДЖЕНИЙ ЕНИСЕЙСКОГО
КРЯЖА

В.А.БОГДАНОВИЧ

Северо-Ангарский рудник, Раздольинск

В Енисейском кряже известен целый ряд месторождений жильного типа, которые в большинстве случаев пространственно приурочены к верхнепротерозойским существенно сланцевым отложениям сухопитской серии.

Рудовмещающие сланцевые толщи имеют неяснослоистый характер и сложное внутреннее строение: рассланцованны, осложнены складчатостью различных порядков и тектоническими разрывами.

В этих условиях затрудняется установление связи положения различных структур и оруднения.

Детальное изучение Советского золоторудного месторождения показало, что оруднение в целом подчинено складчатой структуре, а положение отдельных рудных тел определяется главным образом разрывной тектоникой.

В центральной части рудного поля оруднение выходит на поверхность, в юго-восточной части оно погружается и носит "слепой" характер. Поведение оруднения в продольном вертикальном сечении контролируется положением складчатых структур, чем и определяется закономерное погружение (склонение) оруднения к юго-востоку под углами от $8-10^{\circ}$ (центральная часть) до $15-25^{\circ}$ (юго-восточная часть).

Наиболее благоприятными для наблюдения склонения рудных тел являются замкнутые части складкообразно-изогнувших жил и коленообразные изгибы, по которым непосредственно можно замерить углы склонения. Во всех других случаях положение оруднения может устанавливаться на основе изучения складчатых структур, свойственных имеющим породам. Широкое развитие кругопадающей сланцеватости в породах района позволяет проводить изучение линейности, которая представляет собой след седиментационной слоистости на плоскости сланцеватости.

Средние углы склонения линейности, вычисленные на основании массовых замеров, достаточно близки к указанным выше цифрам склонения рудных тел центральной и юго-восточной частей месторождения.

Анализ геологических материалов по другим месторождениям района показал, что в поведении оруднения по простирации устанавливаются схожие черты.

Так, для Раздольинского сурьмянного месторождения угол склонения оруднения определяется около 45° , для одного из золоторудных месторождений -40° .

При посещении одного из месторождений, находящегося в стадии разведки, автором после ознакомления с материалами разведки поверхности, осмотра разведочной штольни, где проводились единичные замеры положения линейности, был определён угол склонения рудных тел. На основе чего было вычислено, что выработка (штольня) пересечёт верхнюю границу рудного тела и выйдет из руды на 390-400 м (штольня в момент посещения была пройдена до 260 м). Позднее прогноз полностью подтвердился: выработка пересекла верхнюю границу оруднения и вышла из руды на 403 м.

Таким образом, методика определения склонения рудных тел по замерам линейности, разработанная применительно к Советскому месторождению, применима вообще к жильным месторождениям, залегающим в аналогичной геологической обстановке.

О МЕТАЛЛОГЕНИЧЕСКОМ РАЗЛИЧИИ ЮЖНОГО И
СЕВЕРНОГО БЛОКОВ ПЕВЕКСКОГО ОЛОВООРУДНОГО УЗЛА

И.С.БОЛКОВ, Э.А.ФЕРМЕНКО, О.П.ИВАНОВ,
Л.Я.ФЕРМЕНКО, С.Ф.ИРМАКОВ

Центральный научно-исследовательский институт
"ЦНИИОлово", Новосибирск

Приуроченный к правому берту Раучуанской впадины (Зап. Чукотка), Певекский рудный узел локализуется в песчано-глинистых породах нижнего мела. Большую часть его территории занимают три гранитоидных массива (Певекский-35 км²; Пээкэнейский - 7 км²; Янрапазакский-4 км²), расположенные меридиональной цепочкой (с юга на север). Основу всех массивов составляют монцо-гранодиориты. Кроме них наблюдаются многочисленные дайки различного состава: флюидальные гранит-порфирь (изобилующие древние интрузивные породы узла) и следующие за монцо-гранодиоритами лейкограниты, турмалиновые аplitы, порфиры и лампрофирь. Широко развитая в пределах узла гидротермальная минерализация распадается на следующие парагенезисы: 1) кварцевый, 2) амфибол-биотит-кварцевый, 3) кварц-турмалиновый, 4) кассiterит-кварцевый, 5) кварц-карбонатно-сульфидный, 6) антимонит-кварцевый, 7) пирит-кальцитовый.

Изучение особенностей тектонического строения, разработки магматических и гидротермальных образований, анализ данных геофизических исследований Певекского узла позволяют разделить его на два крупных блока: южный (Певекский) и северный (Пээкэнейско-Янрапазакский). Границей между блоками служит субширотный разлом, проходящий в зоне южного экзоконтакта Пээкэнейского массива и имеющий, по гравиметрическим данным В.В.Грушиной и А.Ю.Рисса, крутое северное падение. Разлом фиксируется системой протяженных трещин, по которым установлено сбросовое перемещение северного блока с амплитудой в первые сотни метров.

В металлогеническом отношении оба блока отличаются между собой целым рядом особенностей.

I. Певекский массив отличается от массивов северного блока не только значительно более крупными размерами, но и существует

венно большей дифференцированностью: отщепленные породы пользуются здесь гораздо более широким распространением.

2. Древние дайки флюидальных порфиров, неоднократно наблюдавшиеся в пределах южного блока, в северном блоке не отмечаются.

3. Поздние же дайки лампрофир-порфиритового типа, напротив, развиты преимущественно в северном блоке, а в южном встречаются крайне редко.

4. Кварц-турмалиновый парагенезис в южном блоке распространен повсеместно, а для северного блока он не характерен.

5. Продуктивный кассiterит-кварцевый парагенезис, близкий по возрасту к турмалиновому, также широко развит в южном блоке и нередко образует здесь промышленные скопления. В северном блоке проявления этого парагенезиса нами не наблюдалась.

6. Если по степени развития кварц-карбонатно-сульфидного парагенезиса оба блока в общем близки, то по главному минералу этого парагенезиса они заметно отличаются: в южном блоке преобладает арсенопирит, в северном - пирротин.

При прогнозировании оловянного оруденения в Певекском узле необходимо учитывать, что его северный и южный блоки обладают известной независимостью геологического развития. Северный блок, находящийся в начальные стадии рудного процесса в относительно пассивном состоянии, представляется нам в сравнении с южным блоком гораздо менее перспективным для обнаружения новых промышленных концентраций олова.

РОЛЬ ВИСМУТА, СЕЛЕНА, ТЕЛЛУРА В ЗОЛОТООРУДЕНЕНИИ АЛТАЕ-САЙНСКОЙ ГОРНОЙ СТРАНЫ

А.Я.БУЛЫННИКОВ

Томский государственный университет

В процессе исследований геологии, петрографии и золотоносности Алтас-Сайнской горной страны мною изучался вещественный состав руд многих месторождений, что позволило установить оригинальную висмутомедную золотомоскую формацию, которая проявляется в целом ряде пунктов Кузнецкого Алатау - в районе

рудников Энамситий, Коммунар, Бажахчин (Узбекия) и др.

Висмутовый блеск является весьма важным в генетическом отношении минералом этой золоторудной формации и его отдельные находки позволяют рассчитывать на развитие руд этой формации к югу от указанных районов в системах рек Малого и Черного Июса и Уси, где, кроме того, установлены рудоносные магматические породы (иониты, диориты) каледонского возраста. В последнее время разведаны висмутиды и теллуриды золота, а также минералов висмута установлено в Горной Кории и северном Алтае. Здесь же, помимо ильмовых кварцево-золоторудных проявлений, обнаружены склеровитые месторождения золото-теллурио-висмутовых руд. Подобные отмеченные выше висмутово-теллурио-золотоносные месторождения встречаются в Забайкалье (Дмитриевское), Карпатах, Алтае, Северной Америке, Австралии и других районах.

Интересная роль селена как спутника золотооруденения, который встречается в рассеянном виде в скоплениях сульфидов. Связь висмута и селена в золотооруденении пока изучена недостаточно.

Бажисс геохимическое и поисково-оценочное значение висмута, теллура и селена для исследования золотоносных районов позволяет указать на необходимость усиления аналитических работ на эти элементы при поисках и разведке на золото.

К ВОПРОСУ ПРОИСХОЖДЕНИЯ ТЕЛЕТЕРМАЛЬНЫХ СВИНЦОВО-ЦИНКОВЫХ МЕСТОРОЖДЕНИЙ В КАРБОНАТНЫХ ПОРОДАХ ВОСТОЧНОЙ ЧАСТИ СРЕДНЕЙ АЗИИ И ЮЖНОГО КАЗАХСТАНА

З.Е.БУРЖИНА, И.В.БУРЖИН

Институт геологии АН Киргизской ССР, Фрунзе

Телстермальные свинцово-цинковые месторождения в карбонатных породах Средней Азии представлены множеством групп месторождений. Сюда относятся: месторождение Сумсар, группа Джерголанских месторождений (Ички-Чат, Чазр-Кукук, Тат-Тебе), рудопроявления хребта Молдо-Тау (Киргизская

ССР); месторождение Уч-Кулач, рудопроявления гор Калканата, рудопроявления Байсунского района (Узбекская ССР); месторождения Тукт, Миргалимсай, Ачисай, Шалкия, Арас-Тау, Байджансай, Аксуран (Южный Казахстан) и многие другие мелкие месторождения и рудопроявления.

Руды названных телстермальных свинцово-цинковых месторождений сформированы преимущественно в среднем и верхнем палеозое в результате проявления герцинского магматизма. Исключение представляют рудопроявления Байсунского района, размещенные в мезо-каинозойских образованиях и связанные, по-видимому, с магматизмом юноальпийского возраста.

Телестермальные свинцово-цинковые месторождения размещены в различных складчатых областях и зонах, история геологического развития которых в среднем и верхнем палеозое, а также в мезо-каинозое, была различна. Это определило различие в проявлении процессов магматизма, протекавших в это время, а также специфику металлогенических особенностей как складчатых зон, так и метатектогенетических эпох, с которыми связаны эти месторождения Средней Азии. В Киргизии, например, Джерголанская группа месторождений размещена в Иссык-Кульском срединном массиве Северного Тянь-Шаня; месторождение Сумсар - в Чаткало-Курзуминской складчатой области; рудопроявления хребта Молдо-Тау - в срединной зоне Тянь-Шаня и т.д.

Вмещающей средой телестермальных свинцово-цинковых месторождений являются доломиты и известняки различного возраста. Эти породы имеют персменный состав, разнообразные текстурно-структурные особенности, а также различную степень метаморфизма. Условия образования карбонатных пород были различными. Можно отметить чистые известняки среднего карбона сокирского яруса (Джерголанская группа месторождений); тuffогенно-осадочные образования кунгейской свиты нижнего карбона (месторождение Тукт); доломиты киветского яруса (месторождение Сумсар); известняки и доломиты верхнего девона и турия (месторождения хребта Кара-Тау, Миргалимсай, Ачисай, Шалкия и др.) и т.д.

Минеральный состав руд, парагенетические ассоциации рудообразующих минералов, текстурно-структурные особенности руд отличаются разнообразием и сложностью. Все это свиде-

тельствует о многообразии проявления процессов и условий рудоотложения на каждом месторождении и рудоизвлечении.

Формирование тектонических зоннико-цилиндрических месторождений связано со сложными, длительными и многостадийными постмагматическими процессами, имеющими свои характерные черты, присущие каждому рудному району.

К ГЕОХИМИИ НИКЕЛЯ В ГИПЕРБАЗИТАХ ВОСТОЧНОГО И ЗАПАДНОГО САЙА

Д.М. ВОЛКОВА, О.И. ГЛАЗУНОВ

Институт геохимии СО АН СССР, Иркутск

В большинстве массивов гипербазитовой формации никель присутствует в силикатной форме. Сульфидный никель преобладает над силикатным лишь в породах отдельных массивов железистой ветви гипербазитовой формации, что обнаруживается по отчетливой когерентности никеля с серой и никелю.

Отсутствие в гипербазитах практически интересных концентраций никеля связано с большим дефицитом серы.

Перспективными на никель могут быть габбророды, генетически связанные с гипербазитами. Однако к наиболее никеленосным относятся ультраосновные и основные породы базальтоидной по своей природе габбро-перidotитовой формации.

К ВОПРОСУ О ВЕДЕСТВЕННОМ СОСТАВЕ РУД КЕЛЯНСКОГО РУТНОГО МЕСТОРОЖДЕНИЯ

Ю.Ф. ВЕТРОВА

Центральная лаборатория Бурятского
геологического управления, Улан-Удэ

На территории Западного Забайкалья в последние годы открыто Келянское ртутное месторождение. Оно приурочено к зоне Келянско-Мамаканского надвига, тяготея к серии опиравших его разломов. Рудное поле месторождения слагается темносерыми доломитами янтарской толщи (C_{1-2}), залегающим согласно

с серыми и светло-серыми известняками. Первично осадочные породы подверглись интенсивному гидротермальному метаморфизму (окварцеванию и кальцитизации, в меньшей степени - доломитизации), вызвавшему образование линз и прослоев вторичных известняков, в различной степени окремнивших и окварцованных доломитов и мономинеральных кремнисвидных пород типа джаспероидов. Метасоматические тела залегают согласно с начальной доломитами.

Ртутное оруденение концентрируется на относительно небольшом участке (около 1 км²) в зонах дробления доломитов, окремненных доломитов и джаспероидов. Рудные тела представлены жилами, основную массу которых составляет молочно-белый киноварь, иногда с примесью кальцита, с которыми тесно ассоциирует киноварь, развивающаяся в интерстициях кварцевых и кальцитовых зерен или образуя небольшие гнезда.

Ртутная минерализация развита крайне неравномерно и представлена тремя разновидностями: гнездово-вкрапленная, выщелаченная и прожилково-примазковая. Структура руд аллотриоморфно-сернистая, интерстициальная, микропойкилитовая и замещения.

Минеральный состав руд не отличается большим разнообразием, кроме киновари, в небольшом количестве имеются антимонит, пирит, халькопирит, сфalerит, галенит, буронит, берит, флюорит, самородная сера, гематит, сурьмяные и свинцово-сурьмяные охры. Шильные минералы представлены кварцем, кальцитом, доломитом /вторичным/ и сидеритом.

По условиям размещения, минеральному составу /киноварь, антимонит/, характеру гидротермальных изменений /окварцевание и карбонатизация/ и некоторым другим признакам месторождение относится к тектоническому типу.

ПОДГОТОВКА КАДРОВ МИНЕРАЛОГОВ-ТЕХНОЛОГОВ- АКТУАЛЬНАЯ ЗАДАЧА ГЕОЛОГИЧЕСКОГО ОБРАЗОВАНИЯ В СИБИРИ

Н.К. Гедройц, И.М. Ильин

Центральный научно-исследовательский институт
"ЦНИИОлово", Новосибирск

За 50 лет своего существования геологический факультет

Томского государственного университета подготовил большой отряд прекрасных специалистов: геологов, геохимиков, петрографов, минералогов, палеонтологов. Среди них есть крупные учёные, преподаватели высших и средних учебных заведений, руководители геологической службы страны.

В последние годы увеличилось число выпускников геологических специальностей в Томском университете, направляемых в отраслевые технологические институты и исследовательские лаборатории горно-обогатительных предприятий для ведения прикладных минералогических исследований. Так, в геологоминералогической лаборатории ЦНИИОлово и исследовательской лаборатории Новосибирского оловозавода работают 8 минералогов томской школы, шесть из которых получили образование в ТГУ. Поскольку работа таких минералогов специфична и тесно связана с деятельностью технологов, вместе с которыми они решают вопросы рационального использования минерального сырья, их можно именовать минералогами-технологами.

С каждым годом увеличивается число горно-обогатительных и металлургических предприятий, усложняется технология разработки минерального сырья. Соответственно растет потребность в минералогах-технологах, удовлетворяемая пока далеко не полностью и только за счет определенной переквалификации специалистов с традиционной минералогической подготовкой. Прочинленность ставит перед минералогами новые задачи по разработке современных способов комплексного использования сырья, по созданию нового оборудования и методов анализа сырья, по достоверному выделению технологических типов и сортов руд. Для решения этих задач нужны высококвалифицированные минералоги-технологи. Подготовка таких специалистов является актуальной задачей геологического образования.

Томский государственный университет, один из старейших вузов Сибири, может без особых трудностей осуществить подготовку минералогов с технологическим уклоном. В программу для студентов данного профиля целесообразно включить такие дисциплины, как обогащение полезных ископаемых, методика минералогического опробования и картирования, методики исследования технологических проб. Для студентов этого профиля должна быть предусмотрена производственная практика в исследовательских лабо-

раториях технологических институтов.

НЕКОТОРЫЕ ГЕОХИМИЧЕСКИЕ АСПЕКТЫ ПРОБЛЕМЫ ДИФФЕРЕНЦИАЦИИ ГИПЕРБАЗИТОВ

О.М.ГЛАЗУНОВ

Институт геохимии СО АН СССР, Иркутск

Изучение геохимии рассеянных и редких элементов в гипербазитах позволяет вскрыть ряд признаков региональной и локальной дифференциации ультраосновного вещества.

Появление в составе единой гипербазитовой формации Сибири двух генетических ветвей (магнезиальной и железистой), четко различающихся по химизму и условиям залегания, следует связывать с глубинным фракционированием материнского подкорового субстрата, которое реализуется на разных уровнях и в различных режимах температуры и давления, очевидно, соответствующих условиям зарождения в одних случаях шинелевых (магнезиальная ветвь), а в других - гранатовых перидотитов (железистая ветвь).

Региональная дифференциация гипербазитов выражается в вариации содержания ряда таких элементов, как магний, хром, титан, алюминий, кальций, щелочи, как от одного гипербазитового пояса к другому, так и по простирации отдельных поясов.

Локальная геохимическая гетерогенность гипербазитов наиболее ярко проявляется в пределах отдельных массивов (Основянский, Борусский), где в дунитах и перидотитах с глубиной обнаруживается возрастание концентрации магния, хрома и снижение количества железа, иногда алюминия и кальция.

Скрытая химическая полосчатость в массивах подчеркивается закономерным изменением состава породообразующих и акцессорных минералов по падению интрузивных тел.

Неодинаковая степень дифференциации гипербазитов фиксируется не только величинами дисперсии и среднего содержания ряда петрогенных и рассеянных элементов (хром, никель, кабальт), но отражается также в объеме комагматических габброидов.

В прямой зависимости от фактора дифференциации обычно находятся масштабы потенциальной хромитоносности гипербазитов.

К наиболее перспективным на хром относятся массивы, имеющие

пестрый состав, относительно сложное внутреннее строение и повышенную дисперсию концентрации хрома в дунитах, магния и хрома в рудных хромтиниеллах.

Характер и пути дифференциации гипербазитов в земной коре в первую очередь определяются тектонической позицией того или иного массива.

Большое значение имеет насыщенность расплава летучими. Одним из доказательств участия летучих компонентов вмагматической и эпимагматических стадиях минералообразования является факт присутствия в гипербазитах Восточного и Западного Саян слюд, а также первые находки в оливине дунитов самостоятельных калий-натровых минералов ряда меррихьюит-рёддерит.

Таким образом, геохимические данные, наряду с экспериментами (Schär, 1970), еще раз подтверждают возможность достаточно широкой дифференциации ультраосновного вещества на разных этапах его эволюции.

ФЛОГОПИТОВЫЕ СЛЮДЫ В ГИПЕРБАЗИТАХ МАССИВА ГОР СЕВЕРНОЙ-ЗЕЛЕНОЙ (КУЗНЕЦКИЙ АЛАТАУ)

А.И.Гончаренко

Томский государственный университет

Флогопитовые слюды установлены нами в восточной эндоконтактовой зоне массива гор Северной-Зеленои, где они образуют жилообразные тела мощностью до 5 м среди тальк-карбонатных пород, которые через карбонатизированные серпентиниты постепенно переходят в неизмененные гипербазиты.

Слюды представляют собой окрашенные в зеленовато-черный цвет породы, состоящие из субпараллельно ориентированных листочеков флогопита размером 0,5-7,0 мм, которые на плоскостях спайности отсекают бронзовым отливом. Плеохроизм слюды слабый: от бледно-зеленовато-бурого по N_d до бесцветного по N_p . Флогопит оптически двуосный с малым углом ω , показатели предломления: $N_d \approx N_m = 1,577-1,594$, $N_g = 1,540-1,555$, $N_g - N_p = 0,037-0,039$.

Химический состав флогопита (вес %) : $SiO_2 = 45,32$,

$TiO_2 = 0,16$, $Al_2O_3 = 0,22$, $Ce_2O_3 = 0,064$, $Fe_2O_3 = 0,90$, $FeO = 3,61$, $MnO = 0,21$, $MgO = 24,41$, CaO - сл., $K_2O = 10,25$, $No_2O = 0,15$, CO_2 - сл., $H_2O = 1,13$, $F = 5,40$, $J = 0,02$, сумма = 99,53. Спекторальным анализом в флогопите обнаружены николь, кобальт, цинк, ванадий, гоммий, берий, бериллий, цирконий. Параметры ребра элементарной ячейки флогопита: $a = 5,31\text{ \AA}$, $b = 9,28\text{ \AA}$, $c = 9,63\text{ \AA}$, $\beta = 99^\circ 26'$.

В ассоциации с мономинеральными флогопитовыми слюдами среди тальк-карбонатных пород отмечаются плагиоклазиты, слоистые альбитом.

Описанные флогопитовые жилы являются первой находкой в метасоматически измененных гипербазитах юга Сибири. Подобные образования известны на Урале, где они изучались Г.И.Вертушевским и В.И.Авдониным (1957) и А.И.Шерстюком (1963).

Происхождение флогопитовых слюдов в гипербазитах массива гор Северной-Зеленои связано с воздействием на ультраосновные породы интрузий гранитов. Формирование слюдов происходило, по-видимому, в раннюю щелочную стадию постмагматического процесса.

Изучение флогопитовых слюдов представляет интерес в связи с установлением их в непосредственной близости от золотоносных лиственитов, выявленных в гипербазитах массива гор Северной-Зеленои /Гончаренко, 1968/. Описанные слюды обнаруживают некоторое сходство с измененными жильными породами - "тавашками" /Бородавевский, 1963/, широко развитыми на Урале среди золотоносных лиственитов.

ЛИСТВЕНИТЫ В ГИПЕРБАЗИТАХ БАРХАТНОГО
МАССИВА (КУЗНЕЦКИЙ АЛАТАУ) И ВОЗМОЖНОСТИ
ИХ ИСПОЛЬЗОВАНИЯ

А.И.ГОНЧАРЕНКО, В.П.ЛИХАЧЕВ

Томский государственный университет,
Западно-Сибирское геологическое управление

Листвениты установлены в эндоконтактовых зонах северной части Бархатного гипербазитового массива (Гончаренко, 1967), где они образуют две вытянутые в меридиональном направлении полосы - восточную и западную. Восточная полоса лиственитов прослеживается по простиранию на расстоянии 2,3 км при ширине до 320 м, а западная имеет длину около 2,5 км с видимой мощностью 120 м.

Листвениты являются продуктами метасоматического преобразования ультраосновных пород и относятся к ортолиственитам по классификации М.А. Кашкай (1965).

По петрографическому составу среди алогипербазитовых метасоматитов выделяются следующие типы пород: кварц-брейнеритовые, тальк-брейнеритовые, кварц-тальк-брейнеритовые, кварц-доломитовые, кварц-доломит-тальковые, тальковые (тальковые талькиты). Наибольшим распространением пользуются кварц-брейнеритовые листвениты, играющие ведущую роль среди метасоматитов западной полосы, и тальк-брейнеритовые породы, входящие в состав восточной зоны лиственитизации. В ассоциации с тальк-брейнеритовыми породами отмечаются обособления талькитов. Листвениты с доломитом пользуются подчиненным распространением и приурочены, как правило, к зонам интенсивного дробления, где они развиваются за счет возникших ранее кварц-брейнеритовых и тальк-брейнеритовых пород.

Представления о химизме изученных лиственитов дают сред-

ние составы пород (таблица).

Среднее содержание в вес %							
MgO	SiO ₂	CaO	Al ₂ O ₃	Fe ₂ O ₃	FeO	CO ₂	H ₂ O
29,84	29,22	1,29	1,06	6,19	2,52	31,95	0,09
33,93	35,12	0,32	0,96	6,38	1,78	22,82	0,07
28,32	51,16	0,08	2,26	9,64	н/опр.	7,52	0,35
23,98	25,20	8,39	н/опр.	6,88	—	34,20	0,18
17,63	22,20	19,22	3,04	4,99	—	33,85	0,07
23,26	40,93	7,19	5,81	6,87	—	16,30	2,66

1 - кварц-брейнеритовые листвениты (33);

2 - тальк-брейнеритовые листвениты (92);

3 - талькиты (9); 4 - кварц - доломитовые листвениты (4);

5 - кварц-доломит-брейнеритовые листвениты (4); 6 - кварц-доломит-тальковые листвениты (4).

В скобках указано количество анализов.

Как видно из приведенных данных, наиболее распространенные разновидности лиственитов - кварц-брейнеритовые и тальк-брейнеритовые - представляют интерес как сырье для производства магнезитов.

Согласно данным А.М.Кассир и А.В. Половниковой (1967), из кварц-брейнеритовых лиственитов по схеме обратной флотации катионным сорбентом АНН-14 получен магнезитовый концентрат с содержанием MgO - 40,70%, CaO - 0,56%, MgO - 25,9%.

SiO₂ - 2,6%, Fe₂O₃ - 6,18% при извлечении MgO - 25,9%.

Выход концентрата составил 18,8%.

Технологические испытания тальк-брейнеритовых пород показали, что из них могут быть получены два концентрата - брейнеритовый (содержание MgO - 41,9%, SiO₂ - 2,0%, Fe₂O₃ - 0,7-7,2%, CaO - 1,5% при извлечении MgO - от 29,3 до 33,5%) и тальковый (содержание MgO - 27,7% - 31,2%, SiO₂ - 52,4-55,0%, Fe₂O₃ - 2,9-3,4%, CaO - 1,10% при извлечении MgO от 33,5 до 36,8%).

Полученные материалы свидетельствуют о возможности использования кварц-брейнеритовых и тальк-брейнеритовых лист-

исинитов для промышленных открытий и перспектив-
ических описаны.

Месторождение известно гипократом в синекзигматических
геологоразведочных условиях и может быть рекомендовано
для промышленного освоения.

О ГЕОЛОГИЧЕСКИХ ОСОБЕННОСТЯХ И ГЕНЕЗИСЕ
АПАТИТОВОГО ОРУДЕНЕНИЯ В ГАББРОИДАХ И
ДИОРИТАХ ЮГА КРАСНОЯРСКОГО КРАЯ

Е.М.ДАНИЛИН, Л.Т.ЖИРОВА

Красноярское геологическое управление,
Красноярск

Апатитоносные габброиды и диориты-малоизученные, но
важные потенциальные источники фосфатного сырья для районов
юга Сибири (Ошурковское месторождение в Бурятии).

На основании изучения известных и выявленных авторами
на юге Красноярского края проявлений апатита (Теренсийское,
Борско-Тейское, Нанитакское, г.Черемных и др.) устанавливаются
следующие геологические особенности апатитового ору-
днения в габброидах и диоритах:

1. Наиболее апатитоносными являются чарк всего мелковер-
нистые меланократовые разности габброидов: габбро-пирокес-
иты, пироксениты, гориблениты.

2. Апатит в породах распределен неравномерно (коэффи-
циент вариации 38-104) и присутствует в виде вкрапленистости,
скоплений, гнесов, прожилков. Содержания пятиокиси фосфора
преимущественно невысокие - 2-4%, но местами достигают
10-15% (Нанитакский, Теренсийский массивы).

3. Генезис оруднения вероятнее всего метасоматический.
Установлена четкая связь скоплений апатита с зонами
поизогнатической нефелинизации и калишиптизации, приурочен-
ность к участкам интенсивной трещиноватости, развитие основ-
ной массы апатита в интерстичиях и микротрещинах, обилие
сокутких промежуточного минерала, наличие в нем большого ко-
личества редких и юнких минералов и др.

4. Существуют, возможно, даже гидротермальную роль в процессе

образования описываемого апатиторуднения имели щелочные
интрузии нижнего-среднего девона (Лутатский, сибирский
комплекс). Об этом свидетельствуют: а) присутствие апатито-
руднения гипократом образом в тех массивах габброидов, на
участках которых имеются более молодые интрузии щелочных и не-
щелочных сиенитов (D_{1-2}); б) резкое повышение концентра-
ций апатита в габброидах и гнейсах на контакте с сиенитами;
в) постепенные переходы отдельных жил сиенитов в апатитовые
прожилки; г) развитие процессов нефелинизации и калишипти-
зации в апатитоносных габброидах; д) обогащенность послед-
них никобием, иттрием, цирконием и другими элементами, ха-
рактерными для щелочных интрузий.

Щелочные интрузии являются, вероятно, источниками фос-
фора и, вместе с тем, обуславливают мобилизацию и переотло-
жение этого компонента в габброидах при метасоматозе.

5. Особенности геологического положения и генезиса апа-
титоносных габброидов и диоритов позволяют считать наиболее
перспективными для поисков их узлы пересечения трещинных
зон локализации молодых (постниженедевонских) щелочных интру-
зий с площадями развития каледонских габброидов и диоритов.

Локальные поисковые критерии: тела мелковернистых габ-
бронироксенитов; ореолы нефелинизации и калишиптизации; зо-
ны интенсивной трещиноватости, а в некоторых случаях - радио-
активные аномалии (отмечалась ассоциация апатита с уран-то-
рий-содержащим сферулитом) и повышенные содержания фосфора во
вмещающих породах.

РАСПРЕДЕЛЕНИЕ ЗОЛОТА В РОССЫПЯХ И ЕГО
ПЕРЕНОС В ЦЕНТРАЛЬНО-АЛДАНСКОМ ЗОЛОТО-
НОСНОМ РАЙОНЕ ЮЖНОЙ ЯКУТИИ

И.П.ДИК

Якутское геологическое управление,
Якутск

Изучение вопросов дальности переноса золота и распре-
деления его в россыпях проводилось в Центрально-Алданском
золотоносном районе из большого числа россыпных месторожде-
ний. Представляется возможным сделать следующие выводы:
1. Основной тип оруднения, давший золото в россыпи, яв-

ляется кварц-полиметатлический-сульфидный.

2. Во всех россыпях четко наблюдается активная фракция золота, размеры которой в зависимости от динамической силы водотока и близости источника колеблются в довольно значительных пределах. Так, по небольшим ручьям эта фракция имеет размеры от 1,68 до 0,59 мм (реже от 3,4 до 0,84 мм), в россыпях крупных долин - 0,5-0,1 мм. Если россыпь имеет два источника, то в ней прослеживаются две активные фракции.

3. Чем дальше расположена россыпь от коренного источника, тем меньше размеры золотин и тем равномернее распределено золото в россыпи.

4. Если россыпь расположена далеко (не менее 5-6 км) от источника, то наблюдается постепенное нарашивание содержания и более резкое убывание его.

5. Дальность переноса золота, при которой формируются промышленные россыпи для дражной добычи от ближайших источников, достигает 25-40 км. При этом 70% золотин имеет размеры от 0,4 до 0,084 мм, 30% - размеры менее 0,084 мм. Среди последних - больше пылевидных зерен.

6. В таких россыпях золотины размерами более 0,1 мм окатаны средне или слабо, менее 0,1 мм - практически неокатаны. Последние, видимо, переносятся во взвешенном состоянии.

7. При перемыче россыпей наблюдается, в основном, вертикальная миграция золота. По протяжении россыпей смещение основного золота прослеживается не далее 3-5 км.

8. Дальность переноса золота при непосредственном поступлении от коренного источника и при перемыче уже сформированной россыпии существенно различна.

К ВОПРОСУ О ГЕОЛОГИЧЕСКОМ СТРОЕНИИ И ПЕРСПЕКТИВАХ АНЗАССКОГО ЖЕЛЕЗОРУДНОГО МЕСТОРОЖДЕНИЯ

С.С.ДОЛГУШИН, Ю.А.НУВАРЬЕВА

Сибирский научно-исследовательский институт
геологии, геофизики и минерального сырья,
Новосибирск

Анзасское магнетитовое месторождение расположается в

поясе развития верхнепротерозойско-нижнекембрийских осадочно-магматогенных отложений нижнемонокской свиты, прорванных габбронодами габбро-альбититового комплекса. В тесной пространственной связи с ними развиты альбититы, являющиеся рудоокалирующими породами. Они разделяются на две группы: I - альбититы по вулканогенно-осадочным породам и 2-альбититы по габбро (апогабброние). Принято считать, что промышленное оруденение концентрируется только на тех участках, где развиваются апогаббровые альбититы, в связи с чем поля вулканогенно-осадочных пород за пределами интрузивных массивов попадают в категорию бесперспективных.

Результаты дополнительной разведки железорудных месторождений смежных районов (Таштагольского, Абаканского, счи-тавшихся ранее разведанными) с позиций контроля оруденения структурно-литологическими особенностями имеющих томы открыли широкие перспективы в увеличении их запасов. Все это неприменно заставляет обратить внимание на Анзасское месторождение.

Проведенный нами в 1970-1971 гг. предварительный анализ материалов научных и разведочных работ и частичная пере-документация керна Анзасского месторождения привели к выводу о необходимости пересмотра некоторых вопросов геологического строения месторождения, непосредственно влияющих на оценку месторождения и всей рудной зоны, в частности, вопроса об отношении промышленного оруденения к вулканогенно-осадочным породам и габбро. Наши наблюдения показывают, что Промышленное магнетитовое оруденение на Анзасском месторождении располагается не только в апогаббровых альбититах, а, в не меньшей мере, в альбититах, развитых по вулканогенно-осадочным породам. Так, при изучении керна скважин из центральной части месторождения установлено, чтоrudовмещающие породы в непосредственной близости с главными рудными тела-ми, наряду с апогаббровыми альбититами, представлены в разной степени альбитизированными литокристаллокластическими тубулами, порфиритами, кератофирами, реже известняками и азегролитами с сохранившимися, несмотря на интенсивный ме-тасоматоз, характерными для этих пород структурами. Диагнос-тико апогаббродов и альбититов по осадочно-вулканогенным

породам затруднено интенсивной альбуминизацией, амфиболизацией, в связи с чем широко развиты в рудной зоне этильминиты и сопровождающиеся спонтанного разрушения.

Существование при разведке месторождения представления о бесперспективности магматогенно-осадочных отложений на промышленные руды и установление ранее поисковые критерии являются неверными. Необходимо проведение дополнительных поисково-разведочных работ в первую очередь в пределах непосредственно самого месторождения.

Анзасское месторождение не следует выделять в особый внутриинтрузионный тип, так как оно имеет обычные для большинства сибирских месторождений условия залегания.

К ВОПРОСУ О ГЕОЛОГИИ И ГЕНЕЗИСЕ НЕКОТОРЫХ ДОКМЕРИЙСКИХ ЖЕЛЕЗИСТЫХ КВАРЦИТОВ ОЛЕНЕГОРСКОГО И ДРУГИХ МЕСТОРОЖДЕНИЙ ПРИМОРДИОВСКОГО РАЙОНА НА КОЛЬСКОМ ПОЛУОСТРОВЕ

А.С. ЕГОРОВ

Институт геологии рудных месторождений,
петрографии, минералогии и геохимии,
Москва

Тематическими работами последних лет на Оленигорском месторождении и на ряде других, менее крупных, месторождений железистых кварцитов Примордийского района были получены некоторые новые данные, позволяющие сформулировать следующие основные положения:

1. Внедрение ранее поисково-разведочными работами двух параллельных полос распространения месторождений железистых кварцитов северо-западного простирания приурочиваются к ярко выраженным продольным зонам разломов, имеющим длительное развитие.

2. К этим зонам разломов приурочены ярко выраженные проявления щелочно-земельного, геминого, кремнистого и железного метасоматоза, развивающихся в определенной последовательности в связи с многократными движениями по разломам.

3. Известия железистые кварциты месторождений Оленигорского, Айдар, им. Ваулина и др. возникли в связи с проявлением железисто-кремнистого метасоматоза в вышеуказанных зонах разломов. По отношению к имеющимся породам эти железистые кварциты являются эпигенетическими образованиями.

Первое положение - о приуроченности железистых кварцитов к продольным зонам разлома - может доказываться следующими фактическими данными: 1) преимущественным распространением среди вмещающих железистые кварциты пород характерных бластомилонитов, сходных по составу с биотитовыми и биотито-амфиболовыми гнейсами; 2) приуроченность к этим бластомилонитам зон мощностью до 50-100 метров метасоматических пород кварц-гранат-диопсидового, эпидод-амфибол-микроклинового и кварцово-магнетитового состава; 3) приуроченность к зонам бластомилонитов многочисленных жилообразных сомасных и диагональных тел гранит-пегматитового и амфи-пегматитового состава; 4) непосредственным несогласным контактом с простилянием и падением полосчатости железистых кварцитов - результатом более поздних движений по зонам разломов; 5) наличием во вмещающих породах у контакта с железистыми кварцитами проявлений последующего низкотемпературного разрывореза: мусковито-сертицитовых и хлоритовых сменцев; 6) изконец, проявлением в зонах распространения железистых кварцитов резких перепадов в интенсивности силы тяжести и магнитных полей.

Второе положение - о проявлениях метасоматоза в бластомилонитах зоны разлома - доказывается новообразованиями метасоматических пород, структурами замещения и повсеместными реликтами бластомилонитов в массе метасоматитов.

Третье положение - о проявлении метасоматических железистых кварцитов - доказывается отчетливыми структурами замещения кварцем и магнетитом не только вмещающих бластомилонитов, но и более ранних метасоматитов (например гранат-диопсидовых, амфиболовых и др.) многочисленными реликтами этих пород среди железистых кварцитов и т.д.)

В результате железисто-кварцевого метасоматоза на некоторых месторождениях возникли довольно крупные линзовидной формы тела рудных и слаборудных магнетитовых кварцитов,

характеризующихся проявлениями в них полосчатости и микроскелетности, которые проявляются, но всей взаимности, в результате унаследования таковых от замещенных вынужденных пород.

СТРУКТУРНЫЕ И МИНЕРАЛОГО-ГЕНЕТИЧЕСКИЕ ОСОБЕННОСТИ ФЕДОТОВСКОГО ЗОЛОТОРУДНОГО МЕСТОРОЖДЕНИЯ (МАРТАЙГИНСКАЯ ТАЙГА)

Е.И.ЗИКОВ, Н.И.КУЗОВАТОВ

Томский государственный университет

Федотовское золоторудное месторождение расположено в западной эндоконтактовой части Федотовского plutона, относимого Большинством исследователей к Мартайгинскому интрузивному комплексу ордовик-сибирского возраста. Вмещающие интрузии породы в районе месторождения представлены вулканогенными и вулканогенно-осадочными образованиями тайменской свиты нижнего ордовика, испытавшими интенсивный контактовый метаморфизм. Интрузивные породы рассекаются многочисленными дайками среднего и кислого состава. Среди метасоматически измененных пород можно выделить альбититы, березиты, березитизированные и хлоритизированные диориты. Рудные тела месторождения представлены кварцево-сульфидными жилами непостоянной мощности.

Структурные особенности месторождения определяются расположением Федотовского интрузивного массива и самого месторождения вблизи зоны Кузнецко-Алтайского глубинного разлома, являющегося структурой длительного развития. Изучение характера трещиноватости, морфологии рудных тел и их взаимоотношений с вмещающими породами позволяет отнести Федотовское месторождение к трещинным структурам и, в частности, к месторождениям в трещинах склонования.

В истории формирования структуры месторождения выделяются 4 этапа: додайкический, преирудийный, внутрирудный и пострудный. Первые три этапа характеризуются преимущественным развитием диамикиттических нарушений северо-восточного простирания с преобладающим поднятием на юго-запад.

Об этом свидетельствует соответствующее простирание и падение разнообразных по составу даек, зон берзитизации и кварцево-золоторудных жил. Пострудный этап проявился в образовании нарушений взбросо-сдвигового характера, по которым происходили смещения отдельных частей жил. Обычно эти нарушения имеют северо-западную, реже субширотную ориентировку.

Кварцево-рудные тела характеризуются несложным минералогическим составом. Главными минералами жильного выполнения являются кварц и, отчасти, кальцит. Практически во всех жилах развивается один и тот же комплекс рудных минералов, представленных пиритом, галенитом, сфalerитом, халькопиритом и золотом. К числу весьма редких минералов рудных тел относятся арсенопирит, блеклая руда и бравоит (?). Обычным минералом зоны гипергенеза является лимонит, изредка встречается церуссит.

Характерно весьма неравномерное распределение золота как по простиранию, так и по падению рудных тел. Устанавливается определенная зависимость содержания золота от особенностей минералогического состава и, в частности, от присутствия в кварцевых жилах сульфидов. Повышенное содержание последних является благоприятным признаком с точки зрения возможности появления повышенных концентраций золота. Возрастание же роли кальцита в составе кварцевых жил сопровождается обычно уменьшением содержания в них сульфидов и золота. Березиты, слагающие оторочки в залыванках кварцевых жил или образующие самостоятельные зоны, характеризуются, как правило, невысокими концентрациями полезного компонента.

Связь золоторуднения с интрузивными массивами Мартайгинского комплекса в настоящее время считается установленным фактом и признается многими исследователями. Для описываемого месторождения, прежде всего, наблюдается тесная пространственная связь золоторуднения с породами Федотовского интрузивного массива. Все рудные тела сконцентрированы исключительно в эндоконтактовой части этого plutона и приурочены к участкам повышенной трещиноватости интрузивных пород. О тесной связи золоторуднения с Федотовским массивом свидетельствует близость их геохимических особенностей и, в частности, присутствие одних и тех же элементов-примесей в интрузивных породах,

дашковых образованиях, берзитах и кварцевых жилах.

Особенности минерологического состава руд и характер околосильного изменения пород свидетельствуют о изогетеромальных условиях формирования месторождения и принадлежности его к золото-сульфидной рудной формации берзитовых месторождений.

СВЯЗЬ МЕТАМОРФИЗМА И ОРУДЕННИЯ НА ПРИМЕРЕ
ЗОЛОТОРУДНОГО МЕСТОРОЖДЕНИЯ ЭЛЬДОРАДО
(ЕНИСЕЙСКИЙ КРЯЖ)

С.С.ИЛЬЮНК, А.М.САЗОНОВ

Томский политехнический институт

Золоторудное месторождение Эльдорадо расположается в пределах горбилокской и отчасти кординской и удерейской синт верхнего протерозоя в северной части Енисейского кряжа. Все породы указанных синт собраны в многостепенные складки и претерпели региональный метаморфизм зелено-сланцевой фации. Рудное поле приурочено к мощной зоне смятия, в пределах которой развиты более мелкие крутие складки вплоть до микроплойчатости, а также разрывы сплошности пород. При этом проявился прогрессивный метаморфизм с образованием альмандин-биотитовых, биотитовых, друзолистовых сланцев, а также альмандин-паргаситовых пород и кварцитов. Ператенетический анализ кристаллических сланцев с изучением точных составов сосуществующих минералов указывает на их формирование в условиях эпидот-амфиболитовой фации. Рудные тела в виде ряда параллельных зон из кварцевых жил, линз, прожилков и желваков в сопровождении сульфидных и окисных рудных минералов, а также свободного золота содержат в призальбандовой части и внутри кварца более крупные, чем в сланцах, но того же состоит кристаллы биотита, граната, анатита, ортоклаза, альбит, туризлина и др. минералов. Кварцевые тела образовались как путем замещения выстачающих пород, так и выполнением трещин. Анализ гомогенизации вклюений в кварце показывает высокие температуры начальной стадии образования минерального агрегата, соответствующие температурам кристаллизации главных минералов гомогенных кристаллических слан-

цев. При этом формирование рудных тел проходило в условиях сноса температур. Течение процесса проходило многостадийно в связи с кратковременными синтами напряжений, в течение которых проявлялось отложение минерального агрегата кварцесрующих жил. К этому этапу относится образование руд золотомышьяковой формации, которые и являются доминирующими в пределах рудного поля.

Любопытно, что последующий этап метаморфизма имел регрессивный характер. В пределах рудного поля он первоначально наложился из пород раннего этапа метаморфизма. При этом появляются хлоритовые и хлорит-стилиниомелановые сланцы, относящиеся к зелено-сланцевой фации. С этим этапом также связана отложенность в составе рудных тел более низкотемпературного кварца и суньфидов, как в составе прежних рудных тел, так и с образованием новых ёдоль появившихся трещин иного направления.

Анализ гомогенизации вклюений в кварце и ассоциация последнего с хлоритом и стилиниомеланом показывает параллелизм образования нового этапа рудоотложения и указанных сланцев регressive этапа. Новый тип золотых руд относится к высокотемпературной формации и развит слабо. Таким образом, сочетание двух формаций руд в одном месторождении является результатом проявления двух этапов метаморфизма и гидротермальной деятельности.

Исследование распределения рассеянного золота во вмещающих породах рудного поля указывает на увеличение его содержания вблизи рудных тел в связи с локализацией здесь гидротермальных растворов.

Все имеющиеся данные по месторождению указывают на его генетическую связь с позднитенными процессами, имеющими широкое развитие на глубоких горизонтах.

ОСНОВНЫЕ ЧЕРТЫ И ОСОБЕННОСТИ ЦЕЛОЧНОГО МЕТАСОМАТОЗА
И ЕГО МЕСТО В ПРОЦЕССЕ ФОРМИРОВАНИЯ ЖЕЛЕЗОРУДНЫХ
МЕСТОРОЖДЕНИЙ АЛТАЕ-САЯНСКОЙ ОБЛАСТИ

Ю.В.ИНДУЖЕВ

Томский государственный университет

В метасоматических месторождениях полез. Алтай-Саянской

области широким распространением пользуются щелочные метасоматиты. С зонами развития таких пород тесно ассоциируют скарновые и рудные тела, благодаря чему участки их распространения используются при поисках и разведке месторождений железа. Щелочные метасоматиты сформировались в процессе проявления раннеизостратиграфического щелочного метасоматоза, который предшествовал проявлению скарнирования, образованию руд и эпоскарнов. Щелочной метасоматоз связан с деятельностью высокотемпературных растворов, содержащих сильные основания и способных осуществить калиевый и натриевый метасоматоз, скарнирование и оруденение. Реакции щелочного метасоматоза тесно связывают между собой процессы магматического замещения щелочными "сквозьмагматическими" растворами и процессы постмагматического замещения в более поздние этапы единого контактово-метасоматического процесса. При высоких давлениях и температурах раствор находится в надкритическом состоянии, а растворенные компоненты образуют в нем ацидокомплекс. В связи с тем, что в этих условиях вода и кислоты связаны в комплексы, а сильные основания диссоциированы, постмагматический раствор характеризуется повышенной активностью натрия или калия и низкой активностью кислот. Следствием этого является проявление стадий щелочного метасоматоза. Проявление натрового метасоматоза связано с внедрением габбродиных интрузий с щелочным уклоном дифференциации, калиевого - с интрузиями более кислого состава с калиевым уклоном более поздних дифференциатов. В связи с этим, в рассматриваемых месторождениях щелочной метасоматоз в одних представлен натровым, в других - калиевым. В свою очередь, первый в одних месторождениях проявляется в виде альбитизации, а в других как в форме альбитизации, так и скаполитизации. Альбитизация проявляется в образовании обогащенных альбитом пород и накладывается на все породы месторождения. Щелочные метасоматиты нередко образуют сплошные ореолы в экзо- и эндоконтактовой области интрузивов. Иногда форма этих ореолов зависит от характера зон разломов. В большинстве случаев для щелочных метасоматитов характерна зональность. В результате скаполитизации все породы месторождения изменяют до образования конкремитовых скаполитовых и скапо-

лит-амфиболовых метасоматитов, которые слагают крупные зоны. При скаполитизации наблюдается изораспределение компонентов, приводящее к текстовому строению пород, и обогащение отдельных участков магнетитом. С этим процессом связано формирование особого типа руд на некоторых месторождениях Алтай-Саянской области. Подобное перераспределение характерно как для Fe , так и для Ti , Mg , Mn , P , Au и др. То есть, щелочной метасоматоз можно рассматривать как один из возможных механизмов мобилизации рассеянных элементов породы и переотложения их в виде рудных концентратов. При просачивании растворов, содержащих Na и Cl сквозь породы основного состава, состоящие из основных плагиоклазов и пироксенов, будет происходить ионообмен кальция на натрий и развиваться процесс альбитизации основных плагиоклазов и амфибилизация, а также разложение пироксенов. Натрий не только вытесняет кальций из плагиоклазов, но и способствует вытеснению элементов семейства железа из темноцветных и акессорных минералов с переводом их в раствор, обогащенный хлором и натрием.

В этих условиях, по-видимому, возможно образование комплексных соединений типа $Na[Fe^{3+}Cl_4]$ и $Na_2[Fe^{2+}Cl_4]$, которые способны осуществлять перенос железа и отлагать его в виде магнетита в ходе скаполитизации пород.

О РЕДКОЗЕМЕЛЬНОЙ МИНЕРАЛИЗАЦИИ В КОНТАКТОВЫХ ЗОНАХ НЕКОТОРЫХ ЖЕЛЕЗОРУДНЫХ ПОЛЕЙ АЛТАЕ-САЯНСКОЙ ОБЛАСТИ

Ю.В.ИНДУКАЕВ

Томский государственный университет

Алтай-Саянская область характеризуется широким развитием метасоматических месторождений Fe . В их образовании велика роль долгоживущих разломов глубокого заложения. Последние формируются в течение продолжительного периода времени при преобладающих вертикальных перемещениях и пульсирующих сжимающих и растягивающих усилиях. Вследствие этого в таких зонах разлома неоднократно создаются благоприятные условия

для возникновения магм и выноса разнообразных элементов из глубин. К этим разломам тяготеют габбродиные интрузии с прямочным уклоном дифференциации, метаморфические и метасоматические породы различного состава, магнетитовые и сульфидные руды. По этим же разломам во многих районах (Горный Алтай, Горная Шория, Восточный Саян и др.) позже поднимаются сквозьмагматические растворы и гранитная магма, вызвавшие метаморфические преобразования скарнов и руд, а в отдельных случаях отложение редкоземельных минералов, нередко содержащих радиоактивные элементы. Так, в частности, в условиях формирования Инского месторождения выделяются две гипогенные эпохи постмагматического минералообразования, связанные со становлением габбро-диабазов Чарышского типа и гранитами Тигирекского plutона. Образование скариевых магнетитовых руд связывается со становлением габбро-диабазов, после формирования которых происходило внедрение тигирекских гранитов, вызвавших интенсивный метаморфизм и отложение различных элементов, в том числе редкоземельных и радиоактивных. Наибольший интерес в данном случае представляет формирование ортита, который пользуется довольно широким распространением в различных метасоматитах и рудах приконтактовой части Тигирекского гранитного plutона. В зависимости от цвета зерен и кристаллов этого минерала, взятых из разных участков контактной зоны, его оптические свойства колеблются: $N_g = 1,718-1,823$; $N_m = 1,714-1,812$; $N_p = 1,692-1,728$; $C:N_p = 35-44^\circ$; $2V = 82-86^\circ$.

Химический состав в %: обр. I (скв. 57, глуб. 298 м) $SiO_2 - 35,83$, $TiO_2 - 9,92$; $Al_2O_3 - 19,5$; $Fe_2O_3 - 4,0$; $Ta_2O_3 - 20,2$; $FeO - 3,91$; $MnO - 0,4$; $MgO - 2,5$; $CaO - 12,0$; $Na_2O - 0,20$; $Tl_2O_2 - 0,26$; $F - 0,28$; $H_2O - 0,71$; обр. 2 (скв. 2, глуб. 300 м) $SiO_2 - 32,10$; $TiO_2 - 0,14$; $Al_2O_3 - 19,50$; $Fe_2O_3 - 4,38$; $Ta_2O_3 - 20,40$; $FeO - 6,38$; $MnO - 0,12$; $MgO - 2,21$; $CaO - 12,32$; $Na_2O - 0,31$; $Tl_2O_2 - 0,28$; $F - 0,65$; $H_2O - 1,49$.

В орбитах наблюдаются изовалентные и гетеровалентные изоморфные замещения типа: $Al-Fe$; $Tl-Fe^{2+}$; $La-Al$, $Ca-Tl$, $2Ca-Tl-Na$ и другие. Основная часть TR замещает в его структуре ионы Ca . Спектральный анализ дополнительно устанавливает в орбите содержание Rb , Be , Sn , Va , B и других элементов. Орбиты содержат до 20,2-20,4 Tl_2O_3 . Редкие земли представлены в % La (8,26-8,28) и Ce (6,21-6,29). Неиз-

ченная часть приходится на Nd (1,18-1,21), Y (2,14-2,21), Yd (0,77-0,82), Pr (0,62-0,65), Dy (0,21-0,26), Sm (0,38-0,48).

представлена ничтожно-малым количеством. Орбита метасоматически замещает иллюксен, амфиболы и, особенно, эпидот. Совместно с орбитой образуются либо магнетит IV, либо биотит III, либо апатит IV. Два последних в своем составе содержат: $Tl_2O_3-Tl_2$.

Парагенезис орбиты с названными минералами позволяет говорить, что растворы в данную стадию минералообразования были обогащены F , TR , K , Fe отчасти Tl . Перенос TR гидротермальными растворами осуществлялся в виде комплексных соединений, возможно типа $TR^{3+}[FeFe]^{3-}$. Локальное распространение и небольшие концентрации орбиты в магматитовых рудах, скарнах и различных метасоматитах позволяют сказать, что масштабы редкоземельной минерализации незначительны и она не имеет практического значения.

О ПОСТРУДНОМ МЕТАМОРФИЗМЕ НА НЕКОТОРЫХ КОНТАКТОВО-МЕТАСОМАТИЧЕСКИХ МЕСТОРОЖДЕНИЯХ АЛТАЕ-САЯНСКОЙ ОБЛАСТИ

Ю.В.ИНДУКАЕВ, В.Е.ХОХЛОВ

Томский государственный университет

В образовании метасоматических месторождений железа Алтай-Саянской области исключительную роль играют долгоживущие разломы глубокого заложения. К ним тяготеют габбродиные интрузии с целочным направлением дифференциации, метаморфические и метасоматические породы различного состава, магнетитовые и сульфидные руды. По ним же во многих районах (Горный Алтай, Горная Шория и др.) позже поднимаются сквозьмагматические растворы и гранитная магма, вызвавшие метаморфические преобразования скарнов и руд, а в отдельных случаях и отложение новых металлов. В пределах тектонических зон интрузивный магматизм растянут во времени и характеризуется большим разнообразием возникающих пород. Так, в Ташелгинско-Кондомской зоне смытия отчетливо проявился магматизм и постмагматическое минералообразование позднепретерозойского,

салайско-каледонского и тельбесского тектоно-магматических циклов. На Инском месторудном месторождении выделяются две типогенные эпохи постмагматического минералообразования, связанные со становлением габбро-диабазов Чарынского типа и гранитами Тигирекского plutона. В связи с этим на ряде месторождений проявился интенсивный пострудный метаморфизм. Последний связан со становлением более поздних кислых интрузий. Так, в районе Ташелгинской группы месторождений этот метаморфизм связан с формированием плагиогранитов и пегматитовых инъекций, в пределах Инского месторождения — с образованием массива Тигирекских гранитов, на Шерегешевском месторождении — со становлением сарлыкских гранитов. Учитывая степень важности влияния пострудного метаморфизма на характер оруденения той или иной рудной зоны, в каждом конкретном случае необходимо уделять этому явлению самое пристальное внимание. Поскольку от этого зависит оценка качества и количества руд, а также расшифровка генезиса и перспектив месторождения. В связи с этим, процессы пострудного метаморфизма были изучены на Инском и Шерегешевском месторождениях Алтас-Саянской области. Процессы наложенного метаморфизма видоизменяют минералогический состав, структуру и первичный облик пород рудного поля и приводят к образованию большого количества новых петрографических разновидностей. В результате метаморфизма происходит видоизменение их структуры и отчасти меняется их первичный облик. Все это очень сильно изменяет геологическое строение, петрографический состав и структурно-текстурные особенности руд и скарнов месторождений. Степень изменения в таких случаях прямо пропорциональна интенсивности метаморфизма. Все проявления последнего в скарнах, апоскарнах и др. метасоматитах сводятся либо к метаморфической перекристаллизации этих пород, либо к новым минералообразованиям в результате метаморфических реакций. В результате метаморфизма руд и пород месторождений, структура основной массы их становится гранобластовой и нередко порфиробластовой. Зерна магнетита приобретают полигональные очертания и плотно примегают друг к другу, исчезает их зональность, появляются двойники перекристаллизации. Под воздействием "плагиогранитных" инъекций, поздних аналогов гранитных интрузий, происходит растворение,

переотложение и перекристаллизация многих минералов. Происходит образование линз и тилл амфиболового, биотитового, кварцевого, кварц-полевошпатового, кварц-кальцитового состава. В переотложенном магнетите уменьшается содержание элементов-примесей, присущих основным магмам и увеличивается количество элементов, характерных для гранитов. Это же свойственно и скородитам минералам и, в частности, гранату. Детальное изучение наиболее распространенных минералов и их отдельных генераций позволяет проследить интенсивность и характер распределения пострудного метаморфизма на месторождениях и на базе этого дать практическую оценку этому явлению.

АМФИБОЛЫ ТАБРАТСКОГО МАГНЕТИТОВОГО МЕСТОРОЖДЕНИЯ И ИХ ЭВОЛЮЦИЯ В ХОДЕ ПОСТМАГМАТИЧЕСКОГО РУДООБРАЗУЮЩЕГО ПРОЦЕССА

Г.Б.КНЯЗЕВ

Томский государственный университет

Основная масса промышленных руд Табратского магнетитового месторождения сосредоточена в зонах дробления среди порфиритов, роговообманиковых габбро и диоритов. В составе руд и окорудных измененных пород большую роль играют кальциевые амфиболы группы обыкновенной роговой обманки.

В тесной ассоциации с магнетитом встречается высокожелезистый хлоросодержащий амфибол типа гастингсита (дашкесанит). Этот же амфибол слагает большие объемы окорудных амфиболовых пород. Минерал образуется близко одновременно с магнетитом. Внешне он имеет черную окраску. Под микроскопом окраска его специфическая, сине-зеленая. Характеризуемый амфибол не является чистым гастингситом. Помимо гастингситовой "молекулы" он содержит до 20-25% актинолитовой и чернокитовой "молекул".

В красных частях рудной зоны и в участках слабого проявления рудообразующего процесса отмечаются тилл и зоны амфибилизации, содержащие роговую обманку со сравнительно малым количеством глиниозема, меньшей щелочностью и железистостью.

Подобный же амфибол отмечается и среди руд, где он выделяется несколько позже магнетита. Рассматриваемый амфибол иногда ассоциирует в кимах с эпидотом, кварцем, кальцитом, скаполитом и другими минералами, выделяющимися в пострудные стадии постмагматического процесса. По обобщению к этим минералам роговая обманка всегда является более ранней и заменяет зальбанди ким. От дашкесанита она отличается более светлой, но также синеватой, окраской под микроскопом и более низкими показателями преломления. Характеризуемая роговая обманка образует единую генетическую серию с дашкесанитом. Она соответствует затуханию собственно рудного процесса во времени и в пространстве. В ней по сравнению с типичными амфиболами рудного парагенезиса постепенно возрастает роль Ca - компонента и, в частности, актинолитовой "молекулы".

В пострудные стадии постмагматического процесса в связи с обогащением руд кальцитом, сульфидами и другими минералами в рудах происходит образование высокомагнезистого актинолита в виде гнезд, ким и псевдоморфов по скарновому пироксену. Местами отчетливо проявляются процессы актинолитизации дашкесанита и роговой обманки, выражющиеся в их осветлении.

Таким образом, максимальная глиноzemистость (максимальное содержание гастингситовой и чернавитовой "молекул") характерна для амфиболов, находящихся в тесном парагенезисе с магнетитом. В ходе постмагматического процесса и при удалении от зон интенсивного оруденения происходит возрастание в амфиболах роли актинолитового компонента, что соответствует возрастанию кислотности рудообразующих растворов и уменьшению температуры процесса минералообразования.

ИСКЛЮЧАЮЩАЯ ЗАКОНОМЕРНОСТЬ МАГНЕТИТОВОГО
ОРУДЕНЕНИЯ КАЗЫРСКОГО РУДНОГО РАЙОНА
(ВОСТОЧНЫЙ САИН)

Г.Б.КИЯЗЕВ

Томский государственный университет

Все известные месторождения (Таятское, Табратское, Хабзалинское) и наиболее крупные рудопроявления (Покровские, Бокодские и др.) Казырского рудного района расположены в зонах интрузийных массивов Ольховского комплекса (\mathbb{E}_3 - O) с осложнениями нижнекембрийской коллинской свиты.

Рудоносные интрузии Казырского рудного района имеют сущесвенно дифференцированный состав с подчиненной ролью натровых гранатендов. По геоморфической позиции, особенностям состава, петрографии и возрасту Ольховский интрузивный комплекс Казырского района занимает промежуточную позицию между типичным Ольховским комплексом (O) Ольховско-Чибинского района и так называемым Булкинским интрузивным комплексом (\mathbb{E}_3 - O), представленным в пределах района Константинским массивом биотит-пироксеновых и блоками-роговообманковых диоритов и габбро.

Магнетитовое оруденение района связано пространственно с определенными геологическими типами пород коллинской свиты. В Табрат-Хабзалинском рудном узле распределение магнетитового оруденения, помимо прочих факторов, контролируется зонами стратиграфических контактов существенно карбонатных и существенно вулканогенных начек. Последние представлены амфиболизированными пироксенитами и диабазовыми порфиритами и слоистыми мелкозернистыми пирокластами. В Таят-Покровском рудном узле оруденение связано со слоистыми от мелко- до грубобломочных кластическими и пирокластическими породами, обогащенными карбонатным материалом и линзами известняков. В обоих случаях оруденению подвергаются слоистые алюминиально-карбонатные породы с образованием полосчатых согласно зональных рудных тел.

Исклучающую позицию в этом отношении занимает Табратское месторождение. Здесь отсутствует переходная пачка слоистых алюминиально-карбонатных пород и имеет место довольно

разкий литолого-стратиграфический переход от низморов к эфузивам и пирокластам. В эти условия в распределении рудного материала возрастает роль трещинной тектоники. Истинно-сопутствующая ему минерализация распределяется по зонам дробления в эфузивах основного состава и роговообманиковых гибридных диоритах и габброидах контактовой части Убинского интрузивного массива Ольховского комплекса. На всех других месторождениях и рудопроявлениях района интрузивные породы рудоносного комплекса, хотя и оруденевают, но не содержат магнетита в промышленных количествах.

Железоуроженение района является контактово-метасоматическим почти исключительно магнетитовым и характеризуется значительным парагенетическим разнообразием. Согласно классификации Г.А.Соколова и А.М.Димитрия, Таятское месторождение может быть отнесено к скалолитовому подтипу контактово-метасоматических месторождений. Восточный и Центральный участки Табратского месторождения являются представителями дешесанитового подтипа. Западный участок Табратского месторождения и Хабалинское месторождение могут быть отнесены к скарновому подтипу. Отдельные мелкие рудопроявления, отмечаемые среди эфузивов кизирской свиты, характеризуются бесскарновыми водносиликатовыми парагенозисами.

Общей структурой, вмещающей магнетитовое оруденение Казырского района, вероятно, является Таят-Табрасская зона тектонических нарушений. Эта протягивается с северо-востока на юго-запад и представлена серией линейных тектонических нарушений, зон дробления, развалыцевания и гидротермального изменения кембрийских отложений. В этом же направлении происходит смена парагенетических типов магнетитового оруденения от скалолитового до скарнового. Одновременно с северо-востоке на юго-запад происходит увеличение глубины вскрытия интрузивных массивов рудоносного комплекса.

ИССЛЕДОВАТЕЛЬСТВО ПРОЦЕССОВ МИНЕРАЛООБРАЗОВАНИЯ НА ХАБАЛИНСКОМ МАГНЕТИТОВОМ МЕСТОРОЖДЕНИИ

Г.Б.КИЯЗЕВ, В.В.ХОХЛОВ

Томский государственный университет

Хабалинское месторитовое месторождение является одним из главных объектов Казырской группы железорудных месторождений в Восточном Саяне. Оно расположено на контакте Убинского диоритового массива Ольховского комплекса (ϵ_3 -0) с нижнекембрийскими отложениями. Последние относятся к верхней эфузивно-известняко-осадочной подсвите колпинской свиты ($\epsilon_3 Kep_2$) и представлены слоистыми известняками, в различной степени обогащенным силикатами материалом, андезитовыми порфириями и пирокластическими породами.

Рудные члены Хабалинского месторождения имеют согласное залегание с вмещающими породами. Руды имеют полосчатую текстуру и возникли в результате замещения слоистых алеврито-карбонатных пород. Главными минералами руд являются: магнетит, амфибол, пироксен, эпидот, пирит, пирротин и кальцит. В составе вмещающих город большую роль играет гранат и полевые шпаты.

В образовании месторождений можно выделить четыре этапа: 1) этап раннего доскарнового метасоматоза; 2) этап контактного метаморфизма; 3) скарново-рудный этап; 4) пострудный гидротермальный этап.

Метаморфизм проявился в перекристаллизации известняков, образовании амфибол-плагиоклазовых, бистит-плагиоклазовых, кварц-плагиоклазовых и амфибол-биотит-плагиоклазовых роговиков и сланцев. Началу следующего этапа предшествовали малоинтенсивные инъекции гранитоидного и сиенитоидного материала, рассматриваемые в качестве продукта дифференциации диоритовой фазы рудоносного интрузивного комплекса. Этап раннего доскарнового метасоматоза выражен в образовании различных осветленных пород: существенно альбитовых, кварц-альбитовых, пироксен-плагиоклазовых, пироксен-эндот-плагиоклазовых и др., имеющих преимущественно мелкозернистую роговиковую структуру.

Скарново-рудный этап отчетливо разграничен на две глав-

ные стадии: скарновую и рудную. В скарновую стадию получили развитие гранатовые, эпидот-гранатовые, гранат-пироксеновые и пироксеновые скарны контактово-инфилтратационного типа и ранние околоскарновые эпидозиты.

В рудную стадию происходило отложение промышленных магнетитовых руд, причем наиболее охотно оруденение развивалось в связи с пироксеновыми скарнами, амфиболовыми и амфиболо-эпидотовыми породами. В связи с образованием магнетитовых руд на месторождении получил развитие процесс амфиболизации с образованием существенно имфиболовых и амфиболизированных пород.

Пострудный гидротермальный этап был сложным многостадийным. Началу его предшествовало внедрение многочисленных даек диорит-порфиритов. Вдоль контактов даек с известняками проявилось скарнирование. Маломощные пострудные скарновые жилы гранатового и эпидот-гранатового состава обнаружены также среди руд. В более широком масштабе, чем скарны, получили развитие пострудные эпидозиты. В этот же этап происходит обогащение руд лиритом, пирротином, халькопиритом и другими сульфидами, развитие жил кварца, эпидота, хлорита, анкерита, актинолита, пренита.

О ГРАНАТАХ СКАРНОВО-РУДНЫХ ЗОН БЕРЕЗОВСКОГО МАГНЕТИТОВОГО МЕСТОРОЖДЕНИЯ (ВОСТ.САЙН)

Л.Н.КОЛЛЕГОВ

Томский государственный университет

Гранаты - широко распространенные минералы Южной и Северной скарново-рудных зон Березовского железорудного месторождения, где интенсивно развиты скарны инфильтрационного и сложного инфильтрационно-биметасоматического генезиса. Для изучения состава гранатов в высокопреломляющихся сплавах автором было измерено свыше 60 показателей преломления образцов всевозможных разновидностей. Отбору последних способствовали различные тона окраски, структурные взаимоотношения, форма агрегатов и минеральные ассоциации гранатов, а число образцов зависело от призренного объема проявления каждой разновидности на месторождении. Показатели прелом-

ления в порядке возрастания, который не противоречил редко наблюдаемым возрастным соотношениям гранатов, составили довольно равномерный ряд от $N = 1,79$ до $1,89$, что (судя по кривой графика) отражает в общем эволюционный характер изменения состава гранатов от ранней эндрадит-гроссуляровой до поздней существенно эндрадитовой генерации. Макроскопически выделяются четыре группы гранатов, которым соответствуют более пологие отрезки кривой N .

Материалом для детального анализа - рентгеноструктурного (20 проб), химического (9) и спектрального (19) - служили образцы с различными физическими свойствами и структурно-возрастным соотношением. В результате всестороннего изучения, образования гранатов на месторождении разделяется на стадии, которым соответствуют генерации: I - ранняя эндрадит-гроссуляровая и II - поздняя существенно эндрадитовая, связанные во времени и составе наличием переходных разностей. Они отражают развитие дорудного скарнового метасоматоза. По особенностям размещения и составу выделяются четыре разновидности гранатов. Состав генераций и разновидностей сравнивается с типами скарновых гранатов классификации Н.В.Соболева /1964/.

В изоморфном составе гранатов месторождения среднее содержание пиральспиновых компонентов равно 5% и обычно не превышает 8%.

Образование так называемых "отторженных внешних зонок" друзовых кристаллов в остаточных внутренних полостях инфильтрационных гранатовых жил рассматривается как проявление собирательной перекристаллизации в условиях низкой и падающей концентрации растворов.

Послерудные редкие проявления гранатов III и IV генерации совсем незначительны по распространению.

Анализ ряда гипотез о причинах появления аномальных гранатов в скарнах некоторых железорудных месторождений позволяет заключить, что отсутствие таких и характерная изотропность гранатов из Березовского месторождения отражает и подтверждает выдержаный высокотемпературный режим его главного минералообразования, вероятно, обусловленный фациальной глубинностью становления материнской интрузии - Березовского штокса /Коллегов, 1971/. Вместе с тем изученный материал

не является признаком появления аномальной анизотропии при катаклизме, в доле поздних трещин и жилок инзокотемпературных минералов в гранатовой массе, с которым связывают иногда причину этого явления.

СТАДИИ МИНЕРАЛООБРАЗОВАНИЯ БЕРЕЗОВСКОГО
ЖЕЛЕЗОРУДНОГО МЕСТОРОЖДЕНИЯ /ВОСТ.СЛЯН/

Л.Н.КОМЛЕГОВ

Томский государственный университет

В работе кратко характеризуется последовательность минералообразования Северной и Южной скарново-рудных зон Березовского магнетитового месторождения, приконтактовых с граносиенитовым штоком, среди известняков синия и зелено-каменных порфиритов и туфов кембрия.

Роговиковая стадия в ореоле березовского штока проявилась в мраморизации известняков при отсутствии собственно роговиков по порфиритам. К этой стадии относятся маломощные линзы волластонита в доле кремнистых аутогенных прослоев в мраморизованных известняках, как следствие локальной высокотемпературной контактово-метаморфической дифференциации.

Этап раннего щелочного метасоматоза выражен интенсивной альбитизации эндо- и экзоконтактовых алюмосиликатных пород. Натровый метасоматозшел с выщелачиванием темноцветов и выносом железа, марганца, кальция, магния. На месте акцессорного титанистого магнетита и тениоцветов остается сфен, им обогащены измененные породы. Скопления и зонки сфена в них говорят и о перемещении титана. В Южной зоне месторождения по вмещающим порфиритам развита широкая полоса светлых альбититов и пироксен-альбитовых метасоматитов. В Северной зоне в районе Второго участка по ороговиковенным порфиритам развиты неравномерно-полосчатые метасоматиты изменичивости биотит-кварц-альбитового состава - от альбититов до кварцитов.

Характерна общая натровая специфика Березовского штока. Ассоциация в его породах альбита с роговой обманкой, за-

метасоматитом и затем хлоритом, а также повсеместное замещение рудного минерала сфером указывают на высокую щелочность ранних постмагматических растворов. На общем фоне альбитизация слабо проявляется микроклинизация и скаполитизация, обычно не давая крупных икономинеральных обособлений.

Скарново - рудный этап следует за щелочным. Сложение скарнов и руд, по-видимому, происходит на более высоких горизонтах метасоматической колонки. В начале скарновой стадии локально и очень слабо проявился магнезиальный метасоматоз в виде гнездово-прожилковой вкрапленности форстерита в мраморах. Маломощные и волластонитовые зонки по контакту интрузивных пород с мраморами.

Железисто-кальциевые скарны характерны для всех рудных участков, но особенно сильно они развиты в южной экзоконтактовой зоне в структурном "седле" апикальной поверхности интрузива. Здесь преобладают гранатовые, богатые андрэдитом, скарны. В Северной зоне месторождения локализация скарнов и руд четко определяется тектонически-ослабленными зонами, имеет жиловидный контактово-инфилтративный характер. Здесь распространены пироксеновые скарны с гранатом.

Рудно-магнетитовая стадия идет вслед за скарновой с замещением преимущественно скарнов и мраморов - пород высокой основности, активных осадителей металлов. Обратная зависимость между объемами скарнов и магнетитовых руд Северной и Южной зон рудного поля свидетельствует о дорудном рассеянии железа в мощной залежи высокожелезистых скарнов Южной зоны, предопределившим сравнительно бедное рудообразование. Напротив, в условиях маломощных скарновых линз по границе с известниками Северной зоны магнетит нередко нацело замещает скарны образованием массивных руд.

Гидросиликатная стадия не получила широкого развития. Это эпидотизация разных пород, сопутствующая позднему оскарнованию. Узко локальный околотрециклический характер имеют проявления амфиболов, биотита, хлорита в скарнах, треполита и серпентинизации в мраморах, жилки пренитавтвайт-габбро-диабазов. Среди скарнов и альбититов редки гнездово-прожилковые выделения ортита /триорита/.

В кварцево - сульфидную стадию пре-

обладают широтой и шириной (выпрямленность и изогнуты в рудах, скарнах и др. породах). Редки проявления халькофирита, сульфидита, молибдена, сфалерита и гематита. Сульфидная минерализация не дает южных жил и обособленный в рудном поле.

Гипергенин с изменение создает кору выветривания, глубина проникновения которой разнообразна в текстонически ослабленных, трещиноватых линейных зонах. В рудах это ведет к механическому дроблению, истиранию иногда до песка с сопутствующей маркизацией магнетита и лимонитизацией сульфидов. Моноклитные руды обычно не окислены. Превращение магнезиально-железистых силикатов в гидроокисли мензера, гидрослюды, гидрохлорит обогащает верхи рудных залежей в условиях пологого рельефа Северной зоны месторождения.

О ЛОКАЛИЗАЦИИ ЖЕЛЕЗОРУДНЫХ ТЕЛ НА МЕСТОРОЖДЕНИЯХ ГОРНОЙ ШОРЫ

А.Н.КОНОНОВ

Восточный научно-исследовательский горнорудный
институт, Ногокузнецк

На генезис железорудных месторождений и закономерности локализации рудных тел в Горной Шории существует две точки зрения - контактово-метасоматическая и вулканогенно-осадочная. В 1965-1970 гг. на эксплуатируемых частях Казского и Шерегешевского месторождений были собраны материалы, позволяющие уточнить существующие представления об особенностях формирования структур этих месторождений и высказать некоторые суждения о их происхождении.

Строение рудных полей. Стратиграфический разрез на Казском месторождении начинается толщей раннекембрийских известняков с горизонтами доломитов и калькаролинитов склеритов, иногда содержащих полоски с гематитом и магнетитом. На них нанесены среднекембрийские (?) флюоритовые, видимо, флюоритовые и андезитовые порфириты и их туфи. Несколько позже и северо-западнее руды к толе распространены керрикиты: ожеложения раннего и среднего-позднего ордовика, а в то же время керрикиты раннего девона. Интрузивные породы представлены срежнекембрийскими (?) дайками порфиритом и диабазов. Большую

роль играют тела сложного Казского габбро-плагиогранитового и Тельбесского гранитоидного комплексов, а также позднепалеозойские дайки диабазов, диабаз-порфиритов и лабрадоровых порфиритов. В процессе формирования раннепалеозойских вулканитов и магматических тел Казского комплекса происходило интенсивное метасоматическое изменение пород. В Казском рудном поле метасоматиты образуют несколько полос, сложенных альбитизированными породами и альбититами, скарнами и залежами железных руд. Тела тельбесского комплекса и позднепалеозойские дайки секут скопления руды.

Среднекембрийские вулканогенно-осадочные отложения слагают основу Шерегешевского рудного поля. Терригенные толщи ордовика распространены на западном и северо-западном флангах месторождения. Большую роль в строении его играют тела среднекембрийского габбро-сиенитового комплекса. Среднекембрийский вулканизм и становление тел габбро-сиенитового состава сопровождалось метасоматозом с образованием полос альбититов и альбитизированных пород (возможно, им предшествовало формирование фельдшпатолитов), скарнов и железных руд. В южной части рудного поля распространены Кубесский сиенитовый массив; апофизы его кварцсиенитового и граносиенитового состава секут скарны и рудные тела. На востоке месторождение ограничено Сарлыкским plutоном гранитов, ответвления которого внедрились в скарны, руды и тела сиенитового состава.

Особенности локализации рудных тел. Железорудные тела пространственно практически всегда приурочены к средней части скарново-рудной зоны. Они залегают среди скарнов, которые к периферии зоны сменяются альбититами и альбитизированными породами. Приуроченности рудных тел к kontaktам интрузий не обнаружено.

Форма рудных тел как по простирианию, так и по падению линзовидная с отношением длины по простирианию к длине по падению 1:4 - 1:25. Мелкие тела имеют более простую конфигурацию. Граница рудных тел со скарнами бывает как четкой, так и смазанной, а с альбититами и альбитизированными породами - почти всегда резкая.

Для внутреннего строения рудных тел примечательно на-

личие полос с одинаковым содержанием железа. Они хорошо выдерживаются по простирию и падению рудных тел. В середине тела встречаются полосы как богатых, так и бедных руд, причем к периферии они сменяются незакономерно. В крупных рудных телах полосчатость не совпадает со слоистостью во вмещающих породах, а в мелких - такие совпадения иногда видны.

Образование рудных тел генетически (гематитовые залежи) и парагенетически (скопления магнетита) связано с раннепалеозойской вулкано-плутонической деятельностью. В процессе вулканизма происходило накопление и частичное переотложение железа. Внедрение небольших магматических тел и бурные процессы метасоматоза обусловили переотложение железа и образование магнетитовых рудных тел. Становление plutонов щелочного и кислого состава вызвало метаморфизм и частичное переотложение магнетита. Разрывные нарушения предопределили пути проникновения рудоносных растворов, особенно в процессе переотложения железа, и участки концентрации его, а также усложнили форму рудных тел, расчленив их и нередко переместив отдельные части.

ХАРАКТЕР РАЗМЕЩЕНИЯ ОРУДЕНЕНИЯ В КОММУНАР-БАЛАХЧИНСКОМ ЗОЛОТОРУДНОМ РАЙОНЕ И ЕГО ПРОГНОЗНАЯ ОЦЕНКА

А.Ф.КОРОБЕЙНИКОВ, Л.Г.ОСИПОВ

Томский политехнический институт

Золоторудные месторождения размещаются в структурно-фаунистической зоне салазирского цикла консолидации региона и тяготеют к эфузивно-осадочным толщам верхнего протерозоя, разбитым на блоки и прорванными субпослойными интрузиями габбро-диоритов (Pt_3), гранитоидными массивами (Cm_3) и дайками оливиновых габбро-порфиритов (Д?). Регион имеет складчато-глыбовое строение и приурочен к узлу наибольшего усложнения складчатых и разрывных структур в период нижнепалеозойской активизации региона. Месторождения пространственно и генетически связаны с гранитоидным магнетитизмом и размещены в при-

контактных зонах (Знаенское, Спасское, Коммунаровское) или в эндоконтактные интрузиях (Балахчин, Случайное, Мало-Благодатное). К контакту эфузивной и осадочной толщ приурочены линейные тела габбро-диоритов, несущих оруденение штокверкового типа (Коммунар).

В районе выделяются шесть типов руд, отвечающих определенным стадиям минералообразования: I - высокотемпературный вкрапленный золото-кварцевый в альбититах ($480-270^{\circ}\text{C}$); II - высокотемпературный жильный золото-кварц-шеелитовый в расланцованных порфиритах (Спасское, $420-300^{\circ}\text{C}$); III - высокотемпературный штокверковый золото-кварц-актинолитовый в скарново-магнетитовых линзах (Калиостровское) габбро-диоритах, порфиритах с окружной актинолитизацией (Подлунное, Северная и Седоровская зоны, $400-250^{\circ}\text{C}$); IV - среднетемпературный жильный золото-кварц-тальоруситовитый в листвеллитизированных порфиритах, диорит-порфиритах (Знаменское, Январское, $320-220^{\circ}\text{C}$); V - среднетемпературный жильный золото-кварц-лиллит-галанитовый в березитизированных диоритах, гранодиоритах (Балахчинское, Случайное, $300-200^{\circ}\text{C}$) и VI - низкотемпературный золото-кальцит-хлоритовый в зонах карбонатизированных габбро-диоритов, порфиритов (Декабрьское, Масловское-II; $270-120^{\circ}\text{C}$).

Существенная натриевая специализация гранитоидной интрузии, повышенная золотоносность подстилающих и интрузивных пород и особенно лампрофирировых даек (в два и более раз, 18-30 кг/т), наряду с широким развитием послемагматического щелочного и магнезиального метасоматоза, предшествующих оруденению, может служить критерием потенциальной рудоносности конкретных интрузий. Элементы-примеси $\text{Cu}, \text{Pb}, \text{Bi}, \text{Sb}, \text{W}, \text{As}, \text{Hg}$ в ореолах измененных пород и жильных минералах являются дополнительными поисковыми признаками. При этом As и W характерны для высокотемпературных (I-III), $\text{Cu}, \text{Pb}, \text{Bi}, \text{Sb}$ - среднетемпературных (IV-V), а Sb и Hg - низкотемпературных типов руд.

Анализ размещения различных типов руд в стратиграфическом разрезе района и относительно контекста двух разнородных рудоносных толщ показал, что наиболее высокотемпературные (I-III) размещены в блоках диабазово-порфиритовой толщи (Спас-

ское или тяготят к контакту толщ с субпослойными телами габбро-диоритов (Коммунар), среднетемпературные (ІУ-У) - к верхам диабазово-порфиритовой, низам вулканогенно-осадочной и эндоконтактам гранитоидных интрузивов. Основными рудоконтролирующими структурами явились тектонические контакты разнородных толщ с телами габбро-диоритов, образующих несколько (2-3) горизонтов. Вертикальный размах оруденения можно оценить в 2-3 км. Следовательно, можно полагать о проявлении в районе региональной зональности оруденения относительно положенияrudовмещающих толщ в стратиграфическом разрезе в связи с фациальной зональностью гранитоидной интрузии.

Наряду с региональной зональностью отмечается проявление вертикальной зональности отложения: на верхних горизонтах кварцево-золото-медиовисмутосульфидных жил преобладают кварц-халькопирит-теллуровисмутитовые руды, а на нижних (150-200 м) - халькопирит-пирротиновые и снижается содержание золота.

На основании выявленных закономерностей размещения разных типов руд в стратиграфическом разрезе с учетом уровня эрозионного среза отдельных блоков района намечены перспективные площади: в СЗ блоках диабазово-порфиритовой толщи I-III тип руд, в ЮВ блоках вулканогенно-осадочной толщи - ІУ-У. Наиболее перспективным на глубину оказывается центральный блок (Коммунар), занимающий срединное стратиграфическое положение и в котором благодаря стадийности, литологическим и другим факторам проявилось совмещение многих типов руд.

РЕДКИЙ ТИП АЛЬМАНДИН-ГРОССУЛЯР-СПЕССАРТИНОВОГО ГРАНАТА

А.И.ЛЕТУВНИНКАС

Томский государственный университет

Необычного состава гранат обнаружен в щелочных околоскарновых метасоматитах (фельдшпатолитах) Ташелгино-Майзасской рудной зоны (Горная Шория). Фельдшпатолиты представля-

ют собой существенно полевошпатовые олигоклаз-микроклиновые породы с переменным и обычно незначительным содержанием кварца, диопсида, роговой обманки, граната, эпидота, биотита и других редко встречающихся минералов. Гранат в них образует мелкую (0,2-0,7 мм) редкую вкрапленность желтовато-коричневых или розоватых зерен, неравномерно распределенных в породе. Содержание его редко превышает 0,5%. Молекулярный состав граната приведен в таблице.

Альм.	Пир.	Анд.	Грос.	Спес.	Шорл.	Уд.в.	Пок.пр.	$\frac{Fe}{Fe+Mg}$
21,0	6,0	9,7	28,6	33,8	0,9	3,94	I,792	0,80
22,7	7,7	2,3	27,7	38,0	1,6	3,97	I,770	0,76
22,2	2,7	20,8	29,6	22,8	0,9	3,90	I,790	0,92

Обращает на себя внимание необычно высокое содержание кальциевого компонента при одновременно высоком содержании спессартиновой молекулы. По своему составу данный гранат является промежуточным между альмандин-спессартиновым и спессартин-гроссуляровым типами гранатов в известной сводке Н.В. Соболева (1964). Подобного состава гранаты обычно встречаются лишь среди богатых марганцем пород - кодуритов, гондитов и т.п.

Другой интересной особенностью граната фельдшпатолитов является его развитие практически во всех фациях щелочности: от биотит-олигоклазовой до пироксена-микроклиновой. При этом гранат нередко находится в равновесии с роговой обманкой. Последнее обстоятельство особенно интересно в связи с тем, что такой парагенезис обычно считается признаком низкой щелочности процессов минералообразования. По-видимому, причиной такого аномального развития граната в условиях повышенной щелочности процесса фельдшпатизации явилось сравнительно высокое содержание в растворах марганца, освобождавшегося из роговой обманки амфиболитов в ходе их фельдшпатизации.

ТЕМПЕРАТУРНЫЕ УСЛОВИЯ ФОРМИРОВАНИЯ ТАЛЬСКОГО
МЕСТОРОЖДЕНИЯ МАГНЕЗИТА (ЕНИСЕЙСКИЙ КРЯК)

А.И.ЛЕТУВНИКАС, Н.Д.МЕЛЬНИКОВА,
С.В.МОЛДЕНЕВА

Томский государственный университет

Магнезиты Тальского месторождения пространственно приурочены к доломитам алданской свиты верхнего протерозоя. Вопрос об условиях формирования месторождения окончательно не решен, хотя целый ряд признаков с несомненностью свидетельствует о его гидротермально-метасоматическом происхождении. К числу таких относятся: сложная форма рудных тел, наличие в них многочисленных реликтов ("останцов") незамещенных доломитов, характер контактов магнезитовых тел (нередко секущий), наличие в доломитах прожилков и гнезд магнезита, реликтовые текстуры доломитов в магнезитах, участками четко выраженные околодрудные изменения во вмещающих доломитах, присутствие в магнезитах таких минералов, как тальк и флюорит в типичных гидротермальных формах проявления, чистота и выдержанность химического состава магнезитов и целый ряд других. Температурные же условия формирования месторождения до последнего времени оставались невыясненными.

В качестве первоочередного объекта изучения были выбраны часто встречающиеся в доломитах висячего бока IXиX рудных тел жеоды с хорошо образованными ромбоэдрическими кристаллами доломита. Несущие такие жеоды прожилки иногда имеют четко выраженное зональное строение и содержат в своем составе магнезит. Температура гомогенизации газово-жидких включений в кристаллах доломита из жеод оказалась равной 150–200°C. Несколько более высокими температурами гомогенизации характеризуются включения в доломите, слагающем мощные жили доломитового шпата – 170–240°C.

Учитывая общие закономерности развития минерализации на месторождении, можно полагать, что и отложение магнезита протекало в условиях температур, близких к указанным.

К ВОПРОСУ О ГЕОХИМИЧЕСКИХ ПОИСКАХ ЗОЛОТОРУДНЫХ
МЕСТОРОЖДЕНИЙ НА ПРИМЕРЕ ЕНИСЕЙСКОГО КРЯКА

Л.В.ЛИ

Красноярское отделение Сибирского научно-исследовательского института геологии, геофизики, и минерального сырья

I. Геохимические поиски золоторудных месторождений базируются на представлении о том, что между концентрацией золота и распределением элементов- As, Si, Pb, Zn и др., с соединениями которых золото обнаруживает закономерные связи в рудах, существует тесная зависимость. Однако последняя возможна при допущении одностадийности формирования рудных скоплений и сопровождающих их эндогенных ореолов. А так как руды формируются при многостадийном развитии рудного процесса и образование концентрации золота и ореолов элементов часто разорвано во времени, то возникающие геохимические аномалии за редкими исключениями не обнаруживают связи с рудными скоплениями.

Для правильной оценки геохимических ореолов и аномалий необходимо выяснить меру связи содержания золота и ассоциирующих с ним элементов, что может быть определено с помощью корреляционного анализа. Нами вычислялись парные коэффициенты корреляции As с As, Si, Pb, Zn, Sb, Ti, Cr, Mn, Co, Ni. Как видно из полученных значений коэффициентов корреляции логарифмов содержания (таблица), золото обнаруживает прямую и обратную корреляционные связи на различных месторождениях часто с разными элементами, причем, коэффициент корреляции весьма изменчив. При анализе выясняется, что корреляционная связь золота с тем или иным элементом в общем случае отражает минералого-геохимические особенности месторождения и зависит также от того, в каком соотношении во времени находится образование концентрации золота с выделением соединений элементов. Обычно более тесную прямую корреляционную связь золота имеет с теми элементами, минералы которых образовались близко по времени с

Величина парных коэффициентов корреляции золота с ассоциирующими с ним элементами

Парные коэффициенты корреляции золота с элементами									
As	Cu	Pb	Zn	SB	Ti	Cr	Mn	Co	Ni
0,13	0,55	0,03	0,47	-	0,01	-0,06	-0,13	0,26	0,09
0,62	0,44	-0,05	0,47	-	0,47	0,12	0,21	0,18	-0,01
0,19	0,33	0,17	0,37	-	-0,29	-0,31	-0,15	-0,15	-0,04
0,84	0,02	0,13	-0,26	0,70	-0,06	0,00	0,10	0,04	-0,20
-0,14	0,34	0,20	0,01	0,56	0,17	-	-	-	-

Месторождения: 1 - Советское, 2 - Эльдорадо, 3 - Герфедское,
4 - Олимпиадинское, 5 - Васильевское.

его выделением.

Проводя геохимические поиски следует учитывать, что вероятность обнаружения рудных скоплений выше у аномалий и ореолов тех элементов, которые имеют тесную корреляционную связь с золотом. Аномалии же элементов, не обнаруживающих значимой корреляционной зависимости с золотом, не представляют сколько-нибудь значительного интереса, так как они не имеют связи с концентрациями золота. Но поскольку корреляционная связь золота с тем или иным элементом изменчива для разных типов месторождений, то выбор индикаторов рудных скоплений при геохимических поисках приобретает очень важное значение. Необходимо в каждом рудном районе максимально конкретизировать задачу поисков тех или иных типов месторождений и с учетом установленных корреляционных связей золота с разными элементами в различных типах руд проводить выявление геохимических ореолов и аномалий и их оценку.

РАЗМЕЩЕНИЕ И ОСОБЕННОСТИ ЗОЛОТОРУДНОЙ МИНЕРАЛИЗАЦИИ В РАЗЛИЧНЫХ СТРУКТУРНЫХ ЭТАЖАХ ЕНИСЕЙСКОГО КРЯЖА

Л.В.ЛИ

Красноярское отделение Сибирского научно-исследовательского института геологии, геофизики и минерального сырья
Енисейский кряж, являющийся составной частью обширной

байкальской складчатой системы, представляет собой гетерогенную складчатую область, сложенную структурами байкальской складчатости, которыми заняты площади Заангарьи, и архейской глыбы, расположенной в антароканской части. Развитие его подразделяется на четыре крупных геотектонических этапа, которым отвечают структурные этажи в понимании Ф.И.Вольфсона и Л.И.Лукина (1965): архейский, протерозойский, рифейский (геосинклинальный) и послерифейский (платформенный).

Эндогенная золоторудная минерализация, проявленная на различных структурных этажах, наряду с чертами сходства обладает рядом характерных геолого-структурных, минералого-геохимических и генетических особенностей. Для месторождений архейского структурного этапа устанавливается несоответствие между глубоким метаморфизмом вмещающих пород (различные по составу гнейсы и кристаллические сланцы гранулитовой фации) и рудными образованиями, минералого-геохимические особенности которых указывают на формирование их в условиях небольших глубин и невысоких температур. Общей особенностью их является преимущественное залегание золото-сульфидно-кварцевых жил в зонах милонитизации, секущих крылья складок, большая роль в рудах галенита, часто количественно преобладающего над широко распространенным пиритом, и высокое содержание в рудах серебра. Весьма характерно также отсутствие в галените примеси висмута, в то время как сурьма отмечается постоянно и в довольно высоких концентрациях (0,04-0,4%). Эти особенности и другие геолого-минералогические признаки выявляют определенные черты сходства золоторудной минерализации архейского структурного этапа с рудными концентрациями областей тектономагматической активизации.

Золоторудные месторождения протерозойского структурного этапа локализуются в замках поперечных складок (Ли, Нолюбов, 1970) в зоне эзаконтакта гранитоидной интрузии и несут отчетливые признаки метасоматического образования руд. Для рудных тел, представленных пластообразными залежами кварцевых метасоматитов, секущихся поперечными кварцевыми жилами и прожилками, характерно изменение минерального состава, являющегося следствием неравномерно-

го в пространстве и во времени проявления разных стадий рудного процесса, и широкое развитие метакристаллов как в более ранней, так и в более поздней минеральных ассоциациях. Состав и соотношения минеральных парагенезисов указывают на формирование руд в условиях увеличивающегося парциального давления сероводорода и уменьшения концентрации кислорода в растворах от ранних стадий рудного процесса к поздним.

В пределах рифейского структурного этажа золотое оруднение характеризуется значительным разнообразием типов, геологического-структурных условий локализации и минерального состава. Здесь изряду с кварцевожильным типом, к которому относится подавляющее большинство месторождений, широко развиты зоны кварцевого прожилкования, известны золотоносные метасоматиты, грейзенизованные граниты, колчеданы и др. Месторождения залегают среди пород, метаморфизованных в условиях зеленосланцевой фации, и часто пространственно тесно ассоциируют с позднеорогенными интрузиями гранитоидов, размещаясь в их экзоконтактовой зоне участках проявления крорли. По отношению к интрузии гранитоидов проявляется зональность вещественного состава руд, выражаящаяся в смене более высокотемпературных минеральных ассоциаций более низкотемпературными по мере удаления от интрузии.

В платформенном структурном этаже эндогенная золоторудная минерализация проявлена слабо и представлена отдельными пиритизированными участками в кластогенных толщах чингэсанская серии.

МИНЕРАЛОГО-ГЕОХИМИЧЕСКИЕ ПРОФИЛИ КОРЫ ВЫВЕТРИВАНИЯ ПОРОД РАЗНОГО СОСТАВА (САЛАИР)

А.В.МАНЛЕЕВА, В.П.КУРОПАТКИНА,
Т.Н.СОБОЛЬ

Западно-Сибирское геологическое
управление, Новокузнецк

Работами Западно-Сибирского геологического управления

на Салаире установлена кора выветривания мозгосойско-кашковской скопления - южного, плодородного и смешанного типов.

С корами выветривания связан ряд остаточных месторождений и рудопроявлений никеля, кобальта, железа, марганца, магнезита и бокситов. В связи с тем, что сейчас предъявляется большой спрос на аллюминиевое сырье для производства глинозема и огнеупоров, изучение кор выветривания и выявление бокситонесущих площадей является весьма актуальным.

В пределах района на палеозойских породах интрузивного и эфузивно-осадочного комплексов широко развита кора выветривания, застекающая на различной высоте в зависимости от рельефа палеозойского фундамента. Глубина проникновения выветривания колеблется от нескольких до 200 м.

Кора выветривания, формированная в условиях гумидного климата, характеризуется довольно четкой вертикальной зональностью (снизу вверх): зоны физического и начала химического выветривания, выщелачивания, гидролиза и конечного гидролиза. В зависимости от типа геохимического процесса, преобладающего в зоне, состава исходной породы и ряда других факторов, минеральный состав зон, развитых на разных породах, различен.

На породах ультраосновного состава в процессе выветривания формируются кобальт-никелевые окисные и силикатные руды. Наиболее благоприятными для образования латеритных бокситов являются породы соснового состава. При прочих равных условиях (климат, температура, геологические и геоморфологические условия и др.) благоприятным сочетанием являются горизонты эфузивов основного состава и их туфов с прослоями известняков. Горизонты эфузивов и туфов являются благоприятным субстратом, при наличии же прослоев и линз известняков в алюмосиликатных породах создается благоприятная обстановка для разрушения породы и повышения производительности, что способствует более интенсивному выветриванию, сопровождающему интенсивным выносом окислов кальция, натрия, кальция, кремнезема и накоплению окислов железа и аллюминия. Микроскопические исследования и расчет баланса вещества показали, что при выветривании происходит вынос кремнезема, входящего в решетку сили-

котор. Кварц, в главной своей массе, сохраняется во всех зонах выветривания в виде реликтового минерала.

МИНЕРАЛО-ГЕОХИМИЧЕСКИЕ ПРИЗНАКИ МАГНЕТИТОВОГО ОРУДЕНЕНИЯ

А.В.МАНЯКОВ

Институт цветных металлов, Красноярск

Выяснение особенностей пространственной локализации метасоматитов Ирбинского месторождения позволяет поставить логически вытекающую задачу - изучение статистических закономерностей пространственного взаимоотношения промышленного магнетитового оруденения с окорудными породами. Решение этой задачи связано с проблемой увеличения эффективности геолого-разведочных работ и определением перспектив месторождения. Оно предполагает обобщенное описание комплекса признаков, в том числе количественную характеристику их изменчивости и изучение пространственных особенностей изменения величины связи между признаками, заданными с учетом структурно-вещественной анизотропности пространства.

В работе рассматриваются результаты математической обработки на ЭВМ статистических данных, выражавших зависимость строения надрудных метасоматитов, количества элементов-примесей в них, состава главных минералов от расстояния до рудного тела по восстанию. 1/. Надрудные метасоматиты сложены преимущественно гранатом и пироксеном. Пироксен резко преобладает над гранатом в интервале 0-15м. В интервале 25-50м появляются эпидот и амфибол. На расстоянии большем, чем 50м доминирует обогащенный железом гранат. 2/ Существует сильная отрицательная связь между количеством пироксена и расстоянием от верхов рудного тела. 3/. Железистость граната связана значимым положительным коэффициентом с расстоянием от руды. Более того, в интервале до 25 м железистость граната по мере увеличения расстояния от руды даже снижается, а при дальнейшем увеличении расстояния от руды скачкообразно возрастает и даль-

не изменяется. В незначительных пределах. Аналогично /в качественном отношении/ меняется железистость окорудного граната и в метасоматитах высочного бока рудного тела, причем интенсивность таких деандрадитизированных гранатовых зон имеет положительную связь с мощностью рудного тела и мощностью безрудных скарнов. Этот факт можно объяснить тем, что часть железа из гранатовых зон переносилась в центральную зону колонок и отлагалась в виде рудного магнетита.

4/. Содержание геденбергитовой молекулы в пироксене связана значимой отрицательной связью с расстоянием от руды: чем ближе к руде, тем большая часть магния в нем замещается залеганием железом. 5/. Существует сильная положительная связь между коэффициентом $K = \Sigma \text{сидероф.} / \Sigma \text{халькоф.}$ и расстоянием от руды по восстанию, с удалением от рудного тела в надрудных метасоматитах относительное количество халькофильных элементов-примесей сокращается, а сидерофильных увеличивается. 6/. Выявлены положительная связь между отношениями в парах элементов: $\text{Cu-Pb; Cu-Zn; Cu-Ni; Ni-Cu; Ni-Zn}$ и расстоянием от верхов рудного тела. 7/. В других парах элементов: $\text{Zn-Co; Pb-Co; Pb-Ni}$ отношения имеют сильную отрицательную связь с расстоянием от руды.

Отмеченные закономерности пространственной связи состоят надрудных метасоматитов, количества элементов-примесей и состава минералов в них можно использовать для выделения перспективных участков месторождения.

ГЕОЛОГИЯ ТАРДАНСКОГО СКАРНОВО- ЗОЛОТОРУДНОГО МЕСТОРОЖДЕНИЯ

А.В.МАЦЮНСКИЙ

Томский политехнический институт

Золоторудное месторождение Тардан расположено в юго-западном борту Канто-Го структурного горизонта (валиусово-жильного комплекса), в южной части Прибайкальской фундаментально-карбонатные породы. На контактах с доломитами в геометрический этап формирования склонов открыты флюсигранит-гиперзен-карбонатного состава с подчиненным

том, ксенофиллитом, флогопитом, тальком и серпентином. Зона метагнейзидных скарнов достигает мощности 10-15 м. Внешние зоны метасоматической колонки сложены фессалитовыми и форститовыми кальцифирами и пориклазовыми мраморами.

Известковые скарны постмагматического этапа, рассекающие и замещающие магнезиальные, представлены диопсидом, диопсид-геденбергитом, гроссуляр-андрадитом, волластонитом, с редкими эпидотом, везувианом, скаполитом и переосложненным карбонатом.

Интрузивные породы и скарны рассекаются и замещаются метасоматитами кварц-альбит-калишпатового состава с орбитом, сфеном и густокрасным гранатом.

Магнетит-хлорит-актинолит-тремолитовые метасоматиты в виде маломощных тел рассекают и цементируют скарны. Эпидот-кварц-карбонатные жилы с магнетитом, гематитом и пиритом накладываются на перечисленные ассоциации и пользуются незначительным распространением.

Прожилково-вкрашенные руды, представленные жильными кварцем и анкеритом с незначительным количеством арсенопирита, пирита, халькопирита, галенита, борнита, сфалерита и самородного золота, в виде жил и минерализованных зон рассекают магнезиальные и известковые скарны и послескарновые метасоматиты. Среди интрузивных пород золото-сульфидная минерализация встречается в виде кварцево-сульфидных жил в зонах березитизированных гранитоидов. Образование кварцево-золоторудных тел сопровождается формироанием ореолов элементов-спутников Cu , Pb , Zn , Ag , Bi , As как в скарнах, так и в гранитоидах. Кроме этого, золото-сульфидная минерализация характеризуется появлением висмута, сурьмы и кадмия.

Исследования распределения золота в породах и минералах Тардана полярографический, нейтронно-активационным и спектральным методами показали, что интрузивные породы, скарны и их минералы содержат золото до 4-7 кг/т, т.е. в пределах кляркового. Лишь диориты, контактирующие с оруденелыми скарнами, показывают содержание золота в 2-4 раза выше кляркового. Резкое обогащение золотом наблюдается только в минералах кварцево-золотоносных жил, где содержание золота превышает клярковое на несколько порядков.

Таким образом, характер проявления минеральных ассоциаций скарнов, их нарастаение позволяют говорить о гипабиссальной, переходной к мезосубшелевой зоне: глубинности становления скарновых комплексов.

Золотое оруденение просматривается соприкосновено со скарнами и является закономерным этапом постмагматического процесса.

КВАРЦЕВЫЕ ЖИЛЫ БАРАНИХИНСКОГО ЗОЛОТОРУДНОГО УЗЛА ЗАПАДНОЙ ЧУКОТКИ

Н.Д. МЕЛЬНИКОВА

Томский государственный университет

Кварцевые жилы пользуются широким распространением в золоторудных отложениях Баранихинского района Западной Чукотки. Некоторые из них являются источником золотого оруденения золото-серебряной формации эпимермального типа.

Жилы рассекают вулканогенно-осадочные породы триаса, юра и мела; мощность жил незначительна и колеблется от 0,2-0,5 м до 1,0 м.

В пределах Баранихинского золоторудного узла выделяются три типа жил: 1) безрудные хлорит-кальцит-кварцевые; 2) мыльные брекчии с кальцитом цементом, в которых присутствует тонкодисперсионное золото; 3) рудные анкерит-кварцевые жилы с сульфидами и видимым золотом.

В результате проведенных работ установлено, что кварц из различных типов жил отличается по своим макро- и микроскопическим особенностям. (Таблица).

На этих различиях базируются данные термометрирования жил: изменчивость температур зависит от наличия природной и достигшей максимума в рудных жилах.

По структурным особенностям кварца и по температуре ростогенезации выяснилось, что безрудные хлорит-кальцит-кварцевые жилы являются наиболее ранними, а температура их образования составляет $750-870^{\circ}$. Прогрессивные жилы с золотом образуются при более низких температурах.

Тип жилы	Минеральные ассоциации	Цвет кварца	Структурные типы кварца	Форма зерен	Контурные зори	Полосание
Пустынно-штоковые калийно-кальциевые	Кварц, колбальцит, хлорит, арсенопирит, гидроокислы кальция	Бесцветный, молочно-белый, серый	Блоковый, гребенчатый, перистый	Идоморфная, полигональная, иногда шестоватая	Прямоугольные, слабо-волнистые	Нормальное, мозаичное, редко облачное
Рудные структуры с гидроокислами кальция	Кварц, синерит, никрит, сорбит	Молочно-белый, серый, розовый, желтоватый	Гребенчатый, перистый, блембoidalный, мелко-мозаичный	Ксеноморфная, частично вытнутые индивиды	Сильное, перистое, зазубренные, изогнутые	Перистое, нормальное, в мелкозернистом кварце мозаичное
Рудные энкерит-кальциевые	Кварц, анкерит, серпентинит, эрсонит, халькопирит, галенит, золото	серый, молочно-белый, розовый	тонкополосчатый, масивный, халько-домозидный, перистый	Ксеноморфная	извилистые и слабо изломанные	Нормальное, реже пятнистое, струйчатое

Золотоносные кварцевые жили приурочены к участкам повышенной трещиноватости и отличаются полосчатой или брекчийской текстурой и халцедоногидным обликом кварца, а также повышенными значениями интенсивности термолюминесценции. Эти жили обнаруживают тесную пространственную связь с дайками основных пород.

РАСПРЕДЕЛЕНИЕ ТИТАНА В ПОРОДАХ ЛЫСАНСКОГО КОМПЛЕКСА

А.С.МЕХОНОМИН, Г.В.БУРМАКИНА

Институт геохимии СО АН СССР, Иркутск

Насажды Лысанского комплекса входят в состав габбро-пироксенитовой формации В.Саяна. Для них характерно повышенное содержание титана, поведение которого играет большую роль в формировании пород, представленных серпентинитами, пироксенитами и габбро.

В серпентинитах почти весь титан концентрируется в рудных минералах, титаномагнетите и ильмените. Отношение рудного титана к силикатному составляет ~ 26. Содержание титана в титаномагнетите колеблется в небольших пределах 10-14 %. Количество титана в породе зависит в основном от насыщенности её рудными минералами, которые обычно равномерно рассеяны и лишь иногда образуют скопления в виде полос сидеронитовой текстуры и тонких прожилков. На первых стадиях кристаллизации титан входит в магнетит как твердый раствор ильменита; затем избыток его образует самостоятельные выделения ильменита, которые окаймляют зерна титаномагнетита. В процессе метаморфизма наблюдается перераспределение титана с увеличением силикатной составляющей за счет перехода части рудного титана в амфиболы, в которых содержание TiO_2 доходит до 4%.

Пироксениты — самые высокотитанистые породы комплекса (8-14 % TiO_2), отношение рудного титана к силикатному в них около 4. На первой стадии формирования породы титан распределяется между ильменитом с содержанием TiO_2 37-42% и титанавгитом — 3 — 4%. Керсунит, замещающий в последую-

ющие стадии титанавгит, по-видимому, занимал часть рудного титана, увеличивая долю силикатного. Содержание в керсугите доходит до 7%. Однако в более позднюю стадию преобразования породы часть титана керсугита снова переходит в окисную форму (ильменит), которая присутствует обычно в зернах керсугита в виде рудной пыли. Перераспределению титана между силикатами и окислами, по-видимому, способствовали летучие компоненты H_2O , P , F , которые в заметных количествах присутствуют в пироксенитах.

Особенностью Лысенских габбро является отсутствие титаномагнетита. Весь рудный титан сосредоточен в ильмените, что вероятнее всего объясняется восстановительными условиями кристаллизации габброидов. Из силикатов концентриаторами титана являются керсугит, зеленая роговая обманка и сферен. Для многих габброидов характерно очень низкое отношение рудного титана к силикатному, так как почти весь ильменит замещен сференом.

Сравнивая поведение титана в различных породах комплекса, можно отметить его стремление к перераспределению между силикатной и окисной формами. На ранних стадиях формирования титан выделяется в окисной форме, а в дальнейшем стремится к входению в силикаты.

РУДОКОНТРОЛИРУЮЩИЕ СТРУКТУРЫ НА ЦЕНТРАЛЬНОМ ЗОЛОТОРУДНОМ МЕСТОРОЖДЕНИИ

А.М.МИТЮШИН

Кузбасский политехнический институт,
Кемерово

Центральное золоторудное месторождение приурочено к Центральнинскому интрузивному массиву. Массив вытянут в северо-западном направлении в соответствии с простиранием вмещающих его пород кембрийского возраста.

Центральнинский массив сложен гранодиоритами, кварцевыми диоритами, диоритами и в меньшем количестве - гранитами, граносиенитами, сиенитами, сиенито-диоритами, монцонитами, габбро-диоритами и габбро.

В пределах месторождения имеются несколько основных систем трещин, к которым приурочены рудные зоны и жилы с сульфидной и золотой минерализацией.

Наиболее сложные и сильно оруденелые узлы обусловлены развитием и пересечением двух и более систем трещин. (Д.А.Тимофеевский, В.И.Баженов).

Площадь месторождения расчленена на отдельные блоки дорудными дайками спессартитов, микродиоритов и диабазов, приуроченных в основном к трещинам разрыва северо-западного простирания с крутым падением на юго-запад. Все известные жилы и жильные зоны размещаются рядом или вблизи дайко-вмещающих структур. Если в распределении золотого оруденения в плоскости жил кроме дорудных даек значительная роль принадлежит внутри- и пострудным нарушениям, то в размещении кварцево-сульфидных жил на значительной площади велика роль даек.

Важнейшей особенностью в структуре рудного поля в северной части интрузивного массива является ограниченность золотоносных кварцево-сульфидных жил дайками. В южной части наблюдается совместное залегание кварцевых жил и даек. Причем, такая приуроченность жил к дайкам является универсальной.

Рассматривая распределение рудовмещающих трещин на площади всей интрузии, нельзя не заметить, что рудные узлы в направлении с севера на юг располагаются на близких расстояниях. Наблюдается своеобразный так называемый структурный шаг в заложении рудовмещающих трещин.

В этом свете важными моментами при изучении дайко-вмещающих структур являются выдержанность их элементов залегания, размеров и мощности.

В практике горноразведочного дела поиски кварцевых жил на площадях, тяготеющих к дайкам основных пород, различного рода нарушениям, сопряженным, а также поиски непосредственно самих даек являются весьма актуальной задачей.

ПОСТДИАГЕНЕТИЧЕСКИЕ ИЗМЕНЕНИЯ В КВАРЦЕВЫХ ПЕСЧАНИКАХ ЧЕРЕМШАНСКОГО МЕСТОРОЖДЕНИЯ

А.Н.НОВИКОВА

Центральная лаборатория Бурятского
геологического управления,
Улан-Удэ

Кварцевые и кварцитовидные песчаники, составляющие про-
дуктивный горизонт Черемшанского месторождения, встречены
в средней и верхней частях разреза итацинской свиты верхне-
го протерозоя (севенгинская серия терригенно-карбонатных
пород верхнего протерозоя, Западное Забайкалье).

Кварцевые и кварцитовидные песчаники имеют почти моно-
минеральный состав, но характеризуются большим разнообрази-
ем тесно сочетающихся между собой микроструктур и текстур

Такое многообразие вызвано рядом причин: характером
цементации и пористости, процессами уплотнения и пере-
кристаллизации. Все эти факторы наложили свой отпечаток на
внешний облик пород и обусловили выделение из месторожде-
ния трех основных типов песчаников, которые прошли, по наше-
му мнению, единый цикл структурно-текстурных преобразований на
стадии катэ- и метагенеза (по Н.В.Логвиненко, 1968).

Последовательная смена стадий постдиагенетического преоб-
разования кварцевых песчаников представляется в следующем ви-
де:

I стадия (ранний катагенез) представлена слабо метамор-
физованными кварцевыми песчаниками. Характерные особенности
пород: пористое сложение, слабая крепость, хорошая сохранность
песчаниковых структур, окатанность обломков кварца и неравно-
мерное распределение цемента, представленного преимущественно
окислами железа. Процессы метаморфизма выражены в незначи-
тельном уплотнении песчинок кварца, участками песчин-
ки вдавлены друг в друга с образованием так называемых дли-
ко-прямолинейных, выпукло-вогнутых или конформных контактов.
Участками начинается процесс "твердого растворения" тесно-
прижатых друг к другу песчинок кварца. Структура песчаниковая
и бластопесчаниковая.

- 137 -

II стадия (поздний катагенез) представлена кварцитовид-
ными песчаниками. Ещё более поникается пористость, повышает-
ся растворимость соприкасающихся между собой зёрен кварца.
Возникает вторичный регенерационный цемент, суженные или мик-
ростилитовые контакты с удлиненно-зубчатым сочленением зе-
рен. На границе таких сочленений возникает гранобластовый,
мозаичный агрегат. Характерно ложное двойникование для релик-
тивных псаммитовых зерен, вызванное деформацией скатия. Цемент
существенно метаморфизован и большей частью вынесен. Текстура
атакитовая, структуры сложно-сочетающиеся: реликтовые и но-
вообразованные.

III стадия (ранний метагенез) представлена сахаровидными
кварцито-песчаниками и кварцитами. Процесс уплотнения почти
завершен, породы приобретают монолитный облик. Первичный це-
мент отсутствует. Широко развиты не только явления твердого
расторжения и регенерации, обусловленные высокой температу-
рой и давлением, но также и процессы общей перекристаллиза-
ции, приводящие к возникновению типичных гранобластовых мо-
зачных структур, характерных для монокварцитов.

ТЕКТОНИЧЕСКАЯ СТРУКТУРА ЗАПАДНОЙ ЧАСТИ ВОСТОЧНОЙ ТУВЫ И НЕКОТОРЫЕ ЗАКОНОМЕРНОСТИ РАЗМЕЩЕНИЯ МАГМАТИЧЕСКИХ ПОРОД И ЗОЛОТО- ОРУДИЕНИЙ

Ю.В.ОКУНЕВ

Красноярское геологическое управление,
Красноярск

Анализ рукописных и опубликованных материалов, накопив-
шихся в течение последних 10-15 лет, позволил нам выявить
принципиально новые пликативные и дизъюнктивные дислокации.
К таким структурам относится сводообразное поднятие, имеющее
в плане форму полукруга. Главным элементом её является Ка-
хемеко-Агардакский пояс глубинных разломов, окаймляющий под-
нятие с извилинистыми дугами с радиусом 50-60 км. Вершина
поднятия расположена между Ужепской и Агардакской зонами разло-
мов и направлена на восток. Эта структура имеет складчато-

- 138 -

блоковое концентрическое зональное строение. В сводовой части об размежевается наиболее приподнятый тектонический блок, а по изогамии к об периферии размещаются ступенчато всё более и более опущенные блоки. Последние ориентированы параллельно поясу глубинных разломов и прослеживаются из расстояния 100-150 км. В указанном изогамии изменяется возраст пород, слагающих блоки, от нижнего кембрия до среднего девона, повышается интенсивность пликтативных и разрывных нарушений, динамометаморфизма и гидротермальной переработанности пород, уменьшается кривизна дуг разломов и тектонических блоков. То есть, намечается вполне определенная зональность и концентричность в размещении геологических структур и образований, а также ступенчатость в вертикальном разрезе.

Предполагается, что в формировании сводообразного поднятия и дугообразного пояса глубинных разломов главная роль принадлежала Убсунур-Бийхенскому глубинному разлому, проходящему субмеридионально под сводом выделяющейся структуры. Этот разлом служил каналом, по которому поднимались огромные массы базальтоидной магмы, давшей породы таниульского комплекса и, возможно, автоворакского.

В строении сводообразного поднятия выделяются поперечные (радиальные) разломы, пересекающие дугообразные тектонические блоки. К наиболее изученным из них относится Тапса-Байсютский разлом, который четко отбивается в гравитационном поле локально вытянутой интенсивно отрицательной аномалией. Он контролирует скрытые гранитные массивы бреньского комплекса, апикальные части которых картируются на поверхности в виде густой сети дайко- и штокообразных тел. Последние по своим петрографическим, петрохимическим, геохимическим и другим особенностям аналогичны породам, слагающим массивы бреньского комплекса (Бреньский, Каражольский и др.).

В связи с особенностями выделяемой структуры находится характер пространственного размещения разновозрастных магматических пород. Так, Каахемский pluton таниульского комплекса приурочен к сводовой части, где изгибющие слои поднятия явились выстильщиком магмы, и структурно конкордантен пликтативным структурами энконтактам. Интрузии автоворакского комплекса контролируются лишь Каахемско-Агардакским поясом глубинных разломов. Имеющиеся материалы позволяют предположить, что по-

роды бреньского комплекса формировались в пределах мощной зоны глубинных разломов субширотной ориентировки. Эта зона возникла во время тектонической активизации каледонид и находится в структурном несогласии с последними. Она протягивается из Западного Прибайкалья до выделяемого сводового поднятия. При подходе к поднятию она разветвляется и огибает его с севера и юга в виде "ухватов", соединяясь с глубинными разломами Тувинской впадины.

Делается вывод, что Каахемский pluton имеет зональное строение - глубинные части сложены породами, близкими по физическим свойствам к ультраосновным, а верхние - более кислыми разностями (диоритами, кварцевыми диоритами, гранодиоритами, редко габбро).

Золоторудная минерализация западной части Восточной Тувы размещается вдоль пояса глубинных разломов или в непосредственной близости от него. Наибольшая же концентрация золоторудных проявлений связана с поперечными разломами (как, например, Тапса-Байсютский).

ВЗАИМООТНОШЕНИЯ СИЕНИТОВ И РУДНО-СКАРНЫХ ЗОН НА ШЕРЕГЕШЕВСКОМ КЕЛЕЗОРУДНОМ МЕСТОРОЖДЕНИИ

В.П. ОРЛОВ

Западно-Сибирское геологическое управление,
Новокузнецк

Сиениты Шерегешевского месторождения большинством исследователей относятся к дорудному Кубесскому массиву, в экзоконтактах которого сформированы послемагматические рудные тела. Однако, по мнению некоторых авторов, это не исключает развития послерудных дайковых сиенитов и возможность предмагматического происхождения основной массы рудных тел.

При выяснении морфологии и структурного положения сиенитов и рудно-скарновых зон нами установлено следующее:

I. Собственно Кубесский массив сложен среднезернистыми порфировидными сиенитами и приурочен к ядру синклинальной складки, в северном крыле которой на протяжении 4 км располагаются все известные рудные тела. Поверхность массива осложнена

на концами крутонадающими апофизами, отчетливо разделяющими складчатую структуру рудоносящих отложений и в восточной части рудного поля непосредственно контактирующими с рудами и скарнами. Для сиенитов в замкнутых масштабах характерны процессы магматического замещения. Морфология контакта сиенитов и рудно-скарновой зоны установлена по многочисленным скважинам и горным выработкам и свидетельствует в пользу пострудного формирования сиенитовой интрузии.

2. Для месторождения, кроме того, характерны субпластовые тела мелковзернистых сиенитов без признаков магматического замещения, пространственно и, очевидно, генетически тесно ассоциирующие с силами габбродов. Породы передко скарнированы, близ зон дробления несут наложенную магнетитовую минерализацию и секутся эпофизами Кубесских порфироидных сиенитов.

3. Основная стадия скарнирования в Шергемесском рудном поле проявилась после внедрения субскладчатых субпластовых сиенитов и завершилась до становления постскладчатого собственно Кубесского массива.

О ПОЯСОВОЙ ЗОНАЛЬНОСТИ МОРФОЛОГИЧЕСКИХ ТИПОВ ОЛОВОВРУДНЫХ ПОЛЕЙ В ЮЖНОМ ПРИМОРЬЕ

Н.Л.ПЕТРЕНКО

Центральный научно-исследовательский институт "ЦНИИОлово", Новосибирск

К последнему десятилетию в Южном Приморье выявлены многочисленные рудопроявления олова, относящиеся к различным генетическим и промышленным типам и составляющие пояс полиметаллической минерализации, впервые отмеченный С.С.Смирновым в специальных работах (1937, 1946).

Проведение исследования структурно-морфогенетических особенностей типовых рудных полей Южного Приморья, показали, что следует различать две основные морфогенетические группы оловоносных рудных полей: ореольные и корневые.

Ореольные поля формировались в условиях наиболее раннего этапа магматической деятельности на фронте гранитных интрузий, типичных жильных пучков не образуют.

К группе корневых рудных полей относятся пучки касситерит-сульфидных жил и синерудных жильных интрузий. Эти рудные поля характеризуются большой протяженностью и наиболее перспективны в промышленном отношении.

В региональном плане поясовая зональность разных морфогенетических типов олововорудных полей заключается в смене с запада на восток типично ореольных ореально-жильными (Центральная структурно-металлогеническая зона), а последних - корневыми (Главная структурно-металлогеническая зона) полями.

Направленность (с запада на восток) изменений рудно-магматических образований в полях тождественна направленности:
а) нарастания возрастного разрыва формирования их; б) увеличения интервала глубинности источника до зоны отложения руд; в) развития структурно-металлогенических зон.

Установленные пространственные закономерности морфогенетических типов олововорудных полей способствуют интересам практики направления геологоразведочных работ при промышленном освоении олововорудных районов, подчеркивая объективность принципа, заложенного И.Ф.Иванкиным (1968) в основу группировки рудно-магматических систем.

К ЗОНАЛЬНОСТИ БАЛЕЙСКОГО ЗОЛОТОРУДНОГО МЕСТОРОЖДЕНИЯ (ВОСТОЧНОЕ ЗАБАЙКАЛЬЕ)

Г.А.ПИТАЕВА

Забайкальская комплексная геологическая экспедиция, Балей

Балейское месторождение в структурном отношении представляет сложный комплекс пространственно сближенных жильных тел, заполняющих закономерно ориентированные системы крутонадающих (субмеридиональных) и пологих (субширотных) соответственно отрытых и сколовых нарушений, которые создают в совокупности особый в морфологическом отношении штокверкоподобный облик. Крутонадающие жилы короткометражны (40-60м) и маломощны (0,15-0,2м), пологонадающие - относительно протяженны (200-500м).

По составу выщерывающихся пород на месторождении выделяются два участка: Северный и Южный. Первый расположен среди верх-

кемальскойских гранодиоритов, второй - среди осадочных отложений мергелисто-железнокварцевого возраста. Участки разделяются крупным разломом северо-восточного простирания, к тектону которого приурочено появление золота.

Рудные тела, по материалам многих исследований, сложены агрегатами тонкозернистого халцедономицита кварца и халцедона, эдуляром, глинистыми минералами. Реже встречаются крупногребенчатые, местоматные разности кварца в ассоциации с пластинчатыми карбонатами, часто замещенными кварцем. Жиды содержат до 0,5-1,5% сульфидов, среди которых преобладают пирит и марказит. Золото составляет 1/100-1/50 рудного вещества. Для жил с высокими содержаниями золота характерны пиритрит, сульфосоли серебра, меди, сурьмы. В составе жил, распространяющихся в Северном и Южном участках, наблюдаются исконные отличия.

Изучение особенностей распределения элементов, минеролов, структур и текстур жильного выполнения, околоврудных изменений пород в различных участках и горизонтах показало существование направленной их изменчивости в пространстве, указывающей на проявление зональности различных узлов и масштабов.

Зональность по простирианию и падению рудных тел (в направлении от наиболее обогащенной части к флангам) выражается в постепенно-прерывистом уменьшении мощности рудного тела, снижении содержаний золота, уменьшении количества глинистых-слюдистых минералов, упрощении текстурного рисунка жил за счет сокращения числа полос, различавшихся по структуре кварцевого агрегата, составу, окраске.

Зональность по мощности рудных тел выражается в неоднократной последовательной смене от залывандов к сечевым линиям кварцевых, кварц-эдулярных и рудных полос, в уменьшении вблизи осевой линии мощности отдельных полос, с шириной размеров реликтовых пластин карбонатов.

Зональность в пределах рудоносных участков в изостатической ступени отражает изменчивость, синхронную для отдельных рудных тел и их комплексов. Так, для обоих участков характерно изменение вещественного состояния рудных тел по переходу к периферийским частям и на глубину за счет исчезновения

месторождения кварца, уменьшения количества эдуляра, анкерита, гипса, тупоромбоэдрического "друзового" кальцита, снижения концентрации рудных минералов и содержаний полезного компонента, уменьшения частоты встречаемости макроскопически видимых выделений золота, упрощения текстурного рисунка, уменьшения интенсивности изменений вмещающих пород.

Сравнение элементов выявленной зональности в пределах Балейского месторождения с ранее установленной зональностью основных рудных тел в пределах Тассеевского участка (Хомич, Чеглаков, 1965) указывает на их однотипность. На Балейском месторождении также представляется возможным выделить зону высоких концентраций (рудных столбов), переходные и безрудные (издродную и подрудную) зоны. В каждом из участков рудного поля величина вертикального градиента зональности колеблется в определенных пределах и зависит, по-видимому, от особенностей рудовмещающих структур.

КАРБОНАТНЫЕ ПОРОДЫ АЛТАЯ КАК СЫРЬЕ ДЛЯ ПРОИЗВОДСТВА ЦЕМЕНТА

З.Ф.ПОДТЕРЕГИН

Обь-Иртышская экспедиция, СНИИГТИМС,
Томск

Карбонатные породы Алтая широко развиты в составе отложений девонского, силурийского, кембрийского и верхнепротерозойского возраста.

В Горном Алтае карбонатные породы, пригодные для производства цемента и обладающие практически неисчерпаемыми запасами, расположены, в основном, в малодоступных и слабоосвоенных районах, что исключает в ближайшем будущем возможность их использования в цементной промышленности.

Карбонатные формации нижнего и верхнего силура в пределах северной части Рудного Алтая имеют широкое площадное распространение и обладают значительными мощностями. По своему качеству они пригодны для получения цемента высоких марок. Запасы карбонатного сырья в состоянии обеспечить любую потребность. Однако отсутствие транспортных путей и

значительная удаленность от промышленно-развитых потребляющих центров несколько снижает значение этого района.

Наиболее перспективными на цементное сырье являются известняки юго-западной окраины Томь-Колымской складчатой зоны и Салайра.

На правобережье р.Оби, в районе г.Камня-на-Оби на поверхность выходят известняки нижнего-среднего кембия, слагающие ядро небольшой антиклинальной складки. Наряду с химически чистыми креморизованными известняками встречаются маломощные прослои мергелистые известняков. Оба разновидности известняков вполне пригодны для производства цемента. Карбонатные отложения перекрыты глинами третичного и четвертичного возраста, которые могут быть основой сырья для получения цементного клинкера.

Карбонатные отложения юго-западной части Салайра представлены известняками иминхинской свиты нижнего кембия, которые слагают ядро крупной синклиналии субмеридионального простирания и вскрываются по берегам р.Минихи. Среди известняков выделяются несколько литологических разностей: химически чистые креморизованные известняки, слабо мергелистые, мергелистые и слабо доломитизированные известняки. Химический анализ карбонатных пород показал, что по содержанию главных компонентов / CaO -48-52%, MgO -0,4-0,6%, SiO_2 -5-8%/ они пригодны для получения цемента. Несколько повышенное содержание кремнезема может быть скорректировано соответствующими добавками.

Закарстованность известняков составляет в среднем 3,6%, а содержание иностранных включений /вермикулит/ прослоев и дайковых тел/ не более 0,8%. Гидрогеологические и гидрогеологические условия позволяют всеми открытым разработкам в несколько уступов.

Геолого-экономический анализ распространения карбонатных формаций Алтая показывает, что изученные карбонатные породы юго-западной части Томь-Колымской складчатой зоны и юго-западной окраины Салайра обладают флюидами и могут служить сырьем для организации в этом районе крупного цементного производителя.

НОВЫЙ ГЕНЕТИЧЕСКИЙ ТИП ТАНТАЛОВЫХ ПРОЯВЛЕНИЙ НА ПРИМЕРЕ МЕСТОРОЖДЕНИЯ ДАЛЬНЕГО ВОСТОКА

Р.И.ПОЛЕВСКИХ

Дальневосточный геологический институт
ДВНЦ АН СССР, Владивосток

В последние годы на Дальнем Востоке установлен новый тип tantalовой минерализации, проявленный в зоне кварцево-топазовых грейзенов, занимавших промежуточное положение между топазо-флюоритовыми грейзенами и альбитизированными гранитами.

Минерализация заметно отличается от известных в литературе tantalоодержащих эпигранитов широким проявлением фтористого метасоматоза и накоплением tantalа в стадию грейзенизации.

Танталоносные метасоматиты образовались в результате последовательного проявления пяти стадий метасоматического процесса: ранней альбитизации, ранней грейзенизации, поздней альбитизации, поздней грейзенизации, микроклинизации. Первые стадии имеют пломбажное распространение и возникают в результате автометасоматоза. Второй этап альбитизации и грейзенизации развит в центральной части массива. Образующиеся при грейзенизации топазовые и топазофлюоритовые грейзены из tantalовых месторождениях, известных из литературных источников, не встречаются.

С гранитонидами среднесибирского возраста, по которым образованы метасоматиты, связана разнообразная минерализация редких элементов (ниобий, tantal, олово, вольфрам и др.). По петрохимическим и геохимическим особенностям описаниеемые граниты относятся к так называемым редкометальным гранитам, имеющим довольно широкое распространение в ряде регионов (Казахстан, Япония, Монголия, Нигерия и т.д.). Наличие субмикронических и обдувочных аналогов редкометальных гранитов, характеризующихся петрохимической и геохимической близостью с состоящими из турмалин и пегматитами, доказывает возможность существования в природе таких редкометальных гранитов.

Подобные аналогии проявления на Дальнем Востоке можно ожидать в зонах околосубстратного изоглубоного залегания протерозойско-палеозойского фундамента при наличии дифференцированной редкометальной изотимы, богатой фтористыми соединениями, а также при развитии глубинных разломов и проявлений дорудной тектоники, обес печивающих участие в палингигном и постмагматическом процессе ювелирных фтористых растворов.

ГЕОЛОГО-СТРУКТУРНЫЕ УСЛОВИЯ ПРОЯВЛЕНИЯ И ВОПРОСЫ РУДНОСТИ МАЛЫХ ИНТРУЗИЙ РУДНОГО АЛТАЯ И КАЛБЫ

П.И.ПОЛТОРЫХИН

Восточно-Казахстанское геологическое управление,
Усть-Каменогорск

В Иртыш-Зайсанской подвижной тектоно-сфере длительное время (особенно в средне-верхнепалеозойский период развития) протекали интенсивные тектоно-магматические процессы. Наиболее интенсивный магматизм как в эффузивной, так и интрузивной форме, проявился в пределах Рудного Алтая, где с ним связаны крупнейшие полиметаллические месторождения.

В конце верхнепалеозойского периода развития, когда в основном уже оформились, в различной степени консолидировались структурно-фацальные и соответствующие им металлогенические зоны, в пределах всей Иртыш-Зайсанской очаговой зоны наступил длительный период воздымания, характеризующийся резким затуханием магматизма. На Рудном Алтае и в Калбе герцинский магматизм заканчивался в виде малых интрузий и даек, широко проявленных в форме прерывистых цепей по иrostрированию наиболее крупных северо-западных и субширотных разрывов, явившихся главными каналами для проникновения остаточных расплавов в верхние структурные горизонты. Эти остаточные расплавы и сопровождающие их гидротермы имели связь с глубинными магматическими очагами, однако в пределах различных структурно-фацальных зон профиль их металлогенической специализации различен. Он обусловлен как споцидной строенностью отдельных зон, так соответственно и некоторыми особенностями проявления ма-

лых интрузий и даек. Так, с синхронными верхнепалеозойскими гранитоидными малыми интрузиями в тесных связях находится: на Рудном и Бжном Алтас - полиметаллическое оруденение, в золоторудном пояссе Калбы - золото, а в Чингизе - медно-кончеденит. Однако для верхнепалеозойских комплексов малых интрузий и даек различных металлогенических зон характерны общие особенности: проявление в областях орогенного развития, длительная связь с глубинными магматическими очагами, формирование расплавов малых интрузий и даек в промежуточных магматических камерах, контрастность глубинной дифференциации, гибридизм, пестрота петрографического состава, насыщенность летучими компонентами, повышенная рудносность, а также тесная временная связь проявления магматизма и оруденения, комбинационность магматических и гидротермальных тел и др. Повышенная рудносность и тесная связь малых интрузий и даек с гидротермальными рудными телами объясняется их длительной связью с глубинными магматическими очагами, структурными и временными соотношениями, а также высокой подвижностью магмы малых интрузий, проявившихся по долгоживущим глубинным разломам, что обусловило широкое взаимодействие смещающимися породами, резкое изменение температуры, давления, окислительно-восстановительного потенциала, вскипание магмы и отделение от них гидротерм.

Широкое проявление верхнепалеозойского комплекса малых интрузий и даек является хорошим поисковым признаком оруденения.

РОЛЬ ГЛУБИННОГО СТРОЕНИЯ В СТРУКТУРНО-ФАЦИАЛЬНОЙ И МЕТАЛЛОГЕНИЧЕСКОЙ ЗОНАЛЬНОСТИ РУДНОГО АЛТАЯ И КАЛБЫ

П.И.ПОЛТОРЫХИН

Восточно-Казахстанское геологическое управление,
Усть-Каменогорск

Иртыш-Зайсанская геосинклинальная складчатая область, в которую входят Рудный Алтай и Калба, в региональном плане представляет собой подвижную тектоно-магматическую зону полкового заложения. Главный структурный план, размещение маг-

матизма и связанного с ним различного оруденения предопределены системами глубинных северо-западных разрывов, заложение и развитие которых тесно связано с особенностями строения и развития глубинных горизонтов земной коры. Крупными, долгоживущими разломами регион расчленен на систему геотектонических глыб (блоков), спецификой исторического, эволюционного развития которых обусловлена интенсивность и характер осадконакопления, проявления магматизма и генеральный профиль металлогенеза. Северо-западная поясовая структурно-фацальная и металлогеническая зональность находит свое четкое отражение в характере гравимагнитных полей. Рудному Алтаю отвечает интенсивный гравитационный максимум, ограниченный двумя узкими минимумами и зонами градиентов силы тяжести. На северо-востоке отрицательная аномалия совпадает с Северо-Восточной зоной смятия, а на юго-западе — наибольшему максимуму отвечает Калба-Нарымский гранитоидный pluton. Магнитное поле также имеет поясовое строение; положительные аномалии характерны для Рудного Алтая, где довольно широко распространены магнетитовые образования базальтоидного ряда и ассоциирующие с ними медно-колчеданные и колчеданно-полиметаллические месторождения; отрицательными или близкими к нулевым аномалиям отмечается Калба-Нарымская зона, где широко распространены флишоидные песчано-сланцевые толщи, гранитоидные интрузии и ассоциирующее с ними редкометальное и золотое оруденение.

Наряду с наиболее распространенными северо-западными разрывами, довольно четко устанавливаются системы крупных субширотных разрывов, иногда слабо проявленные в верхних структурных этажах, также сыгравших важную роль в размещении различного оруденения. Глубинные субширотные разрывы, наиболее активно проявившиеся в верхнем палеозое, пересекают различные металлогенические зоны, не оказывая существенного влияния на уже сформировавшийся профиль их металлогенической специализации. Эти разрывы контролируют проявление верхнепалеозойских комплексов малых интрузий, с которыми, в различных структурно-фацальных зонах связано различное оруденение.

Для Алтая и Калбы устанавливается тесная взаимосвязь глубинного строения, разломно-блоковой тектоники и магматизма, историческим развитием которых определен металлогенический

профиль и главные закономерности размещения рудно-магматических проявлений.

ВНУТРЕННЕЕ СТРОЕНИЕ ПИРИТА И СВЯЗЬ С НИМ
ЗОЛОТА НА ЦЕНТРАЛЬНИКСКОМ МЕСТОРОЖДЕНИИ
(МАРИИНСКАЯ ТАЙГА)

В.Н.СЕРГЕЕВ

Томский государственный университет

Предварительные данные, полученные при исследовании внутреннего строения наиболее распространенного рудного минерала золотоносных кварцевых жил — пирита, свидетельствуют о возможности получения большого количества генетической информации, важной в прикладном и научном отношении. Нами выделено три генерации этого минерала, причем внутри генераций можно различать несколько структурных типов пирита, связанных с локальной спецификой условий их формирования и преобразования.

Пирит I является самым ранним рудным минералом кварцевых жил и обладает сложными и разнообразными структурными узорами, обусловленными различными явлениями роста, деформаций, растворения, выщелачивания, регенерации, которые последовательно сменяли друг друга на протяжении длительной и богатой событиями истории его развития и преобразования. Главным мотивом структурных узоров пирита I являются картины различных стадий и различной степени его метаморфизации. Пирит I₁ сохраняет в качестве реликтов первичные структуры роста, в то время как в пирите I₂ структур роста не сохранилось и господствуют элементы, возникающие в результате метаморфизма — деформации, пористость выщелачивания, замещения другими минералами и отдельные участки рекристаллизации. Пирит I₃ демонстрирует своим внутренним строением наиболее глубокую степень метаморфических присобраваний пирита I, что запечатлено в появлении значительных участков рекристаллизации и прерывистых периферийных кайм регенерации.

Пирит II представляется образованием, отнесенным нами к самостоятельной генерации условно. Этот пирит состоит из

"ядра" или ряда реликтовых обломков, представленных пиритом I и широкой каймой "свежего" пирита регенерации, которая составляет 2/3 объема зерна. Таким образом, пирит II - это пирит существенно "регенерационный".

Пирит III возникает в результате перекристаллизации и, частично, переотложения пиритов I и II генераций. Он образует среди пиритов ранних генераций, поздних сульфидов и кварца жилки и пятна из стебельчатых вытянутых или изометрических зерен, совершенно лишенных структур роста и следов поздних преобразований.

Генетическую связь золота с пиритом в данном случае можно понимать только как тесное совместное пространственное расположение, а также предполагая близкое по времени отложение первых порций золота с появлением пирита III.

Коллектором почти всего объема золота, заключенного в сульфидах, является пирит I, обладающий большой "внутренней поверхностью" и "раскрытием" зерен с периферии в результате многократного наложения метаморфизующих процессов. Пириты II, III и другие сульфиды (сфалерит, халькопирит, галенит) обладают ничтожными коллекторскими свойствами и золото, как правило, расположено по периферии зерен, межзерновым границам и секущим трещинкам. Золото, заключенное в пирите I, отличается меньшими размерами и формой зерен от таковых зереч, образующих срастания с поздними сульфидами и кварцем.

Характерный узор внутреннего строения пирита I может служить поисково-оценочным критериям и дает возможность выявлять его наличие и степень распространенности в отдельных жилах и участках жил, и таким образом увеличивать их перспективность при значительных количествах тонковключенного золота, а с другой стороны, указывает на наличие "труднораскрываемого" при обогащении компонента.

О СООТНОШЕНИЯХ МАГМАТИЧЕСКИХ ПОРОД И МАГНЕТИТОВЫХ РУД В АНЗАССКОЙ ЗОНЕ И О ЯВЛЕНИЯХ ЗОНАЛЬНОСТИ

Н.И СОКОЛОВА

Сибирский научно-исследовательский институт геологии, геофизики и минерального сырья,
Новосибирск

Анзасский рудоносный магматический комплекс в типичном виде представлен несколькими интрузиями габбро-альбититов, залегающими в зоне Джебашского глубинного разлома на протяжении 12,5 км. Этот относительно хорошо разведанный и изученный участок зоны включает Анзасское и Тарташское магнетитовые месторождения, приуроченные к одноименным интрузиям.

Отчетливо различаются: а) штоковая фация габбродиоритов-Тарташский шток с окружающими его мелкими телами, б) акмолитовая фация габбродиоритов, хорошо выраженная на месторождении Анзас.

Изучение детальных карт и разведочных материалов приводит к выводу, что две выделенные главные фации единого магматического комплекса имеют, во-первых, разное структурно-текtonическое положение и, во-вторых, характеризуются рудоносностью разного масштаба и, отчасти, типа. В то же время интрузии обеих фаций на протяжении указанной зоны и на глубине порядка 1-3 км образуют единое сложное тело, определенным образом меняющееся в направлении от штока к акмолиту.

Тарташский кругопадающий и сравнительно малоэродированный шток имеет длину в плане 5 км, ширину - 3 км, площадь 5,9 км². С глубиной его размеры увеличиваются. Интрузия обнаруживает зональное строение. В ядерной части он сложен хорошо раскристаллизованным габбро, габбро-диабазом, оливино-вым габбро. К ядру штока приурочено вкрапленное титан-магнетитовое оруденение.

Эндоконтактовая зона сложена альбитизированными габбродиоритами и существенно альбитовыми породами с реликтами габбро. Такие породы с гнездово-вкрапленным магнетитом образуют прерывистое кольцо вокруг ядра штока, а в участке, где шток сопрягается с Анзасской подвижной зоной-линейно-вытянутое

тело, длиной около 6,5 км и шириной 0,5 км. В этом участке локализуются Тарташские магнетитовые залежи, тесно связанные с альбитовыми породами. Они образуют малопротяжённые (100-200 м) и маломощные (3-30 м) линзы и являются большей частью бедными по содержанию железа. В общем оруденение, приуроченное к внешней части штока, по своим масштабам невелико. По структурно-морфогенетическим особенностям это оруденение мы относим к ореольному типу.

Иной масштаб промышленного оруденения характеризует акмолитовую фацию габброидов, интенсивную подвижной Анзасской зоне. Габброиды представлены здесь не одной крупной интрузией, а системой субпараллельных согласных инъекций (более 10), насыщающих зону общей мощностью 1,5 км. Породы представлены мелко- и среднезернистыми габбро, габбро-диабазом и диабазом. Они интенсивно скаполитизированы и альбитизированы, в особенности по периферии и на выклиниках. В области северо-восточного окончания акмолита количество альбитовых пород максимально. Здесь же обособляются довольно крупные тела щелочных интрузий. Между габбро и альбититами располагаются полосы вмещающих сильно измененных пород и рудные залежи. Весь рудоносный акмолит имеет длину в плане около 7,2 км при ширине 0,7 км. Он падает круто к югу и по лого склоняется к западу в сторону Тарташского штока. Для Анзасской зоны, характерны компактные и мощные залежи магнетитовых руд. По запасам месторождение относится к крупным.

Соединение акмолита и штока, судя по их соотношениям со структурой глубинного разлома и с учётом углов склонения акмолита, должно произойти на глубине 2-3 км на участке Шамань-сук. Соответственно графическим отстройкам на этом участке и на западном фланге собственно Анзасской зоны намечаются перспективные участки рудоносной структуры, где целесообразно провести разведочные работы.

О ВОЗМОЖНОСТЯХ ПРОСТРАНСТВЕННО-СТАТИСТИЧЕСКОГО АНАЛИЗА ПРИ МЕТАЛЛОГЕНИЧЕСКИХ ИССЛЕДОВАНИЯХ

Б.И.СУГАНОВ, В.В.БОГАЦКИЙ

Красноярское геологическое управление.

Сибирский научно-исследовательский институт геологии, геофизики и минерального сырья,
Красноярское отделение

Для количественной оценки сложности геологического строения и некоторых других геологических параметров авторы предложили использовать пространственно-статистический анализ (ДАН СССР, том 181, вып. I).

С целью оценки возможностей использования метода при металлогенических исследованиях изучено влияние геологического строения, состава и характера руд, размера и формы черпака (элементарной площади исследования) и положения нуля координат.

Установлено, что на оценку пространственного расположения эндогенных месторождений влияет сложность геологического строения. При этом промышленное оруденение железа и золота сосредоточено в районах с высоким показателем сложности геологического строения, а меди, свинца и цинка - в районах средней сложности.

Исследования размеров черпака показали, что: а) положение районов относительно высокой сложности геологического строения не зависит от размера черпака; б) увеличение черпака влечет за собой увеличение размеров районов высокой геологической сложности; в) поля высокой геологической сложности, сохраняют конфигурацию (сходство) в большей степени, чем поля средней и низкой сложности; г) основные статистики (размах выборки, среднее, дисперсия, коэффициент вариации) меняются нелинейно.

При изменении формы черпака: а) положение районов относительно высокой сложности геологического строения не меняется; б) конфигурация полей различной сложности резко меняется; в) размах выборки, среднее, дисперсия, коэффициент вариации не меняются.

Эксперименты по оценке влияния положения нуля систем координат установили, что: а) границы районов высокой сложности смещаются тем больше, чем больше шаг смещения нуля; б) в большинстве случаев подобные конфигурации полей сохраняется; в) основной статистики подвержены слабым колебаниям.

Проведенное изучение позволяет сделать следующие краткие выводы:

1. Для каждого вида и типа оруденения необходимо выбирать для пространственно-статистического анализа слои признаков. Начинать следует с признаков, которые считают определяющими (для данного оруденения в изучаемом районе). Конечный результат позволит объективно оценить роль каждого признака.

2. Размер черпака должен находиться в соответствии с размером оцениваемых структур. Если такое соответствие достигнуто, то можно ожидать, что избранный черпак гарантирует от пропуска искомых структур.

3. Конфигурация полей изменчивости геологических признаков зависит от формы черпака. Поэтому при выборе формы черпака следует учитывать не только особенности геологического строения, точнее топологию структур, но и цель исследования.

4. Дифференциальная оценка территории зависит от положения начала координат, а интегральная не зависит.

5. Успешное применение пространственно-статистического анализа требует предварительных экспериментальных исследований. Когда параметры подобраны, метод позволяет опознавать интересные и порой совершенно новые, неожиданные закономерности пространственного размещения месторождений.

АНАЛИЗ СВЯЗИ АЛЮВИАЛЬНЫХ ЗОЛОТОНОСНЫХ РОССЫПЕЙ С КОРЕННЫМИ ИСТОЧНИКАМИ И ЕГО ПРИКЛАДНОЕ ЗНАЧЕНИЕ

В.В.СЫРОВАТСКИЙ

Западно-Сибирское геологическое управление,
Новокузнецк

Золоторудные районы (Кузнецкий Алатау, Горная Шория и Салairский край) характеризуются тесной пространственной связью аллювиальных россыпей с коренными источниками, относящимися

к различным морфогенетическим типам оруденения. Устанавливается относительно резко несоответствие масштабов и степени рассыпей и выявленной к настоящему времени рудной золотоносности. Сложный складчато-глыбовый характер геологического строения рассматриваемых регионов предопределяет важную роль широко развитых здесь длительно развивающихся и неоднократно подновляющихся во времени зон разломов, которые оказали решающее значение на размещение фаций, ориентировку складчатых структур.

Значительное влияние на локализацию месторождений и рудопроявлений золота, и связанных с ними россыпей, оказывает план размещения пластигранитного, габбро-диоритового и габбро-диабазового интрузионных комплексов, являющихся производными, салайского и в меньшей степени каледонского и горянского тектоно-магматических циклов.

В основу сравнительного анализа положены соотношения количества сконцентрированного в базисных долинах металла и питавших их золотом боковых притоков; характер распределения запасов металла (продуктивности) и удельной золотоносности (линейных коэффициентов золотоносности) в продольном профиле долин; линейное распределение различных классов крупности золота и соотношение его крупных классов с мелкими; сопоставление продуктивного минерального комплекса и связанных с ним элементов - спутников золота золотоносных россыпей и питающих их рудоносных образований областей сноса. Исходя из этих позиций, а также учитывая особенности геологии и металлогении конкретно взятых узлов золотоносных россыпей, представилась возможность решить вопрос о характере и мере связи аллювиальных россыпей с коренными источниками. При этом мы исходили из необходимости анализа наиболее высокопродуктивных узлов указанных выше регионов, размещающихся в различных структурно-формационных зонах и геоморфологической обстановке.

Установлено, что базисные долины с промышленной золотоносностью формировались главным образом за счет выноса металла из питающих их боковых притоков, нередко при участии коренных источников, размывающихся в пределах контуров долин; выделяются в пределах узлов, локальные участки, перспективные для постановки целенаправленных поисков промышленных концентраций золота. Так, например, для базисных промышленных

rossyпей р.Федоровки-Сртона, Касьмы-Христиновки, Заслонки четко выделяются по два обособленных, а по Тебе, Коучаку, Коуре, Тулую, Бурлевке, Чесноковке, М.Толмовой и др. - по одному строго локализованному рудному участку, являющемуся источником питания россыпей золотом.

Анализ удельной линейной золотоносности в продольном профиле базисных долин с учетом геоморфологических особенностей их дает возможность переоценить и изыскать новые еще не выявленные промышленные россыпи в рассматриваемых здесь регионах.

Данный вывод основан на том факте, что золотоносные базисные долины, отработанные в верхней части при значении коэффициентов удельной золотоносности 100-150кг/п.км, в нижней части, где они не затронуты эксплуатацией, содержат промышленную золотоносность.

Анализ аллювиально-делювиальных россыпей водотоков I и 2 порядков, по этим же позициям показал, что протяженность продуктивной части россыпи находится в прямой зависимости от длины выработанного, устойчивого продольного профиля этих долин. В связи с этим оценку масштабов и степени возможнойрудоносности областей сноса, поставляющих золото в долины, и выбор объектов для первоочередных поисков рудного золота необходимо производить не по количеству добываемого металла из россыпей, а на основании сопоставления удельных коэффициентов золотоносности этих долин: предпочтение должно быть отдано рудоносным площадям, с которыми связаны россыпи, характеризующиеся высокими линейными коэффициентами золотоносности.

Вся совокупность информации при изучении связи россыпей с коренными источниками, является также необходимой для вычисления глубины эрозионно-денудационного среза рудных полей (узлов).

КЛАССИФИКАЦИИ МЕСТОРОЖДЕНИЙ ПОЛЕЗНЫХ ИСКОПАЕМЫХ

Б.М.ТОЛЮПО

Томский государственный университет

Классификация месторождений должна быть генетической, но для её построения, чтобы она была действительно такой, у нас

иска еще нет объективных данных, так как мы еще мало знаем об условиях формирования месторождений.

Главная задача при разработке генетической классификации состоит в выборе ведущих классификационных признаков. Одноклассической классификацией, в которой от начала до конца поддерживается термометрия (температура и давление), является классификация И.Линдгрена. Однако она оказывается во многом формальной. Физико-химические параметры (T.P.C.) едва ли могут быть сейчас взяты за основу при выделении генетических типов месторождений, так как роль их еще не выяснила и имеет место явление конвергентности. Фактически геологи все чаще и чаще берут за основу геологические особенности месторождений. Это особенно наглядно видно в последнем учебнике В.И.Смирнова.

Основной единицей классификации должен рассматриваться генетический тип месторождений, объединяющий месторождения (рудные формации) с близким вещественным составом руд и возникшие в сходных геологических и физико-химических условиях. При выделении генетических типов главными классификационными признаками надо считать геологические (положение по отношению к поверхности, к материнскому источнику, к тектоническим структурам и др.). Генетические типы объединяются в классы (магматический, пегматитовый и др.). При выделении классов за основу берутся физико-химические особенности системы, в которой происходит образование ведущих минеральных парагенезисов, главным образом фазовое состояние. Классы образуют три главные группы месторождений: эндогенные, экзогенные и метаморфогенные.

Наиболее сложной оказывается классификация эндогенных месторождений. В этой группе выделяются: магматические, пегматитовые, карбонатитовые и пневматолито-гидротермальные классы месторождений. Среди последних отчетливо обособляется ряд генетических типов: высокотемпературные автометасоматические, плутоногенные, контактово-метасоматические, грейзеновые, гидротермальные, вулканогенно-гидротермальные (в том числе и колчеданий) и гематермальные (или стратиформные). В группе метаморфогенных месторождений выделяются классы: метаморфизованные, метаморфические (разных фазий регионального метаморфизма, вплоть до ультрарегиональных) и регенерированные. Переходным типом между экзогенными и эндогенными месторожде-

ниями являются вулканогенно-осадочные.

А. Эндогенные.

1. Магматические: 1) раннемагматические: а) сегрегационные, б) стратицированные; 2) позднемагматические: а) гистеромагматические, б) ликвационные.

П. Пегматитовые: 1) кристаллизационные средних глубин; 2) мигматические больших глубин; 3) линии скрещения.

Ш. Карбонатитовые.

1У. Пневматолито-гидротермальные: 1) высокотемпературные аутометасоматические: а) альбититовые, б) нефелиновые; 2) грейзеновые; 3) скарновые: а) в магнезиальных скарнах, б) в скаполитовых скарнах, в) в известковых скарнах; 4) плутоногидротермальные: а) близ интрузивных массивов, б) вне видимой связи с интрузиями; 5) вулканогенно-гидротермальные: а) в вулканических куполах, б) колчеданные; 6) стратиформные; 7) вулканогенно-осадочные.

Б. Экзогенные.

1. Выветривания: 1) обломочные; 2) остаточные; 3) инфильтрационные. П. Осадочные: 1) механические; 2) эпигенетические и диагенетические; 3) химические.

В. Метаморфогенные

1. Метаморфизованные. П. Метаморфические. Ш. Гидротермально-метаморфические.

СТАДИЙНОЕ ВЫВЕТРИВАНИЕ ХЛОРITA
ТАГАРСКОГО ЖЕЛЕЗОРУДНОГО МЕСТОРОЖДЕНИЯ

И.И.УДИНА, Л.П.КОСТЕНКО

Завод "Сибэлектросталь", Красноярск

На Тагарском месторождении широко развита зона окисления, представленная сыпучими мартитовыми и глинистыми гематит-гидрогематитовыми рудами. Рудосоставляющими минералами являются: магнетит, хлорит, серпентин, кальцит, флогопит, гранат, эпидот, пироксен. Процесс окисления руд был рассмотрен нами ранее (Костенко, Удина, 1971). В настоящей работе изучались процессы изменениянерудной составляющей на примере хлорита.

В результате исследований выявлена следующая схема изменения его в процессе выветривания: хлорит гидратированный,

хлорит, монтмориллонит, метагаллуазит, каолинит. Переход одной минеральной формы в другую подтверждается данными оптических, термических, химических, рентгеноструктурных анализов.

Химически выветривание хлорита характеризуется выносом магния шестерной координации, частичным переходом алюминия из четвертой координации в октаэдрическую, что в итоге приводит к перестройке хлоритовой решетки и формированию новой - монтмориллонитовой. Образование каолинита сопровождается полным выносом магния, частичным кремнекислоты и переходом алюминия из четвертой координации в шестерную.

Рассмотренные условия стадийного выветривания хлорита на основе анализа состава минералов и замеров их pH-сuspension характеризуют в целом процессы минералообразования, происходящие в коре выветривания.

ПОРОВЫЕ ВОДЫ ЗОНЫ ГИПЕРГЕНЕЗА

П.А.УДОДОВ, Н.М.РАССКАЗОВ,
Е.С.КОРОБЕЙНИКОВА, А.Д.НАЗАРОВ

Томский политехнический институт

Исследование химического состава поровых растворов косвенным приближенным способом водных вытяжек производилось в течение длительного времени, однако непосредственное их изучение стало возможным лишь после разработки в 40-х годах А.П.Крюковым методики отжатия их прессами при различном давлении.

Только после этого были начаты работы по выяснению роли этих растворов в геологических процессах, хотя указания в данном направлении были сделаны гораздо раньше В.И.Вернадским при рассмотрении различных типов вод в горных породах. Он уделял большое внимание пленочным и "волосным" растворам. С.И.Долгов всю пленочную влагу делит на прочно связанные (адсорбированную) и рыхло связанные (лисорбированную) - диффузную. Роль поровых вод, как показали исследования, весьма велика и разнообразна. Так, их необходимо учитывать при оценке баланса различных вод зон земной коры, при миграции химических элементов, при решении проблемы формирования химиче-

ского состава подземных вод, минералообразований и эпигенетических и других процессах.

По химическому составу поровые растворы в зависимости от палеогидрологических условий могут быть как идентичны гравитационным водам, так и отличаться от них. Как правило, минерализация поровых вод значительно превышает минерализацию водоносных горизонтов. Эта разница особенно резко проявляется для вод зон сульфидной минерализации. Так, при проведении гидрогеохимических исследований на площади Колывань-Томской зоны авторы определили минерализацию поровых вод для пиритизированной коры выветривания нижнекаменноугольных отложений - 120 г/л, pH - 1,3-1,5, высокое содержание органического вещества и металлов. Поровые растворы были получены при давлениях 50-500 и 3000 кг/см². Подземные воды этих отложений имели минерализацию порядка одного грамма на литр. Высокая минерализация поровых растворов на участках сульфидной минерализации нами объясняется каталитической деятельностью микроорганизмов, которые впервые открыты в поровых растворах сотрудниками проблемной геологической лаборатории Томского политехнического института.

С.И. Набоко значительную роль поровым растворам придает в процессе гидротермального минералообразования и метаморфизма пород. Она считает, что метасоматические реакции вызываются изменениями состава порового раствора вследствие диффузии и фильтрации.

Н.В. Тагеева и М.М. Тихомирова значительную роль придают геохимии поровых вод при диагенезе морских осадков.

Опыт работ авторов позволяет считать, что результаты изучения поровых растворов необходимо использовать в качестве поискового признака при геохимических исследованиях.

НЕКОТОРЫЕ ДАННЫЕ О РАСПРЕДЕЛЕНИИ УРАНА И ТОРИЯ В ДЕВОНИКИХ КВАРЦЕВЫХ ПОРФИРАХ ВОСТОЧНОЙ ЧАСТИ СЕВЕРО-ЧЕЛУСТИНСКОЙ ВЫДИМЫ

Ю.А. ФОМИН

Томский политехнический институт

Кварцевые порфирлы в исследуемом районе представляют карбонатную фацию эфузивов Бискарской серии, образуя несколько покровов в пределах сложной палеовулканической постройки. По химическому составу они относятся к пересыщенным кремнеземом существенно кальциевым породам плагиоклазитового ряда, сформированным за счет внутрикорового гранитоидного расплава.

Указанные образования характеризуются повышенными концентрациями радиоактивных элементов (р.э.) по сравнению с одновозрастными кислыми эфузивами покровной фации: содержание урана в них составляет 3,6-11,4 %; тория - 41,0-48,5 %; Th/U - 3,9-13,3.

Основное количество этих элементов приходится на слабо распределенную основную массу породы (таблица). Распределение урана и тория по минералам в кварцевом порфире (содержание 3,6 ; 48 ; 13,3) по данным микрорентгографий.

Минерал	Содержание минерала в породе, вес %	Уран			Торий		
		Содержание, %	На единицу веса породы	Доля, приходящаяся на минерал,	Содержание, %	На единицу веса породы	Доля, приходящаяся на минерал, %
Нескребленые выделения:							
Кварц	1,9	0,4	0,01	0,3	4,5	0,1	0,2
Полевые шпаты	2,6	1,5	0,04	1,1	19,1	0,5	1,1
Основная масса:							
Кварц	25,0	1,5	0,40	11,2	19,6	4,9	10,6
Полевые шпаты	57,5	3,3	1,90	53,2	43,2	24,8	53,5
Гематит с примесью биотита и цирконита	13,0 0,008	6,9 4000	0,50 0,32	25,2 9,0	90,3 52000	11,8 4,2	25,5 9,1
Циркон, рутил							
Сумма	100,0	-	3,57	100,0	-	46,3	100,0

Слагающие её кварц и полевые шпаты содержат урана и тория в 2-4 раза больше, чем те же минералы порфировых выделений. Основными концентраторами р.э. являются циркон и рутил, однако, вследствие ничтожного количества этих минералов в эфузивах их роль в балансе урана и тория сравнительно невелика. Повышенными содержаниями р.э. характеризуются фемические компоненты породы, на долю которых приходится свыше 25% урана и тория. Главная же роль в их балансе принадлежит кварцу и полевым шпатам основной массы, содержащим около 65% всего количества элементов.

Микрорадиографическими исследованиями выявлены три группы α -треков, соответствующие трем формам нахождения р.э. в кварцевом порфире.

1. Треки, равномерно рассеянные в породообразующих минералах (82-84%). Это одиночные треки, значительно реже 2-, 3- и 4-лучевые звезды, причем их количественное отношение близко к постоянному. Данный факт позволяет исключить возможность образования звезд за счет микровключенияй.

2. Треки, концентрирующиеся вокруг микровключений акессорных минералов, содержащих уран и торий в качестве изоморфных примесей (2-4%).

3. Треки, приуроченные к микротрещинам, дефектам кристаллов, их границам, а также гидротермально измененным участкам (14%). Формами нахождения урана и тория в данном случае являются подвижные (легкоизвлекаемые 5%-раствором $(NH_4)_2CO_3 + H_2O_2$) р.э., накопление которых в породе связано с сорбционными и другими постмагматическими явлениями.

ФАЗОВЫЙ АНАЛИЗ НАТРИЯ И КАЛИЯ В УЛЬТРАОСНОВНЫХ ПОРОДАХ

Л.П.ФРОЛОВА, О.М.ГЛАЗУНОВ, В.М.НОВИКОВ,
А.Н.СУТУРИН

Институт геохимии СО АН СССР, Иркутск

Как показали эксперименты, К и Na играют роль регулятора процесса плавления и кристаллизации ультраосновного субстрата. Содержание этих элементов и их соотношение часто исполь-

зуются при решении вопросов формационной диагностики. Но несмотря на важное значение щелочей, структурное их положение в ряде минералов ультраосновных пород пока остается неясным.

С целью определения форм вхождения К и Na и изучения подвижности щелочей проводилось выщелачивание этих элементов из оливинитов, дунитов и серпентинитов Улан-Сарыдагского, Ильчирского и Березовского массивов Восточного Саяна. Кроме того изучались и слагающие их минералы - хромиты, оливины и серпентиниты.

Одни и те же навески проб обрабатывались в течение 148 часов бидистиллятом и 1%-ным раствором НС. Регистрация концентрации К и Na проводилась методом эмиссионной пламенной спектрофотометрии с использованием приборов ИСП-51 и ФЭП-1. Воспроизводимость результатов оценивается 10-15%.

В гипербазитах фиксируются следующие абсолютные значения натрия: в дунитах - 0,012-0,015%, в оливинитах - 0,015-0,017%, в серпентинитах - 0,041-0,035%.

С 1% раствором НС процесс идет более интенсивно, чем с бидистиллятом. Выщелачивание К заканчивается к 24 часам, а Na к 48 часам для всех типов ультраосновных пород, исключая серпентиниты.

Минералами-носителями К и Na в ультраосновных породах являются хромшипиллит и серпентин. Наиболее подвижны щелочи в оливине и хромшипилите, на что указывает высокий (до 60%) процент выщелачивания, и более инертны в серпентине.

Все эти факты указывают на то, что около 20% общего содержания К и Na в ультраосновных породах находится в адсорбированной форме. Эта часть щелочей является чужеродной и, очевидно, накладывается на затвердевание породы в процессе проработки их сквозьмагматическими мантийными потоками.

Судя по графикам, наряду с адсорбционной формой, в составе минералов и пород имеет место другая, более устойчивая к выщелачиванию форма вхождения К и Na.

Приведенные исследования позволяют предполагать, что в составе гипербазитов часть К и Na является чужеродной и накладывается на затвердевание породы в эпимагматическую стадию.

ЭЛЕМЕНТЫ СТРУКТУРЫ И ЗОНАЛЬНОСТИ НА СОРСКОМ
МОЛИБДНОВОМ МЕСТОРОЖДЕНИИ

В.Л.ХОМИЧЕВ, Н.С.ЛИДИН

Сибирский научно-исследовательский институт
геологии, геофизики и минерального сырья,
Новосибирск

Сорское молибденовое месторождение находится в центральной части Уйбатского антиклиниория, связано генетически с лейкократовыми гранитами II фазы тигертинского комплекса, локализуется в эпиконтактной части гранитных штоков и лишь частично — в диоритах и сиенито-диоритах кровли, инъецированных гранитами.

Последовательность событий при формировании месторождения, позволяющая проследить развитие структуры и зональность, представляется в таком виде. Вслед за внедрением и частичной кристаллизацией гранитной магмы от нее отщепляются гранит-порфиры и формируются мощные штоки, жилы и гнезда пегматитов нередко с обособлением микроклина и кварца в самостоятельные почти мономинеральные тела. С пегматитами, по В.Т.Покалову и Н.С.Лидину, связано основное медное оруденение, по В.Л.Хомичеву, и медное и молибденовое оруденение формируется в гидротермальный (послепегматитовый) этап, состоящий из 4 стадий:

- 1 - ранняя кварц-микроклин-пиритовая стадия,
- 2 - главная рудная кварц-пирит-халькопирит-молибденитовая стадия,
- 3 - существенно кварц-молибденитовая стадия,
- 4 - поздняя кварц-кальцит-пиритовая стадия.

В промежутке между 3 и 4 стадиями внедрились мелкие тела гранит-порфиров II — дифференциации той же лейкократовой магмы.

Структура месторождения определяется двумя линейными зонами СЗ простирания. Одна из них, главная, проходит через участки Сорс-I и Жаний, вторая, относительно более приподнята и потому глубже залегает, — через Северный и Лагеринский участки. В пределах этих зон размещаются пегматиты, гранит-порфиры и промыкло-энантинное оруденение. Интенсивность его зависит от подготавливаемости структуры. В средней части обеих зон (в

особенности на участке Сорс-I) в пределах гранитных куполов и выступов, где породы были сильно раздроблены тектонически и в результате эксплозивных взрывов, формируются богатые брекчевые и брекчевые руды. С обеих сторон от них (с некоторой симметрией) развиваются многочисленные крупные и мелкие жилы и прожилки, а дальше быстро падает и размер жил и их количество (а соответственно и степень оруденения).

В вертикальном разрезе месторождения верхнюю часть занимает ранняя кварц-пиритовая генерация жил и ярокилков, вторая генерация размещается ниже, а в корневой зоне развиты ветвящиеся невыдержаные прожилки с нечеткими контактами и метасоматическое окварцевание с бедным оруденением. Здесь же встречаются поздние кварцевые и кварц-кальцитовые жилки с пиритом, галенитом, сфalerитом 4-й стадии. Такая обратная зональность, когда ранние высокотемпературные продукты размещаются выше поздних более низкотемпературных, впервые подмечена Н.А.Хрущевым и обусловлена развитием структуры и последовательным изменением состава гидротермальных растворов.

Выявленные элементы структуры и зональности Сорского месторождения позволяют уточнить направление разведочных работ и, кроме того, используются при оценке перспектив на глубину ряда других рудопоявлений того же формационного типа.

СРАВНИТЕЛЬНАЯ МИНЕРАЛОГО-ГЕОХИМИЧЕСКАЯ
ХАРАКТЕРИСТИКА СКАРНЫХ МЕСТОРОЖДЕНИЙ
ВОСТОЧНОГО СКЛОНА КУЗНЕЦКОГО АЛАТАУ

В.Л.ХОМИЧЕВ, Е.С.ШАБАЛИНА

Сибирский научно-исследовательский институт
геологии, геофизики и минерального сырья, Новосибирск

Широко развитые на восточном склоне Кузнецкого Алатау скарновые месторождения и рудопоявления меди, молибдена, вольфрама, свинца, цинка, золота, железа образуют несколько рудных узлов с определенной спецификой, но наличие сложных промежуточных типов и пространственная сопряженность даже таких антиподов, как вольфрам, полиметаллы и железо, привели к выводу об их генетической близости. Магматический фактор, весьма важный в сопоставлении рудных образований и выделении среди них

разных формаций, в данном случае также способствовал определенным заблуждениям, ибо до последнего времени очень широкую гамму пород относили к одному рудоносному Улень-Туймскому гранитоидному комплексу и с ним связывали все скарновые (и не только скарновые) месторождения восточного склона Кузнецкого Алатау.

Крупномасштабная геологическая съемка и специальные тематические работы позволили расчленить гранитоиды и связанное с ними оруденение на три комплекса: мартайгинский, тигертынский и карлыгановский, с первым из которых связаны золотоносные, со вторым - медно-редкометальные и с третьим - железорудные и полиметаллические скарновые месторождения. Соответственно выделены следующие рудные формации и минеральные типы:

- 1) Мартайгинский комплекс
 - скарновая золоторудная формация (Калиостровское),
- 2) Тигертынский комплекс
 - скарновая шеелит-молибденит-халькопиритовая формация:
 - a) Глафириинский минеральный тип,
 - b) Туймский минеральный тип,
 - v) Кияльых-узенский минеральный тип,
- 3) Карлыгановский комплекс
 - скарновая полиметаллическая формация
 - a) молибденит-борнит-халькопиритовый минеральный тип (Юлия-медная),
 - b) галенит-сфалеритовый минеральный тип (Юлия-свинцовая)
 - скарновая магнетитовая формация (Самсон, Тяя).

Сравнительное минералого-геохимическое изучение прототипов выделенных рудных формаций и минеральных типов предпринято с целью их характеристики и выяснения тех отличительных признаков, которые позволили бы определить формационную принадлежность и перспективы мелких рудопроявлений.

Выполнено петрографическое изучение скарнов, скарновых и рудных минералов, структурное трасление химические и спектральные анализы монобрекций и т.д. В докладе излагаются результаты этих работ и даются рекомендации по их практическому использованию.

ГЕОХИМИЧЕСКИЕ ОСОБЕННОСТИ ИНТРУЗИВНЫХ И УЛЬТРАМЕТАМОРФИЧЕСКИХ КОМПЛЕКСОВ АЛТАЕ-САЯНСКОЙ СКЛАДЧАТОЙ ОБЛАСТИ

В.К.ЧИСТИКОВ

Томский государственный университет

Исследование химического состава, элементов-примесей и некоторых физических свойств пород и минералов (радиоактивности, термоминесценции, люминесценции и др.), а также особенностей распределения главных и акцессорных минералов более чем в 1500 пробах гранитоидных и габбро-диоритовых комплексов Алтае-Саянской области позволили установить, что интрузивные комплексы характеризуются: 1) наличием закономерной связи между химическим составом пород и содержанием в них определенных акцессорных минералов и элементов-примесей; 2) сравнительно небольшими дисперсиями распределения акцессорных минералов, элементов-примесей в них и в породах в целом. В породах этих комплексов установлена прямая зависимость между содержанием FeO , Fe_2O_3 , общей железистостью и количеством магнетита, содержанием CaO , MgO , K_2O , SiO_2 и в количеством в них апатита, циркона, сфена. Отчетливо выражена также зависимость между химическим составом пород и содержанием элементов-примесей в магнетите, сфене, цирконе, апатите и др.минералах.

Ультраметаморфические комплексы, наоборот, характеризуются: 1) отсутствием или слабым проявлением связи между химическим составом пород и содержанием в них акцессорных минералов и элементов-примесей; 2) большими дисперсиями распределения акцессорных минералов и элементов-примесей в них.

Вместе с тем изучение особенностей распределения элементов-примесей в минералах обеих генетических групп пород показало, что одним из главных условий их использования при геохимических исследованиях является учет форм входления их в минералы (изоморфная, продукты распада твердых растворов, инородные включения). Установлено, что часть элементов-примесей, считавшаяся многими исследователями изоморфной примесью в данном минерале, на самом деле представлена инородными включениями, поэтому не может быть использована при расшифровке процессов

образования его.

Рассмотрена стадийность и химизм процессов гранитизации основных эфузивов и подобных им по составу магматических и осадочных пород Алтас-Саянской складчатой области. Показана возможность перехода в подвижное состояние Fe , Ti , P и целого ряда других элементов и образования при определенных условиях промышленных месторождений их. Даны расчеты баланса компонентов при гранитизации основных пород, показывающие, что количество выносимых элементов вполне достаточно для образования промышленных месторождений P и целого ряда других элементов.

Большое внимание на геохимические процессы оказывает естественный радиоактивный распад, изменяющий элементарный химический и изотопный составы минералов. Установлено, что одним из наиболее чувствительных свойств, отражающих действие радиоактивности на минералы, является термolumинесценция. Исследование естественной и искусственной термolumинесценции более 3000 проб апатита, циркона, полевых шпатов, кварца, карбонатов и легких фракций позволило установить зависимость величины максимумов термolumинесценции от типа излучения (α, β, γ) и по соотношению максимумов судить о распределении U , Th , K^{39} в породах и доле участия их в геохимических процессах. Наряду с этим, по термolumинесценции удалось провести расчленение пород различного происхождения и установить такие изменения в них, которые не определяются обычными методами петрографических исследований, но оказывающие заметное влияние на распределение элементов в породах.

МЕТАЛЛОГЕНИЯ СУБШИРОТНЫХ ЗОН ПОВЫШЕННОЙ ТРЕЩИНОВАТОСТИ ВОСТОЧНОЙ ЧАСТИ ЦЕНТРАЛЬНОГО ЗАБАЙКАЛЬЯ

Г.В.ШУБИН

Томский политехнический институт

В пределах восточной части Даурской зоны, расположющейся в области, ограниченной с запада Бирса-Оленигуйской и с востока Онин-Туринской зонами глубинных близмеридиональных разломов Центрального Забайкалья, широким развитием пользуются близ-

широкие зоны повышенной трещиноватости, образуя поперечные структуры к выше отмеченным глубинным разломам.

В развитии и формировании всех этих структур большую роль сыграло тектоническое разлитие локального блока между субмеридиональными зонами разломов.

Поперечные субширотные зоны повышенной трещиноватости совместно с близмеридиональными тектоническими зонами образуют своеобразную крупную региональную структуру "макролестничного" типа, оказавшую огромное влияние на размещение в субширотных структурах мезозойских интрузивных образований дайкового комплекса и связанного с ним золотого оруденения в пределах Тура-Илинского и Верхне-Онинского районов.

Субширотные разломы указанных районов, кроме повышенной трещиноватости и наличия поясов даек изверженных пород широтного простирания, фиксируются сосредоточением штокообразных магматических тел, рудных узлов, зонами окварцевания, серпентинизации, турмалинизации и рассеянной кварцево-сульфидной минерализацией.

Геологические исследования в пределах этих зон с привлечением региональных материалов позволяют говорить о последовательном их развитии и формировании в направлении от Верхне-Онинского (на юге) Тура-Илинскому (на севере) району рассматриваемого локального блока.

Последовательное развитие субширотных структур с юга на север нашло своё отражение в направленности развития интрузивного магматизма и металлогении.

Для Тура-Илинского района типичными являются золото-серпентит-сульфидный и золото-альбит-эктинолит-висмутиновый типы золоторудной минерализации, генетически связанные с верхнеюрским диоритоидным дайковым комплексом.

Для Верхне-Онинского района характерен золото-кварцево-сульфидный тип минерализации, генетически связанный со средневерхнеюрским диоритоидным дайковым комплексом.

Карттирование и учет близширотных тектонических структур во многом будут способствовать перспективам выявления, а также возможности разведки уже известных районов и отдельных месторождений.

РЕДКИЕ И РАССЕЯННЫЕ ЭЛЕМЕНТЫ В ОЛОВЯННЫХ РУДАХ
СОЛНЕЧНОЙ ГРУППЫ МЕСТОРОЖДЕНИЙ

А.В.ШУШКАНОВ, Л.Я.ЕФРЕМЕНКО

Центральный научно-исследовательский институт
"ЦНИИОлово", Новосибирск

Бурное развитие радиоэлектронной, с специальной металлургической и других отраслей отечественной промышленности требует все большего увеличения производства редких и рассеянных элементов. В связи с этим несомненно интересным представляется изучение геохимических особенностей минералов оловянных руд. Такие исследования проведены нами на месторождениях Солнечной группы, относящихся по классификации Е.А.Радкевич (1968) к турмалиновому типу кассiterито-силикатно-сульфидной информации.

Материал для исследования был получен в результате технологического и специального минералогического опробования, проведенных на всех месторождениях группы (Солнечное, Перевальное, Фестивальное, Придорожное, Лунное). Всего в работе использовано 435 определений элементов-примесей в основных рудообразующих минералах (касситерит, сфalerит, галенит, арсенопирит, халькопирит). Определение содержаний производилось весовым химическим (Co, Sb, Bi, Cd) и количественным спектральным (In, Sc, Nb, Ta) методами в лабораториях ЦНИИОлова, Комсомольской ГРЭ и Дальневосточного геологического управления.

Содержание элементов-примесей в минералах в целом по группе месторождений приведено ниже в таблице.

Минералы	Элементы	Кол-во определений	Содержание элементов, %		
			от	-	до Среднее
I	2	3	4	5	
Касситерит	WO_3	67	0,19-0,90	0,47	
	Скандий	30	0,001-0,005	0,0024	
	Индий	69	0,001-0,0079	0,0041	
	Nb_2O_5	16	0,005-0,0280	0,0210	
	Ta_2O_5	2		0,0050	

Продолжение таблицы

	2	3	4	5
Галенит	Кадмий	I4	0,006-0,008	0,0064
	Индий	I4	0,002-0,008	0,0050
	Висмут	24	0,024-0,770	0,2740
	Сурьма	23	0,064-0,570	0,2510
Сфалерит	Кадмий	II	0,100-0,340	0,1850
	Индий	II	0,007-0,053	0,0370
	Висмут	6		0,0010
Халькопирит	Индий	I7	0,007-0,020	0,0145
	Висмут	9	0,020-0,383	0,2010
	Кадмий	4		0,0050
	Сурьма	4		0,0090
Арсенопирит	Кобальт	32	0,044-0,600	0,3310
	Висмут	32	0,018-1,000	0,2690
	Сурьма	20	0,110-0,780	0,2840
	Кадмий	9	0,010-0,060	0,0400
	Индий	I3	0,001-0,005	0,0037

Формы нахождения редких и рассеянных элементов в минералах различны: индий, скандий, кадмий и кобальт присутствуют в качестве изоморфной примеси; другие - висмут, сурьма, серебро - находятся как в виде изоморфной примеси, так и образуют собственные минералы.

Главными элементами-примесями в оловянных рудах, представляющими практический интерес, являются индий, скандий, ниобий и вольфрам в касситерите; висмут и кобальт - в арсенопирите; кадмий - в сфалерите и индий - в халькопирите.

ПЕТРОГРАФИЯ
МАГМАТИЧЕСКИХ
и
МЕТАМОРФИЧЕСКИХ
ПОРОД

О ЯВЛЕНИЯХ МАГМАТИЧЕСКОГО ЗАМЕЩЕНИЯ ПРИ
ФОРМИРОВАНИИ ГРАНITOИДОВ МАРТАЙГИНСКОГО
КОМПЛЕКСА

Л.В.АЛАБИН

Сибирский научно-исследовательский институт
геологии, геофизики и минерального сырья,
Новосибирск

А.Я.Булыкизовым, А.Р.Ананьевым, Т.И.Дембо, Л.В.Алабиным,
А.Н.Дистановой и другими исследователями установлено, что мас-
сивы мартайгинского комплекса в Кузнецком Алатау сопровождаются
широкими зонами измененных пород, имеют в большинстве
случаев нестепенные переходы с вмещающими вулканогенными и тер-
ригенно-вулканогенными толщами, обладают зональным строением,
проявляющимся в уменьшении основности пород от периферии (дио-
риты, кварцевые диориты, монцониты) к центру (гранодиориты,
граниты) и проявляет зависимость состава от вмещающей среды.

Измененные породы, окружающие массивы, в свою очередь обна-
руживают зональное строение, выражющееся в смене зон от неиз-
мененных пород кмагматическим: а) ороговиковые породы,
б) роговики и амфиболиты, в) фельдшпатизированные роговики и
амфиболиты. В ороговиковых породах минеральный состав(ис-
ходный)сохраняется полностью. Они испытывают только перекри-
сталлизацию. В роговиках преобладают новообразованные минералы:
альбит и актинолит, в амфиболитах - андезин и обыкновенная ро-
говая обманка. В фельдшпатизированных роговиках и амфиболитах
на отдельных участках появляются новообразованные кварц, альбит-
олигоклаз или олигоклаз-андезин, калиевый полевой шпат (орт-
манка и биотит). Эти минералы находятся в соотношениях, обуслов-
ливающих гипидиоморфозернистую структуру. Обращает внимание,
что в фельдшпатизированных роговиках и амфиболитах на участках
с гипидиоморфозернистой структурой парагенезис и состав ми-
нералов и их структурные соотношения соответствуют минеральным
перегенерациям, составу минералов и структурным взаимос отноше-
ниям, наблюдаемым в гранодиоритах и гранитах. Следовательно,
в измененных породах, окружающих гранитоидные массивы мартай-

гинского комплекса, на определенных стадиях их метасоматического изменения появляется межгранулярный расплав, из которого кристаллизуются парагенезисы минералов, соответствующие магматическим породам массивов.

Фельдшпатизированные роговики и амфиболиты постепенно сменяются магматическими породами - кварцевыми диоритами, гранодиоритами и гранитами. Смена метасоматически измененных пород магматическими происходит постепенно, без резкого изменения парагенезисов и состава минералов, без образования зон закалок в магматических породах и следов механического внедрения расплава. Все эти факты в совокупности с данными о широких ареалах измененных пород, окружающих массивы и нередко превосходящих их по площади, и зависимость состава магматических пород от состава вмещающей среды (меланократовость, когда массивы залегают среди вулканогенных толщ, и повышенная щелочность, когда они располагаются среди карбонатных пород) свидетельствуют о явлениях магматического замещения при формировании гранитоидных plutонов мартайгинского комплекса.

К ПЕТРОГЕНЕТИЧЕСКОЙ ИНТЕРПРЕТАЦИИ МАГМАТИЧЕСКИХ ФОРМАЦИЙ УРАЛА С УЧАСТИЕМ ГИПЕРБАЗИТОВ

Л.Д.БУЛЫКИН

Уральское геологическое управление, Свердловск.

Современное состояние науки об ультраосновных породах и требования практики недвусмысленно свидетельствуют в пользу парагенетического принципа формационного анализа магматических образований, в частности, гипербазитов.

Формационный анализ гипербазитов Урала на основе принципов, разработанных Ю.А.Кузнецовым, с учетом специфики региона, позволяет выделить следующие группы формаций: миогеосинклинальную, эвгесинклинальную и пограничную, находящуюся в зоне сочленения эвгесинклинальной и миогеосинклинальной областей. Первая группа включает щелочно-оловин-базальтовую, никритовую и пироксенит-перидотитовую формации; вторая - габбро-перидотитовую (альпинотипную), дунит-клинопироксенит-габбровую (платиноносную)

и платиноносную) и платиноносную формации. На границе эвгесинклинали и миогеосинклинали развита габбро-клинопироксенит-дунит-гарцбургитовая формация, сочетающая признаки альпинотипных и платиноносных ассоциаций, но в то же время обладающая рядом специфических геологического-petрологических, геохимических и металлогенических особенностей.

Щелочно-оловин-базальтовая формация возникла в результате излияний щелочно-базальтовоймагмы, природа которой неясна, хотя имеются вероятные предположения (Кушаро, Куно, 1963).

Инерции рассматривались на Урале как фации траппов, представленные щелочно-базальтическими габбрс-диабазами. В последние годы их симметрии связывают с щелочными базальтоидами или даже с кимберлитами. Существование никритов-фации траппов и щелочник базальтоидов предполагается вероятным; наличие группы кимберляксидобных никритов требует дополнительного обоснования.

Пироксенит-перидотитовая формация по ряду особенностей химизма: содержанию глинозема, хрома, титана, железа - относится к производным базальтовоймагмы типа Бумвельда, хотя как в химии, так и особенно в петроструктурном строении этих интрузий не усматривается вполне убедительных аналогий. Происхождение и взаимоотношения альпинотипной и платиноносной формаций Урала широко дискутируется. Предпринимаются попытки найти различия между этими формациями в структурной позиции и в темпено-магматической истории, хотя очевидно, что обе они являются альпинотипными в понимании Шейнмана.

Совместное нахождение дунит-гарцбургитовой ассоциации и габбройдов принято рассматривать как структурное, в то же время конкретные обоснования этого положения отсутствуют. Взаимоотношения дунит-гарцбургитовых (альпинотипных) и дунит-клинопироксенитовых (платиноносных) ассоциаций гипербазитов свидетельствует о их зональном расположении: I - габбройд → 2 - клинопироксенит, верлит → 3 - дунит → 4 - гарцбургит с обособлением дунитов. Зона 2 - 3 (платиноносная) возникает за счет гарцбургитов лужуя пульки; в результате взаимодействия габбройдноймагмы с гарцбургитом и путем метасоматического замещения гарцбургитов клинопироксенитами и верлитами с одновременным

освобождением магния и образованием дунитов.

Указанные соотношения наиболее часто проявляются на границах энгесинклинали и многосочиненных, в зоне Глазного уральского разлома.

Формация регенерированных гипербазитов (магнезита-сиарнов по Б.Я.Меренкову) – результат метаморфизма серпентинитов в условиях амфиболитовой и гранулитовой фаций метаморфизма на орогенных этапах палеозойского Урала.

ГЕНЕТИЧЕСКИЕ ТИПЫ СЕРПЕНТИНИЗАЦИИ ГИПЕРБАЗИТОВ КУЗНЕЦКОГО АЛАТАУ В СВЯЗИ С ПРОГНОЗНОЙ ОЦЕНКОЙ ИХ АСБЕСТОНОСНОСТИ

А.И.ГОНЧАРЕНКО

Томский государственный университет

Выяснение типов серпентинизации и последовательности их проявления имеет первостепенное значение при оценке асбестоносности гипербазитов.

Исследованиями установлено, что степень серпентинизации гипербазитов Кузнецкого Алатау определяется положением их в структурах региона. Интенсивно серпентинизированные являются ультраосновные породы массивов, замещающих среди эфузивно-осадочных толщ нижнего кембрия. Относительно слабо серпентинизованы гипербазиты, локализованные в породах докембрийского метаморфического комплекса.

Процесс серпентинизации гипербазитов является многостадийным и выражается в последовательном развитии стадий лизардитизации, хризотилизации и антигоритизации пород. Установленная стадийность процесса наиболее полно представлена в относительно слабо зернизованных массивах, размещающихся в структурах нижнепалеозойского возраста. Первый, наиболее ранний стадия проявился в якорицкой метаморфической лизардитизации ультраосновных пород, имеющей антиконтактурный характер. Несколько позднее лизардитизация сменяется второй лизардитовой стадией серпентинизации, которая используется симплексом расщелин и тянется к эндоконтактной зоне гипербазитовых массивов.

- 176 -

Эта стадия процесса выразилась в развитии секториального лизардита в ячейках петель, сложенных лизардитом первой генерации.

Проявление второй лизардитовой стадии серпентинизации связано с воздействием на ультраосновные породы интрузий габброидов, пространственно совмещенных с гипербазитами.

В тесной связи с аллометаморфической лизардитизацией проявилась более поздняя хризотиловая стадия серпентинизации. Последующая антигоритовая стадия процесса связана с воздействием на гипербазиты интрузий габброидов и гранитов.

Хризотил-асбестовая минерализация в гипербазитах приурочена к зонам интенсивного проявления аллометаморфической лизардит-хризотиловой серпентинизации.

Процесс серпентинизации в гипербазитовых массивах, размещавшихся в структурах протерозойского выступа Кузнецкого Алатау, проявился в петельчатой лизардитизации и наложенной на нее аллометаморфической антигоритизации пород. Отсутствие или незначительное развитие аллометаморфических лизардитовых и особенно хризотиловых серпентинитов позволяет сделать вывод о бесперспективности этих массивов на хризотил-асбест.

Поисковый интерес на хризотил-асбест представляют массивы, расположенные в структурах нижнепалеозойского возраста, вместе с тем, их перспективы заметно снижаются из-за интенсивного проявления антигоритизации, лиственизации и других неблагоприятных для асбестообразования процессов изменения ультраосновных пород.

ОРИЕНТИРОВКА ОЛИВИНА В ГИПЕРБАЗИТАХ МАССИВА ГОР СЕВЕРНОЙ-ЗЕЛЕНОЙ (КУЗНЕЦКИЙ АЛАТАУ)

А.И.ГОНЧАРЕНКО, В.И.СЕРГИЕНКО, И.Н.ШИЛЬНОВ

Томский государственный университет
Западно-Сибирское геологическое управление, Новокузнецк

Тенденция оливина занимать ориентированное положение в пространстве устанавливается многими исследователями.

Проведенный нами микроструктурный анализ позволяет вы-

явить в гипербазитах массива гор Северной-Земной три типа пространственной ориентировки олигина.

Первый тип ориентировки выражается осью №₃ - максимумом, лежащим в плоскости падения гипербазитового массива. Ось №₃ наклонена к горизонту под углом 40°, а ось №₂ образует конус концентрических с трещинами максимумами, ориентированный параллельно к линии общего простирания массива. Такие образом, оси №₃ и №₂ создают круговой пояс, образованный вращением вокруг №₁.

Во втором типе узора ориентировка олигина не совпадает с удлинением массива, но хорошо согласуется с направлением скручивающего его разрывного нарушения. Ось №₃ ориентирована в юго-восточном направлении и наклонена под углом 20° к горизонту. Оси №₂ и №₁ расположены в плоскости, близкой к начальному падению дислокации, и образуют максимумы с тенденцией к растягиванию в пояс.

Третий тип пространственной ориентировки олигина характеризуется изотропностью нетектонических узоров.

Анализ полученных из минералургических данных показывает, что образование первого типа пространственной ориентировки олигина возможно, в соответствии с представлениями Иоганна (Юргенса, 1964), в условиях турбулентного движения магматического потока. Не исключена возможность возникновения подобной ориентировки и под действием ориентирующих напряжений после кристаллизации расплава.

Происхождение второго и третьего типов ориентировки олигина связано с перекристаллизацией "первичного" узора и образованием вторичных тектонитов.

ОБ ОСОБЕННОСТИХ СОСТАВА УЙМОНСКОЙ СВИТИ В ТЕРЕКТИНСКОМ ГОРСТЕ (ГОРНЫЙ АЛТАЙ)

Ю.М. ЕЛИСТРАТОВ

Томский государственный университет

Продолжительность среднепротерозойской ультратонкой и хоректинской свиты Горного Алтая сходна между собой во характере метаморфизма, но заметно отличается одна от другой по составу (Родыгин, 1968, 1969; Елистратов, 1968). Курс с характерных

- 178 -

для обеих свит полосчато-плойчатых терригенных кварц-альбит-хлорит-серийтовых в разной степени известковистых сланцев и редко встречающихся краморизованных известняков, уймонская свита содержит вулканогенные сланцы основного состава, а также кварциты и слюдисто-кварцевые сланцы.

Вулканогенные сланцы развиты широко, хотя уступают терригенным, слагая пачки мощностью в десятки и сотни метров. Для них характерен более темный по сравнению с терригенными сланцами цвет, более грубая сланцеватая текстура и мелковернистая лепидогранобластовая, лепидонематобластовая и фибробластовая структура. Полосчатость в них проявляется не всегда и не особенно четко и плойчатость не характерна. Главными в этой группе пород являются альбит-эпидот-серийт-хлоритовые, альбит-эпидот-хлорит-актинолитовые, альбит-хлорит-эпидотовые и хлорит-эпидот-мусковитовые разновидности. Первые две разновидности обнаруживают порфиробластовую (возможно, бластопорфировую) структуру. В них сравнительно крупные (до 1,5 мм) выделения альбита изометричной и удлиненной параллельно сланцеватости формы зачастую пронизаны мелкими включениями хлорита, эпидота, серицита, которые слагают и основную ткань. Порфиробластовые сланцы отмечаются как в непосредственной близости с тургундинской гранитоидной интрузией, так и на значительном удалении от нее. С этой группой связаны также глаукофановые сланцы, отличающиеся от перечисленных выше пород присутствием глаукофана. В вулканогенных сланцах, кроме отмеченных выше минералов, присутствуют также магнетит, апатит, лейкоксен, сфен, стильномелан, кварц и кальцит.

По химическому составу богатые альбитом порфиробластовые сланцы выделяются среди других вулканогенных сланцев более высоким содержанием кремнезема и меньшим - железа, а глаукофановые сланцы повышенным содержанием щелочей и железа. Первые из них сопоставимы с андезитовым порфиритом, по С.П. Соловьеву (меньше кремнезема, щелочей и алюминия, больше кальция). Остальные разновидности приближаются к диабазу.

В верхней части разреза свиты встречен горизонт зелено-сланцевых пород мощностью около 80 м, первичная природа кото-

рых окончательно не выяснена. Вероятнее всего, они представляют собой метаморфование вулканических и вулканокластических пород основного ряда. Горизонт прослежен по простиранию на расстояние более 3 км. В его основании залегают породы с округлыми и несколько удлиненными образованиями, напоминающими обломки (или шары лав). Величина обломков изменяется от 2-3 см до 30-50 см. В одних случаях они сложены средне- и крупнозернистым гранобластовым агрегатом эпидота, среди которого иногда отмечаются обособления более мелких зерен альбита, кальцита, актинолита. В других случаях состав их альбит-актинолит-хлорит-эпидотовый, причем, эпидот, а иногда и альбит образуют монобластовые и гномобластовые округлые выделения размером от долей мм до 2-3 см. Цементирующий материал представлен альбитом, хлоритом, актинолитом, иногда кальцитом. Эпидот в отдельных случаях фиксируется также в виде округлых громеробластовых скоплений.

Верхнюю часть горизонта слагают породы типа порфиритоидов со светлыми удлиненными раздробленными выделениями клинопроизита, погруженными в мелкосернистую альбит-хлорит-актинолит-эпидотовую массу. Химический состав этих пород близок к оливиновому диабазу (Соловьев, 1970) и отличается от него повышенным содержанием глиноэзма.

ОСНОВНЫЕ ЧЕРТЫ ПЕТРОЛОГИИ АСЫРСКОГО ПЛУТОНА (ГОРНАЯ ШОРИЯ)

С.С.ИЛЬЕНКО

Томский политехнический институт

Асырский гранитоидный pluton расположен в пределах Горной Шории на водоразделе Таштана и притоках Илассу. Он представляет собой вытянутое в северо-восточном направлении тело протяженностью 30 км и до 20 км в ширине. Крупнейшие породы

относятся к эфузивам спилито-карбатофирировой формации, мраморизованным известнякам и известково-глинистым, уgliсто-кремнистым сланцам среднего и нижнего кембрия. Они претерпели kontaktовый метаморфизм и представлены как роговиками, так и мезасоматитами. Возраст plutона относится к верхам кембрия.

Вертикальные разрезы plutона отчетливо показывают его зональное строение. Верхняя приконтактовая зона мощностью 400-500 м сложена плагиогранитами, которые глубже постепенно переходят в биотитово-роговообманковые граниты. В последних существенное значение приобретает калишпат, разрастающийся в интерстициях плагиоклаза и темноцветных минералов. При этом плагиоклаз проявляется как резко зональный минерал, центральная часть которого сложена андезином и иногда даже лабрадором, периферическая - олигоклазом и альбитом. Среди роговой обманки в центре зерен иногда обнаруживаются остатки авгита. Все это указывает на первичный основной состав породы, замещенной более кислыми продуктами.

Плагиограниты то не содержат калишпата вовсе, то он наблюдается в виде небольшой примеси перемежевого содержания. Характерен андезин и часто лабрадор. Темноцветные - зеленая роговая обманка, авгит и биотит. Плагиограниты на границе с основными эфузивами переходят в кварцевые диориты.

В зоне погружения массива под известняки среди последних наблюдаются выступы и окна гранитоидов. При этом в результате магматического замещения известняков проявляются колонки: мракор-тремолитовый и волластонитовый мрамор-нефелиновый сиенит-сиенит-кварцевый сиенит-грацит.

Особенности петрографического состава в деталях, строение plutона и зависимость его состава от вмещающих пород показывают наличие первичных основных краевых зон и отчетливое разрастание гранитоидной фации за счет проявления процесса магматического замещения.

ПИКРИТЫ САЛАИРА

П.Е.КАЗАКОВ

Западно-Сибирское геологическое управление, Новокузнецк.

В последнее время геологами ЗСГУ(Н.Ф.Агапенко, А.С.Быко-

выи, К.В.Кочетковой, А.В.Манаевой, О.Г.Коноваловой, И.Е.Казаковым) среди дайковых образований Белининского гипербазитового массива обнаружены жилы обогащенные телами нижне-среднекембрийских пикритов и пикртовых порфиритов. Они, как правило, привнесены или к внутренним частям массива, или к его контакту с вмещающими породами. Размер тел по простиранию колеблется от первых десятков метров до 1,5 и более км, мощность меняется от 5-10 и до 15-45 м. Контакты пикртов с гипербазитами реактивы, иногда отмечается захват пикртами небольших ксенолитов серпентинитов.

Изучение пород показало, что мелкие тела сложены однородными пикртовыми порфиритами. Что касается даек, мощность которых достигает 15-45 м, то они характеризуются более широким набором пород. Центральные части их сложены поликристаллическими среднезернистыми пикртами, которые к периферии сменяются пикртовыми порфиритами. Внешние зоны даек сложены миндалекаменными плагиоклазсодержащими пикртовыми порфиритами. Границы между всеми петрографическими разностями резкие и намечаются по структурному признаку и составу.

Породы состоят из моноклинного пироксена (титал-авгита), серпентинизированного оливина, по составу отвечающего хризолиту. Из рудных минералов отмечается магнетит. В миндалекаменных пикртовых порфиритах появляется плагиоклаз в количестве 5-10%. Основная масса пикртовых порфиритов состоит из хлорита и коротких призм титан-авгита.

Изучение вещественного состава пикртов южных даек показывает, что определенную роль в их формировании играли гравитация и кристаллизационное фракционирование базальтового расплава непосредственно в камере. Однако дифференциация, по всей вероятности, началась еще в глубинных условиях и затем продолжалась в период перемещения магматического расплава по трещинам и каналам. Неоднородность состава пикртов выражена в максимальном накоплении в центральных частях даек оливина, что подтверждается и химическими данными (таблица).

Оксиды	Содержание окислов в %							
	1	2	3	4	5	6	7	8
SiO ₂	39,26	39,20	40,92	41,99	41,80	44,43	44,24	44,79
TiO ₂	0,94	0,84	1,92	2,18	1,80	1,88	2,56	2,46
Al ₂ O ₃	4,86	4,33	8,42	10,69	10,05	11,00	11,38	11,82
Cr ₂ O ₃	0,30	0,38	0,25	0,17	0,20	0,08	0,14	0,11
Fe ₂ O ₃	6,71	6,19	4,46	2,38	1,86	1,94	2,29	1,41
FeO	6,19	6,38	8,16	10,09	11,75	9,48	10,72	9,09
MnO	0,16	0,18	0,06	0,13	0,16	0,19	0,12	0,17
MgO	28,66	28,72	18,72	18,31	18,40	14,82	13,94	10,63
CaO	3,21	3,25	9,19	8,28	5,45	8,75	6,46	8,65
Na ₂ O	0,07	0,10	0,44	0,82	0,70	1,81	2,28	3,22
K ₂ O	0,06	0,08	0,32	0,10	0,10	0,13	0,72	0,42
NiO	0,16	0,14	0,10	0,11	0,09	0,02	0,06	0,03
Потери при прокаливании	9,42	9,59	9,49	5,51	7,25	4,84	5,40	6,02

ПРИМЕЧАНИЕ: 1,2 - поликристаллические пикрты; 3,4,5 - пикртовые порфириты; 6,7,8 - плагиоклазсодержащие пикртовые порфириты.

В целом дифференциация проходила с повышением роли кремнезема, титана, алюминия, кальция, натрия, калия и понижением - магния, хрома и никеля.

По геологическому положению и составу описанные интрузии пикртов относятся нами к нижне-среднекембрийской перidotито-габбровой формации Салаира, представленной ритмично расслоенными массивами стратиформного и конфокального типов.

Из обзора литературы известно, что исследуемый тип магматизма характерен более для платформенных областей (Маймече-Котуйская провинция). Однако, в последнее время интрузивные пикрты были обнаружены на Камчатке (Морковский Б.А., Эрлих Э.Н. и др., 1971 г.), в Южном Дагестане (Долгих А.Г., 1968), которые являются молодыми складчатыми горными сооружениями. Салаир не относится к древней геосинклинальной области и обнаружение здесь интрузивных пикртов представляет большой практический и теоретический интерес.

МАГНЕЗИАЛЬНЫЕ СКАРНЫ ОРТОН-ЗАСЛОНСКОГО РАЙОНА
(Горная Шория)

М.Е.КАРЕВ

Западно-Сибирское геологическое управление, Новокузнецк

Характерной особенностью для района является развитие здесь магнезиальных скарнов, образований сравнительно редких как для Горной Шории, так и для всего Кузнецкого Алатау.

В нашем районе магнезиально-скарновые образования встречены на левом берегу р.Федоровки (Криворотенко, 1966); в среднем течении рр.Колоса и Заслонки (Танский, Карев, 1968), р.Березовки (Карев, Черноок, 1970). Здесь они представлены бруститами и диопсидовыми (голубыми) мраморами, диопсидовыми скарнами.

Бруститовые и раморы обнаружены в среднем течении рр.Федоровки, Заслонки и Колоса. Более значительное по размерам проявление выявлено по правому притоку р.Заслонки. Бруститовые мраморы слагают юго-восточную и северо-западную внешние зоны контактового ореола мелких ксенитовых штоков. Ближе к интрузии они сменяются монтичеллит-везувиан-пироксенитовыми скарнами, а по мере удаления от них доломитовыми и кальцитовыми мраморами. Переходы одних пород в другие реальные. Кроме бруститов, мраморы содержат форстерит (до 10%), доломит-анкерит (12-26%), серпентин.

Диопсидовые (голубые) мраморы в районе впервые отмечены Г.И.Сандерашвили в 1958 году. Голубые мраморы в форме ксенолита расположены среди интрузии габбро, габбро-диоритов, прорванных мелкими телами плагиогранитов Ортонской интрузии. Мощность выхода мраморов 6,5 м.

Мраморы характеризуются голубой окраской различной интенсивности от голубовато-белой до лазурной. Они сложены (в процентах) гранатом - 0.1, минералами из группы эпидота - 0.1, диопсидом - 39, форстеритом (до 69.8), слюдой (до 33), серпентином (до 5), пиритом (0.1), бруститом, кальцитом.

По заключению технологических испытаний, мраморы представляют хороший поделочный и облицовочный материал. По своим декоративным свойствам они не уступают лучшим образцам, проявления которых в Советском Союзе единичны и ограниченных размеров.

Диопсидовые скарны обнаружены в среднем течении р.Березовки. Они представлены в виде магнезиально-скарновых оторочек, линз среди доломитов ёнисейской серии в экзоконтакте Ортонской интрузии. Это серия средне-крупнокристаллические породы, сложенные почти нацело диопсидом. Часто скарны изменены гидротермально-метасоматическими процессами постмагматической стадии с наложением на них нормальных известковых скарнов.

Магнезиальные скарны Ортон-Заслонского района развивались по доломитам и возникли в магматическую стадию в связи с воздействием на доломиты раннемагматических растворов.

ОСОБЕННОСТИ СТРОЕНИЯ И МИНЕРАГЕНИЯ АЛТАЕ-САЯНСКОЙ ГИПЕРБАЗИТОВОЙ ПРОВИНЦИИ

Р.В.КОЛБАНЦЕВ

Всесоюзный научно-исследовательский геологический институт, Ленинград

Алтае-Саянская гипербазитовая провинция объединяет территорию распространения пород раннекембрийской и, в меньшей степени, раннепротерозойской дунит-гарцбургитовых формаций юга Сибири. Основная часть гипербазитовых поясов контролируется глубинными разломами, разграничивавшими структурно-формационные зоны каледонской эвгесинклинали. Отдельные пояса локализованы в пределах структур, возникших на месте каледонской миогеосинклинали и байкальской эвгесинклинали.

Среди ультраосновных пород Алтае-Саянской гипербазитовой провинции преобладают гарцбургиты, подчиненное положение занимают дуниты, хотя встречаются и существенно дунитовые массивы. Лерцолиты наблюдаются редко. Энстатиты распространены сравнительно широко, но, как правило, слагают лишь маломощные жилки. В большинстве случаев ультраосновные породы интенсивно изменены. Наиболее характерные изменения: лизардитизация, антигоритизация, карбонатизация, отакование. По устойчивым ассоциациям измененных пород выделяются типы метаморфизма ультраосновных пород, каждый из которых характерен для определенной геологической обстановки.

С ультраосновными породами Алтас-Саянской гипербазитовой провинции связан ряд полезных ископаемых: хромиты, хризотил-асбест, аントфиллит-асбест, тальк, магнезит, нефрит, хадеитит, флогопит, вермикулит, силикатный никель. Кроме того, известные ультраосновные породы могут служить благоникелевой средой для локализации ртутного, золотого, полиметаллического оруденения. За исключением хромитов, образование месторождений которых происходит одновременно с формированием самих ультраосновных массивов, концентрации названных полезных ископаемых являются следствием определенных эндогенных или экзогенных преобразований ультраосновных пород. Надежное прогнозирование возможно лишь на основании изучения региональных закономерностей размещения всего комплекса полезных ископаемых, связанных с дунит-гарцбургитовой формацией.

Анализ размещения известных месторождений и проявлений, а также особенностей геологического положения, строения и состава гипербазитовых поясов позволяет наметить в пределах Алтас-Саянской гипербазитовой провинции ряд структурно-минералогических зон, каждая из которых характеризуется преимущественной перспективностью на одно или несколько полезных ископаемых: Салайрская (хромиты, хризотил-асбест, тальк, силикатный никель), Енис-Тувинская (хромиты, тальк, аントфиллит-асбест), Ильчирско-Китайская (нефрит, хризотил-асбест, хромиты, тальк), Куртушинская (хризотил-асбест), Залады-Тувинская (хризотил-асбест, тальк), Борусская (хадеитит), Северо-Алтайская (магнезит, тальк), Йдарская (вермикулит), Приольхонская (вермикулит, возможно - аントфиллит-асбест), Восточно-Тувинская, Северо-Саянская и Каахемская (тальк).

ТИПЫ СЕРПЕНТИНИЗАЦИИ УЛЬТРАОСНОВНЫХ ПОРОД САЛАИРА В СВЯЗИ С ОЦЕНКОЙ ИХ АСБЕСТОНОСНОСТИ

Р.В.КОЛБАНЦЕВ

Всесоюзный научно-исследовательский геологический институт,
Ленинград

Серпентинизация скрытоизкиемых ультраосновных пород осуществляется в результате последовательного проявления лизардити-

зации первой и второй стадий, хризотилизации, антигоритизации. Образование хризотил-асбеста является одной из стадий этого процесса, непосредственно следующей за хризотилизацией и тесно с ней связанной. Многие особенности месторождений хризотил-асбеста обусловлены характером проявления отдельных стадий серпентинизации, что позволяет использовать определенные петрографические критерии при оценке asbestosности ультраосновных массивов.

Необходимо изучать региональные закономерности проявления различных стадий серпентинизации с тем, чтобы иметь возможность перейти от сценки asbestosности отдельных ультраосновных массивов по петрографическим критериям к прогнозированию в региональном масштабе на основании анализа особенностей геологического строения иннерагенических зон. В качестве одного из шагов на пути к этому может служить изучение типов серпентинизации ультраосновных массивов Салаира.

При сравнении ультраосновных массивов Тогул-Сунгайского и Мартыново-Шалапского участков Салаирского гипербазитового пояса обнаруживаются различия в особенностях серпентинизации и интенсивности хризотил-асбестовой минерализации. В первом из участков ультраосновные породы за исключительным исключением полностью серпентинизированы. Массивы восточной полосы сложены лизардитовыми серпентинитами, в осевой полосе антигоритовые и лизардито-антигоритовые серпентиниты преобладают над лизардитовыми, массивы западной полосы нацело антигоритизированы. Хризотиловые серпентиниты в пределах всего участка отсутствуют, сланцеватые лизардито-хризотиловые серпентиниты встречаются лишь в массивах с измененной интенсивностью антигоритизации. Проявления хризотил-асбеста немногочисленны, небелики и содержат лишь низкосортные руды.

Массивы Мартыново-Шалапского участка отличаются широким распространением частично лизардитизированных дунитов и гарцбургитов; лизардитовыми серпентинитами сложены только крайние северный и южный массивы. Хризотиловые и хризотило-лизардитовые серпентиниты развиты во всех массивах, тяготят преимущественно к участкам неполной лизардитизации. Антигоритизация проявлена слабо. В Мартыново-Шалапском участке расположены Шалапское месторождение и ряд проявлений хризотил-асбеста, отличающихся от про-

явлений Тогул-Сунгайского участка более значительной концентрацией волокна и присутствием более ясных его сортов.

Проведенный анализ позволяет заключить, что извретализация менее интенсивно протекает на более глубоких уровнях - в ядерных частях складовых структур. На этих же уровнях частично извретализованные породы подвергаются хризотилизации. Интенсивная хризотил-асбестовая минерализация всегда приурочена к хризотилизованным породам. Антигоритизация, имеющаяся пеблагородными признаками для поисков хризотил-асбеста, развивается в связи с зонами рассланцевания и вблизи тел габбро-диоритов.

Наиболее благоприятны для интенсивного развития хризотил-асбестовой минерализации Белинский и Шаланский массивы, а в их пределах - участки существенно гарнокургичевого состава.

ПОЗДНЕМЕЗОЗОЙСКИЕ МАГМАТИЧЕСКИЕ ФОРМАЦИИ ЦЕНТРАЛЬНОЙ ЧАСТИ ХРЕБТА СУНТАР-ХАЛТА

И.И.КОЛОДЕЗНИКОВ, К.К.ЛЕВАНОВ

Якутский государственный университет

На северной окраине Охотского сегмента Охотско-Чукотского вулканогенного пояса среди эфузивных, субвуликанических и интрузивных тел нами выделяются две магматические формации - турутская и аркандинская, сложенные, главным образом, изверженными горными породами мелового возраста кислого и в меньшей степени среднего состава.

В основании разреза вулканогенных образований лежит турутская формация условно низнемелового возраста, который с известной вероятностью определяется находками флоры *Cladophyllum* sp., *Baileya* (?) sp., *Pityophyllum* sp., сделанными О.П.Разгоновым среди эфузивов т.н. "авлиинской" свиты, по нашему наблюдению, соответствующей нижним слоям турутской формации. Кроме того, общее стратиграфическое положение формации в основании вулканогенных отложений описываемого района не вызывает сомнения. Сложена формация чередующимися потоками андезитов, дацитов и липаритов с редкими прослоями туфов кислого состава. Максимальная мощность ее достигает 800 м. Схематический принципиальный разрез формации таков: андезиты-липариты-андезиты. Однако он не может

считаться универсальным для всех мест ее развития, т.к. количественные соотношения андезитов и липаритов меняются в широких пределах. Эфузивные отложения турутской формации прорваны экструзионными телами липаритов близкого эфузивного возраста и гранобиоситическими штоками гранит-порфиров. Возрастное положение последних определяется тем, что они прорывают всю толщу эфузивов описываемой формации и встречаются в виде глыб, валунов и гальки в линзах конгломератов, залегающих в основании более молодой изогнатической формации.

К турутской формации мы относим комплекс эфузивов среднего и кислого состава, кислые экструзионные тела и штоки гранит-порфиров, близкие между собой по возрасту, порожденные единым тектономагматическим циклом.

Расположенная выше аркандинская формация с резким угловым несогласием лежит на породах турутской формации и отложениях верхоянского комплекса. В основании ее располагается горизонт эфузивно-терригенных пород, среди которых отмечены туфы, песчаники, глинистые сланцы, конгломераты с галькой гранит-порфиров турутской формации, иногда угли. Возраст формации определяется верхним мелом на основании находок, сделанных нами в низах этой формации *Elatocladus smiliana* (Heeg), *Beaufort*, которые В.А.Вахрамеев и А.Р.Ананьев определили в нескольких штуках. По заключению А.Р.Ананьева, эта форма описана ранее им среди находок в породах кийской бокситоносной свиты Западной Сибири, которая в настоящее время многими исследователями относится к низам верхнего мела. Возраст аркандинской формации определяется верхним мелом достаточно твердо.

Сложена формация мощными потоками лав и туфов липаритов, среди которых широко развиты игнимбриты и встречаются потоки витрофиров. Андезитовые потоки встречаются редко и не образуют мощных толщ. Мощность формации достигает 1000 м. Описываемая формация сопровождается участками гидротермально измененных пород. В комагматической связи с кислыми эфузивами аркандинской формации находятся многочисленные дайки и мелкие штоки мелкозернистых субшелочных гранитов.

Аркандинская формация сложена кислыми лавами, туфами, игнимбритами, витрофарами, т.е. производными магмы, насыщенными летучими компонентами, в результате чего на отдельных участках в пределах самой формации и во вмещающих отложениях развиты зо-

и гидротермально и метасоматически измененных пород.

По составу слагающих ее горных пород и характеру вторичных изменений арканская формация близка аналогичным образованиям Магаданского региона Охотско-Чукотского вулканогенного пояса, с которыми связаны проявления эпигоризального (близповерхностного) золото-серебряного оруденения.

Выделяемые нами магматические формации по своему содержанию близки вулкано-плутоническим формациям, выделенным для Охотского пояса Е.К.Устиновым.

КОМПЛЕКСЫ ГРАНИТОИДОВ ЗАПАДА АЛТАЕ-СЯНСКОЙ ОБЛАСТИ

А.Н.КОНОНОВ

Восточный научно-исследовательский горно-рудный институт,
Новокузнецк

Большим числом геологов по Горному Алтая собраны материалы, позволяющие утверждать, что формирование выделяемых в настоящее время геосинклинальных структурно-формационных зон отражает всего лишь один, хотя и довольно крупный и продолжительный, этап геологической истории региона. Более правильна геологическую жизнь его разделить на три этапа: палеогеосинклинальный (срединных массивов), геосинклинальный (структурно-формационных зон), глыбовый (активизации области завершенной складчатости). Первый этап начался, возможно, в архее и продолжался до рифей, второй охватывает рифей - ранний карбон; а третий зародился в среднем карбоне и продолжается до настоящего времени.

Проявления палеогеосинклинального гранитоидного магматизма известны в Курайском, Чуйском и Терехтинском хребтах. В Курайском и Чуйском хребтах среди метаморфических сланцев и гнейсов выделены волны и купола мигматитов с плагиогранитовыми ядрами и наложенной на них фольгоплитизацией, создавшей граниты. В Терехтинском хребте становление Тургундинского массива происходит в несколько этапов. Вначале в результате магматического замещения образовалась сломная гамма пород с постепенным переходом от меланократовых диоритов до аданеллитов и гранитов. Затем на значительных участках сформировались пор-

фиобластовые граниты и прилегающие к ним порфиробластовые (кварц-микроклиновые) сланцы. Позже породы были значительно альбитизированы. Глыбы гранитоидов встречаются в кембрийских отложениях, абсолютный возраст гранитов 597-616 млн. лет.

В геосинклинальный период развития Горного Алтая замыкание каждой структурно-формационной зоны соприкасается со становлением крупных массивов гранитоидов. В позднем кембрийско-ранне-ордовикское время в Бийско-Катунской зоне сформировались тела Таджинского диорит-гранодиоритового комплекса, а в Мяссской - Лебедского также диорит-гранодиоритового. В позднем силуре - раннем девоне в Чарынско-Терехтинской зоне образовались плутонии Тюдешского диорит-гранитового, а в Башкауско-Чулышманской - Кубадринского диорит-гранодиоритового комплексов. В это же время в Талицкой и Ануиско-Чуйской зонах происходило становление соответственно Чинетинского и Тулугунтеского тоналитовых комплексов, а в Бийско-Катунской - Элекмонарского гранитового. В позднем девоне - раннем карбоне возникли крупные плутонии гранитоидов в Ануиско-Чуйской, Талицкой, Каргонской и Уй-Киско-Лебедской зонах, в которых соответственно выделены Яланский гранодиорит-адамеллитовый, Талицкий гранодиорит-гранитовый, Чинской и Саракокшинский диорит-плагиогранитовые комплексы. В других структурно-формационных зонах Горного Алтая происходило становление тел гранитов.

В глыбовой этап магматизм известен в перми и триасе. В поздней перми образовались крупные массивы, имеющие практически одинаковое строение и состав в разных частях региона: будь то тела на северо-западе Горного Алтая - Синюхинский комплекс, севере - Белокурихинский, северо-востоке - Кульбичский, востоке - Атурский, юго-востоке - Юстыдский, или юге - Калгутинский. Они сложены порфировидными гранитами и в небольшом количестве более поздними лейкократовыми гранитами, обычно с большим количеством дайково-шильных отцеплений. Триасовый магматизм более разнообразен. На северо-западе Горного Алтая выделен Майорский диабаз-сиенит-щелочногранитовый комплекс, на севере - Айский диабаз-сиенит-щелочногранитовый, на северо-востоке - Уйменский долерит-гранито-диоритовый, в центральной части - Шибелинский диабаз-диорит-щелочногранитовый, на юго-востоке - Теранджикский габбро-сиенит-лейкогранитовый и на юге - Тархатинский диабаз-сиенитовый.

ОБЩАЯ МОДЕЛЬ ПЕТРО- И РУДОГЕНЕЗА В КОНТАКТОВЫХ
ЗОНАХ ГРАНITOДИЧНЫХ ПЛУТОНОВ
(на примере железорудных районов Алтас-Салинской
области)

В.Г.КОРЕЛЬ

Сибирский научно-исследовательский институт геологии,
геофизики и минерального сырья, Новосибирск

В истории формирования гранитоидных изотонов выделяются магматический и послемагматический, прогрессивный и регressiveкий этапы, а в соответствии с типологией д.с. Корильского (1964, 1970), в прогрессивном этапе - ранняя щелочная и кислотная, в регressiveком - поздняя щелочная стадии и все стадии послемагматического этапа. Прогрессивный этап не носит существенной роли в создании рудных концентраций, которые если и возникают, то неизбежно уничтожаются растворами последующей кислотной стадии или поглощаются наступающей гранитоидноймагмой. Прогрессивный этап имеет большое значение в обогащении рудных компонентов из имеющей среды, в технологической специализации растворов, в то время как регressiveкий этап - в концентрации и осаждении металлов, в создании сподородных рудных месторождений.

В раннюю щелочную стадию магматического эпюна на переднем фронте потока горячих ювелирных растворов, поднимавшихся из подкоровых глубин, по мере возрастания щелочности геометодательно возникают габбро-диоритоподобные метаморфические и габбро-диоритовые гибридно-метасоматические породы, паллиоклаз-скаполит-пироксеновые и кварц-пироксен-калиево-литовые метасоматиты, фельдшпатолиты и спенитовые "плевки", в кислую - альбититы, птигилитовые гаарниты и кварц-олигосомиты энниты, гранитоподобные метасоматические породы и метасоматические граниты, палингитные гранитные разности, подстильные метасоматические колеснику. После ухода южных кислотных компонентов в типовой части гранитного потока возникают кристаллические суб-^эукарниты и пироксениты, калийян простирающие напластуши горо-
родиевые и пегматитовые руды в рудных месторождениях. Тезисы из-
ложены в исследованной монографии... - При и. ред.

щелочными расплавами (поздняя щелочная стадия магматического этапа), которые создают группу кремнеакислых субщелочных пород вулкано-плутонической порфирово-нордмаркитовой субформации (Корель, 1966).

Метасоматическое магнетитовое оруденение образуется в позднюю щелочную стадию магматического этапа до начала кристаллизациимагмы батолитических гранитов (догранитно-батолитический синмагматический тип месторождений - Тельбесский, возможно, Кондомский, Краснокаменский и другие районы) имагмы интрузивных тел порфирово-нордмаркитовой субформации (послегранитно-батолитический донордмаркитовый синмагматический тип месторождений - Холзунское, Инское и другие) и в раннюю щелочную стадию послемагматического этапа после кристаллизации гранитноймагмы батолитов имагмы, сформировавшей вулканические и интрузивные породы порфирово-нордмаркитовой субформации (послегранитно-батолитический и посленордмаркитовый послемагматический тип месторождений - Тейское). В ряде районов магнетитовое оруденение вклинивается между эфузиями и интрузиями порфирово-нордмаркитовой субформации (Инское, Холзунское); отмечаются случаи наложения нескольких этапов магнетитового оруденения (Иринское).

ГЕНЕТИЧЕСКИЕ ТИПЫ НЕФЕЛИНСОДЕРЖАЩИХ ПОРОД
СЕВЕРНОЙ ЧАСТИ КУЗНЕЦКОГО АЛАТАУ

М.П.КОРТУСОВ

Томский государственный университет

Северная часть Кузнецкого Алатау представляет собой своеобразную петрографическую провинцию, характеризующуюся широким распространением нефелинсодержащих пород различного происхождения. Последние рассматриваются нами в составе Кийского габбро-сиенитового комплекса нижне-среднедевонского возраста.

Генетическая связь нефелинсодержащих пород изученного региона с базальтовоймагмой доказывается их пространственной и структурной сопряженностью с габбро-сиенитовыми плутонами, а также целым рядом минералогических и петрохимических особенностей. Для химизма нефелинсодержащих пород весьма типична обо-

гащенность натрием, повышенные концентрации кальция и незначительные содержания редкоземельных элементов.

Внимательное изучение условий залегания нефелинсодержащих пород, их взаимоотношений с вмещающими породами, минералогического состава и структурно-текстурных особенностей - все это приводит к выводу о наличии в северной части Кузнецкого Алатау магматического и метасоматического типов нефелиновых пород.

Нефелинсодержащие породы магматического типа, пользующиеся преобладающим распространением, слагают дайки, дайкообразные и реже штокобразные тела. По особенностям состава отчетливо различаются нефелиновые сиениты (фойлиты, ииаскиты) и породы уртит-иилолитового ряда, которые характеризуются пространственной разобщенностью, но иногда образуют постепенные переходы.

Главными отличительными особенностями магматических нефелинсодержащих пород являются:

1. Наличие резких контактов с вмещающими породами, даже в случаях интенсивной нефелинизации последних.

2. Относительно постоянный полиминеральный состав пород в пределах отдельных массивов.

3. Однородность структурно-текстурных особенностей, проявляющаяся в преобладании гипидроморфозернистых, реже аллотриоморфозернистых структур и массивных текстур.

4. Присутствие в экзоконтактах тел мелких инъекций нефелинсодержащих пород.

5. Наличие зон закалки, которые выражаются в образовании порфировидных, криптовых или мелкозернистых структур.

Нефелинсодержащие породы метасоматического типа (нефелинсодержащие фениты) слагают самостоятельные неправильной формы тела или залегают в экзоконтактовых зонах массивов магматических нефелинсодержащих пород. Вмещающими породами в обоих случаях являются образования основного состава (габброиды, диабазы). По минералогическому составу среди нефелиновых метасоматитов выделяются нефелин-сиенит-фениты, иилолит-фениты, юврит-фениты, иилолит-фениты и т.п.

От аналогичных по минералогическому составу магматических пород нефелинсодержащие фениты отличаются следующими типичными особенностями:

1. Наличием структур замещения (развитие нефелина по полевым шпатам и реже по темноцветным минералам); сочетанием реликтовых структур с новообразованными гранобластовыми;

2. Неравномерным распределением в породах нефелина и других минералов, образующих гломеробластовые скопления; незакономерным чередованием участков, обогащенных нефелином с безнефелиновыми участками;

3. Наличием постепенных переходов к вмещающим породам;

4. Присутствием в участках обогащенных нефелином реликтовых блоков габброидов и диабазов;

5. Приуроченностью многих нефелинсодержащих фенитов к экзоконтактам нефелиновых сиенитов и уртитов при прогрессивном возрастании интенсивности нефелинизации по направлению к тыловым зонам экзоконтакта.

Приведенные признаки позволяют в большинстве случаев надежно отличать нефелинсодержащие породы магматического и метасоматического генетических типов, что имеет не только теоретический интерес, но и большое практическое значение.

ПЕТРОЛОГИЯ ИЗВЕРЖЕННЫХ ПОРОД РАЙОНА ФЕДОТОВСКОГО ЗОЛОТОРУДНОГО МЕСТОРОЖДЕНИЯ (КУЗНЕЦКИЙ АЛАТАУ)

Н.И.КУЗОВАТОВ, Е.Н.ЗЫКОВ

Томский государственный университет

Федотовское золоторудное месторождение расположено в западной части Мариинской тайги; главный рудный узел находится на правом берегу рч.Федотовки (система р.Кии).

Особенностью геологии района месторождения является исключительно большое развитие интрузивных образований, принадлежащих западной части Федотовского массива, возраст которого, по геологическим и радиологическим данным, лежит в пределах ордовика - силура.

Интрузивные породы, являющиеся вмещающими для кварцево-золоторудных жил Федотовского месторождения, представлены преимущественно диоритами и габбро-диоритами, в составе которых основную роль играют серицитизированный плагиоклаз (№ 35 - 48)

и обыкновенная роговая обманка. В некоторых разновидностях диоритов, габбро-диоритов и габбро встречается моноклинный пироксен авгитового ряда, а также сильно железистый биотит. Меньшим распространением в районе пользуются кварцевые диориты и тоналиты, а также граниты. Последние образуют небольшие штоки, дайкообразные тела в диоритах и габброидах или проникают их в виде мелких инъекций. По соотношению главных породообразующих минералов (темнобурый биотит, зеленая роговая обманка, плагиоклаз, калиевый полевой шпат, кварц) выделяются собственно граниты, гранодиориты, плагиограниты, связанные между собой постепенными переходами. Для всех изверженных пород района очень характерны мелковзернистые структуры. Диориты, габбро-диориты, габбро являются типичными меланократовыми породами, граниты - лейкократовыми.

Дайковые породы в районе встречаются часто. Наибольшим распространением пользуются диоритовые порфириты и спессартиты, диабазовые и плагиоклавовые порфирииты. Дайки кислого состава (гранит-порфиры, пегматиты) относительно редки.

Минералого-петрографические особенности изверженных пород изученного района хорошо согласуются с данными химических анализов. Все породы основного и среднего составов (включая дайки) относятся к нормальному ряду, классам насыщенных или слегка недосыщенных SiO_2 породам; граниты иногда являются пересыщенными алюминием. Уровень щелочности последовательно увеличивается от габбро и диоритов к гранитам (линейная зависимость), причем относительная роль натрия остается практически неизменной. В темноцветных минералах габбро и диоритов велика доля магния; при переходе к кварцевым диоритам, тоналитам и гранитам возрастает относительная роль суммарного железа. В габбро, габбро-диоритах и диоритах коэффициент железистости изменяется в пределах 57 - 72, а в гранитах достигает величины 82.

Средние химические составы изверженных пород района полностью совпадают со средними составами пород Кундатского, Кохуховского и Ольгинского массивов. По сражению со средними типами пород по Р.Дэли изученные породы являются более щелочными, но все-таки относятся к типичным известково-щелочным ассоциациям.

Вопросы петрогенеза Мартайгинского комплекса, одним из представителей которого является Федотовский массив, до настоящего времени остаются во многом дискуссионными. В последние годы А.И.Дистанова, Л.В.Алабин и другие усиленно развивают идеи о ведущей роли процессов магматического замещения боковых пород в формировании массивов Мартайгинского комплекса.

Наши материалы, полученные в результате проведения геологоразведочных работ на участке Федотовского месторождения в 1968-70 гг., позволяют считать Федотовский массив многофазным интрузивным телом. В первую фазу сформировались габбро, габбро-диориты, диориты; кварцевые диориты и тоналиты являются наиболее поздними из числа пород первой фазы и выделены нами в самостоятельную субфаузу. Этап формирования габброидов и диоритов завершается внедрением большого числа даек диоритовых порфириитов, плагиоклавовых и диабазовых порфириитов, спессартитов. Во вторую фазу образовались граниты и близкие им по составу дайки. Граниты обусловили интенсивный калиевый метасоматоз диоритов и габброидов с превращением их в породы типа кварцевых синено-диоритов.

ВУЛКАНОГЕННО-ОСАДОЧНЫЕ СЕРИИ ДЕВОНСКО-РАННЕ-КАМЕННОУГОЛЬНОГО ВОЗРАСТА СЕТТЕ-ДАБАНА И ВОСТОКА СИБИРСКОЙ ПЛАТФОРМЫ

К.К.ЛЕВАНОВ

Якутский государственный университет.

Джалканская серия Сетте-Дабана и Игматтинская серия восточной части Сибирской платформы образовались приблизительно в одно время (живетский век среднего девона - начало карбона), но наряду с большим сходством внутреннего строения этих серий, между ними наблюдается ряд отличий в составе слагающих их вулканогенных пород.

Джалканская серия, начинаясь живетскими слоями, несогласно залегает на силурийских и нижнедевонских породах. Сложена она мощными пачками вулканогенных пород разделенными осадочными, преимущественно карбонатными, отложениями, содержащими большое

количество остатков фауны брахнопод и кораллов. Вулканогенные пачки, имея мощность до 700 м, иногда обладают ясно выраженным слоистым строением за счет пластов осадочных пород, нередко содержащих фауну . . . Кроме того, наличие многочисленных лавовых потоков, слагающих вулканогенные пачки, четко определяющихся на выветрелых склонах гор, подчеркивает их слоистое строение. Изверженные горные породы, слагающие вулканогенные пачки джалканской серии, представлены базальтовыми порфиритами и диабазами. Реже среди них встречаются спилиты. Роль пирокластических образований резко подчинена лавовыми разновидностями эфузивов. Однако многие вмешивающиеся осадочные породы несут в себе заметную примесь тuffогенного материала. Часто вулканогенные пачки подстилаются пластами конгломератов и косо-слоистых гравелитов.

Ыгматинская серия востока Сибирской платформы, начинаясь киевскими породами, несогласно располагается на силурских известняках и содержит многочисленные "прослои" щидалекаменных базальтов иногда с шаровой отдельностью и кремнистыми конкрециями. Осадочные породы, разделяющие вулканогенные пачки, представлены песчаниками, глинами, известняками и аргиллитами. Среди базальтовых лав наблюдаются разновидности с ка-натной и шаровой отдельностью.

Среди обеих серий, главным образом в верхних частях их разрезов, наблюдаются горизонты гипсоносных пород.

Петрохимические особенности базитов джалканской и ыгматинской серий наряду с большим сходством имеют и ряд различий. В первую очередь это касается заметно более высокого содержания щелочей в джалканских эфузивах и окиси титана в них. Одновременно с этим отмечается значительно меньшая степень окисленности железа в первых и заметно меньшие количества кремнезема.

По своему химизму джалканские эфузивные базиты близки щелочным траппам Сибирской платформы и породам оливин-базальт-беси формации континентов (базальты зоны Великих Африканских разломов), в то время как ыгматинские базальты наиболее сходны с траппами нормального ряда Сибирской платформы, частью которых они и являются.

Возникновение и развитие джалканской и ыгматинской серий, представляющих собой крупные вулканогенно-осадочные формации, обусловлено единими причинами, которые явились следствием одновременной активизации тектоно-магматических процессов на Сибирской платформе и в более подвижной области Сетте-Дабана, развитого вдоль восточной окраины платформы. Образование платформы осуществлялось на фоне поднятия некоторых ее участков и энергичного воздвижения Сетте-Дабана. Оформление складчатых структур последнего проходило в условиях жесткого субстрата по своим свойствам близкого платформенным образованиям. Родственные связи Сетте-Дабана с соседней Сибирской платформой сохранились на протяжении всей истории формирования последнего до состояния достаточно консолидированной структуры.

МЕТАМОРФИЗМ ГОРНОГО АЛТАЯ

Г.Г.ЛЕПЕЗИН

Институт геологии и геофизики СО АН АИ СССР, Новосибирск

В пределах Горного Алтая выделены стильпномелан-пренит-пумпеллитовая, зеленосланцевая, эпидот-амфиболитовая фации, фация глаукофановых сланцев и четыре типа метаморфизма: андалузит-силиманитовый, переходный к дистен-силиманитовому дистен-силиманитовый и хадеит-глаукофановый.

При выделении фаций не учитывались текстурно-структурные особенности пород, степень их рассланцевания, окварцевания и сохранность первичных текстур, структур и минералов, а принимались во внимание только минеральные ассоциации метаморфических толщ.

В Горном Алтае неметаморфизованные выглядят толщи девона. К стильпномелан-пренит-пумпеллитовой фации отнесены отложения ордовика и силура. Кембрю-ордовик, кембрий и синий (горно-алтайская, еландинская, каймская, каянчинская, манжерокская и баратальская свиты) по минеральным ассоциациям соответствуют нерасчлененным стильпномелан-пренит-пумпеллитовой и зеленосланцевой фациям. В условиях фации зеленых сланцев метаморфизованы теректинская, кокузская, башкаусская и другие

сопоставимые с ними толщи. К глаукофан-сланцевой фации отнесена Уймонская свита.

Все районы проявления зонального метаморфизма (Тонгуйлакский, Прителецкий, Бугузунский, Южно-Чуйский) по литологии, минеральным ассоциациям, последовательности метаморфических зон и другим особенностям сопоставимы между собой и с точки зрения метаморфизма не различаются.

Во всех примерах установленного зонального метаморфизма пространственное положение высокотемпературных зон не коррелируется с положением разломов и степень метаморфизма не увеличивается, а часто уменьшается с приближением к ним.

Во всех случаях изограды, совпадая с литологическими границами, не повторяют направление и конфигурацию разломов, ограничивающих эти блоки, а секутся ими.

Отсутствие пространственной связи между положением разломов и высокотемпературных зон, а также секущий характер последних относительно изоград, говорит о том, что разломы, появившиеся позднее метаморфической зональности, не являются причиной метаморфизма. Современные взаимоотношения разломов и метаморфических зон отображают не особые условия метаморфизма, а историю тектонических движений с момента их заложения.

МАГНЕЗИАЛЬНО-СКАРНОВЫЕ ОБРАЗОВАНИЯ В МЕТАМОРФИЧЕСКОМ КОМПЛЕКСЕ ТАШЕЛГИ (ГОРНАЯ ШОРИЯ)

А.И.ДЕТУВНИНКАС

Томский государственный университет

В Ташелгинской рудной зоне в пределах участков Тивергол и Глухариной установлены магнезиально-скарновые проявления. Они представлены преимущественно маломощными зонами форстеритовых и диопсид-форстеритовых кальцифиров, приуроченных к участкам мигматизации доломитовых мраморов. Значительно реже встречаются мелкие линзовидные тела магнезиальных скарнов.

Силикатная часть кальцифиров и скарнов обычно сложена

- 200 -

тремолитом, диопсидом, форстеритом и флогопитом, количественное соотношение которых крайне нестабильно. Четко выраженная зональность отсутствует, но в направлении от силикатной породы к мрамору нередко наблюдается такая последовательность смены преобладающих минералов: флогопит - диопсид + тремолит - форстерит.

Форстерит имеет состав $(\text{Mg} 1.84, \text{Fe} 0.16)^2.0 \text{SiO}_4$ и общую железистость 7.9%, железистость тремолита составляет 6-12%, флогопита - 3-15%, диопсид представлен своей крайней магнезиальной разновидностью.

В генетическом отношении рассматриваемые образования тесно связаны с явлениями мигматизации и гранитизации, имеющими широкое развитие в прилегающих к мраморам амфиболитах. Судя по характеру ведущего парагенезиса (форстерит + диопсид + флогопит), они формировались на фронте гранитизации под воздействием на доломиты высокотемпературных постмагматических растворов. Концентрация флогопита в кальцифирах непосредственно вблизи прослоев алюмосиликатных пород и жил пегматитов указывает на ограниченную подвижность алюминия в этом процессе, тогда как подвижность кремния и магния была значительной.

Особенностью проявления магнезиально-скарнового процесса в районе Ташелги была небольшая его интенсивность. Причина этого заключается как в ограниченном развитии в районе магнезиальных карбонатных пород, так и в специфике явлений мигматизации и гранитизации. Последние, во-первых, заключалась не в региональном (как, например, в докембрии Алдана), а в узконаправленном развитии зон гранитизации, приуроченных к наиболее проницаемым и активным участкам зоны глубинного разлома. Во-вторых, глубинность протекания этих процессов, видимо, была недостаточной для интенсивного развития постмагматического магнезиально-скарнового процесса.

СРЕДНЕПАЛЕОЗОЙСКИЙ ЩЕЛОЧНОЙ МАГМАТИЗМ РАЙОНА ГОРЫ ЧЕРНАЯ СОПКА (окрестности г.Красноярска)

Н.А.МАКАРЕНКО, В.П.ПАРНАЧЕВ

Томский государственный университет

Интузивный субвулканический массив г.Черная Сопка распол-

- 201 -

ложен в зоне сочленения каледонид северо-западной части Восточного Саяна с Рыбинской впадиной. Он прорывает и метаморфизует осадочные отложения кембрийского и нижнедевонского возраста. Массив имеет в плане изометричные очертания (0.75×0.75 км) и обладает симметрично-зональным строением - центральная зона его сложена беспорядочнозернистыми нефелинсодержащими трахидолеритами, а периферическая - трахитоидными нефелиновыми сиенит-порфирами. Устанавливается более позднее время формирования последних пород, встречающих в краевых частях центральной зоны в виде маломощных инъекций. Здесь же закартировано дайкообразное тело базальтовых порфиритов.

Вещественный состав нефелинсодержащих трахидолеритов находится в прямой зависимости от их положения в разрезе массива. По направлению от периферии к ядру зоны содержание оливина в породе возрастает от 5 до 9%. В этом же направлении увеличивается количество плагиоклаза от 58 до 69% и соответственно убывает содержание фельдшпатидов (нефелина, анальцина) от 15 до 8% и титанистого авгита. Сумма второстепенных (биотит) и акцессорных (апатит, магнетит и др.) минералов обычно не превышает 10%.

В минеральном составе нефелиновых сиенит-порфиров преобладают полевые шпаты (сандин и аортоклаз) - 60-70%; находящиеся в парагенезисе с эгириев-авгитом, щелочными роговыми обманками и нефелином. Последний минерал (5-15%) образует вкрапленники, а также отмечается в основной массе, где он целиком замещен продуктами разложения (анальцином, канкринитом, либеритом). Акцессорные примеси (апатит, магнетит и др.) не типичны и встречаются спорадически.

По петрохимическим данным (таблица), нефелинсодержащие тра-

Таблица

Оксиды	1	2	Оксиды	1	2
SiO_2	48,9	59,1	MgO	3,8	0,4
TiO_2	1,4	0,3	CaO	6,2	1,9
Al_2O_3	16,9	17,3	Na_2O	4,9	6,8
Fe_2O_3	3,6	3,5	K_2O	2,7	5,5
FeO	8,0	3,9	P_2O_5	0,5	0,1
MnO	0,2	0,1	п.п.п.	1,9	1,4

1 - нефелинсодержащие трахидолериты (среднее 9 анализов);

2 - нефелиновые сиенит-порфириты (среднее 5 анализов).

хидолериты хорошо сопоставляются со "средним" трахидолеритом Р.Дэли, отличаясь от последнего более лейкократовым характером (параметр "в" = 20,8 против 23,1) и отчетливой натровой специализацией ("п" = 74,2). Нефелиновые сиенит-порфириты обнаруживают черты сходства с классическими фонолитами и тингулатами Р.Дэли и С.Покольдса, отличаясь повышенным содержанием полевомагнитной известки ("с" = 1,6), пониженной общей и относительной щелочностью ("а" = 22,4, а/с = 23,8), а также заметно более высоким насыщением кремнекислотой.

Излившимися комагматами вышеописанных образований являются нефелинсодержащие трахиандезитовые порфириты. Эти породы впервые обнаружены авторами в непосредственной близости от г. Черная Сопка в бассейне р. Камалы. Щелочные эфузивы отмечаются в верхних частях разреза вулканогенно-осадочной серии, возраст которой датируется А.Р.Ананьевым по ископаемой флоре как нижнедевонский.

На основании вышеизложенного и сопоставления изученных образований с известными проявлениями щелочного вулканизма Северо-Минусинской впадины, время формирования массива горы Черная Сопка мы принимаем как нижне-среднедевонское.

О ВОЗМОЖНОСТИ ВНЕДРЕНИЯ ЧАСТИЧНО РАСКРИСТАЛИЗОВАННОГО ПЕГМАТИТОВОГО РАСПЛАВА

И.И.МАТРОСОВ

Томский государственный университет

В одном из пегматитовых поясов Средней Азии широким распространением пользуются пегматитовые жилы полосчатого и линзовидно-полосчатого строения. Крупные кристаллы и блоки (до 1,3 м) микроклина, сподумена, петалита, клевеландита, сподумен-кварцевые псевдоморфозы по петалиту и удлиненные ксенолиты ориентированы параллельно контактам жил. Они как бы взвешены в тонко-мелко-зернистой основной массе, имеющей неясно-полосчатую или флюидальную текстуру. Зональные пегматитовые жилы с директивными текстурами в пределах пояса пользуются подчиненным развитием.

Ряд особенностей строения и состава полосчатых пегматитовых жил свидетельствует о том, что они образовались в результате внедрения частично раскристаллизованного расплава.

Кристаллизация полосчатых пегматитов происходила в две основные стадии. В первую возникли блоки и крупные кристаллы микроклина, сподумена, петалита и клевеландита. Во вторую — тонко-мелкозернистый агрегат альбита, сподумена, кварца и слюд, цементирующий ранее образовавшиеся минералы. Минералы первой стадии сильно катализированы и заличиваются минералами второй стадии.

Текстуры пегматитов очень походят на текстуры эффузивных и субвулканических пород, отличаясь от них, главным образом, размерами кристаллов.

Для зональных жил редкометальных пегматитов характерна последовательная кристаллизация от зальбандов жил к центру. В жилах полосчатого строения минералы первой стадии кристаллизации беспорядочно распределены по всему объему жил, а зональность полностью отсутствует. Это говорит о том, что в них не происходило кристаллизации от краев к центру, а кристаллы ранних минералов были взвешены в пегматитовом расплаве.

В каких бы вмещающих породах (известняках, сланцах, кварцитах, амфиболитах) ни залегали пегматитовые жилья полосчатого строения, экзоконтактовые оторочки около них отсутствуют или имеют мощность до 0.5 см. В то же время вокруг пегматитовых жил зонального строения переработка вмещающих пород отмечается на расстоянии до 0.5 м.

Несмотря на то, что жилья полосчатых пегматитов практически не взаимодействуют с вмещающими породами, в них очень часто наблюдаются нацело переработанные ксенолиты вмещающих пород, превращенные в мелко-среднезернистый агрегат полевошпат-мусковит-турмалинового, полевошпат-мусковит-турмалин-гранатового или полевошпат-мусковит-гранатового состава. Переработанные ксенолиты различного состава могут встречаться в пределах одной жильи, залегающей в однородных вмещающих породах.

Образование в пегматитах шерла и альмандина связано, в основном, с привносом в пегматиты Fe , Mg и Ca из вмещающих пород. Переработка пегматитами сланцев сопровождается образованием шерла, переработка известковистых сланцев-альман-

дина с шерлом или без него. В большинстве регионов пегматиты, залегающие в известняках, почти не содержат турмалина, а пегматиты, залегающие в сланцах, часто обогащены им.

Несмотря на ничтожное взаимодействие с вмещающими породами, большинство жилья полосчатых пегматитов отличается высоким содержанием турмалина, реже граната. Жилья, залегающие в известняках, обычно содержат турмалина не меньше, чем жилья, залегающие в сланцах.

Приведенный выше материал позволяет считать, что в изученном районе внедрение пегматитового расплава, из которого образовались полосчатые пегматиты, происходило в два этапа. После внедрения пегматитового расплава в нем началась первая стадия кристаллизации — образование крупных кристаллов микроклина, сподумена, петалита и альбита. Одновременно происходила переработка ксенолитов и ассоциация Fe , Mg и Ca из ксенолитов и окружающих пород. Этот процесс был прерван мощными тектоническими подвижками, которые привели к тому, что частично раскристаллизованный пегматитовый расплав был выжат в другие полости, расположенные стратиграфически выше. Перемещение пегматитового материала сопровождалось интенсивным катализом уже образовавшихся кристаллов и потерей большей части летучих. Движение расплава по трещинам обусловило ориентировку взвешенных в нем кристаллов параллельно стенкам трещин. Не исключено, что дальнейшее продвижение расплава вверх было приостановлено возрастом в связи с потерей летучих вязкостью расплава. Быстрая кристаллизация дегазованного остаточного расплава приводила к образованию мелкозернистых агрегатов минералов второй стадии кристаллизации.

Ознакомление с пегматитами других районов Средней Азии, Сибири, Восточного Забайкалья и Монголии показывает, что в этих регионах пегматитовые жилья полосчатого и линзовидно-полосчатого строения с параллельной контактами ориентированной кристаллов распространены крайне редко и при этом бывают приурочены к локальным зонам смятия.

О МЕЛИЛITСОДЕРЖАЩИХ ПОРОДАХ КОНТАКТОВОГО ОРЕОЛА
КИЯ-ШАЛТЫРСКОГО ГАББРО-УРТИТОВОГО МАССИВА
(КУЗНЕЦКИЙ АЛАТАУ)

Н.А.МАКАРЕНКО, А.И.МОСТОВСКОЙ, В.Г.РОДЫГИНА

Томский государственный университет

Кия-Шалтырский массив является представителем габбро-урититовой ассоциации Кийского габбро-сиенитового интрузивного комплекса последнедевонского возраста. Впервые мелилитсодержащие образования в экзоконтактовом ореоле массива открыты в 1961 г. А.В.Бозиным, но их детальное изучение проведено лишь в самое последнее время (Родыгина, 1971). Эти своеобразные породы пространственно приурочены к узкой (50-70 м) зоне сопряжения уртитов и габбройдов с интенсивно дислоцированными вулканогенно-осадочными отложениями усть-кундатской свиты нижнего кембрия - полосчатыми известняками, кремнистыми сланцами, туфами и туффитами. Мелилитсодержащая минеральная ассоциация развивается по полосчатым известнякам в результате замещения аллюмосиликатных прослоев мощностью от долей мм до 20-30 см, с сохранением текстурного рисунка последних. Примечательно, что карбонатные полосы испытывают лишь интенсивную перекристаллизацию.

Мелилит, содержание которого достигает 60-80%, находится в парагенезисе с прозрачным титан-авгитом, волластонитом, флогопитом, кальцитом, шпинелью. В пространственной изоляции от мелилита зафиксирован форстерит, который образует прерывисто-полосчатые ахимико-минеральные скопления от 1 до 1,5 см, ориентированные согласно общим директивным текстурам вмещающих толщ. В качестве незначительной примеси встречен гранат (грос-сулляр), первовскит и оригинальный красновато-фиолетовый диопсид (антохроит). Низкотемпературные минералы представлены мусковитом, хлоритом, цеолитами, серпентином. Вторичные изменения мелилита приводят к его замещению везувианом, поздним флогопитом, цеболитом, кянитом.

Вопросы генезиса мелилитсодержащих образований Кия-Шалтырского массива окончательно не решены. До последнего времени

эти породы рассматривались в составе формации постмагматических известняковых скарнов. Однако ряд фактов геологического порядка не согласуется с подобной концепцией: 1) среди уртитов и габбройдов встречаются ксенолиты мелилитсодержащих пород со "срезанной" полосчатостью, без каких-либо признаков сопряженного развития мелилита по эндоконтактовым разновидностям; 2) в экзо kontaktовом ореоле иногда фиксируются дайки и жилы ийолит-урититового состава, рассекающие полосчатые контактные породы; 3) наблюдается полное совпадение структурно-текстурного узора измененных и первичных полосчатых известняков; 4) на мелилитсодержащие породы накладываются поздние высокотемпературные процессы, приводящие к замещению первичной ассоциации комплексом новообразованных минералов - везувианом, красновато-фиолетовым диопсидом (антохроитом), флогопитом, кянитом, цеболлитом и некоторыми другими.

Совокупность перечисленных признаков, по нашему мнению, позволяет поставить вопрос о возникновении мелилитсодержащих парагенезисов в магматическую стадию становления Кия-Шалтырского юлочного массива. Часть минералов сформировалась в течение постмагматического этапа. Равновесная ассоциация мелилита, волластонита, кальцита, пироксена типична для высокотемпературной (пироксен-роговиковой, по В.В.Ревердатто) фации kontaktового метаморфизма карбонатных пород, недосыщенных кремнеземом. Вместе с тем вопрос о соотношении метаморфических (изохимических) и метасоматических явлений в описанном случае может быть решен лишь после проведения дополнительных исследований.

К ПЕТРОХИМИИ ПОРОД СОСНОВОГОРСКОГО ГАББРО-СИЕНИТОВОГО КОМПЛЕКСА ГОРНОЙ ШОРИИ

В.С.МУРЗИН

Западно-Сибирское геологическое управление,
Новокузнецк

Сосновогорский габбро-сиенитовый комплекс среднедевонского возраста был выделен нами в бассейне нижнего течения р.Мрас-Су (В.С.Мурzin и др., 1967). Кассины комплекса залегают среди

вулканогенных пород верхних горизонтов тельбесской серии девона, с которыми находятся в генетической родстве. Совместно с вмещающими толщами они приурочены к зоне глубинного разлома, отделяющего Кузнецкий прогиб от собственно Кузнецкого Алатау и образовались в субплатформенную стадию развития региона. Породы комплекса образовались путем вынуждения магматического расплава и делятся на две крупные группы (фазы) контрастных пород: габроидную и трахиандезит-сенинтовую. В третьем фазу образовались, по-видимому, нефелиновые сенинты, обломки которых встречаются в аллювии.

Анализ петрохимических особенностей показал следующее: породы комплекса являются дифференциатами обогащенной щелочами, особенно калием, несколько подщелоченной базальтовой магмы. Дифференциация ее шла в направлении увеличения щелочности пород, параллельно с ростом кислотности. От уровня наиболее щелочных пород первой фазы щелочность уже почти не возрastaла, дальше увеличивалась только кислотность пород и уменьшалось содержание щелоческих компонентов. Порядок дифференциации и ее направление были едины для обоих изученных массивов комплекса, Чебалсинского и Кендасского, с той разницей, что на правой плоскости петрохимической диаграммы А.Н.Заварицкого породы последнего на всех уровнях являются значительно более щелочными, чем их аналоги в Чебалсинском массиве.

Породы комплекса, особенно первой фазы, содержат повышенные количества глиноzemта, титана и фосфора. Им свойственны черты образования в обстановке высокого кислородного потенциала. Подавляющая часть пород комплекса относится к нормальному ряду.

Среди средних типов пород, по Р.Дали, аналогами пород первой фазы являются кварцевые габбро, отличающиеся лишь меньшим количеством щелочей, особенно калия, и эссекситы, а также монциониты, трахиандезиты и щелочноземельные авгитовые сенинты, т.е. ассоциации пород группы щелочных габроидов (по А.Н.Заварицкому, 1956).

Сравнение вариационных кривых Сосновогорского комплекса с кривыми пород Лассен-Пик и Сан-Франциско, представляющими андезитовую и трахиандезитовую формации Тихоокеанского пояса

(А.Н.Заварицкий, 1950), показывает, что на правой плоскости петрохимической диаграммы наименее щелочные породы комплекса отличаются от кривой Лассен-Пик несколько более высокой щелочностью. Высокощелочные породы первой фазы комплекса располагаются правее линии пород Сан-Франциско, а кривые пород второй фазы почти совпадают с этой кривой. На левой плоскости диаграммы кривые пород Лассен-Пик и Сан-Франциско в области кислых пород располагаются левее пород комплекса и почти совпадают с ними в ее нижней части. Наибольшую аналогию вариационные кривые пород комплекса, особенно Кендасского массива, имеют с породами Йеллоустонского парка, точнее хребта Абсарока (Заварицкий, 1950). И те и другие имеют очень высокую щелочность, и, самое главное, у них совпадает форма изгибов вариационных кривых, существенно отличающаяся от формы кривых Лассен-Пик и Сан-Франциско. Совпадение характерно для обеих плоскостей диаграммы.

Ассоциация пород Сосновогорского комплекса, судя по охарактеризованным в литературе аналогам, является типичной естественной щелочной ассоциацией (М.П.Кортусов, 1967) и очень близка к комплексам щелочных и субщелочных пород устойчивых областей (Ю.А.Кузнецов, В.Н.Довгаль, 1968).

О НОВОМ ТИПЕ ИНТРУЗИВНЫХ ОБРАЗОВАНИЙ В НИЖНЕ-МРАССКОМ РАЙОНЕ ГОРНОЙ ШОРИИ

В.С.МУРЗИН

Западно-Сибирское геологическое управление,
Новокузнецк

В нижнем течении р.Мрас-Су среди отложений тельбесской серии девона обнаружена интрузивная ассоциация, по возрасту, составу и другим особенностям отличающаяся от ранее известных додевонских и нижнедевонских интрузивных комплексов. Этой ассоциацией сложены субвуликанические тела, размещение которых контролируется трещинной тектоникой.

В настоящее время известно три участка распространения синтаксических пород, которые названы Чебалысинским, Кендасским и Ульчекским массивами. Названные массивы залегают в верхних

горизонтах тельбесской серии девона, которая расчленяется в районе на три свиты (снизу вверх): учленскую, таманскую и антроповскую.

Все массивы имеют однотипный петрографический состав и характеризуются присутствием габбро-диабазов, габбро-диоритов, гранит-порфиров, граносиенитов. Пространственно с характеризуемыми массивами слагают крупные глыбы нефелиновых сиенитов (Фойяитов), обнаруженные в аллювиевом левого притока р.Мрас-Су.

Изучение взаимоотношений двух контрастных групп пород в массивах позволяет прийти к выводу о том, что они сформировались в результате двух последовательных фаз внедрения: габброидной и граносиенитовой.

Среди пород первой фазы внедрения обнаружены габбро-диабазы, габбро-диориты, диориты и их фельдшпатизированные разности, имеющие состав эсекситов, сиенито-диоритов и сиенитов. Калиевый полевой шпат фельдшпатизированных габброидов метасоматически развивается по плагиоклазу и одновременно с этим первичный пироксен замещается биотитом.

Количественные взаимоотношения пород в массивах различны. Так, Чебальсинский массив оказывается существенно сложенным основными породами без отчетливых следов фельдшпатизации, а Келдасский и Ульчекский массивы слагаются обычным габброидами и их фельдшпатизированными разностями.

Породы второй фазы внедрения представлены, с одной стороны, плагиогранит-порфирами, гранит-порфирами, гранодиорит-порфирами, а с другой - гранит-порфирами и граносиенитами, которые характеризуются повышенной щелочностью. Гранит-порфиры и граносиениты развиты, главным образом, в участках интенсивной фельдшпатизации габброидов.

Химизм пород описываемых массивов охарактеризован рядом химических анализов. Породы первой фазы внедрения по химическим характеристикам близки к среднему кварцевому габбро, а фельдшпатизация разности - к эсекситу и даже к авантюровому сиениту. Породы второй фазы внедрения отличают риолиты, щелочные граниты и трахиты.

Возраст интрузивных массивов определяется как среднедевонский.

Анализируя формационную принадлежность изученной ассоциа-

ции, можно прийти к выводу о ее принадлежности к габбро-сиенитовому формационному типу. Чебальсинский, Келдасский и Ульчекский массивы обнаруживают некоторые черты сходства с plutонами Кийского габбро-сиенитового комплекса северной части Кузнецкого Алатау, отличаясь от них рядом существенных провинциальных особенностей.

На основе полученных материалов можно высказать предположение о наличии в Нижнеморском районе самостоятельного интрузивного комплекса, который целесообразно назвать Сосновогорским.

КИСЛЫЕ ВУЛКАНИЧЕСКИЕ ПОРОДЫ БЫСКАРСКОЙ СЕРИИ СЕВЕРО-ЗАПАДНОЙ ЧАСТИ ВОСТОЧНОГО САЯНА (бассейн р.Дербино)

В.П.ПАРИЧЕВ

Томский государственный университет

Кислые вулканические породы среднепалеозойского возраста широко распространены в северо-западной части Восточного Саяна и являются составной частью нижне-среднедевонской вулканогенной быскарской серии.

Быскарская серия сформировалась в результате наземной вулканической деятельности при тектоно-магматической активизации области завершенной складчатости. Она характеризуется сложным внутренним строением, обусловленным перемежаемостью вулканогенных пород разного состава. Нижние горизонты серии повсеместно сложены щелочными эливиновыми и толеитовыми базальтами.

Кислые вулканиты в составе серии отмечаются в виде двух относительно выдержаных толщ, отделенных друг от друга базальтоидами, а от подстилающих образований базальными конгломератами. В некоторых случаях наблюдается пространственное обособление кислых вулканитов от полей развития базальтоидных пород и непосредственное налегание их на докембрийский фундамент.

Типичной формой залегания кислых эфузивных пород являются короткие и мощные потоки, экструзии, дайки и купола.

По структурно-текстурным особенностям и минеральному сос-

таву среди кислых магнанитов нижней толщи выделяются базокварцевые, трахито-пиритовые, кварцодержащие и кварцевые трехлитиевые порфирь, их лаво- и пирокласты. В минеральном составе этих пород преобладают щелочные полевые шпаты и кварц, присутствуют ионоклиновые пироксены и слады. Порфиритные выделения представлены исключительно щелочными полевыми шпатами.

В составе второй (верхней) толщи наряду с вышеописанными породами отмечаются щелочные базокварцевые и пантеллеритовые порфирь. Для них характерна постоянная ассоциация с щелочными трахитовыми и фонолитовыми порфирами. В минеральном составе этих пород постоянно присутствуют щелочные пироксены и амфиболы.

В петрохимическом отношении кислые вулканические породы обеих толщ обнаруживают близкие свойства, проявляющиеся в их относительной обогащенности окислами железа, щелочей и в пониженном содержании окиси кальция. Пантеллеритовые порфирь повсеместно пересыпаны щелочами ($\delta=0.3-1.2$).

По вопросу о генезисе кислых салических вулканитов Быкарской серии нет единого мнения. Более позднее по отношению к базальтоидному проявлению кислого вулканизма, значительные объемы кислых пород и их связь с кальдерообразованием позволяют считать большую часть этих пород продуктом плавления салического субстрата.

ИНТРУЗИВНЫЙ МАГМАТИЗМ ИРБИНСКОГО ЖЕЛЕЗОРУДНОГО РАЙОНА

Н.В. НЕРФИЛЬЕВА

Сибирский научно-исследовательский институт геологии, геофизики и минерального сырья, Новосибирск

В Ирбинский железорудный район входят месторождения - Ирбинское, Изыгское, Бурлукское, Мульгинское, Энаменское, Таловское, рудопроявления - Курское, Кордовское, Краснореченское, Краснодарское, Иокинское, Камышковское и многочисленные геофизические аномалии.

Район сложен эфузивно-осадочными образованиями кембрия (колпинская, балахисонская, тарбатская, осиновская и кизир-

ская свиты), смекро-девона (маматская, тиланская и имирская свиты) и интрузивными породами.

Интрузивные породы представлены габбро, габбро-диоритами, диоритами, кварцевыми дюоритами, гранодиоритами, гранитами, монцонитами, сиенитами, граносиенитами и щелочными гранитами. Они группируются в таятский (Альбрайдный, Си₃-О), ольховский (гранодиоритовый, О), ирбинско-краснокаменский (граносиенитовый, С₂-Ф₁) комплексы и слагают массивы Бурлукско-Кордовский (существенно гранодиоритовый), Ирбинский и г. Сидоровский Урал (существенно граносиенитовые) и ряд более мелких штоков и тел.

По данным наших исследований, перечисленные породы района составляют единую генетическую серию с длительной историей развития (Си₃-Ф₁), интрузивные комплексы которой отвечают фазам или крупным актам внедрения магмы.

Принадлежность интрузивных пород к едию многофазной генетической серии вытекает из их пространственной сопряженности, унаследованности минерального состава, петрографических черт, закономерного изменения химизма и петрохимических характеристик.

Анализ петрохимических диаграмм позволяет проследить по главнейшим пордообразующим компонентам эволюцию этой генетической серии в целом, а также характерные особенности каждой интрузивной фазы. По величине индекса Пикока, равного 58, эта серия относится к андезит-диорит-гранодиоритовой, что в совокупности с геологическими данными дает основание считать исходную магму рассматриваемой интрузивной серии гранит-гранодиоритовой.

В районе устанавливается 2 этапа метасоматического магнетитового оруденения (Богацкий, 1962), вклинивающихся по времени между таятским и ольховским (Мульга) и между ольховским и ирбинско-краснокаменным (Ирба, Изыг и др.) комплексами. Оруденение связывается с магматическим этапом становления ольховского и ирбинско-краснокаменного комплексов и предшествует, как и в соседнем Краснокаменском железорудном районе (Корель, 1966), кристаллизации магмы ядерных частей интрузивных массивов.

О "ПОСТЕПЕННЫХ ПЕРЕХОДАХ" МЕЖДУ МЕТАМОРФИЧЕСКИМИ
И НЕМЕТАМОРФИЧЕСКИМИ ПОРОДАМИ (к вопросу о
конвергенции признаков)

А.И. РОДЫГИН

Томский государственный университет

Сходные по внешней форме, а иногда и внутреннему строению геологические образования могут иметь принципиально разное происхождение. Любой случай конвергенции признаков заслуживает всестороннего изучения, так как без этого возможны существенные ошибки в интерпретации геологического строения и геологической истории.

В геологической литературе нередко встречаются упоминания о "постепенных переходах" между метаморфическими и неметаморфическими или слабее метаморфизованными породами. Такие переходы часто трактуются как доказательство прогрессивного метаморфизма со всеми вытекающими из этого вывода последующими построениями (о зональном характере метаморфизма, о локализации наиболее подвижных в тектоническом отношении зон, о градиентах температуры и давления, привносе и выносе вещества и т.д.).

Не отрицая возможности локального прогрессивного метаморфизма, который во многих случаях доказан убедительно, необходимо отметить, что сущность "постепенного перехода" может быть совсем иной. Переходы между породами разных метаморфических фаций (между "слабо" и "сильно" метаморфизованными) могут возникнуть не только в результате локального (зонального) прогрессивного метаморфизма, но и в результате регрессивного метаморфизма, диафтореза и других разновидностей динамометаморфизма. При недостаточно внимательном наблюдении или ограниченном количестве фактических данных, а также в случае диафтореза, прошедшего до конца, до полного исчезновения метастабильных реликтов, диафториты легко принять за "слабо метаморфизованную исходную породу". Этому способствует и то обстоятельство, что типичные диафториты местами могут испытать частичную последующую перекристаллизацию, и тогда картина "прогрессивного" метаморфизма станет еще правдоподобнее. Некоторые разновидности

бластомилонитов и милонитов легко принять за слабо или вообще неметаморфизованную породу (филлитизированный глинистый сланец, песчаник, гравелит, конгломерат типа пуддинга и т.д.). Ошибочное заключение о природе таких образований повлечет за собой соответствующие построения по всем другим вопросам (стратиграфии, тектонике и т.д.).

Контактовые зоны между метаморфическими и неметаморфическими или вообще разнофациальными породами – чрезвычайно интересные объекты, заслуживающие углубленного структурно-петрологического изучения как полевого, так и лабораторного. Пестрота метаморфических фаций на ограниченных участках подвижных тектонических зон должна всегда настораживать. Недостаточно изученный постепенный переход, каким бы очевидным он ни казался, не может служить доказательством ни той, ни другой гипотезы до тех пор, пока не раскрыта его истинная сущность.

О КЕРАТОФИРО-СПИЛИТОВОЙ ФОРМАЦИИ ОРТОНСКОГО РАЙОНА
(Горная Шория)

Н.В. Танский, М.Е. Карев

Западно-Сибирское геологическое управление,
Новокузнецк

Образования, относимые к кератофиро-спилитовой формации, слагают линейно-вытянутую в северо-восточном направлении полосу шириной 1,5-3 км, протягивающуюся от левобережья р.Канаса (левого притока р.Ортона) на юго-западе до истоков р.Федоровки на востоке более чем на 25 км. Они представляют северо-западное крыло синклинальной структуры, захваченное в грабене кремнисто-карбонатными отложениями енисейской серии, и отнесены к усть-анзасской свите верхнепротерозойско-нижнекембрийского возраста, со-поставляемой с манжеровской свитой Горного Алтая и нижнемонокской свитой Западного Саяна.

По составу свита является вулканогенно-осадочной с резким преобладанием вулканогенных образований. Преимущественное развитие в сложении свиты имеют основные эфузивы: спилиты, альбитизированные и хлоритизированные диабазы и диабазовые порфириты, частью превращенные в различного вида полевошпат-амфиболо-

ые и альбит-амфиболовые сланцы.

Спилиты содержат большое количество прослоев серпидит-кварц-полевошпатовых сланцев по туфам, рассланцованных туфов, кислых эфузивов, кварцитов, крауритизированных и доломитовых известняков, мраморов.

Процессы зеленокаменного метаморфизма до такой степени изменили первичный облик эфузивных пород, что они в большинстве своем утратили первоначальную структуру. По этой причине не представляется возможным проследить отдельные потоки эфузивов по простирианию.

Только более детальными лабораторными исследованиями нам удалось выделить более или менее уверенно центральные части потоков. Так, в обнажениях на правом борту р.Ортона выделены кварц-полевошпат-амфиболовые породы (мощн.20 м), слагающие нижнюю часть покрова диабазовых порфиритов. Текстура этих пород брекчевидная: обломки эпидот-полевошпат-актинолитового агрегата размерами до 1 см сцеплены микрогранобластовым кварц-актинолит-эпидотовым агрегатом. Выше наблюдается постепенный переход к диабазовым порфиритам. Породы частично сохраняют диабазовую структуру, появляются вкраплениники альбитизированного плагиоклаза и актинолитовой роговой обманки. Верхние части потока представлены амфиболизированными диабазами (мощн. 30 м). Для них характерна гранобластовая, реликтовая диабазовая структура. Наблюдается постепенный переход амфиболизированных диабазов к полевошпат-амфиболовым сланцам и эпидот-амфиболовым породам (мощн.40 м), являющимся кровлей потока. Породы приобретают порфиробластовую, нематобластовую структуру; заметно увеличивается размер зерен актинолитовой роговой обманки и эпидота, появляются мономинеральные эпидот-актинолитовые породы.

Химический анализ амфиболизированных диабазовых порфиритов и полевошпат-амфиболовых сланцев указывает на их близость к базальтам (Р.Дэли). На петрохимической диаграмме А.Н.Заварницкого диабазовые порфириты занимают промежуточное положение между базальтами и диабазами.

Для кислых эфузивов характерна пересыщенность глиниземом. Относятся они к группе пород, пересыщенных кремнеземом и богатых щелочами. Характерно резкое преобладание калия над натрием и низкое содержание полевошпатовой извести.

Изучение образований кератофиро-спилитовой формации представляет не только теоретический, но и практический интерес. Так, с усть-анзасской свитой района тесно связано проявление железных руд ("канасские сланцы"), облицовочных материалов (розовые мраморы), редких, благородных и рассеянных элементов.

ПЕТРОХИМИЧЕСКИЕ ОСОБЕННОСТИ ДЕВОНСКИХ ВУЛКАНИТОВ СЕВЕРО-ЗАПАДНОЙ ТУВЫ

И.С.Туркин, Е.Г.Буй

Сибирский научно-исследовательский институт геологии, геофизики и минерального сырья, Новосибирск

На сопряжении Саяно-Тувинских структур широко распространены контролируемые региональными глубинными разломами девонские вулканогенные породы, слагающие секущие и стратифицированные тела габбро, габбро-диабазов, диабазовых порфиритов, андезитов, дацидов, порфиров, их туфов, туфолов и брекчий. Все эти образования представляют собой жерловые фации вулканитов единой андезит-дацитовой серии.

Относительная распространенность отдельных членов этой серии в разрезе и в ареале закономерно изменяется: сверху вниз и с востока на запад (в пределах рассматриваемого Кызылхашского грабена) постепенно возрастают основность пород и роль экструзивных дайковых, штоковых и неправильной (иногда субпластиевой) формы секущих тел.

Химический состав вулканитов отличается избыточным количеством двух- и особенно трехвалентного железа, кальция и титана, неравномерным (возрастающим от кислых к основным) содержанием магния и натрия и недостатком калия (за исключением метасоматически измененных кислых разностей андезит-дацитовой серии). Остаточный газовый состав вулканитов представлен

CO_2 , SO_3 , Cl , H_2S и др. и в целом тождествен газовому составу современных вулканов с подобным составом излившихся пород. Содержание алюминия отвечает нормальному ряду андезитов, а кремнезема несколько завышено. Видимо, поэтому широко

развиты в дифференциатах этой серии кварцсодержание разности диабазов, андезитов и значительна роль порфиров.

Преобладание минералов с избыточным кислородом, слабое развитие зеленокаменного изменения и широкое распространение гидротермальной поствулканической аргиллизации свидетельствует об аэальных условиях вулканизма. Широкое развитие миндалекаменных и брекчевых текстур, эксплозий, туфобрекций говорит о значительной газонасыщенности магмы. На значительную газонасыщенность магмы указывает и широкий ареал поствулканического изменения пород, выразившегося в пропилитизации, карбонатизации, аргиллизации и каолинизации, и образовании вторичных кварцитов.

Характер преимущественного изменения пород обусловлен составом поствулканических растворов и типом изменяемых пород. Метасоматическая колонна в вертикальной разрезе зональна: вверху располагаются вторичные кварциты и гидротермальные аргиллиты, карбонаты, ниже каолиниты, гидрослюды, далее цеолиты (зона альбитизации) и внизу пропилиты (кварц-хлорит-эпидот-карбонатные породы). Однако границы зон весьма нечетки. Основные минералы поствулканического изменения (карбонаты, хлориты, гематит, каолинит, кварц), видимо, имеют две и более генераций. Это указывает на длительный процесс поствулканического преобразования, начавшегося синхронно с вулканизмом и продолжавшегося после его завершения. Именно с последней фазой поствулканического изменения связывается основное ртутное орудение Северо-Западной Тувы.

ТУМСКИЙ КВАРЦ-КЕРАТОФИРОВЫЙ КОМПЛЕКС НА ВОСТОЧНОМ СКЛОНЕ КУЗНЕЦКОГО АЛАТАУ

В.Л.ХОМИЧЕВ

Сибирский научно-исследовательский институт геологии, геофизики и минерального сырья, Новосибирск

Кислые эфузивы в докембрийских и раннепалеозойских отложениях отмечались неоднократно, но из-за трудностей сопоставления разрезов они не имеют до сих пор возрастной и формационной определенности. Тем более не изучены условия их залега-

ния, формы тел, фации и взаимосвязи с другими породами.

На современном этапе представляется возможным говорить о двух уровнях развития кислых вулканогенных пород.

1) Низкий - поздний докембрий (коммунаровская свита и ее аналоги). Кислые эфузивы ассоциируют с диабазами в узких подвижных эвгеосинклинальных зонах. 2) Верхний - нижнекембрийский (богоюльская, сыйская свита),

Кислые эфузивы и связанные с ними субвулканические интрузии образуют самостоятельный кварц-кератофировый комплекс, названный нами Тумским. Локализуется он в изометричных пассивных миогеосинклинальных блоках в конце собственно геосинклинальной стадии, предваряя гранитоидный магматизм орогенного этапа.

Основу комплекса составляют серые кварцевые и базокварцевые биотит-роговообманковые кератофиры с вкраплениками кислого плагиоклаза, кварца и реже ортоклаза в фельзитовой, гранат-фировой или микрогранитовой основной массе. Изредка появляются розовые ортофировые и сиенит-порфировые фации. В интрузивных субвулканических штоках породы довольно хорошо раскристаллизованы, имеют полифировую структуру и диоритоподобный облик.

Несмотря на большое сходство минералогического состава, эфузивные и интрузивные кварцевые кератофиры заметно отличаются по химизму, что является отражением несколько отличных условий их становления. Первые содержат больше кремнеокислоты и меньше глиноzemата, извести и окиси калия. На диаграмме А.Н. Заварецкого, на правой половине, вектора эфузивных кератофиров полого наклонены к вертикальной оси, что говорит о постоянном выдергивании пересыщении их глиноzemом. Для интрузивных аналогов этого не наблюдается, несмотря на более высокое абсолютное содержание в них окиси алюминия.

Эфузивные кварцевые кератофиры являются составной частью сийской (богоюльской) свиты верхов нижнего кембра и этим определяется возраст комплекса в целом. Галька его пород встречена в среднекембрийских конгломератах верхнетинской (большеберинской) свиты восточнее ст. Ербинская.

Металлогения кварц-кератофирового комплекса изучена недостаточно. Имеются указания на связь с ним мелких рудопроявлений свинца и цинка на Сарале, что заслуживает особого внимания, поскольку для этой формации характерно полиметаллическое оруденение и в том числе крупные месторождения (например, на Салайре).

СОСТАВ И СТРУКТУРЫ НЕФРИТОВ ВОСТОЧНОГО САЯНА

Н.С. ЯКИШИН, Р.С. ЗАМАЛЕТДИНОВ, А.Н. СУТУРИН

Институт геологии СО АН СССР, Иркутск

В последние годы в Восточно-Саянском гипербазитовом пояссе выявлено два новых крупных месторождения нефрита - Улан-Ходинское и Осининское (Замалетдинов и др., 1971 г.). Месторождения представлены целым рядом метасоматических залежей нефрита размером от 0,2x1 м до 3x60 м, с широким колебанием цветовой гаммы этого поделочного камня от густо-темновзеленой до молочно-зеленой и различными текстурно-структурными особенностями.

В нефритах Восточного Саяна наблюдаются звездчатая (сферолитовая), сланцеватая (параллельная), массивная, спиловидная, прожилковая и конгломератовидная макротекстуры. Массивные нефриты обладают наиболее ценными поделочными свойствами, сланцеватые уступают им в прочности, благодаря способности раскалываться в одном направлении.

Е. Кальковский еще в 1906 г. выделил спутанноволокнистую, радиально-лучистую, сферолитовую, волокнистую, волнистую, пуховую и крупнозернистую (мозаичную) структуры в нефритах Апеннин. Микроструктуры Восточно-Саянских нефритов довольно схожи с теми, что описал Е. Кальковский. Согласно классификации структур, принятой в СССР (Половинкина, 1966), в нефriteх новых месторождений наблюдаются нематобластовая центрическая на основном фоне фибробластовой, параллельно-волокнистая (спутанно-параллельно-волокнистая), фибробластовая (спутанно-волокнистая), порфиробластовая спиловая с фибробластовой основной тканью и др. Перламутровый блеск у чешуек tremolita в нефритах, обладающих порфиробластовой спиловой структурой, придает им повышенные декоративные свойства. Однородная фибробластовая (спутанно-волокнистая или пуховая) структура характерна для высококачественных сортовых разновидностей нефритов, хорошо просвечивающих в сколах толщиной 5-8 мм. Особый декоративный рисунок отнесен для нефритов, обладающих звездчатой и прожилковой и конгломератовидной текстурами.

Нефриты слагаются спутанно-волокнистыми агрегатами-пучками

- 220 -

тремолитовых волокон. Один пучок состоит из 1-3 десятков субпараллельных изогнутых волокон размером от 0,0005x0,01 мм до 0,01x0,52 мм. Пучки tremolитовых волокон тесно переплетаются с определенными агрегатами.

Светло-зеленые и зеленые нефриты обладают меньшим содержанием залежного железа, чем темно-зеленые. Химический состав этих двух разновидностей представляется в таблице.

№/п	SiO_2	TiO_2	Al_2O_3	FeO	MgO	CrO	CaO	Na_2O	K_2O	CeO_2	H_2O	Сумма
1	56,35	0,05	2,19	0,43	3,49	22,84	0,07	11,83	0,20	0,60	0,56	1,28 99,82
2	56,61	0,07	1,58	0,29	5,12	21,23	0,17	12,76	0,19	0,06	0,31	1,08 99,47

1. Светло-зеленый нефрит. 2. Темно-зеленый нефрит.

Интенсивность зеленой окраски нефритов связана с содержанием в их составе залежного железа, а яркость ее, возможно, зависит от содержания хрома. В образцах из отдельных жил отмечаются участки ярко-зеленого нефрита вокруг реликтовых зерен хромшипелидов, замещенных в краевых зонах магнетитом. Выносимый при магнетитизации хром, по-видимому, входил в состав tremolита, что и явилось причиной изменения окраски.

МЕТОДЫ ИССЛЕДОВАНИЯ,
ГИПОТЕЗЫ,
ЭКСПЕРИМЕНТ

ВЛИЯНИЕ ДАВЛЕНИЯ ВОДЫ НА ПРОЦЕССЫ КРИСТАЛЛИЗАЦИИ
В СИСТЕМЕ ДИОПСИД-АНОРТИТ-АЛЬБИТ-НЕФЕЛИН
/по термодинамическим расчетам/

И.П.ЛДАМЧУК

Томский государственный университет

Значительная часть нефелиновых пород является дифференциатом одиозин-щелочно-базальтовой магмы. Поэтому представляет интерес рассмотреть влияние воды на ход равновесной кристаллизации в гипобазальтовой и пограничной с ней альбит-анортит-нефелиновой системах при средних давлениях воды. Ввиду отсутствия данных по экспериментальному исследованию этих систем в присутствии воды, ликвидусные кривые рассчитывались по уравнению Шредера:

$$\lg N = \frac{\Delta H_{\text{пл}} \cdot (T - T_{\text{пл}})}{4575 \cdot T \cdot T_{\text{пл}}} ,$$

где N - мольная доля компонента, $\Delta H_{\text{пл}}$ и $T_{\text{пл}}$ - теплота плавления и температура плавления /в градусах Кельвина/ и T - заданная температура. При расчетах были использованы экспериментальные значения $N_{\text{пл}}$ и $T_{\text{пл}}$ при давлениях воды в 1,2,3 и 4 кб.

По этому уравнению были рассчитаны ликвидусные кривые диопсидса, анортита, альбита и нефелина, графически определены двойные эвтектики диопсид+анортит, диопсид +альбит, нефелин+анортит и нефелин+альбит и построены котектические кристаллизационные кривые системы диопсид-анортит-альбит-нефелин.

Анализ фазовой диаграммы состояния этой системы при первомном давлении воды показал, что:

1. С повышением давления воды расширяется поле кристаллизации наиболее слабых оснований, а именно: в системе диопсид-анортит-альбит - поле первичной кристаллизации диопсида, а в системе альбит-нефелин-анортит - поле первичной кристаллизации основного плагиоклаза.

2. При кристаллизации гипобазальтового расплава в условиях повышающегося давления воды остаточный расплав будет обогащаться анортитовой молекулой, а именно: при давлении воды в 1 кб в эвтектике диопсид+анортит содержится анортита 43%, при 2 кб - 48.2%, при 3 кб - 52.5% и при 4 кб - 56%.

3. Широкое поле первичной кристаллизации плагиоклазов в данной системе и смещение его с ростом давления воды к вершине нефелина показывает возможность образования нефелинового расплава из гиплобазальтового - при фракционной кристаллизации /с удалением кристаллов диопсида/ остаточный расплав будет смещаться в сторону нефелина. Это согласуется с экспериментальными данными Куширо и Йодера, установившими, что плоскость альбит-диопсид-анортит не является тройной и не может служить температурным барьером между насыщенными и недосыщенными кремнеземом расплавами при любых давлениях.

4. Наиболее важна роль переменного давления воды для кристаллизации нефелинсодержащих расплавов. Эвтектика анортит+нефелин с повышением давления воды обогащается нефелином: при 1 кб эвтектика содержит 80.5% нефелина, при 2 кб - 90%, при 3 кб - 92.5% и при 4 кб - 96.5%. Следовательно, с увеличением давления воды на ликвидусе плагиоклаз+нефелиновой котектики будет накапливаться нефелин, что может привести к образованию пород ийолит-уртитового ряда, генетически связанных с оливино-щелочно-базальтовой магмой.

КАМЕННОЕ ЛИТЬЕ ИЗ НЕФЕЛИНОВЫХ ПОРОД

И.К.БАЖЕНОВ, И.П.АДАМЧУК, В.М.ЯКОВЛЕВ

Томский государственный университет

В связи с дальнейшим развитием алюминиевой промышленности Западной Сибири в ближайшем будущем станут эксплуатироваться и такие месторождения нефелиновых руд, как Горячегорское месторождение ийолит-уртитов и тералито-сиенитов. При комплексной переработке нефелиновых руд получают глинозем, цемент, соду, поташ и титано-магнетитовый концентрат. Темноцветные же минералы идут в отвал. В горячегорских нефелиновых рудах содержится 15-20% и даже до 30% темноцветов. Следовательно, примерно 15-20% стоимости переработки тонны нефелиновых руд идет в отвал.

Химический анализ этих хвостов показал, что они по своему составу близки к базальтам и пироксенитам. Поэтому в лаборатории экспериментальной минералогии и геохимии Томского

университета были проведены две серии опытов по использованию хвостов для получения каменного литья: а/ с отвальным хвостами флотационного обогащения горячегорских нефелиновых руд и б/ с электромагнитной фракцией пегматоидных ийолитов Кия-Шалтырского месторождения.

В первом случае начало спекания отмечалось при 970°C, при 1040-1050°C - плавление. Такучим расплав становился при 1200°C. Стекло затем рекристаллизовалось при температурах порядка 1000-600°C в течение 20-40 минут. Полученные образцы обладали фарфоровидным сложением. Их микротвердость близка 800 кг/мм², а растворимость в соляной, серной и азотной кислотах и "царской водке" в течение суток составила тысячные доли процента.

Добавки флюсов / NaF, Na₂CO₃, CaCO₃ / снизили температуру плавления и вязкость расплава, вместе с тем значительно снизилась и механическая прочность образцов.

Электромагнитная фракция пегматоидных ийолитов Кия-Шалтырского месторождения имела состав, близкий титан-авгиту. Плавление ее начиналось примерно при 1000°C, гомогенный расплав становился при температуре выше 1200°C. Добавка известняка почти не влияла на температуру плавления, но несколько снизила вязкость расплава. Рекристаллизация стекла произошла в течение 1-4 часов в естественно охлаждаящейся от 1000 °C до 40°C печи. По сопротивлению сжатию /около 760 кг/мм²/ и кислотостойкости полученный материал близок предыдущему, отличаясь лучшей рекристаллизованностью.

Таким образом, отвальные хвосты могут быть использованы в петрографии для получения качественного литья, которое сможет заменить металлы во многих отраслях народного хозяйства. Это сделает использование нефелиновых руд более комплексным и экономичным.

РАЗВИВАТЬ ГЕОМОРФОЛОГО-ТЕКТОНИЧЕСКИЕ МЕТОДЫ ПРОГНОЗИРОВАНИЯ МЕСТОРОЖДЕНИЙ ПОЛЕЗНЫХ ИСКОПАЕМЫХ

А.Г.БАКИРОВ

Томский политехнический институт

Известна роль различных дисъюнктивных и пликативных тек-

тонических форм в контроле и локализации оруденения. Хорошо знакомо влияние, которое оказывают тектонические факторы на рельеф, ориентировку речных долин, конфигурацию морского побережья, простирание островов архипелагов.

Возможны определенные взаимоотношения между местами локализации полезных ископаемых и формами рельефа. Последние могут быть связаны с некоторыми тектоническими зонами и участками, которые раньше являлись благоприятными для оруденения. Унаследованность тектонических форм и подвижек, селективность выстраивания благоприятствуют проявлению тех или иных связей упомянутых геологических объектов. Эти связи лежат в основе геоморфологических методов поисков месторождений полезных ископаемых. Их сущность и способы практического применения отражены в трудах Т.В.Звонковой (1959), Ю.Г.Симонова и А.П.Луканова (1966), А.И.Сизикова (1968) и других исследователей, в которых подчеркивается непосредственная связь элементов рельефа и тектонических форм на участках локализации полезных ископаемых.

Практика геологических изысканий настоятельно ставит вопрос о необходимости дальнейшего развития и совершенствования геоморфологических методов прогнозирования и поисков месторождений полезных ископаемых различного генезиса. Возникает потребность и в более широком охвате различных явлений, фиксирующих все многообразие связей в пространстве и времени размещения месторождений, элементов рельефа, отдельных морфоструктур и тектонических форм, а также участков проявления новейших подвижек. При этом имеются в виду такие взаимоотношения вышеупомянутых объектов, когда их связи выглядят более отдаленными и не непосредственными, а опосредствованными, косвенными, когда участки локализации полезных ископаемых находятся на некотором удалении от соответствующих элементов рельефа и тектонических форм.

В этой связи автором ставится вопрос о введении в геологическую практику и терминологию понятия о рудоуказателях. Ими будем называть различные объекты геологического, геоморфологического и географического характера, чаще всего линейные, отмечающие направления на тот или иной рудный район или месторождение. Последние, занимая прифланговое положение по отношению к рудоуказателям, находятся на различном удалении

от них; рудоуказатели "нацелены" со стороны на участки локализации полезных ископаемых. При прогнозировании несомненно привлекут внимание узлы пересечения направлений рудоуказателей, "нацеленных" с разных сторон на тот или иной участок, который вероятнее всего будет представлять собой место локализации полезного ископаемого.

Рудоуказателями могут быть глубинные разломы (явные и скрытые) и их отдельные разноориентированные отрезки, другие дислокации, дайки, осевые линии складок, дайковых полей и впадин, цепочки островов архипелагов, отрезки речных долин и береговых линий моря и другие объекты. Во многих случаях рудоуказатели отражают направления длительно и унаследованно развивавшихся структур; характеризуют они и прифланговые зоны повышенной трещиноватости.

Некоторые вышеупомянутые и иные геологические, геоморфологические и географические объекты выступают в качестве рудоуказателей на территориях Советского Союза, США, Китая, Бразилии, Греции, Албании, Кубы, Индонезии и других стран. Приведем примеры месторождений и "нацеленных" на них рудоуказателей. Урал-Тагило-Кушвинский железорудный район и субширотный скрытый разлом Западного Приуралья, Аккермановский рудный узел и осевая линия поперечной складки того же наименования; Казахстан-Адильбек-Ангренская группа никелевых месторождений и каледонские глубинные подвижные зоны в виде неоперенной стрелы; Албания - осадочные железорудные месторождения районов Эльбасан-Поградец и отрезок долины р.Шумиби; Куба - район никелевых месторождений и осевая линия Каутского наложенного прогиба; Индонезия (остров Сулавеси) - район развития месторождений меди, железа и других полезных ископаемых и цепочка островов архипелага (Сула, Оби, Мисоол); Филиппины - железо-никелевое месторождение Суригао находится на пересечении направлений рудоуказателей: скрытого разлома в акватории западнее острова Негрос и цепочки островов архипелага Сулу.

Вышеупомянутые геоморфологические, а также морфометрический методы, включая и предлагаемый автором метод рудоуказателей, целесообразно выделить в самостоятельную группу геоморфологотектонических методов прогнозирования и поисков месторождений полезных ископаемых. В её названии отражены геомор-

фология и тектонике, элементы которых в их взаимном сочетании и проникновении определяют как сущность методов, входящих в группу, так и практические примеры их применения.

Проблема выделений рудоуказателей и использования их для целей прогнозирования рассмотрена в общем виде, в порядке постановки вопроса. Необходима её дальнейшая разработка и конкретизация применительно к различным полезным ископаемым и разнообразным формам связей тектонических, геоморфологических и рудообразующих факторов.

ПЕРЕКРИСТАЛЛИЗАЦИЯ СФАЛЕРИТА ИЗ РАСТВОРА В РАСПЛАВАХ СОЛЕЙ И МЕТАЛЛОВ

И.Д.БАБАНСКИЙ, А.Д.СТРОИТЕЛЬ, А.И.ЧЕРНЫШОВ

Томский государственный университет

С развитием электронной техники возникла острая потребность в кристаллах минералов типа $A^I B^II$, в том числе сфалерита. В природных объектах, несмотря на то, что сфалерит является ведущим минералом цинка, чистые и бездефектные его кристаллы представляют исключительную редкость. Поэтому единственным решением проблемы является получение искусственных кристаллов сфалерита.

Анализ литературы по проведенным в этом направлении исследованиям показывает, что они находятся на стадии лабораторного поиска методов выращивания и их совершенствования применительно к сфалериту.

С учетом кристаллохимических особенностей ZnS , синтез кристаллов сфалерита принципиально возможен лишь методами, температурный режим которых не превышает точку полиморфного превращения $\beta ZnS \rightleftharpoons \alpha ZnS$. Согласно геохимическим предпосылкам, этому условию отвечают в первую очередь методы: гидротермальный и газотранспортных реакций, являющиеся схематической моделью гидротермального и эманационного процессов природного минералообразования. Но как показывают результаты разных исследователей, кристаллизация сфалерита из водносолевой или газовой среды является трудноуправляемым процессом, а выращенные кристаллы по отдельным параметрам не отвечают

предъявляемым к ним требованиям.

В последнее время были предприняты попытки получить кристаллы сфалерита методом из раствора в расплаве (Mita 1962, Строителев и др. 1965; Harzy 1967, 1968; Parker и др. 1968, Linares 1968). Основным преимуществом этого метода является мобильность среди кристаллизации, которая представлена расплавом легкоплавких веществ, в достаточном количестве растворяющих ZnS без его разложения и не образующих с ним твердых растворов.

В лаборатории экспериментальной минералогии и геохимии при проведении исследований по перекристаллизации ZnS с этой целью были проверены расплавы галоидных солей - KCl , $NaCl$, $ZnCl_2$, KJ и металлов - Sn , Zn , Pb и Bi , температура плавления которых ниже $1050^\circ C$.

В зависимости от термодинамических параметров каждого из этих расплавов, кристаллизация сфалерита проводилась в диапазоне температур от 600° до $1000^\circ C$ и осуществлялась путем понижения температуры всей системы или постоянного температурного градиента. В качестве исходной плавки сульфида цинка применялся химреактив марки "д/люминофоров" в виде порошка или таблеток.

В результате проведенных экспериментов было установлено следующее: 1. Сульфид цинка растворяется во всех исследуемых расплавах солей без образования новых фаз с последующим выделением кристаллов сфалерита при их затвердевании. Наибольшая растворимость ZnS установлена в расплаве хлористого цинка, обладающего низкой температурой плавления и общностью катиона. Однако из-за высокой упругости пара $ZnCl_2$ быстро переходит в газообразное состояние, что нередко сопровождается появлением цинкита. Для понижения летучести его в систему вводилась добавка KCl до 20-30% или использовались эвакуированные ампулы. 2. При резком охлаждении системы сфалерит выделяется из расплавов солей в виде мелких дендритных агрегатов. С уменьшением скорости охлаждения до $10^\circ C$ в час кристаллы сфалерита характеризуются иглообразным обликом или образуют двумерные дендриты, достигая 5-7 мм в длину. В опытах с постоянным температурным градиентом, хотя и происходило образование изометрических или пластинчатых кристаллов сфалерита, но скорость их роста была очень мала. Выросшие за

две суток кристаллы при $\Delta t = 3-5^{\circ}\text{C}$ не превышали 1,5 мм.

3. По сравнению с расплавами солей, в расплавах металлов наблюдаются более существенные различия в поведении сульфида цинка. В расплавах свинца и висмута он растворяется в очень малых количествах, а расплав цинка снижает при этом температуру его полиморфного перехода до 750°C . Относительно высокая растворимость сульфида цинка установлена в расплаве олова, который и был использован в качестве среды кристаллизации сфalerита. 4. На данном этапе работ из раствора в расплаве олова были уже выращены кристаллы сфalerита пластинчатого габитуса, размером $12 \times 6 \times 0.2$ мм и изометричной формы до 3 мм. в поперечнике, что дает основание считать этот растворитель перспективным для получения более крупных и совершенных кристаллов $\beta\text{-ZnS}$ данным методом.

МАГМООБРАЗОВАНИЕ КАК ГЛУБИННОЕ ОЖИЖЕНИЕ

В.В.БОГАЦКИЙ

Сибирский научно-исследовательский институт
геологии, геофизики и минерального сырья,
красноярское отделение

Одним из возможных механизмов магмообразования принято считать массовое переплавление твердых горных пород /ТГП/. Следовательно, оценка этого механизма может быть сведена к анализу условий ожигания ТГП в литосфере.

Устойчивость ТГП в литосфере зависит от их состава, напряженности поля силы тяжести /гравитационной постоянной/ и числа протонов и нейтронов, которое для вещества земли равно $3 \cdot 10^{51}$.

В.Вайскопф /Успехи физических наук, том 103, вып.1, 1971г./ показал, что ожигание в корневых частях блоков литосферы возможно, когда "толщина" / h / слоя ТГП достигает критического значения, т.е. $h > \frac{E_{\text{om}}}{Ampg} /l/$, где E_{om} - энергия "ожигания", т.е. скрытая теплота плавления в расчете на одну молекулу; g - ускорение силы тяжести; m_p - масса протона; A - атомный вес ТГП.

Поскольку плавление не является разрывом межатомных связей, а

лишь нарушением их направленности, то энергия ожигания составляет примерно 0,1 энергии связи. Расчеты показывают, что блок литосферы, сложенный кремнеземом, начнет ожигаться в своих корневых частях при $h > 40$ км.

Реальное ожигание начнется на меньших глубинах, поскольку исходный уровень прогретости ТГП значительно выше, чем это предусмотрено /I/, и, следовательно, процессы плавления /магмообразования/ возможны на глубинах значительно меньше 40 км. Процессы магмообразования /при неизменных m_p и g / будут варьировать в зависимости от минерального состава /атомного веса/ ТГП. Из /I/ следует, что глубина магмообразования обратно пропорциональна атомному весу кристаллического вещества ТГП. Допуская, что "железное ядро" содержит в кристаллическом состоянии элементы от титана до никеля, глубина магмообразования окажется сходной (расчитанной) для кремнезема. Принимая молекулу SiO_2 в качестве исходного эталона, можно говорить, что глубина ожигания кристаллических систем большого атомного веса, т.е. их переплавления, будет тем меньше, чем легче молекула этого вещества молекулы SiO_2 . Для молекулы магнетита /атомный вес ~ 230 / ожигание возможно на глубинах в четыре раза меньше / ~ 10 км/, чем молекулы SiO_2 /атомный вес 60/.

Рассмотренная модель объясняет: а/существование резко различных по магматизму и оруденению провинций; б/смену основного вулканизма - кислым и кислово - основным; в/ единство магмообразования, эпайрогенеза и орогенеза; в частности, пространственную ассоциацию гранитоидов со сводами /альтиклиниями/, а основного вулканизма /траппов/ с платформами.

ВЫСОКИЕ ЭЛЕКТРИЧЕСКИЕ ПОЛЯ В ЗЕМНЫХ НЕДРАХ И ИХ РОЛЬ В ОБРАЗОВАНИИ ХИМИЧЕСКИХ СОЕДИНЕНИЙ И РАСПРЕДЕЛЕНИИ ХИМИЧЕСКИХ ЭЛЕМЕНТОВ В ЗЕМНОЙ КОРОЕ

А.А.ВОРОБЬЕВ

Томский политехнический институт

Большой практический и научный интерес представляет разработка теории образования химических соединений и распределение

лению химических элементов в земной коре.

В результате протекания геолого-физических и физико-химических процессов в земной коре происходят превращения видов энергии, образование свободных электрических зарядов и высоких электрических полей.

Лабораторные исследования и наблюдения на рудниках позволили установить излучение горных пород, в которых, вероятно, происходят высоковольтные разряды. Частичные электрические разряды, происходящие в горных породах высокой прочности, разрушают иоры и трещины, в которых они образуются и являются важным процессом выветривания крепких горных пород. Этот вид эрозии диэлектрических горных пород пока не изучался. Обнаруженное нами излучение из горных пород в результате электрических разрядов в них позволяет думать о значительной интенсивности этих процессов флюзии и большой их роли в процессе выветривания горных пород высокой прочности.

Имеются много наблюдений о возникновении сильных атмосферно-электрических полей, предшествующих землетрясениям. В сильных полях в земных недрах электрические разряды могут возникать в порах и трещинах и в самой горной породе.

В плазме разряда протекают химические реакции синтеза и разложения соединений вплоть до получения химических элементов: водорода, углерода, кислорода, металлов.

Таким путем в породе могут оказаться рассеянными химические соединения иного состава, чем входящие в состав матрицы. Такие рассеянные соединения могли образоваться в результате протекания плазмохимических реакций в пустотах, ранее имевшихся в породах, и заполнить их.

Например, в известняках, содержащих воду, в разрядной плазме могли протекать реакции разложения, сопровождавшиеся получением водорода и углерода, а при последующих разрядах — образование углеводородов, входящих в состав нефти и горючих природных газов.

Плазмохимические реакции возможны и в породах, содержащих угли и сланцы. Этой гипотезе не противоречит обильное выделение метана, наблюдавшееся после землетрясения в угольных шахтах.

В полях высокой напряженности и большого электровыделения возможно переплавление пород и вулканическое извержение,

- 231 -

а при искровом разряде возникает дробление пород и перемещение их и землетрясение.

Процессы образования химических соединений или получения химических элементов, их миграции и перераспределения в земной коре могут происходить за счет энергии электрического поля.

СИЛЬНЫЕ ЭЛЕКТРИЧЕСКИЕ ПОЛЯ И ВОЗМОЖНЫЕ РАЗРЯДЫ НА ЛУНЕ

А.А.ВОРОБЬЕВ

Томский политехнический институт

В работах автора доклада высказана и обоснована гипотеза существования сильных электрических полей и разрядов в них в земных недрах. Рассмотрены некоторые возможные плазмохимические и геологические процессы в сильных полях, протекающие в таких условиях, в том числе: образование химических соединений и получение химических элементов в разрядной плазме, плавление пород в электрическом дуговом разряде, образование магмы и вулканические извержения, иницирование землетрясений взрывным действием искровых электрических разрядов и проч. По данным гипотезы сильных полей, вулканизм и образование вулканического рельефа небесного тела может быть не только метеоритного, внешнего происхождения, но и результатом внутренних процессов, энергетической основой которых являлась энергия электрического поля.

Изолированное в вакууме тело заряжается при падении на него потока заряженных частиц. Таким изолированным в вакууме телом, на которое падают потоки солнечного ветра и происходит радиоактивное облучение, представляется Луна. Пылевидные породы, покрывающие участки поверхности Луны, будут заряжаться путем трения. Монолитные породы заряжаются при их деформировании и разрушении.

На участках поверхности Луны или ее объема, где скапливаются заряды и образуются поля высокой напряженности, будут проходить электрические разряды. В условиях лунного вакуума формирование больших разрядных токов будет затруднено,

- 232 -

поэтому будут развиваться преимущественно тихие разряды.

Возможно, что некоторые наблюдаемые на Луне явления, например, извержения кратера Аристарх, представляют собой электрические разряды, в которых участвует и лунная пыль. Электрические разряды на поверхности Луны, в породах и трещинах горных пород разрушают их. В отсутствие атмосферы и воды на Луне электрические разряды, вероятно, являются важнейшим видом эрозии лунных материалов.

В сильных полях в лунных недрах возможны плазмохимические реакции, сейсмические процессы и разрушения, термоядерные процессы и проч. Протекание сильных токов в разрядах будет сопровождаться образованием сильных магнитных полей, имеющих большую вертикальную составляющую, и остаточным намагничиванием лунных пород. Согласно гравитационно-плазменной гипотезы, у Луны, имеющей малую массу и малое значение гравитационного давления, в ядре не будет плазменного состояния вещества. По этой причине у Луны не будет и собственного магнитного поля: и все же возможна намагниченность лунных пород вследствие местных разрядов. Исследование магнитных свойств лунных пород могло бы дать ответ на возникшие вопросы о заряжении лунных пород и разрядах на Луне.

Заряжение поверхности и образование высоких полей космических тел в вакууме, представляет интерес для астронавтики и проблем, возникающих при сближении двух космических тел во время их стыковки или посадки одного из них на поверхность другого.

В связи с приведенными выше положениями представляет интерес исследование электрических полей на Луне, что необходимо также для обеспечения безопасных действий человека на Луне.

НАБЛЮДЕНИЕ ИЗЛУЧЕНИЯ ГОРНЫХ ПОРОД

В.А.ВОРОБЬЕВ, В.С.ДМИТРИЕВСКИЙ,
Е.К.ЗАВАДОВСКАЯ, Б.Н.ПРИЕЗЖЕВ,
В.Н.САЛЬНИКОВ

Томский политехнический институт

В Томском политехническом институте выдвинута и разработана

- 233 -

батывается гипотеза, что вследствие преобразования видов энергии в горных породах возникают свободные заряды, под влиянием напряженности и частичные электрические разряды в них.

Для проверки этой гипотезы производились наблюдения излучений горных пород на поверхности и в горных выработках.

Излучение принималось антенной. Индикатором высокочастотного электрического поля служил прибор типа Флюкс - пересчетная схема типа НС-10000.

Устройство для наблюдения фиксировало атмосферные разряды, излучение телевизионного передатчика и различные помехи. После их исключения оставалось фиксируемое излучение горных пород, которое измерялось в зонах глубинных геологических разломов в местах аномалий естественного электрического поля.

Измерения проводились как при укладке антенны вкрест простирания поверхностей скольжения, так и по их направлениям, параллельно зонам контактов. Наблюдалось излучение горных пород в результате подвижек горных масс, при прохождении сейсмических колебаний, взрывах при производстве горных работ. Интенсивность излучения горных пород изменяется в течение суток.

ПРИМЕНЕНИЕ МЕТОДА СЧЕТА ЧАСТИЧНЫХ РАЗРЯДОВ В ГЕОЛОГИИ

А.А.ВОРОБЬЕВ, Е.К.ЗАВАДОВСКАЯ, Б.Н.ПРИЕЗЖЕВ,
В.Н.САЛЬНИКОВ

Томский политехнический институт

В диэлектрических горных породах так же, как и в атмосфере, возможно возникновение высоких электрических полей и разрядов в них. Для регистрации электрических разрядов использован метод счета частичных разрядов, который заключается в том, что при локальных разрядах в горных породах создается импульс переменного электромагнитного поля.

Образующийся импульс регистрировался с помощью приемной системы и электронного устройства. В качестве измерителя и счетчика импульсов можно применять стандартный прибор НС-10000. Для наблюдений были избранные зоны глубинных геологических раз-

ломов, в которых протекают тектонические процессы, породы испытывают механические напряжения, встречаются участки аномалий естественного электрического поля. Измерения проводились как по профилям, проложенным вкрест и вдоль простирания аномалии, так и на отдельной точке, на которой производились суточные наблюдения.

На обнажениях наблюдалось интенсивное излучение, которое уменьшалось при смещении антены на участок, покрытый рыхлыми отложениями.

При мощности слоя рыхлых отложений больше 10 м излучение и счет исчезали. Разряды в горных породах возникали в результате сейсмических колебаний, тектонических движений, камнепадов, перемещения горных масс и при буровзрывных работах. Число и мощность разрядов увеличивается на контактах двух разностей пород и в зонах окварцевания. Интенсивность излучения пород зависит от состава горных пород и условий их залегания. Предполагается данную методику наблюдений применить для изучения разрядов в литосфере Земли, решения вопросов магматизма и рудогенезиса, для производства поисковых работ.

НЕКОТОРЫЕ ВОПРОСЫ МЕТОДОЛОГИИ ОЧЕРЕДНОСТИ ПРОВЕДЕНИЯ ПОИСКОВО-РАЗЗЕДОЧНЫХ РАБОТ В ЗАПАДНОЙ СИБИРИ

Д.Е.КАЗАКОВ, Н.А.СЕСИН, Л.И.ЧУРИКОВ
Институт гипротоменнефтегаз, Тюмень

Огромные перспективы нефтеносности недр, подтвержденные крупными открытиями, исключительно высокая степень концентрации запасов в крупных и уникальных высокодебитных месторождениях и перспективных структурах создают громадный сырьевой потенциал для ускоренного развития нефтедобывающей промышленности в Западной Сибири. Исследования показали, что в ближай-

шие 10-15 лет более 80% добычи будет приходиться из Среднеобскую область, где сосредоточена основная часть крупнейших высокодебитных месторождений. За пределами 1980 года в нефтедобыче Западной Сибири резко возрастёт роль северных областей (более 50% добычи). Это обстоятельство говорит о необходимости уже в текущей пятилетке организовать широкий поиск нефтяных месторождений в северных районах с тем, чтобы к 1980 году организовать здесь центры добычи нефти, равные по своим мощностям нефтедобывающим районам широтного Приобья.

Наличие большого числа нефтяных месторождений и перспективных структур с различной степенью концентрации запасов, продуктивности скважин и добывших возможностей потребовало разработки научно-обоснованных решений в области освоения нефтяных богатств. Исследования показали, что в условиях Западной Сибири величина удельных капиталложений на прирост добычи 1 т нефти практически обратно пропорционально дебитам скважин и колеблется от 12 до 143 руб. для месторождений с дебитами 20 и 300 т/сут. соответственно. Следовательно, для повышения эффективности капиталложений, направляемых в геологическую разведку и нефтедобычу, необходимо своевременно готовить и вводить в разработку в первую очередь крупные высокодебитные месторождения.

Геолого-экономические расчеты показали, что при условии своевременной подготовки и ввода в разработку (в период 1964-1975 гг.) только 8 высокодебитных месторождений (вместо 14 подготовленных и намеченных к вводу высоко- и среднедебитных), способных обеспечить запланированные на 1975 год уровни добычи (125 млн.т), объем капиталений на разбуривание и обустройство площадей сократился бы на 786 млн.рублей, а число эксплуатационных скважин уменьшилось бы на 42%.

С целью ускоренного выявления и своевременной подготовки к разработке крупных высокодебитных месторождений, на обустройство которых требуется в 2-3 раза меньше капиталений, по сравнению с обустройством среднедебитных месторождений, предлагается поэтапное проведение поисково-разведочных работ (в три этапа) с определением основных целевых назначений и времени проведения каждого этапа.

Для избежания "замораживания" средств и затоваривания детально разведанных запасов, а также для повышения эффективности капиталовложений, направляемых на развитие геолого-разведочных работ и нефтедобывающей промышленности Западной Сибири, в текущей пятилетке и за ее пределами необходимо: а) резко увеличить объемы поисково-разведочных работ с целью полного выявления и подготовки к разработке только наиболее крупных высокодебитных месторождений, сосредоточив весь объем поисково-разведочных работ в наиболее перспективных областях (Среднеобской, Надым-Пурской, Пур-Тазовской), совершенно прекратив при этом детальную разведку на низкопродуктивных месторождениях, промышленная эксплуатация которых экономически целесобрана лишь за пределами 1980 года; б) темпы и очередность проведения геолого-разведочных работ и освоения нефтяных месторождений определять на базе научно-обоснованных геолого-техническо-экономических проработок; в) в ближайшие 10-15 лет в детальную разведку и промышленную разработку вводить только те месторождения, эксплуатация которых позволит получить наибольший экономический эффект, вне зависимости от размеров их запасов и территориального размещения.

О РОЛИ ВОДЫ ПРИ МЕТАМОРФИЗМЕ ОСНОВНЫХ И УЛЬТРАОСНОВНЫХ ПОРОД

А.И.КИСЕЛЕВ, И.К.КАРПОВ

Институт земной коры СО АН СССР, Иркутск

Приведены результаты численных экспериментов по определению равновесных минеральных парагенезисов в базальте и лерцолите в области I - 10 000 бар и 100 - 1000⁰С. Авторами использовалась оригинальная методика определения минерального состава породы при заданных $P_{\text{общ}}$ и $P_{\text{H}_2\text{O}}$ и фиксированном валовом химическом составе путем численной минимизации свободной энергии мультисистемы методами оптимального программирования.

Изучен принципиальный характер изменения минеральных парагенезисов при постоянном составе базальта и лерцолита в отношении петрогенных компонентов и при вариировании следующих параметров состояния системы: 1. Изменилось общее содержание воды от 1% до 10%. 2. Изменилось соотношение общего давления

и давления воды.

Результаты численных экспериментов позволяют уточнить петрологически важные особенности влияния содержания H_2O и изменения $P_{\text{общ}}/P_{\text{H}_2\text{O}}$ при прогрессивном и регressiveвном метаморфизме основных и ультраосновных пород.

О КРИСТАЛЛИЗАЦИОННОЙ ТЕРМОЛЮМИНЕСЦЕНЦИИ

И.И.МАТРОСОВ

Томский государственный университет

Под термином "кристаллизационная термолюминесценция" понимается сумма термосвещения, запасенная кристаллической решеткой в процессе кристаллизации минерала и не связанная с какими-либо более поздними воздействиями на решетку. Кристаллизационная термолюминесценция была впервые установлена для солей, осаждающихся при комнатной температуре из растворов.

Для решения различных геологических вопросов с помощью термолюминесцентного анализа минералов, образовавшихся при относительно высоких температурах, необходимо было установить: обладают ли эти минералы кристаллизационной термолюминесценцией, если да, то какой процент она составляет от суммарной термолюминесценции и как ее учитывать. С этой целью термолюминесцентному анализу были подвергнуты лавы и туфы ряда вулканов Камчатки, образовавшиеся в 1932-1968 гг., кали-натровые полевые шпаты, синтезированные при высоких температурах, и синтетический периклаз. Получены следующие результаты.

1. Из 16 проб лав и туфов Камчатских вулканов только три пробы ничтожно светились при температурах 280-310⁰. В остальных пробах природное свечение не наблюдалось.

2. Синтетические полевые шпаты (10 проб) природной термолюминесценцией не обладали.

3. Синтетический периклаз очень слабо светился при температурах 360-380⁰.

4. После облучения γ -лучами на изотопе Co^{60} во всех без исключения пробах наблюдалась наведенная термолюминесценция в широком интервале температур.

Таким образом, можно считать, что минералы, образовавшиеся при высоких температурах или подвергшиеся в ходе геологических процессов значительному изогреву, не обладают исходной светосуммой (кристаллизационной термолюминесценцией) или содержат ее в ничтожных количествах, которые практически невозможно учесть при изучении термолюминесценции образованной древние современных. В то же время, кристаллические решетки только что образовавшихся минералов могут содержать значительное количество незаполненных электронных ловушек, которые под воздействием радиоактивного облучения со временем будут накапливать электроны. Кристаллизационная термолюминесценция у высокотемпературных минералов, как и у низкотемпературных, наблюдается только при высоких (280 - 400°) температурах.

ИЗМЕНЕНИЕ МИНЕРАЛОГИЧЕСКОГО СОСТАВА МАРГАНЦЕВО-УГОЛЬНЫХ ОКАТЫШЕЙ В ПРО- ЦЕССЕ ИХ ВОССТАНОВЛЕНИЯ

Н.И.МЕТЕЛКИНА, Л.П.КОСТЕНЕНКО

НИИО завода "Сибэлектросталь", Красноярск

1. Разработка технологии выплавки низкофосфористого марганцевого шлака осуществляется на комбинированном агрегате трубчатая печь-электропечь. Выбор технологического режима производился на основании лабораторных исследований процесса восстановления с изучением вещественного состава восстановленных продуктов.

2. Марганцево-угольные окатыши, из которых образуется марганцевый шлак, получены из Никопольской марганцевой руды I и II сорта крупностью - 0,074 мм.

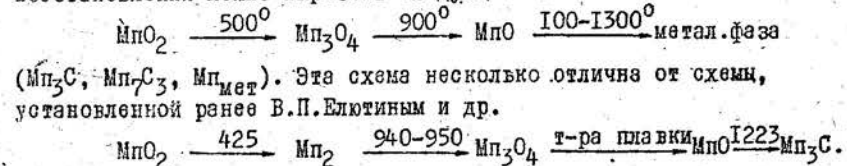
Восстановление окатышей проводилось при различной температуре (500 - 1300°C), времени (от 2 мин. до 3 час.) и типе восстановителя (бурый уголь, черногорский уголь, Ангарский полуокс и др.).

В результате изучения минералогического состава марганцево-угольных окатышей, восстановленных при различных условиях, наблюдается следующая схема изменения минеральных форм при переходе от высших окислов к низшим.

Так, при температуре восстановления 500° в течение 30 минут марганцевые минералы руды (пиромелан, пиролюзит, вернадит, мanganит) полностью восстанавливаются до гаусманита (Mn_3O_4) с сохранением единичных зерен браунита (Mn_2O_3). Почти полное восстановление гаусманита до мanganозита (MnQ) происходит при температуре 900° и времени 30 минут. А с 1000° $30'$ или с 900° 2 час. идет восстановление мanganозита с образованием карбидов марганца переменного состава (Mn_3C , Mn_7C_3) и металлического марганца.

Конечный процесс образования марганцевого шлака, представленного тифроитом (Mn_2SiO_4), происходит при режиме восстановления: 1300° 30 минут.

3. В общем виде изменение минеральных форм в процессе восстановления можно выразить следующей схемой:



Скорость восстановления высших окислов в низший по первой схеме значительно выше, чем по второй. Это вызвано применением нескольких иных условий восстановления, которые заключаются в уменьшении диаметра окатышей и использовании восстановителей с большей реакционной способностью (Черногорский уголь, бурый уголь, п-кокс, Ангарский п-кокс).

Проведенные исследования позволили установить оптимальные параметры технологического режима процесса восстановления для полупромышленных испытаний.

ОСОБЕННОСТИ ТЕРМО-ЭДС ПИРИТОВ НЕКОТОРЫХ ЗОЛОТОРУДНЫХ МЕСТОРОЖДЕНИЙ

А.Я.ПШЕНИЧКИН, А.Ф.КОРОБЕЙНИКОВ

Томский политехнический институт

Изучению полупроводниковых свойств сульфидных минералов, особенно пирита, как одного из наиболее распространенных сульфидов, встречающегося в месторождениях различного генетического типа и выделяющегося почти во всех этапах и стадиях

минералообразования, придается в настоящее время большое значение.

С целью выявления особенностей пиритов, связанных с золотым оруднением, установления геохимических различий и признаков, позволяющих отличить пириты одних золоторудных месторождений от других и выявления условий рудообразования были изучены термоэлектрические свойства пиритов из кварцевых жил и околоврудно измененных пород Коммунаровского, Балахчинского, Ольховского, Тарданского, Березовского, Любавинского, Дарасунского и Ишковершинного золоторудных месторождений Сибири, Урала и Дальнего Востока.

Полученные результаты позволили прийти к следующим выводам.

1. Пириты золоторудных месторождений различных генетических типов /как из измененных вмещающих пород, так и из рудных жил/ обладают как электронной, так и дырочной проводимостью. И лишь на Любавинском и Ишковершинном месторождениях установлена только электронная и только дырочная проводимость соответственно.

2. Наличие в одном месторождении пиритов с электронной и дырочной проводимостью, возможно, указывает на различие термодинамических условий их формирования в разные стадии гидротермального процесса.

3. В характере распределения значений термо-ЭДС пиритов наблюдается многовершинность /особенно у пиритов с электронной проводимостью/, что, по-видимому, отражает наличие нескольких генераций пиритов.

4. На характер проводимости пиритов основное влияние оказывает содержание таких элементов- примесей, как Ni , Co , As , Ag , входящих изоморфно в кристаллическую решетку.

5. Модальные значения термо-ЭДС пиритов для кварцевых жил и околоврудно измененных пород хотя и различны для разных месторождений, но в целом близки и в среднем равны для пиритов с электронной проводимостью - 10-25 мв, для пиритов с дырочной проводимостью - 20-40 мв.

6. Пириты в форме {100} и {210} из вмещающих березитов Березовского месторождения характеризуются одинаковой дырочной проводимостью, а пириты тех же форм из жил - электронной проводимостью. То есть характер термо-ЭДС пиритов одного месторождения не зависит от формы исследуемых

кристаллов одной генерации.

7. По характеру термо-ЭДС пиритов золоторудных месторождений судить о температуре минералообразования, без учета других факторов, затруднительно.

8. Проведенные исследования показали, что пириты большинства гидротермально измененных пород золоторудных месторождений различных типов имеют близкие физические свойства, что и пириты золото-кварцевых жил, то есть, их формирование происходило в близких условиях и, вероятно, в рудный этап минералообразования.

ОПРЕДЕЛЕНИЕ АБСОЛЮТНОГО ВОЗРАСТА ГОРНЫХ ПОРОД МЕТОДОМ ЭЛЕКТРОПРОВОДНОСТИ

В.Н.САЛЬНИКОВ, А.Ф.КОРОЕЕНИКОВ

Томский политехнический институт

Первые попытки определения абсолютного возраста горных пород методом электропроводности недостаточно объективно раскрывают физико-химическую природу зависимости увеличения электросопротивления от возраста и от содержания калия в образце. Авторы на основе экспериментальных данных и некоторых энергетических расчетов приходят к выводу, что одной из причин изменения химического состава горных пород с течением времени является β -распад K^{40} и замена его в кристаллической решетке калий содержащих минералов на Ca^{40} , что приводит к накоплению положительных вакансий, которые впоследствии образуют узловые комплексы с ионами гидроксила, фтора, или нейтральность кристалла сохраняется за счет восстановления трехвалентного железа, изоморфно входящего в кристаллическую решетку минералов.

Отсюда количество узловых вакансий комплексов в решетке минералов будет зависеть от времени и содержания калия, а количество сохранившей информации об абсолютном возрасте объекта от истории образца.

Образцы для определения абсолютного возраста горных пород были отобраны из Бельского интузивного массива /Восточный склон Кузнецкого Алатау/. Горная порода в виде пластинки размером 20x20x4 мм изгревалась линейно со скоростью 10° в минуту от 20° до $1100^{\circ}C$ с последующим охлаждением. В процессе

нагревания и охлаждения измерялась удельная электропроводность при постоянно приложенном напряжении 20-50 в. Результаты определений сведены в таблицу.

Таблица

Номер проб	Название породы	Si%	Fe ²⁺ %	Fe ³⁺ %	K%	$\sigma_{970^{\circ} \text{C}}$	Стимулера- ни на		$E_{\text{активации}}$ 970-870°C	$T_{\text{млн/лет}}$
							$\text{Fe}^{+2}, \text{Si}, \text{K}$	$\text{ам}^{-2} \text{см}^{-1}$		
3-69/6	аплит	33,3	1,0	1,4	4,2	$6,5 \cdot 10^{-6}$	$5,6 \cdot 10^{-6}$	240 ± 10	1,1	
1-69/2	аплит с ре- лик- тами рого- вой об- манки	30,2	2,5	2,2	3,8	$1,7 \cdot 10^{-5}$	$5,1 \cdot 10^{-6}$	250 ± 5	1,2	
2-69/1	кали- патизи- рован- ный диорит	24,2	5,0	3,3	2,9	$3,6 \cdot 10^{-6}$	$3,2 \cdot 10^{-6}$	350 ± 10	0,6	
2-69/2	монко- нит	28,2	2,7	2,9	2,6	$1,8 \cdot 10^{-5}$	$3,4 \cdot 10^{-6}$	340 ± 10	1,2	
1-69/1	монко- нит	29,1	2,9	2,6	2,8	$2,8 \cdot 10^{-5}$	$4,8 \cdot 10^{-6}$	270 ± 10	1,0	
3-69/1	монко- нит	28,6	3,8	2,5	2,6	$2,8 \cdot 10^{-5}$	$3,6 \cdot 10^{-6}$	335 ± 5	1,3	
5-69/1	монко- нит	27,7	5,1	2,7	2,5	$6,3 \cdot 10^{-5}$	$5,6 \cdot 10^{-6}$	240 ± 10	0,6	

Анализируя таблицу, можно заметить, что энергия активации уменьшается обратно пропорционально содержанию двухвалентного железа, а электропроводность от содержания калия и кремния. Соответственно электропроводность увеличивается с увеличением Fe^{+2} . Горные породы Бельского интрузивного массива по возрасту разделяются на две группы: первая группа возраст 350-335 млн./лет, вторая группа 240-270 млн./лет. Вероятно, Бельский интрузивный массив претерпел калиевый метасоматоз, вследствие чего порода приобрела микропегматитовую структуру.

УПЛОТНЕНИЕ ГЛИНИСТЫХ И ПЕСЧАНО-АЛЕВРИТОВЫХ ПОРОД

В.П.СОНИЧ

Тюменский индустриальный институт

Правильное решение вопросов, связанных с разведкой и разработкой нефтяных и газовых месторождений, выполнение палеоструктурных построений, выявление палеогидрологических условий и формы погребенного денудационно-аккумулятивного рельефа невозможно без определения величины изменения объема осадка при его погружении.

Для выяснения закономерности изменения абсолютной пористости глинистых и песчано-алевритовых пород в процессе их погружения нами были проведены исследования на примере отложений мелового и юрского возраста Западно-Сибирской низменности.

Исследования проводились на образцах без значительных вторичных изменений минерального скелета породы. Интерпретация данных естественной пористости породы и изменения пористости рыхлого осадка при различных давлениях обжатия позволила выявить зависимость изменения пористости осадка от глубины залегания как для глинистых, так и для песчано-алевритовых пород.

Данная зависимость описывается уравнением прямой:

$$K_p = a - b g h, \quad /1/$$

где: K_p - коэффициент абсолютной пористости,
 a , b , g - параметры, отражающие характер уплотнения осадков,
 h - глубина залегания.

Численные значения параметров "а" и "в" для глинистых пород Западной Сибири изменяются соответственно от 0,70 до 0,55 и от 0,16 до 0,08. Численные значения параметров для песчано-алевритовых пород колеблются от 0,64 до 0,41 и от 0,23 до 0,03.

На основании выявленной линейной закономерности изменения пористости осадков в процессе погружения можно довольно точно определять пористость осадка на любой отрезок геологического времени.

При выяснении гидрогеологических условий весьма важным является определение количества отжатой седиментационной воды за определенный отрезок времени. Объем отжатой воды определяется по формуле:

$$V = (H_n K_n - H_k K_k) S \quad (2), \text{ где:}$$

V — объем отжатой седиментационной воды,

H_n — мощность толщи в начальный период изучаемого отрезка времени,

H_k — мощность толщи в конечный период изучаемого отрезка времени,

K_n — коэффициент пористости исследуемой породы в начальный период,

K_k — коэффициент пористости исследуемой породы в конечный отрезок времени,

S — площадь изучаемого участка.

На основании проведенных палеоструктурных построений по отдельным локальным поднятиям Западной Сибири можно заключить, что уплотнение осадочных пород в некоторых случаях играет важную роль в формировании поднятий в осадочном чехле.忽略ирование данного фактора может привести к существенным ошибкам при анализе геологического развития поднятий.

ПОВЕДЕНИЕ СФАЛЕРИТА В ГИДРОТЕРМАЛЬНЫХ УСЛОВИЯХ

А.Д.СТРОИТЕЛЕВ, А.Д.БАБАНСКИЙ, М.Д.БАБАНСКИЙ

Томский государственный университет

Экспериментальное изучение сфалерита имеет большое значение для геологической практики и науки. Наряду с тем, что он является основным источником цинка и некоторых редких и рассеянных элементов, совершенные его кристаллы обладают целым рядом ценных технических свойств. В генетическом отношении сфалерит является типичным продуктом процессов гидротермального минерообразования и обладает повышенной чувствительностью к незначительным изменениям их параметров. Последнее отражается на его свойствах и составе, которые в свою очередь используются в качестве типоморфных признаков.

Не останавливаясь на обзоре многочисленных работ этого

направления, отметим, что среди них важное место занимают экспериментальные исследования по изучению поведения сфалерита в гидротермальных условиях со следующей целью: а) Проверить отдельные его типоморфные признаки, б) установить возможные формы миграции цинка, в) подобрать оптимальный режим и среду для синтеза кристаллов β -ZnS гидротермальным методом.

В настоящей работе излагаются предварительные результаты проведенных в лаборатории экспериментальной минералогии и геохимии исследований по растворимости и перекристаллизации сфалерита в водных растворах гидросиликата натрия при повышенных температурах и давлениях.

Для постановки этих экспериментов послужили следующие предпосылки. 1. В подобных условиях сфалерит изучался ранее в довольно ограниченном круге систем, охватывающих только часть валового состава природных минералообразующих растворов (Кузьмина, 1961, Лодиз и др., 1965, Годовиков, Птицын, 1966, 1968, Андилогов и др., 1966, Стронгев, Бабанский, 1969, Штернберг, 1970). 2. В минеральных рудах сфалерит и пирит образуют передко один парагенезис, что является прямым указанием на совместное нахождение их компонентов в рудоносных растворах и дает основание предполагать о существовании общей формы переноса кремния и цинка.

Растворимость сфалерита изучалась методом потери исходного веса его плавки в диапазоне температур от 350° до 500°C с интервалом 50°C и концентраций растворов от 10 до 40 вес.% с интервалом в 10%. Опыты проводились в стальных автоклавах с вкладышами, в которые помещались платиновые тигли с плавкой сфалерита. Достижение равновесия в системе контролировалось воспроизводимостью результатов при определенной экспозиции опытов.

Обработанные данные экспериментов показывают, что существует прямая зависимость растворимости сфалерита от концентрации растворов для всех изотерм. Максимальная его растворимость составляет 5,5 г/л в 40% растворе при $t = 450^{\circ}\text{C}$. Температурная зависимость растворимости имеет более сложный характер. Независимо от концентрации раствора, растворимость сфалерита увеличивается от 350° до 450°C и резко падает при 500°C .

Перекристаллизация сфалерита осуществлялась путем температурного перепада 20° и 50°С при рабочей температуре 350° и 430°С и степени заполнения автоклава 80 и 70%. В качестве среды кристаллизации использовался 70% раствор гидросиликата натрия. Кристаллизация сфалерита происходила spontанно. Полученные его кристаллы имели светло-желтую окраску и размеры до 1 мм. Морфология их представлена комбинацией граней простых форм {III}, {II2} и {II3}.

Обобщая результаты опытов, можно сделать следующие выводы. 1. Сравнительно высокая растворимость сфалерита в растворах гидросиликата натрия связана, вероятно, с образованием общего комплексного соединения кремния и цинка, а также полимеризацией кремниекислоты, возрастающей при повышении температуры за счет понижения щелочности раствора /Сретенская, 1970/. 2. Понижение растворимости выше 450°С происходит из-за того, что в высокой степени полимеризованная кремниекислота может присоединить меньше ионов металла /Хайзел, 1949/. 3. Растворимость сфалерита с последующей его перекристаллизацией принципиально указывает на способность кремнесодержащих растворов переносить цинк в определенных условиях. Безусловно, это должно учитываться при теоретических расчетах форм миграции тяжелых металлов в гидротермальных рудоносных растворах.

ОСОБЕННОСТИ ПРИМЕНЕНИЯ ТЕРМОЛЮМИНЕСЦЕНЦИИ ПРИ ПОИСКАХ РУДНЫХ МЕСТОРОЖДЕНИЙ

В.К.ЧИСТЯКОВ

Томский государственный университет

Термолюминесценция минералов—весьма чуткий индикатор изменения вмещающих пород в результате действия рудоносных растворов или внедрившихся интрузивных тел. Она способна уловить такие изменения пород (прогрев до 100-200°С без изменения минерального состава и приноса элементов-примесей), которые не могут быть обнаружены применяемыми в настоящее время геологическими и геохимическими методами поисков. Это позволяет применять эти свойства минералов для предсказа-

ния рудных тел, залегающих на больших глубинах.

Однако методика применения термолюминесценции (тл) для поисков рудных месторождений в настоящее время только начинает разрабатываться. В связи с этим нет достаточно определенных представлений о характере изменения величин тл в минералах вмещающих пород, подвергшихся изменению и прогреву под действием растворов или интрузий. Большинство исследователей считает, что в результате нагрева минералов в ореольных зонах рудных тел, интрузии или зон метаморфизма природная тл полностью или частично уничтожается и в последующее после нагрева время восстанавливается только частично. Как следствие этого, величина её у минералов измененных пород будет ниже, чем у неизмененных.

Проведенные исследования изменения величины тл по мере удаления от контактов рудных тел, зон скарнирования и интрузии показали более сложную зависимость между характером изменения вмещающих пород и величиной тл, чем отмеченная выше. Установлено, что величина её в зонах измененных пород определяется в основном двумя причинами: а) радиоактивностью пород, б) временем прошедшем после заключительного акта прогрева пород.

Если изменение вмещающих пород сопровождается увеличением радиоактивности или само рудное тело или интрузия обладают повышенной радиоактивностью, а время прошедшее после изменения пород достаточно велико, то тл минералов измененных пород будет выше первоначальной величины и возрастает по мере приближения к контактам рудного тела или интрузии. Если время, прошедшее после изменения пород, при таком же уровне радиоактивности будет небольшим, природная тл измененных вмещающих пород будет ниже или достигнет первоначальной величины. В тех случаях, когда радиоактивность объекта производящего нагрев будет аналогична или ниже радиоактивности вмещающих пород, величина тл минералов их при относительно большом времени, прошедшем после нагрева, будет аналогична или несколько меньше первоначальной, а если это время будет относительно небольшим, она всегда будет ниже первоначальной.

Хорошим средством для проверки наличия аномалии природной тл является исследование искусственной тл (термолюми-

несценции после облучения минералов различными дозами радиации). Искусственная тл даже при очень существенном прогрессе пород ($500-600^{\circ}\text{C}$) не меняет своей величины. Поэтому одинаковая искусственная тл минералов, обладающих различной природной тл, свидетельствует о метаморфизме пород. При сильном увеличении радиоактивности пород и большом времени, прошедшем после их изменения, может увеличиваться или уменьшаться и величина искусственной тл. В этом случае она также может быть использована для обнаружения ареолов измененных пород.

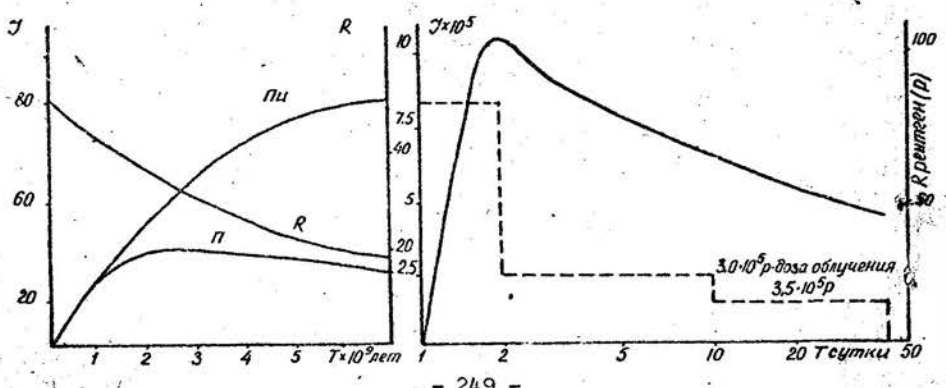
Таким образом, наличие в массивах и толщах пород участков, или зон, характеризующихся повышенной или пониженной природной или искусственной тл минералов, свидетельствует о проявлении вторичных процессов изменения пород. С этими изменениями часто связаны рудные месторождения. Поэтому аномалии термolumинесценции могут быть использованы при поисках слепых рудных месторождений.

ПРИРОДНАЯ И ИСКУССТВЕННАЯ ТЕРМОЛЮМИНЕСЦЕНЦИИ И ЕЁ ПРИМЕНЕНИЕ В ГЕОЛОГИИ

В.К.ЧИСТИЯКОВ

Томский государственный университет

Выполненные исследования по природной и искусственной термolumинесценции (тл) апатита, циркона, полевых шпатов, карбонатов, кварца и периклаза показали, что при решении вопроса об их использовании в первую очередь необходимо учитывать соотношения между этими видами тл, которые зависят в основном от радиоактивности пород и времени, прошедшего после их образования.



Общая зависимость между величинами (J) этих двух видов тл, радиоактивностью пород и временем представлена на рис.1, из которого видно, что при экспоненциальному уменьшении радиоактивности (R) с течением времени (T) природная тл (P) вначале увеличивается пропорционально времени. В дальнейшем она возрастает более медленно и по истечении некоторого промежутка времени достигает максимума. В последующий период времени тл медленно уменьшается. Такой характер изменения величин природной тл объясняется тем, что в начальный период происходит заполнение кристаллизационных ловушек. В дальнейшем при уменьшении числа последних начинают заполняться и ловушки, образовавшиеся в результате радиоактивного облучения. Сокращение общего числа ловушек приводит к более медленному росту величин тл. В то время когда тл приближается к максимуму, решающее влияние на её величину оказывает то, что продолжительность жизни части электронов в данном типе ловушек кончается. При достижении максимума число возбуждающихся в ловушках за счет радиоактивного облучения электронов (N) равно числу электронов, спонтанно возвращающихся в нормальное состояние (N_0). В последующее время N уменьшается, а N_0 увеличивается, что приводит к уменьшению величины тл с течением времени. Практически, если учитывать большую продолжительность периода распада элементов, обусловливающих тл, можно считать, что она продолжительное время будет оставаться близкой к максимуму и поэтому заметное уменьшение её можно ожидать только у древних пород.

Потенциальная способность к тл (искусственная тл - P_i) растет во протяжении всего времени существования минерала, причем увеличение её близко по характеру к экспоненциальному закону. Только в случае повышенного содержания в минерале или породе радиоактивных веществ характер изменения величин природной и искусственной термolumинесценции может верифицировать в результате метаморфического распада.

Общий ход зависимости природной тл от изменения радиоактивности пород и времени хорошо подтверждается при искусственном облучении апатита уменьшающимися по интенсивности (R), но увеличивающимися по величине дозами γ -лучей за счет увеличения времени облучения (T) (рис.2).

В связи с описанным выше характером изменения природной

и искусственной тл можно сделать вывод о том, что к использованию результатов природной тл для корреляции и определения относительного возраста нужно подходить с большой осторожностью; искусственная тл отражает зависимость между радиоактивностью и возрастом пород более точно и с успехом может быть использована при решении различных геологических вопросов.

ПЕТРОГРАФИЧЕСКИЙ МЕТОД ИЗУЧЕНИЯ ЧЕТВЕРТИЧНЫХ ОТЛОЖЕНИЙ

Е.В.ШУМИЛОВА

Институт геологии и геофизики СО АН СССР,
Новосибирск

Различная трактовка строения и генезиса толщи четвертичных отложений на севере Западной Сибири (С.А.Архипов; П.П.Генералов, Н.Л.Кузин и др.; В.И.Гудина, Е.Е.Гуртова; И.Л.Зайончи и Р.Б.Крепивнер; Ю.Ф.Захаров; В.А.Зубков; Г.И.Лазуков; А.И.Попов; В.И.Сакс; Н.Г.Чочия и др.) чрезвычайно затрудняет палеогеографические реконструкции.

Во многих печатных работах приводятся обобщенные и уединенные литологические характеристики пород, не подкрепленные петрографическими исследованиями. В лучшем случае дается минералогический состав песчано-элевритовых фракций, гранулометрический состав пород, состав глинистой составляющей. Общая же литологическая характеристика отложений обычно базируется, в основном на визуальных макроскопических наблюдениях.

Это обстоятельство приводит к тому, что, например, весь разрез ямальской (доказанцевской) серии описывается как морской непрерывный, литологически однородный, с однообразием текстурных и структурных признаков, с наличием грубого обломочного материала, рассеянного по всей толще во всех типах пород. Существует много различных толкований по поводу происхождения грубообломочного материала в четвертичных породах.

Маринисты считают его результатом айсбергового и ледового разноса. Геологи, поддерживающие ледниковую гипотезу, считают его происхождение либо за континентальное леднико-

вое, либо за ледниково-морское и т.д.

В такой ситуации нами был проведен опыт использования метода микроскопического исследования структур и текстур пород в прозрачных шлифах с качественным и количественным определением грубообломочного материала, включенного в породы. При этом устанавливались его содержание, петрографический состав и всякие изменения как качественные, так и количественные по разрезам скважин нескольких районов (Салехард-Яр-Сале, Азово-Мужи, Самаровской горы и др.).

В результате проведения таких исследований было доказано, что серия доказанцевских отложений не является непрерывным морским комплексом осадков. Четвертичные отложения четко расчленяются на отдельные литологические пачки со свойственным каждой из них комплексом структурных, текстурных и петрографических свойств, отражающих условия их накопления.

В разрезе выделяется два горизонта морен, нижний из которых размещается локально, а верхний - самаровский - является региональным, доходящим до 40-50 м мощностью, по всей вероятности относящимся к покровному оледенению.

При этом доказывается наличие яких литологических несогласий при смене морских пачек ледниками.

Генетическая литологическая характеристика пород отдельных пачек находит полное подтверждение в палинологических обоснованиях климатического режима, соответствующего времени их формирования.

Петрографический состав грубообломочного материала, включенного в породах, служит непосредственным доказательством областей сноса, основными из которых являлись Уральские возвышенности и местные коренные породы мела и палеогена.

Стройность и последовательность в составе и распределении грубообломочного материала по разрезу четвертичной толщи опровергает гипотезу айсбергового и ледового разноса, при котором руководящим началом были бы случайность и хаотичность.

БЕРЕМИТИ И ПРОБЛЕМА ГЛИНОЗЕМА

В.М.ЯКОВЛЕВ, И.П.АДАМЧУК

Томский государственный университет

Бурно развивающаяся алюминиевая промышленность Западной Сибири в качестве сырья использует нефелиновые руды Кузнецкого Алатау. В лаборатории экспериментальной минералогии и геохимии Томского университета проведены предварительные исследования по возможности использования беремита для получения глиноэзма.

После электромагнитной сепарации раздробленной до 0.1-1.0 мм породы получается 35-40% высококачественного нефелинового концентрата, который по высокому содержанию в нем глиноэзма и низкой концентрации окислов железа превосходит Кия-Шалтырские уртиты, используемые в качестве сырья на Ачинском глиноэзином заводе:

	SiO ₂	Al ₂ O ₃	Fe ₂ O ₃	FeO	CaO	Na ₂ O	K ₂ O	ппл
1.	44,8	31,2	1,6	1,8	4,1	8,5	3,5	5,4
2.	40,5	27,9	5,2		7,3	10,2	2,8	3,8

1 - нефелиновые концентраты беремитов Андрюшкиной речки.

2 - уртиты Кия-Шалтырского месторождения, в вес. %.

Электромагнитная фракция беремитов после магнитной сепарации /для отделения титано-магнетитовой и магнетитовой фракции/ имела состав, близкий высокоглиноэзистому щелочно-му базальту: SiO₂ - 44,0%, Al₂O₃ - 18,8, Fe₂O₃ - 7,8, FeO - 7,6, MgO - 1,7, CaO - 6,2, Na₂O - 6,4, K₂O - 1,1, ппл - 2,8.

Как известно из петрографической практики, основные породы дают качественное каменное литье. Поэтому были проведены опытные плавки для получения базальтового литья.

Опыты показали, что температура начала плавления фракции близка 1100°C, расплав становится текучим при температуре порядка 1300-1350°C. После раскриSTALLизации полученного стекла образцы имели зеленую окраску, тонко- и мелкозернистую структуру и фарфоровидное сложение. Они обладали высокой кислотостойкостью и механической прочностью, особенно на сжатие истирание.

СОДЕРЖАНИЕ

М.П.Кортусов, В.А.Хахлов. К пятидесятилетию университетского геологического образования в Томске	I
А.И.Родыгин. Геолого-географический факультет сегодня	6
I. Стратиграфия, палеонтология, палеогеография	
А.Р.Ананьев. К вопросу о корреляции континентальных и морских отложений девона в Саяно-Алтайской горной области	9
В.А.Ананьев. К стратиграфии нижнего карбона северо-минусинской впадины	10
В.С.Бочкарёв, Н.П.Кирда. О батанико-географическом районировании и его использовании при стратиграфических исследованиях	12
В.С.Бочкарёв, А.А.Тимофеев. О структурах раннего этапа развития платформы и их связи с геосинклинальной предысторией	14
В.Н.Будников. Система регионально-стратиграфических подразделений угленосной формации верхнего палеозоя средней Сибири	16
Л.И.Быстрицкая. Палеоботаническая характеристика юрских отложений Кузбасса	17
Л.И.Быстрицкий. Стратиграфия девонских отложений Рыбинской впадины (восточная Сибирь)	19
М.К.Винкман. Бандские отложения в западной части Алтаз-Саянской складчатой области	21
И.А.Вылган. Новые материалы к пониманию объема, строения и состава манжерокской свиты в северной Алтае	23

А.Б.Гинцингер. Основные типы разрезов и структурно- фаунистическая зональность отложений нижнего кембрия на западе Алтас-Саянской геосинклинизы	25	В.В.Казаринов. Геохимические аспекты оценки нефте- газоносности вилюйской синеклизы	44
А.Б.Гинцингер. Структурно-тектоническая позиция отложений нижнего кембрия в западной половине Алтас-Саянской складчатой области	26	А.З.Коников, А.И.Севько. К стратиграфии дербинской серии протерозоя Восточного Саяна	45
Г.Г.Горелов, Б.Д.Яшин. Новые данные по геологии Су- харинского месторождения магнетитовых руд /Горная Шория/	28	И.В.Кореников. О причинах асимметрии речных долин в горах	47
Л.А.Брмолзева. О симметрии геологических структур докембriя восточной части Балтийского щита	30	Б.Г.Краевский. Об андезитовой формации в нижнем кембрии северо-восточной части Горного Алтая	48
И.П.Хингель. Бакоммерности изменения угленосности Прокопьевско-Киселевского района Кузбасса	31	В.И.Краснов. Корреляционная стратиграфическая схема девонских отложений Алтас-Саянской области	49
И.П.Хингель. Нарушенность шахтных полей в Про- копьевско-Киселевском районе Кузбасса	33	В.И.Краснов. Некоторые данные о палеогеографии Алтас-Саянской области в девоне	51
Н.Р.Залышман, А.М.Казаков. Зональность в строении верхнемеловых и нижне-средне-палеогеновых отло- жений Куулундинской степи	34	В.И.Краснов, Л.С.Ратанов. Новые данные о строении осадочно-вулканогенной серии в минусинском прогибе	53
А.А.Земцов. Руководящие валуны из отложений плейсто- цена севера Западной Сибири	36	П.С.Краснопеева. Принципы систематики археоцита с трубками	54
А.А.Земцов. Стратиграфия четвертичных отложений по их минерологическому составу	37	А.А.Ларицев. Природа исходного материала ископаемых углей Кузнецкого каменноугольного бассейна (юра, верхняя пермь, нижняя пермь-карбон и девон)	55
В.А.Иванян. К итогам работы палеонтологов-научных работников и выпускников геолого-географическо- го факультета за 50 лет	39	А.М.Малолетко. О климатической обусловленности миграции зон бокситонакопления в мезозое и кайнозое (на примере северной Азии)	57
К.В.Иванов. Стратиграфия и литология юрских отложений Кузбасса /на примере центральной мульды/	40	А.М.Малолетко. Первые абсолютные датировки раковин перловиц и корбикул из четвертичных отложений юга Западной Сибири	58
В.И.Юаков. Западный Саян в позднем рифе - раннем кембрии (обстановка накопления отложений Чингис- ской свиты)	42	В.С.Муромцев. Основные этапы тектонического разви- тия Кузнецкого бассейна	59
		В.С.Панин. Филогенетическое древо конциннеля в верхнепермском разрезе Кузбасса	61

Р.И.Подобина. Биостратиграфия туронских отложений центральных и восточных районов Западно-Сибирской низменности	62	В.А.Богданович. О некоторых структурных особенностях киммерийских месторождений Енисейского края	79
А.К.Семенко. К вопросу о нижней границе среднего кембрия в Алтае-Саянской складчатой области	64	И.С.Бойков, Э.А.Ефременко, О.П.Иванов, Л.Я.Ефременко, С.Ф.Бржаков. О металлогенической различии южного и северного блоков певекского оловорудного узла	81
А.И.Сидоренков, А.А.Нежданов. О формационном строении мезозойских отложений западного борта лядинского мегапротигиба	66	А.Я.Булынников. Роль висмута, олена, теллура в золотооруденении Алтае-Саянской Горной страны	82
В.И.Стреляев. О строении бокситоносных отложений приангарья	66	З.Е.Бурыхина, И.В.Бурыхин. К вопросу происхождения теллеромальных свинцово-цинковых месторождений в карбонатных породах восточной части средней Азии и южного Казахстана	83
Е.С.Сурков, О.Г.Жеро, Л.В.Смирнов. О салэирском тектогенезе в Алтае-Саянской складчатой области	68	Д.М.Волкова, О.И.Глазунов. К геохимии никеля в гипербазитах Восточного и Западного Саян	85
А.А.Тимофеев. О типах структур активизации земной коры	70	Ю.Ф.Ветрова. К вопросу о вещественном составе руд Келийского ртутного месторождения	85
А.Я.Хлебников. Стратиграфия докембрия Енисейского мегантиклиниория и иркинессо-чадобецкого алькогена	72	Н.К.Гедройц, И.И.Ильина. Подготовка кадров минералогов-технологов - актуальная задача геологического образования в Сибири	86
Ю.В.Щепеткин. Некоторые особенности строения и процессы формирования нефтяных месторождений нижне-вартовского свода Западно-Сибирской равнины	73	О.М.Глазунов. Некоторые геохимические аспекты проблемы дифференциации гипербазитов	88
П. ГЕОХИМИЯ, МИНЕРАЛОГИЯ, ПОЛЕЗНЫЕ ИСКОПАЕМЫЕ		А.И.Гончаренко. Флогопитовые слюдиты в гипербазитах массива гор Северной-Эланной (Кузнецкий Алатау)	89
В.А.Алиференко, М.М.Старова. Околорудные изменения вмещающих пород Бакырчикского золоторудного месторождения (Восточный Казахстан)	75	А.И.Гончаренко, В.П.Лихачев. Листвениты в гипербазитах берзэтного массива (Кузнецкий Алатау) и возможности их использования	91
А.И.Астафьев. Закономерности размещения полиметаллического оруденения в золотушинском рудном районе (Рудный Алтай)	76	Е.Л.Данилин, Л.Т.Жирова. О геологических особенностях и генезисе алатитового оруденения в габброидах и диоритах юга Красноярского края	93
Б.Л.Бальтер. Изомагматические брекции стеннного полиметаллического месторождения на Рудном Алтае	78	И.П.Дик. Распределение золота в россыпях и его перенос в центрально-алданском золотоносном районе южной Якутии	94

С.С.Долгунин, В.А.Нужарская. К вопросу о геологическом строении и перспективах Акзасского железорудного месторождения	95		
А.С.Егоров. К вопросу о геологии и генезисе некоторых докембрийских железистых кварцитов оленегорского и других месторождений приимандровского района на Колымском полуострове	97		
В.И.Зыков, И.И.Кузоватов. Структурные и минералогогенетические особенности Федотовского золоторудного месторождения (мэриинская тайга)	99		
С.С.Мильонок, А.И.Сазонов. Связь метаморфизма и оруденения на примере золоторудного месторождения Эльдорадо (Енисейский край)	101		
Ю.В.Индуков. Основные черты и особенности щелочного метасоматоза и его место в процессе формирования железорудных месторождений Алтая-Саянской области	102		
Ю.В.Индуков. О редкоземельной минерализации в контактных зонах некоторых железорудных полей Алтая-Саянской области	104		
Ю.В.Индуков, В.Е.Хохлов. О пострудном метаморфизме на некоторых kontaktово-метасоматических месторождениях Алтая-Саянской области	106		
Г.Б.Князев. Амфиболы Табратского магнетитового месторождения и их эволюция в ходе постмагматического рудообразующего процесса	108		
Г.Б.Князев. Некоторые общие закономерности магнетитового оруденения Казырского рудного района (Восточный Саян)	110		
Г.Ф.Князев, В.Е.Хохлов. Последовательность процессов минералообразования на Хабалыкском магнетитовом месторождении	112		
Л.Н.Коллегов. О гранатах скарново-рудных зон Березовского магнетитового месторождения (Восточный Саян)	113		
Л.Н.Коллегов. Стадии минералообразования Березовского железорудного месторождения (Восточный Саян)	115		
А.Н.Кононов. О локализации железорудных тел на месторождениях Горной Шории	117		
А.Ф.Коробейников, Л.Г.Осипов. Характер размещения оруденения в Коммунар-Балахчинском золоторудном районе и его прогнозная оценка	119		
А.И.Летувинникас. Редкий тип альмандин-гроссуляр-спессартинового граната	121		
А.И.Летувинникас, Н.Д.Мельникова, С.В.Монсеева. Температурные условия формирования Тельского месторождения магнезита (Енисейский край)	123		
Л.В.Ли. К вопросу о геохимических поисках золоторудных месторождений на примере Енисейского края	124		
Л.В.Ли. Расположение и особенности золоторудной минерализации в различных структурных этапах Енисейского края	125		
А.В.Манеева, В.П.Куропаткина, Т.Н.Соболь. Минералогогеохимические профили коры выветривания пород разного состава (Салаир)	127		
А.В.Манаков. Минералого-геохимические признаки магнетитового оруденения	129		
А.В.Мацишевский. Геология Тарданского скарново-золоторудного месторождения	130		
Н.Д.Мельникова. Кварцевые жилы Баранихинского золоторудного узла западной Чукотки	132		
А.С.Мехонович, Г.В.Бурякина. Распределение титана в породах Чысанского комплекса	134		

А.И.Китчин. Рудоконтролирующие структуры на центральном золоторудном месторождении	135
А.Н.Новикова. Постдиагенетические изменения в кварцевых песчаниках Черемшанского месторождения	137
С.В.Окунев. Тектоническая структура западной части восточной Гулы и некоторые закономерности размещения магматических пород и золотоносения	138
В.Л.Орлов. Взаимоотношения сиенитов и рудно-скарновых зон из Шерегешевском железорудном месторождении	140
Н.Л.Петренко. О пойсовой зональности морфологических типов оловорудных полей в южном приморье	141
Г.А.Питасева. К зональности Балейского золоторудного месторождения (восточное Забайкалье)	142
В.О.Подтёребин. Карбонатные породы Алтая как сырье для производства цемента	144
Р.И.Пойзеских. Новый генетический тип tantalовых проявлений на примере месторождения Дальнего Востока	146
П.И.Понторыхин. Геоботанические условия проявления и вопросы рудоносности малых интрузий Рудного Алтая и Калбы	147
Н.И.Понторыхин. Роль глубинного строения в структурно-фаунистической и металлогенической зональности Рудного Алтая и Калбы	148
Е.Н.Сергеев. Внутреннее строение пирита и связь с ним золота на Центральненском месторождении (Марийская тайга)	150
Н.Н.Соколова. О соотношениях магматических пород и магнетитовых руд в Аязской зоне и о явлениях зональности	152
Е.Н.Сутурин, В.В.Богданский. О возможностях проспективно-статистического анализа при металлогенических исследованиях	154
В.В.Сиротовский. Анализ связи аллювиальных золотоносных россыпей с коренными источниками и его практическое значение	155
Б.И.Тягяко. Классификации месторождений полезных ископаемых	157
И.И.Удинко, И.И.Костепенко. Стадийное выщелачивание хлората Тагарского железорудного месторождения	159
Н.А.Удодов, И.И.Рассказов, Е.С.Коробейникова, А.Д.Назаров. Поровые воды зоны гипергенеза	160
В.А.Фомин. Некоторые данные о распределении урана и тория в девонских кварцевых порфирах восточной части северо-минусинской впадины	162
Л.П.Фролова, О.И.Глазунов, В.И.Попиков, А.И.Сутурин. Фазовый анализ натрия и калия в ультраосновных породах	163
В.Л.Хомичев, И.С.Лидин. Элементы структуры и зональности на Сорском молибденовом месторождении	165
В.Л.Хомичев, Е.С.Шабалина. Сравнительная минералого-геохимическая характеристика скарновых месторождений восточного склона Кузнецкого Алатау	166
В.К.Чистяков. Геохимические особенности интрузивных и ультраметаморфических комплексов Алтас-Саянской складчатой области	168
Г.В.Шубин. Металлогения субширотных зон повышенной трещиноватости восточной части Центрального Забайкалья	169
А.Б.Шумков, Л.Я.Борисенко. Редкие и рассеянные элементы в оловянных рудах солнечной группы месторождений	171

В. ПЕТРОГРАФИЧЕСКИХ И МИТАМОРФИЧЕСКИХ ПОРОД

Л.Р.Алабин. О явлениях магматического замещения при формировании гранитоидов Мартайгинского комплекса	173	В.Г.Корель. Общая модель петро- и рудогенезиса в контактовых зонах гранитоидных plutонов (на примере железорудных районов Алтас-Саянской области)	192
Л.Д.Булмакин. К петротектической интерпретации магматических формаций Урала с участием гипербазитов	174	И.П.Кортусов. Генетические типы нефелинсодержащих пород северной части Кузнецкого Алатау	193
А.И.Гончаренко. Генетические типы серпентинизации гипербазитов Кузнецкого Алатау в связи с прогнозной оценкой их асбестоносности	176	Н.И.Кузоватов, Е.Н.Зыков. Петрология изверженных пород района Федотовского золоторудного месторождения (Кузнецкий Алатау)	195
А.И.Гончаренко, В.Н.Сергиенко, Н.Н.Мильнов. Ориентировка оливин в гипербазитах массива гор Северной-Зеленої (Кузнецкий Алатау)	177	К.К.Левашов. Вулканогенно-осадочные серии девонско-ранне-каменноугольного возраста северо-востока сибирской платформы	197
В.И.Блистратов. Об особенностях состава Уймонской свиты в Теректинском Горсте (Горный Алтай)	178	Г.Г.Лепезин. Метаморфизм Горного Алтая	199
С.С.Ильинок. Основные черты петрологии Асырского plutона (Горная Шория)	180	А.И.Летувинкас. Магнезиально-скарновые образования в метаморфическом комплексе Ташелги (Горная Шория)	200
Н.Е.Казаков. Пикриты Салайра	181	Н.А.Макаренко, В.П.Парначев. Среднепалеозойский щелочной магматизм района горы Черная Сопка (окрестности г.Красноярска)	201
М.Е.Кареф. Магнезиальные скарны Биртон-Заслонского района (Горная Шория)	184	И.И.Мэтросов. О возможности внедрения частично раскристаллизованного пегматитового расплава	203
Р.В.Колбайнцев. Особенности строения и минерализации Алтас-Саянской гипербазитовой провинции	185	Н.А.Макаренко, А.И.Мостовской, В.Г.Родыгина. О мелилит-содержащих породах kontaktового ореола Кия-Шалтырского Габбро-уритового массива (Кузнецкий Алатау)	206
Р.В.Колбайнцев. Типы серпентинизации ультраосновных пород Салайра в связи с оценкой их асбестоносности	186	В.С.Мурзин. К петрохимии пород сосновогорского габбро-сиенитового комплекса Горной Шории	207
И.И.Колодезников, К.К.Левашов. Позднемезозойские магматические формации центральной части хребта Сүйтэр-Хаята	188	В.С.Мурзин. О новом типе интрузивных образований в Нижне-Мрасском районе Горной Шории	209
А.И.Кононов. Комплексы гранитоидов запада Алтас-Саянской области	190	В.П.Парначев. Кислые вулканические породы Бискарской серии северо-западной части Восточного Саяна (бассейн р.Дербино)	211
		Н.В.Перфильева. Интрузивный магматизм Ирбийского железорудного района	212

А.Н.Родичин. С "постепенных переходах" между метаморфическими и неметаморфическими породами (к вопросу о конвергенции признаков)	214	B.А.Воробьев, В.С.Дмитриевский, Е.К.Завадовская, Б.Н.Приезжев, В.И.Сальников. Наблюдение излучения горных пород	233
П.Е.Танский, И.Е.Карен. О кератофиро-спилитовой формации Сретенского района (Горная Шория)	215	А.А.Воробьев, Е.К.Завадовская, Б.Н.Приезжев, В.И.Сальников. Применение метода счета частичных разрядов в геологии	234
И.С.Туркин, Е.Р.Буй. Петрохимические особенности девонских вулканитов северо-западной Тувы	217	Д.Е.Казаков, Н.А.Сесин, Л.И.Чуриков. Некоторые вопросы методологии очередности проведения поисково-разведочных работ в Западной Сибири	235
В.Л.Хомичев. Туимский кварц-кератофировый комплекс на восточном склоне Кузнецкого Алатау	218	А.И.Киселев, И.К.Карпов. О роли воды при метаморфизме основных и ультраосновных пород	237
И.С.Якшин, Р.С.Земалстдинов, А.Н.Сутурин. Состав и структуры нефритов Восточного Саяна	219	И.И.Матросов. О кристаллизационной термoluminesценции	238
III. МЕТОДЫ ИССЛЕДОВАНИЯ, ГИПОТЕЗЫ, ЭКСПЕРИМЕНТ			
И.П.Адамчук. Влияние давления воды на процессы кристаллизации в системе диопсид-анортит-альбит-нефелин /по термодинамическим расчетам/	222	И.И.Мателикова, Л.П.Костененко. Изменение минералогического состава марганцево-угольных окатышей в процессе их восстановления	239
И.К.Баженов, И.П.Адамчук, В.И.Яковлев. Каменнос литье из нефелиновых пород	223	А.Я.Лишеничkin, А.Ф.Коробейников. Особенности термо-ЭДС пиритов некоторых золоторудных месторождений	240
А.Г.Бакиров. Развивать геоморфолого-тектонические методы прогнозирования месторождений полезных ископаемых	224	В.И.Сальников, А.Ф.Коробейников. Определение абсолютного возраста горных пород методом электропроводности	242
М.Д.Бабанский, А.Д.Строителев, А.И.Чернышов. Порокристаллизация сфалерита из раствора в расплавах солей и металлов	227	В.П.Сонич. Уплотнение глинистых и песчано-алевритовых пород	244
В.В.Богацкий. Магмообразование как глубинное охаждение	229	А.Д.Строителев, А.Д.Бабанский, М.Д.Бабанский. Поведение сфалерита в гидротермальных условиях	245
А.А.Воробьев. Высокие электрические поля в земных недрах и их роль в образовании химических соединений и распределении химических элементов в земной коре	230	В.К.Чистяков. Особенности применения термoluminesценции при поисках рудных месторождений	247
А.А.Воробьев. Сильные электрические поля и возможные разряды на Луне	232	В.К.Чистяков. Природная и искусственная термoluminesценция и её применение в геологии	249

Б.В.Шумилов. Петрографический метод изучения четвертичных отложений 251

В.И.Яковлев, И.П.Адамчук. Европы и проблема глиноzemса 253

Редактор издательства А.В.Лисевич.

КС-02190 Подписано к печати 15 ноября 1971.

Бумага 60 x 92 I/16. Печ. л. 16,75; бум. л. 8,4;

уч.-изд. л. 10,7. Заказ 227 Тираж 400. Цена 84 коп.

Издательство ТГУ, Томск, пр. Ленина, 36.

Ротапrint ТГУ, Томск, ул. Никитина, 17.